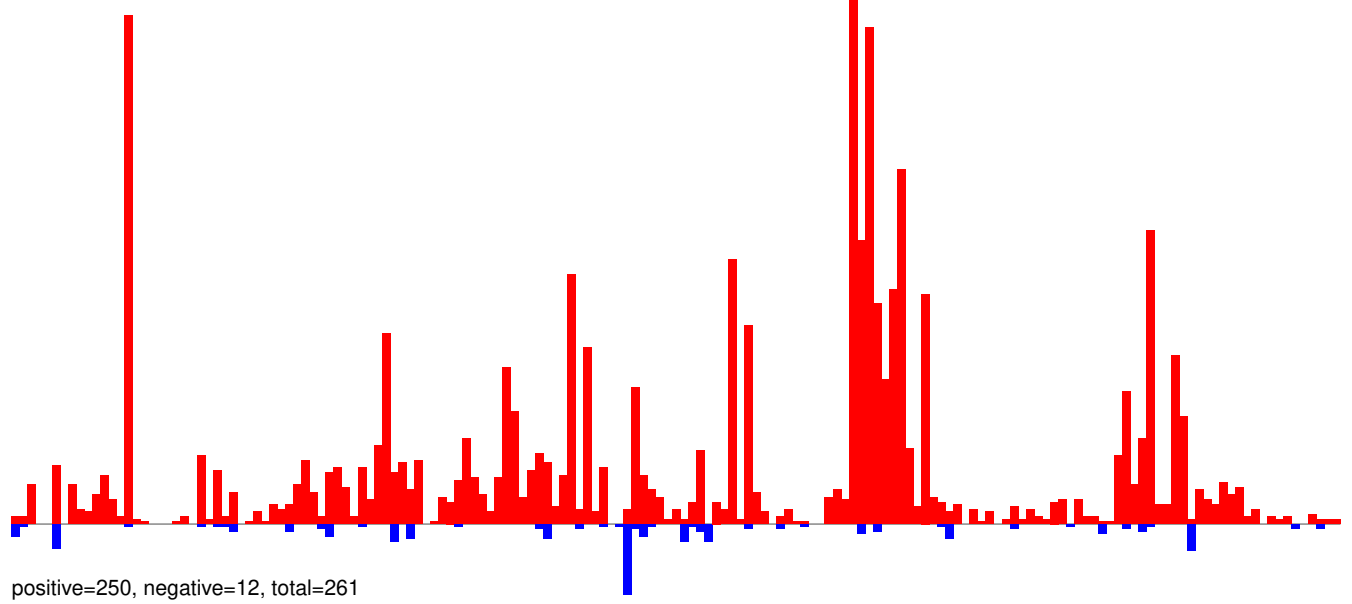
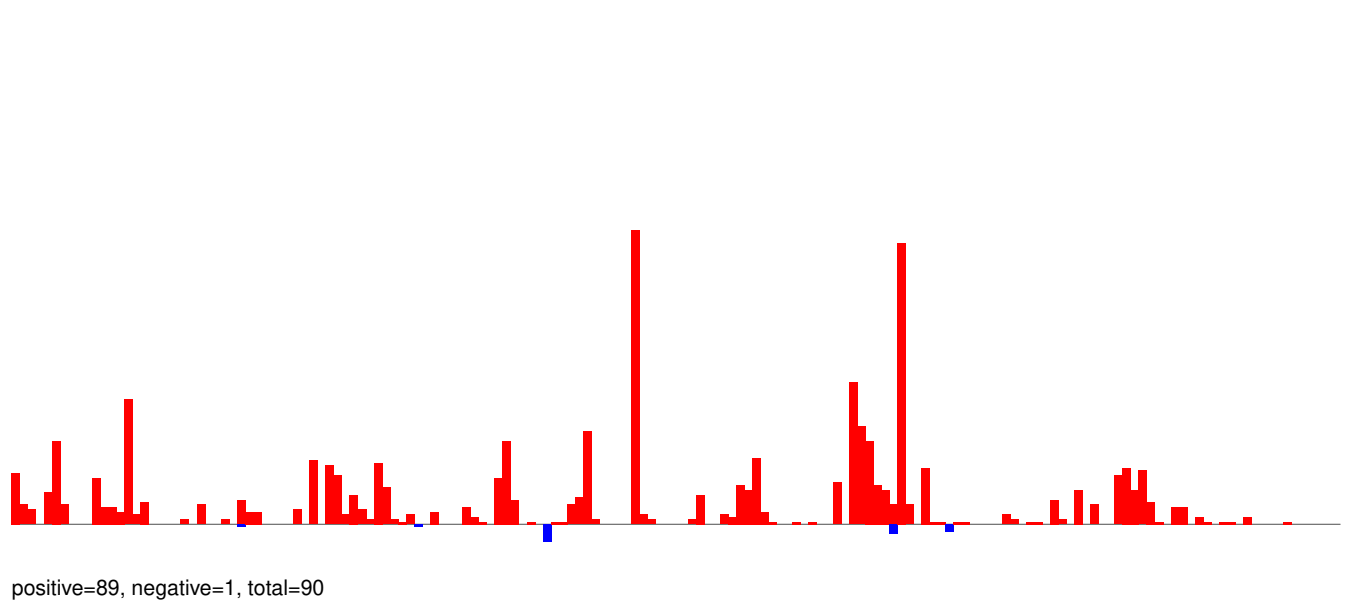


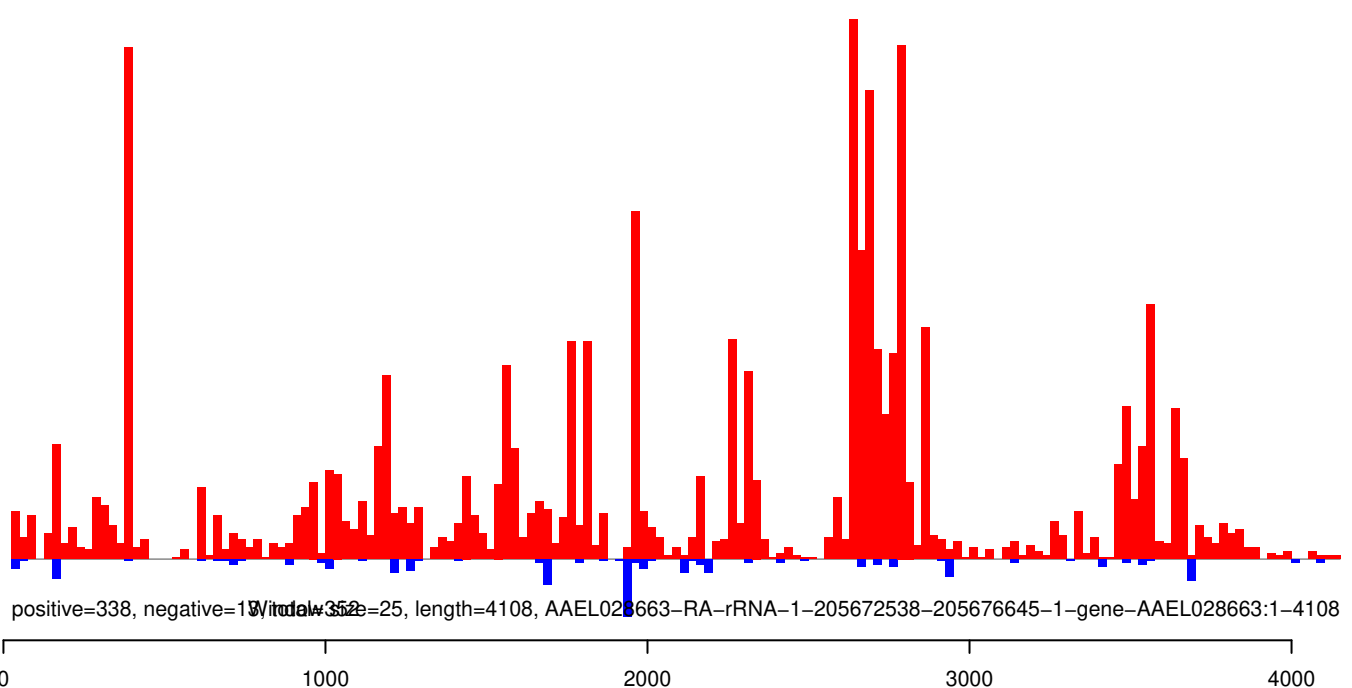
AeAeg_Aag2_Ago2_SINV_Beta_RA.18_23.rep



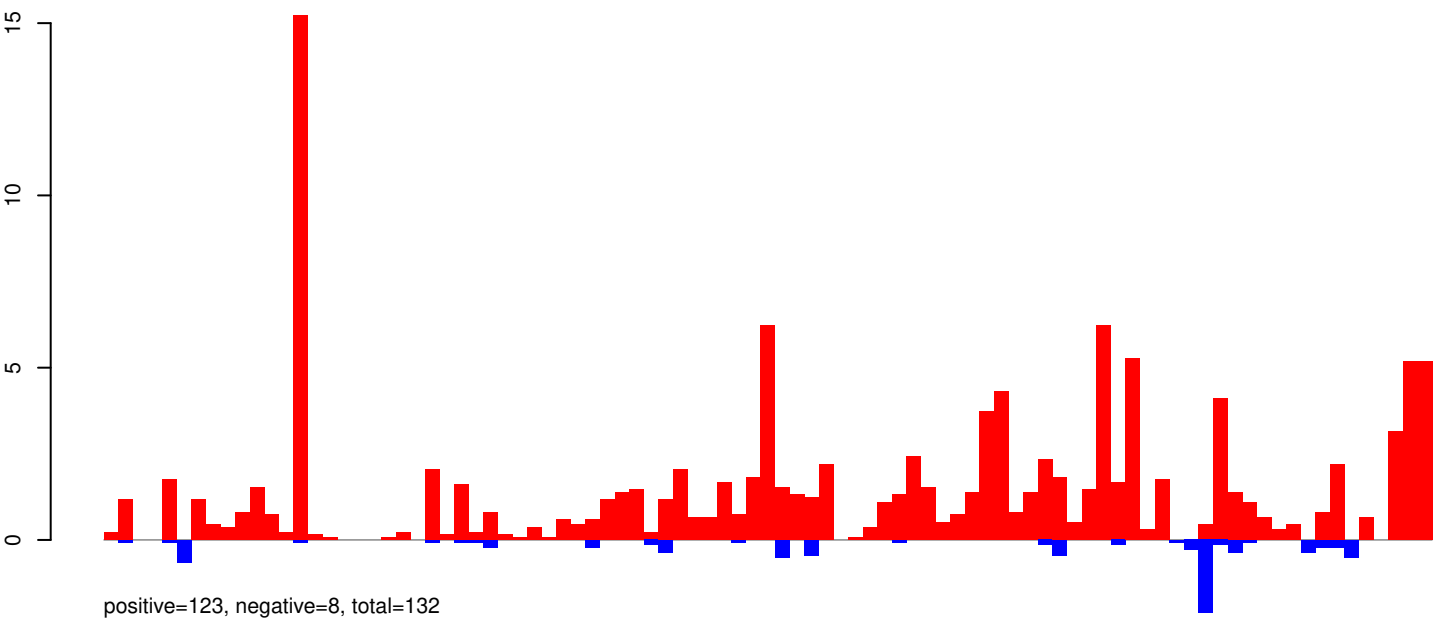
AeAeg_Aag2_Ago2_SINV_Beta_RA.24_35.rep



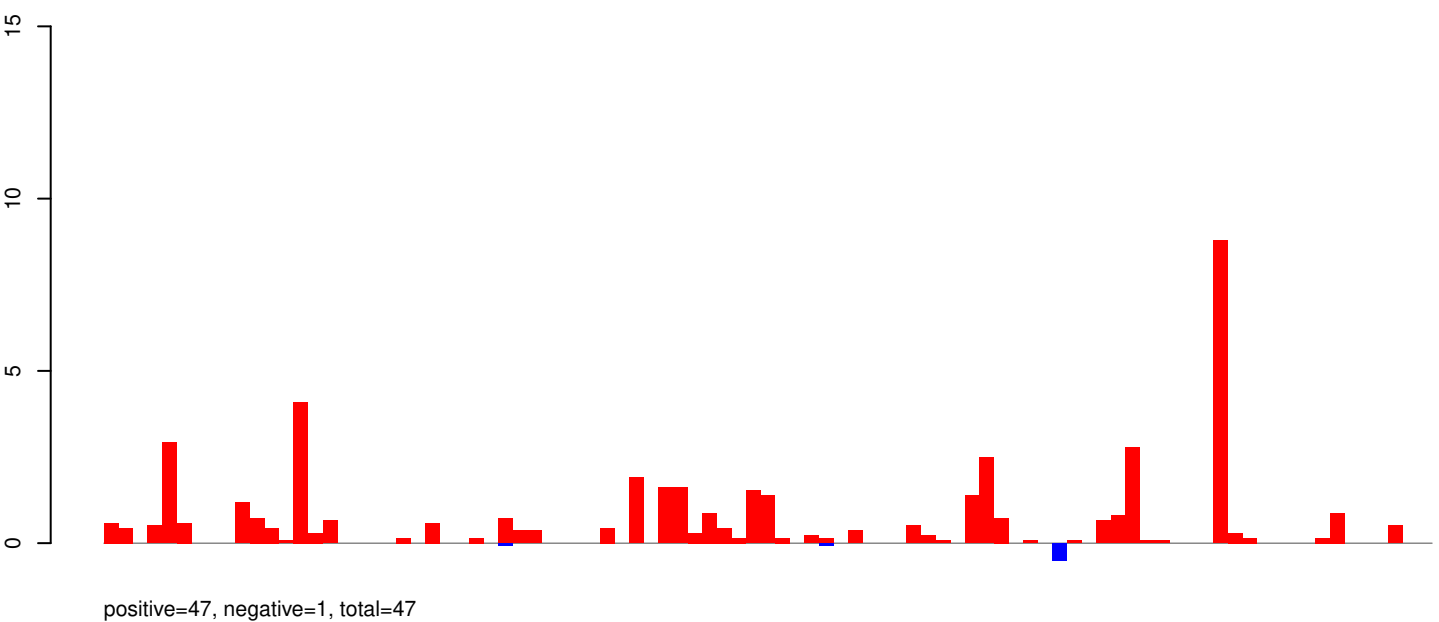
AeAeg_Aag2_Ago2_SINV_Beta_RA.rep



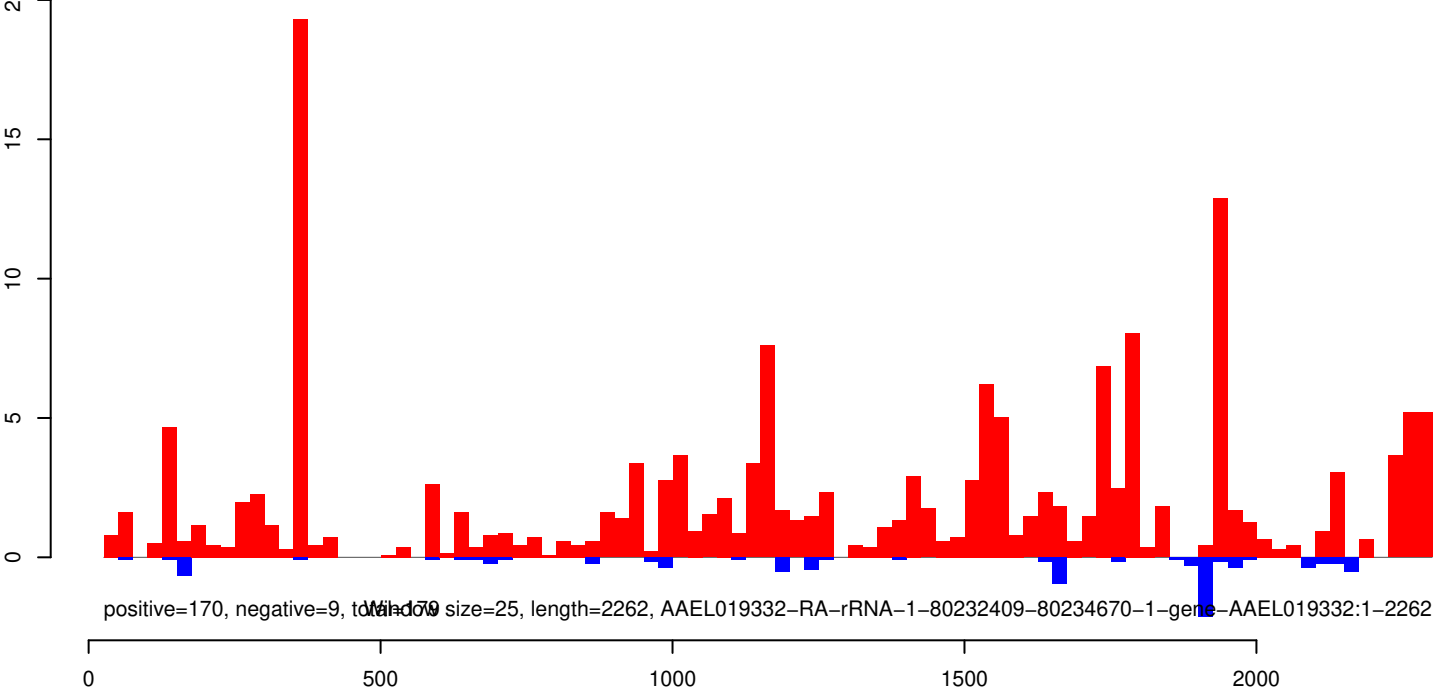
AeAeg_Aag2_Ago2_SINV_Beta_RA.18_23.rep



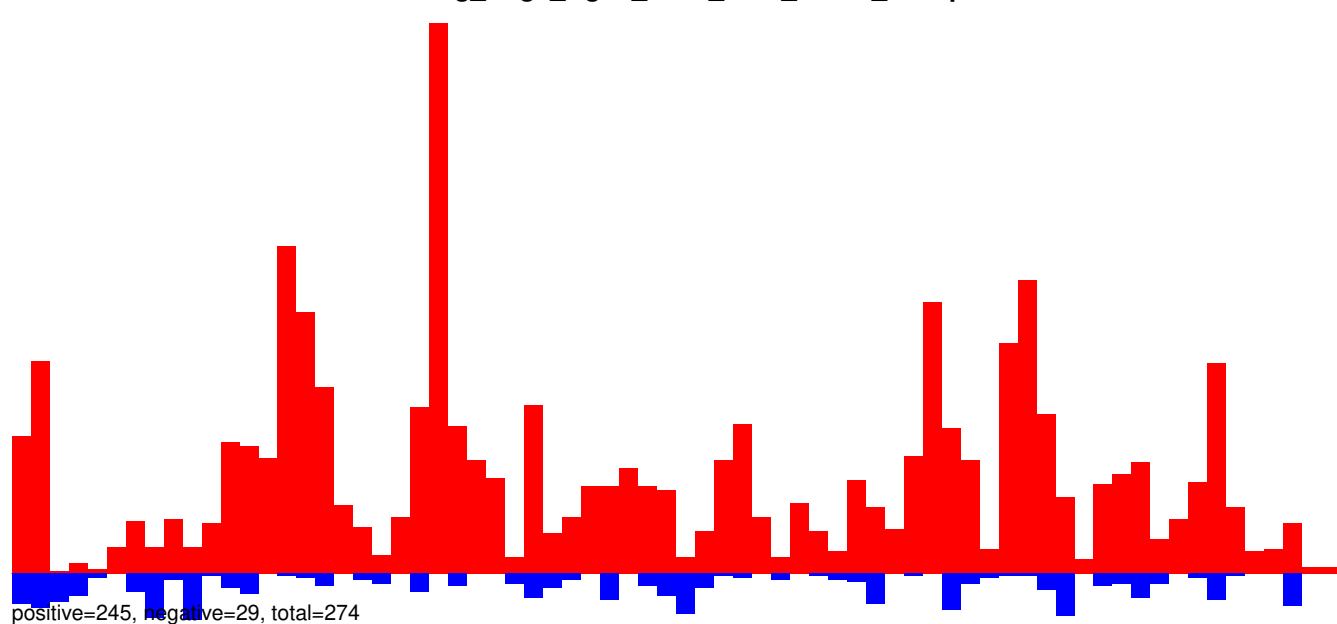
AeAeg_Aag2_Ago2_SINV_Beta_RA.24_35.rep



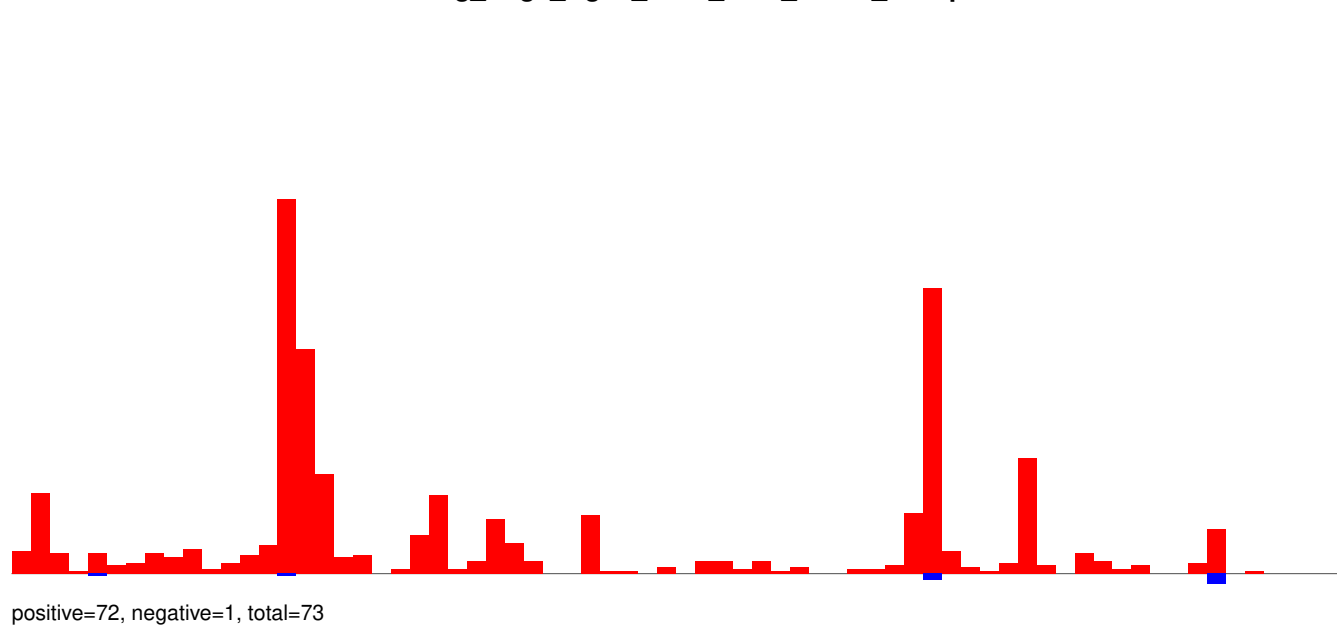
AeAeg_Aag2_Ago2_SINV_Beta_RA.rep



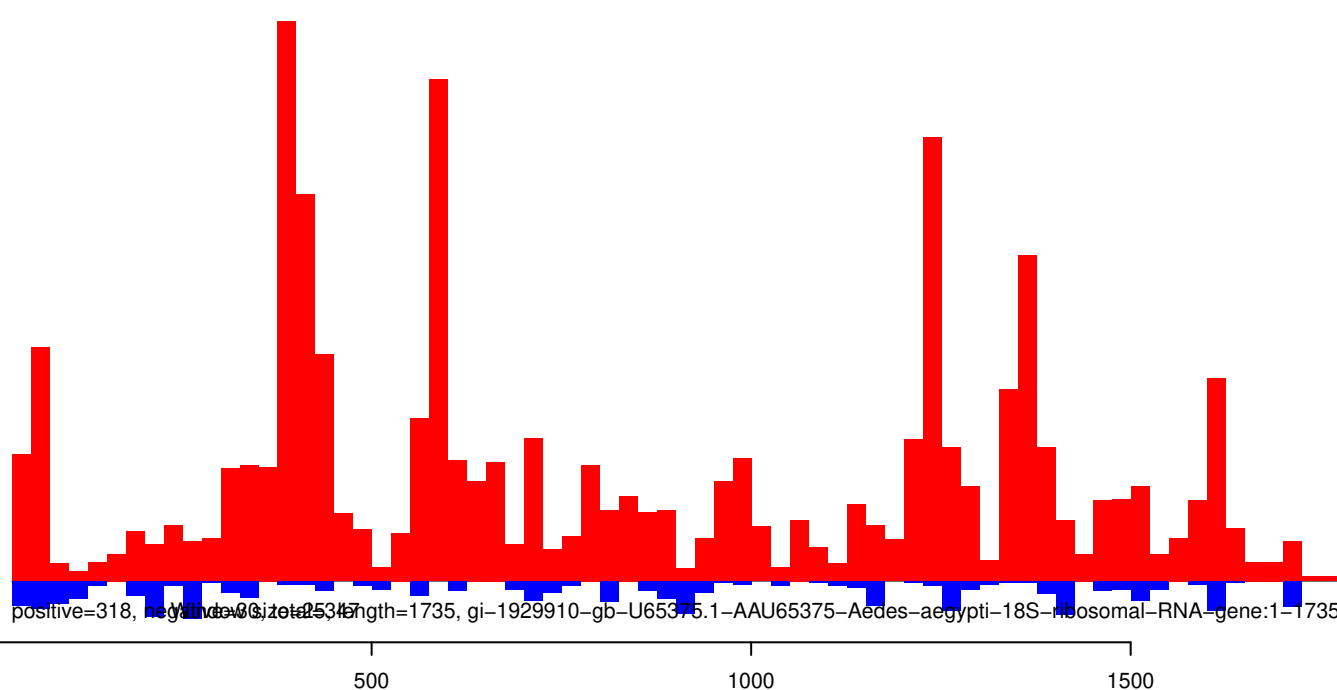
AeAeg_Aag2_Ago2_SINV_Beta_RA.18_23.rep



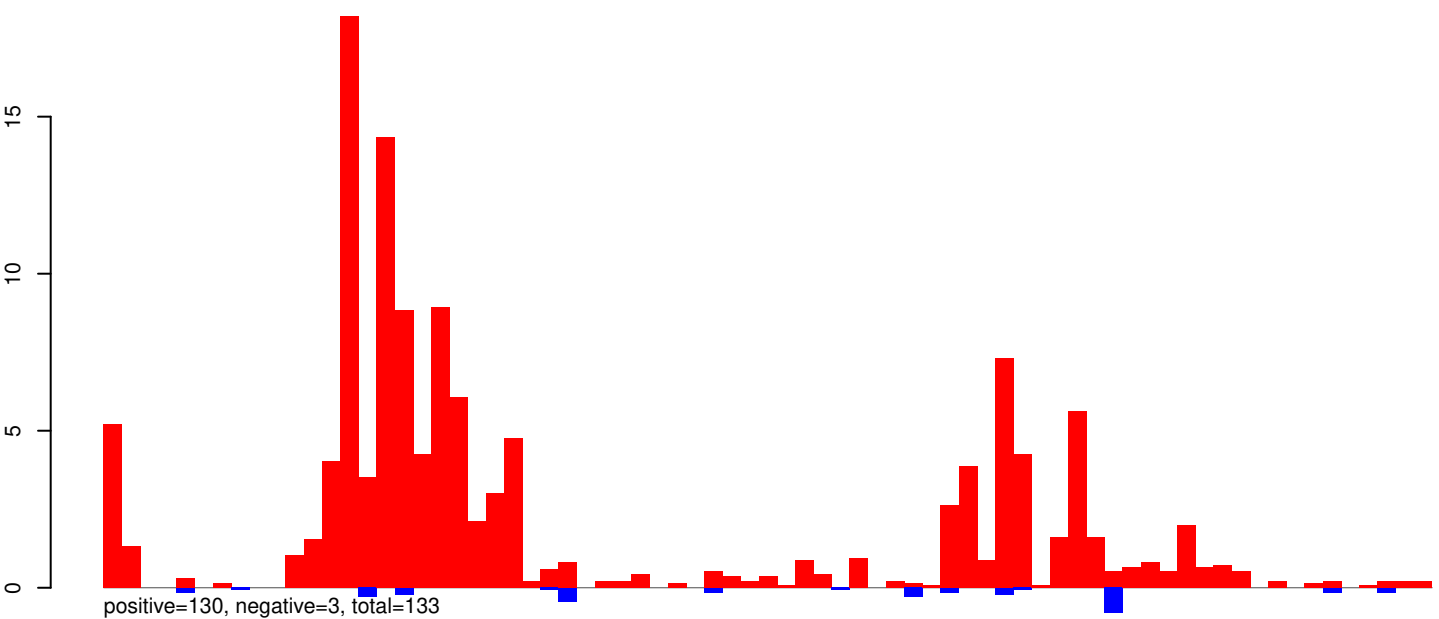
AeAeg_Aag2_Ago2_SINV_Beta_RA.24_35.rep



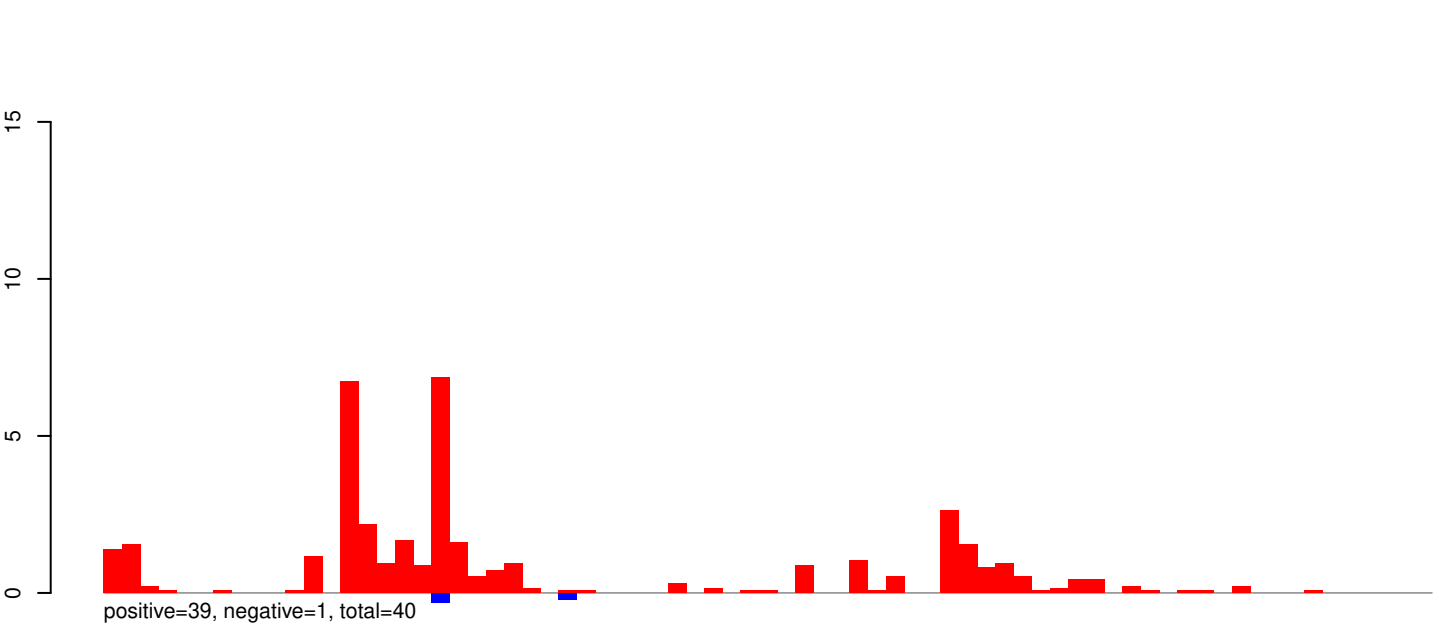
AeAeg_Aag2_Ago2_SINV_Beta_RA.rep



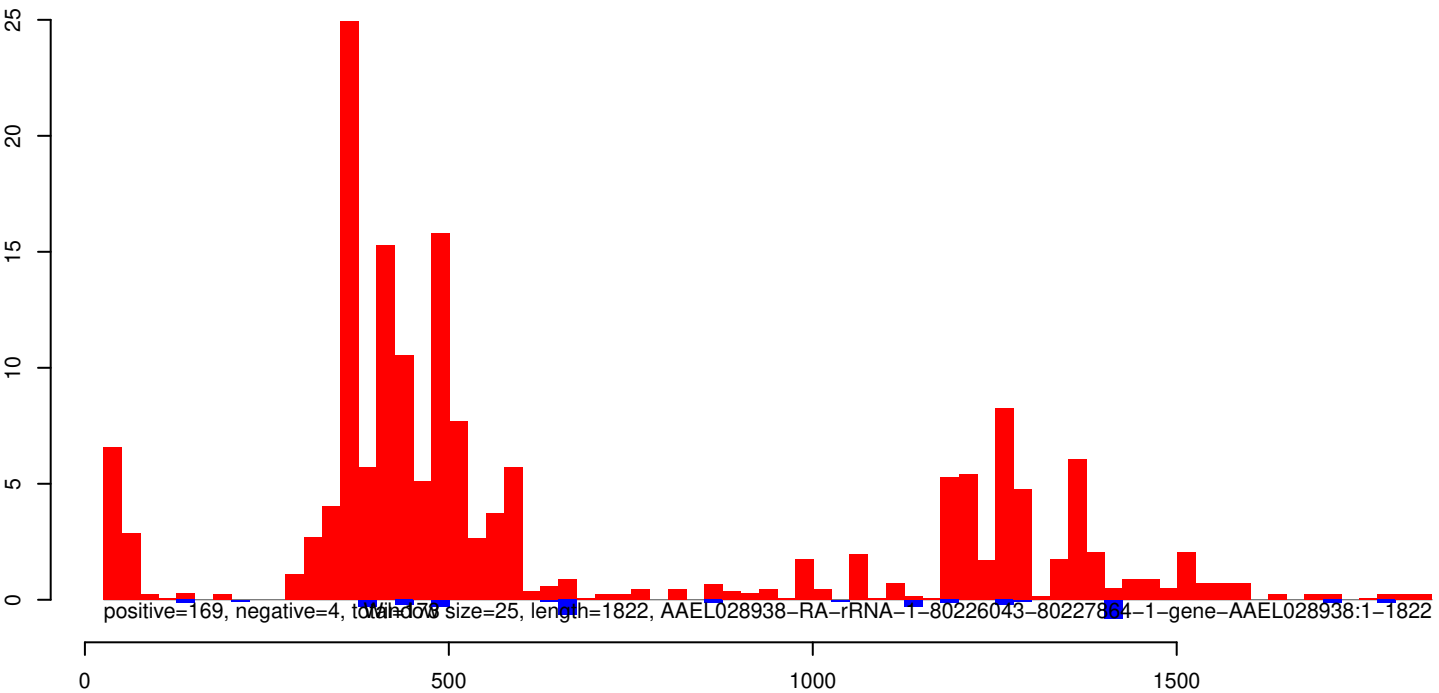
AeAeg_Aag2_Ago2_SINV_Beta_RA.18_23.rep



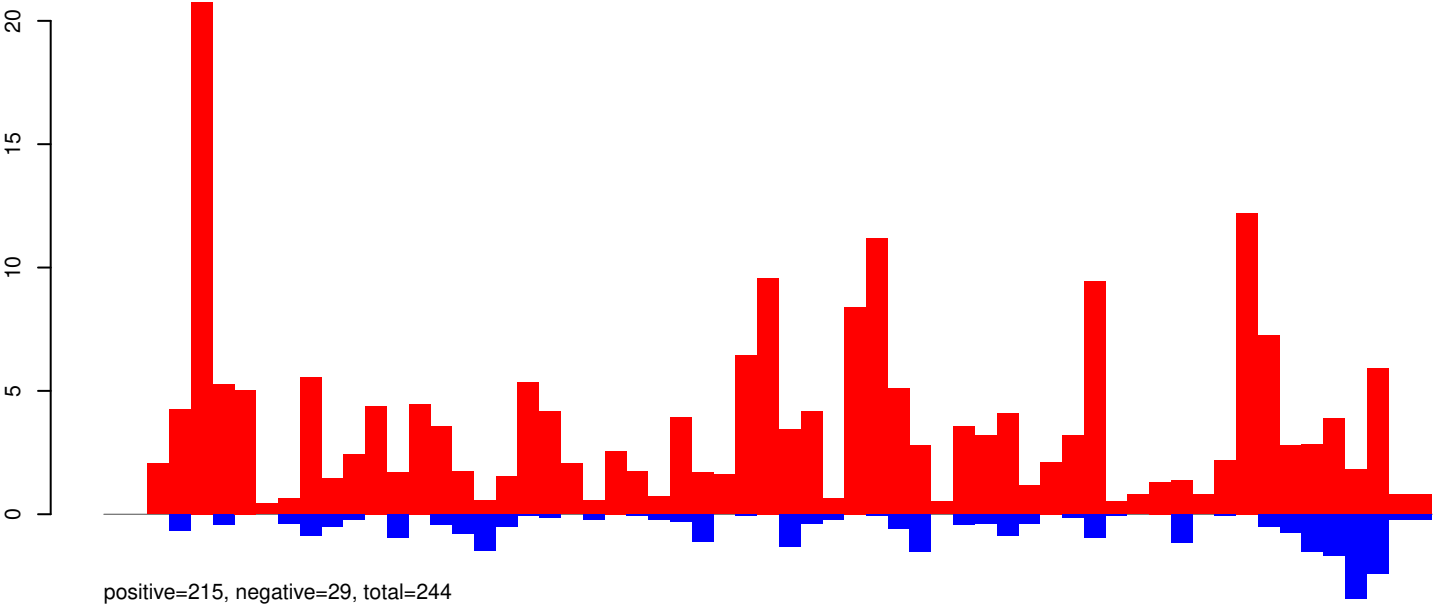
AeAeg_Aag2_Ago2_SINV_Beta_RA.24_35.rep



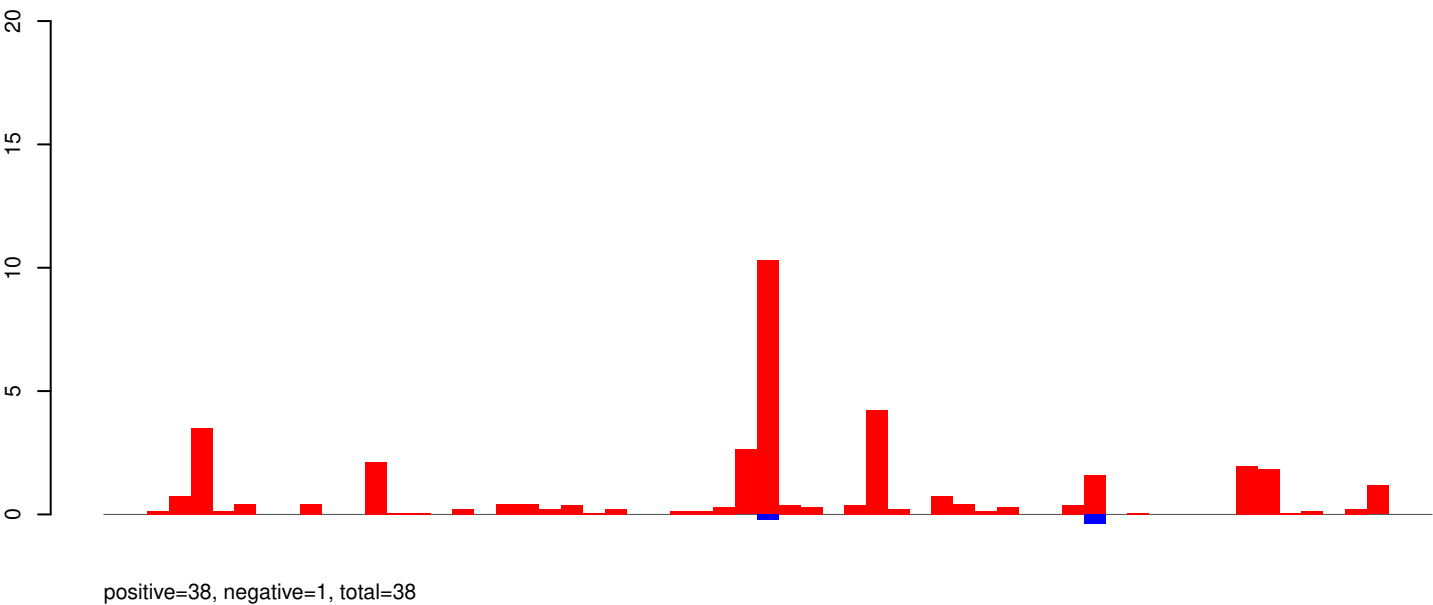
AeAeg_Aag2_Ago2_SINV_Beta_RA.rep



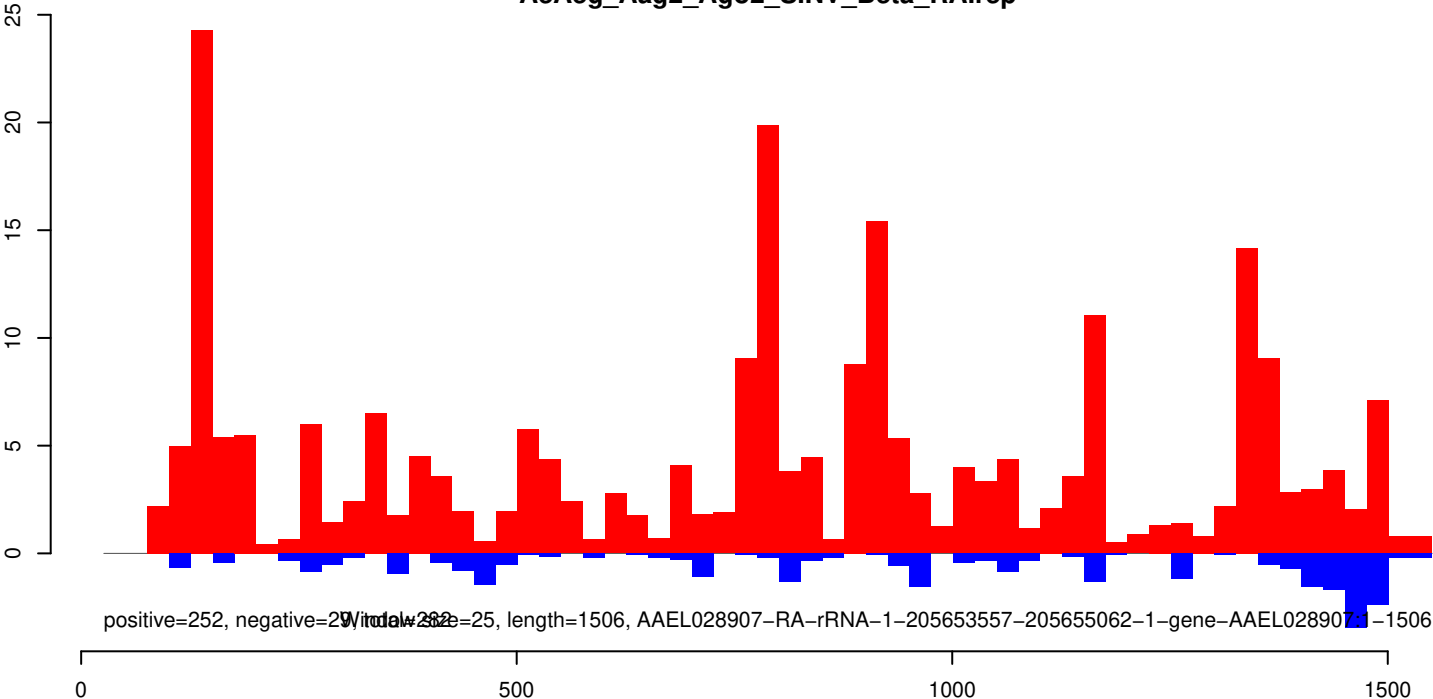
AeAeg_Aag2_Ago2_SINV_Beta_RA.18_23.rep



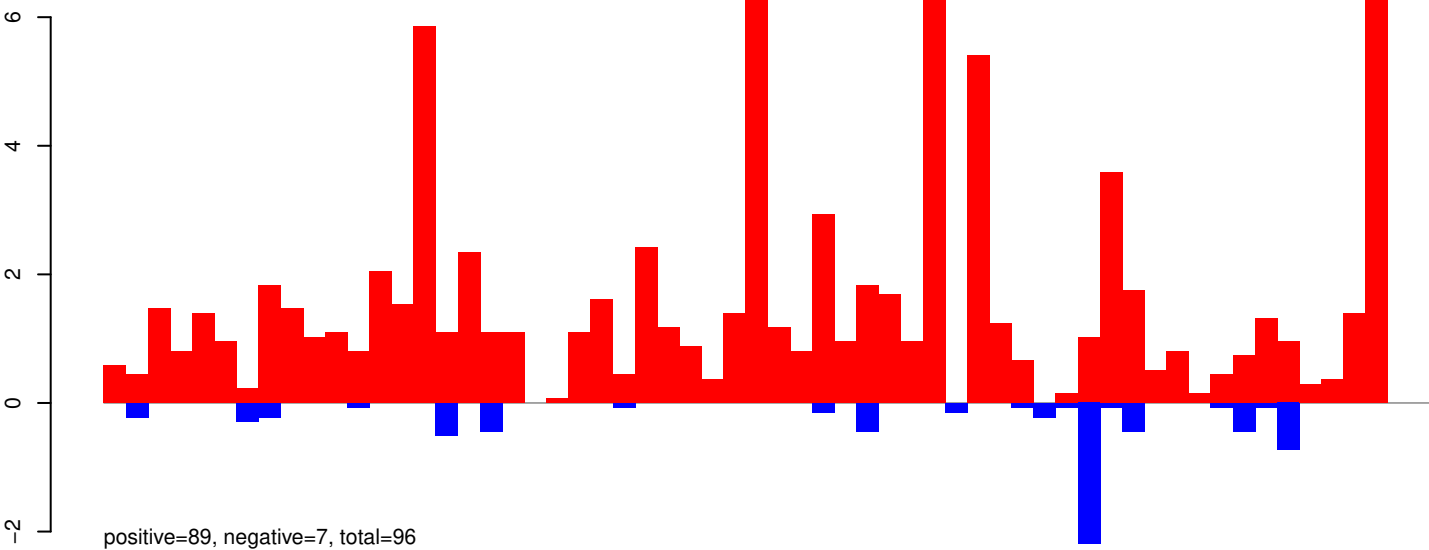
AeAeg_Aag2_Ago2_SINV_Beta_RA.24_35.rep



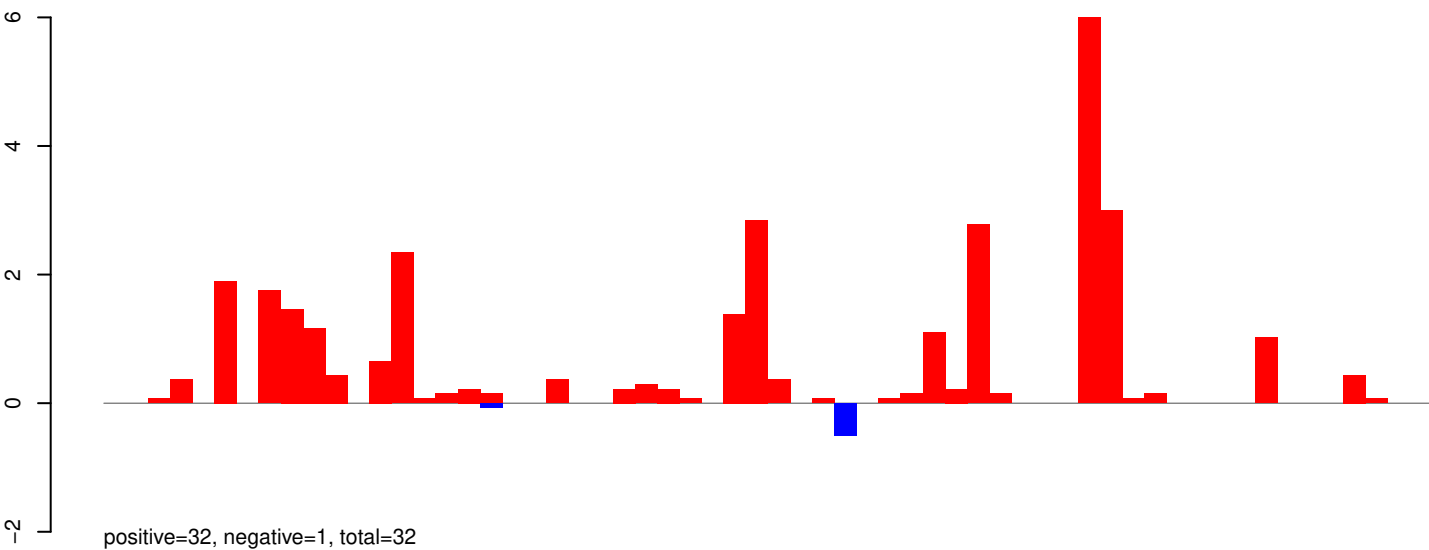
AeAeg_Aag2_Ago2_SINV_Beta_RA.rep



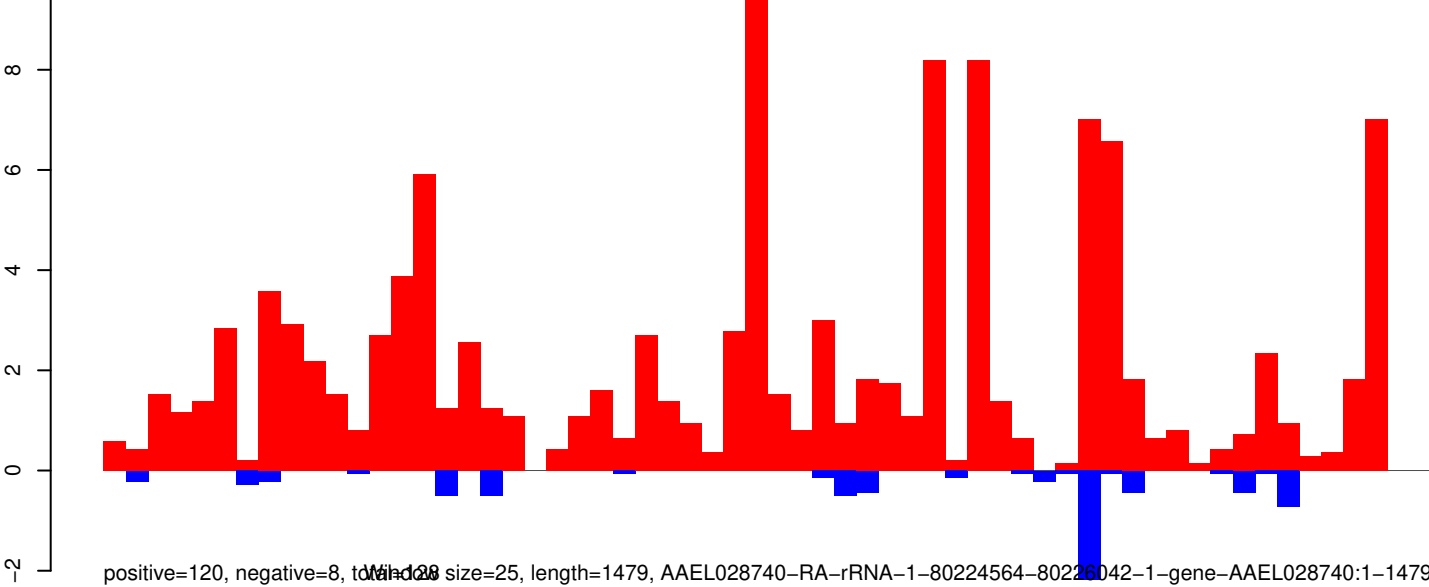
AeAeg_Aag2_Ago2_SINV_Beta_RA.18_23.rep



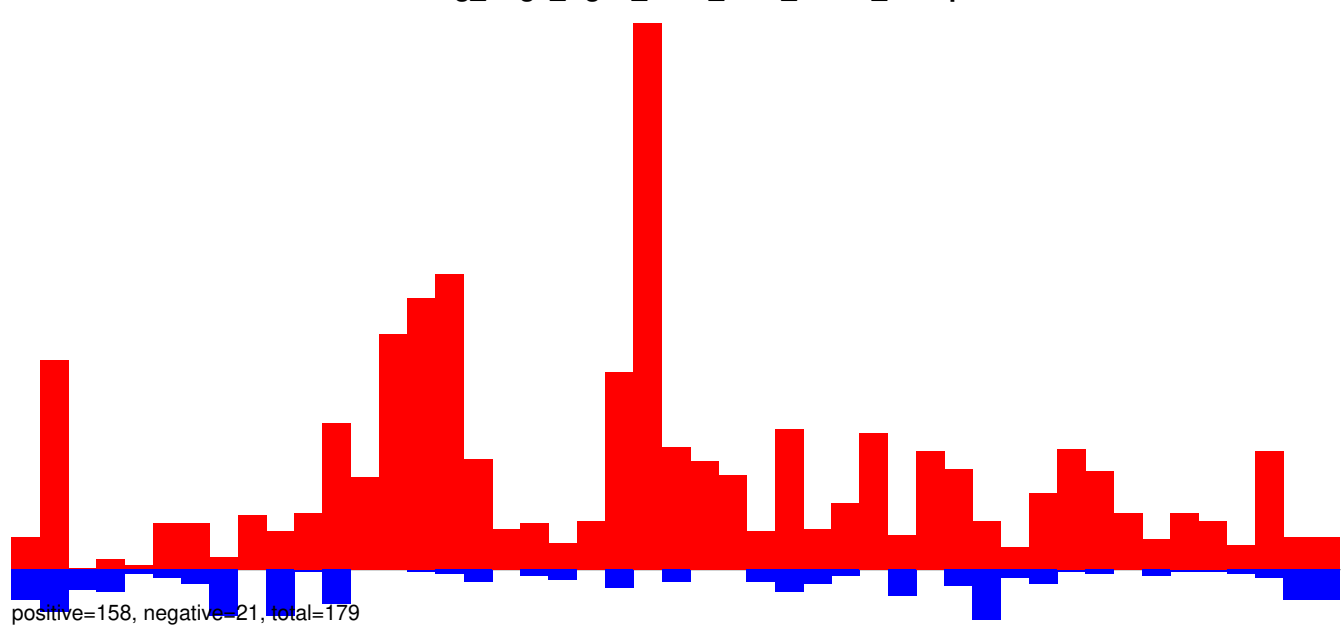
AeAeg_Aag2_Ago2_SINV_Beta_RA.24_35.rep



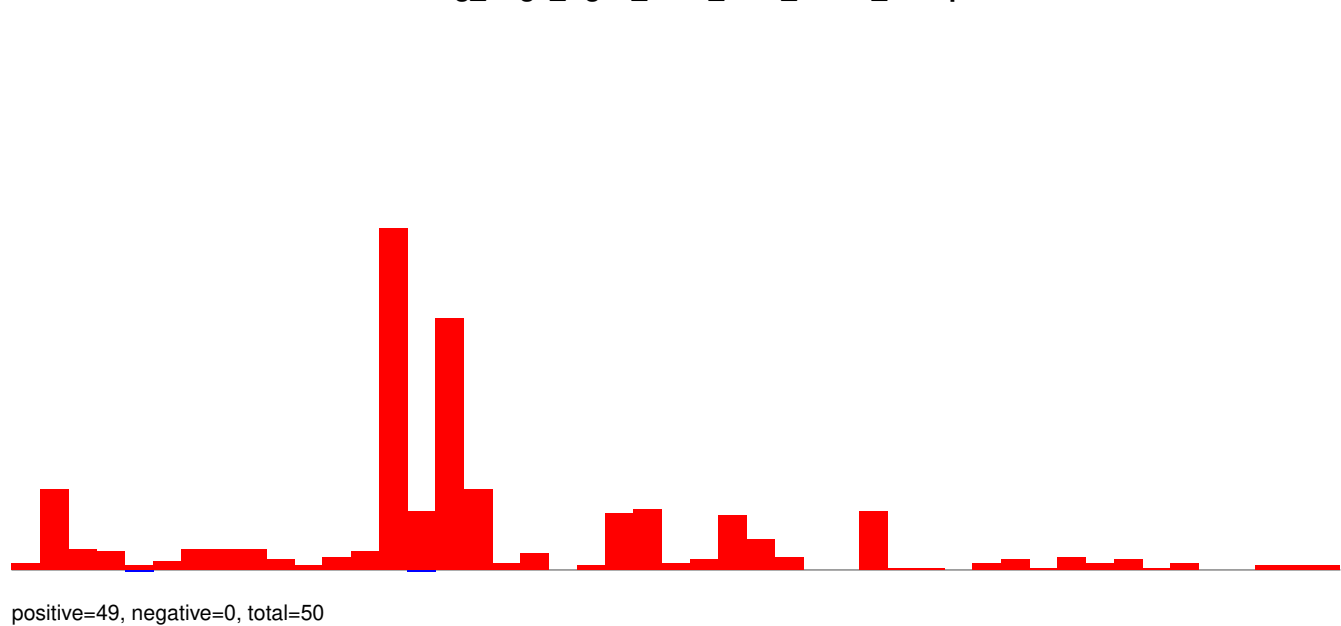
AeAeg_Aag2_Ago2_SINV_Beta_RA.rep



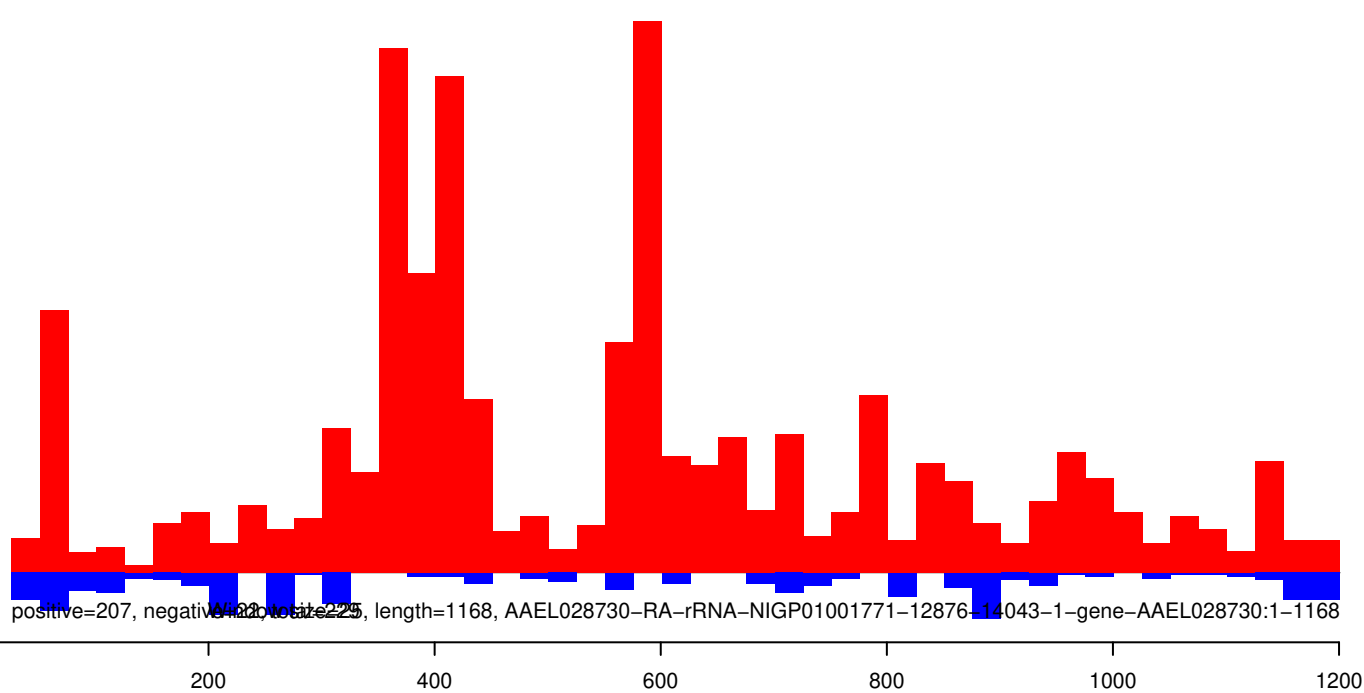
AeAeg_Aag2_Ago2_SINV_Beta_RA.18_23.rep



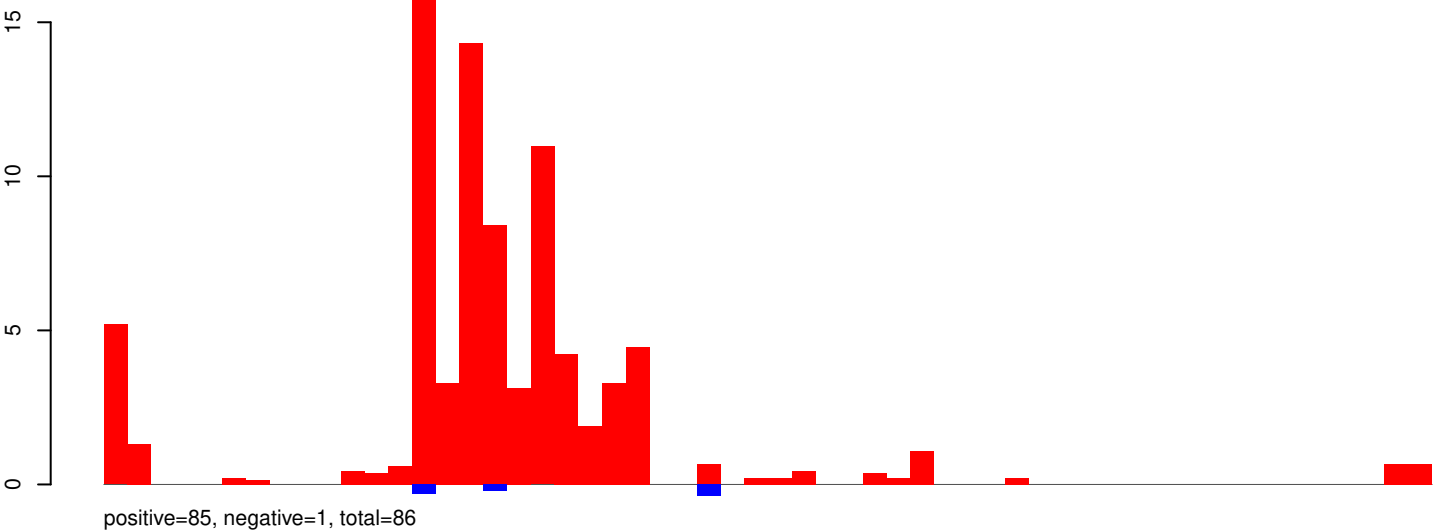
AeAeg_Aag2_Ago2_SINV_Beta_RA.24_35.rep



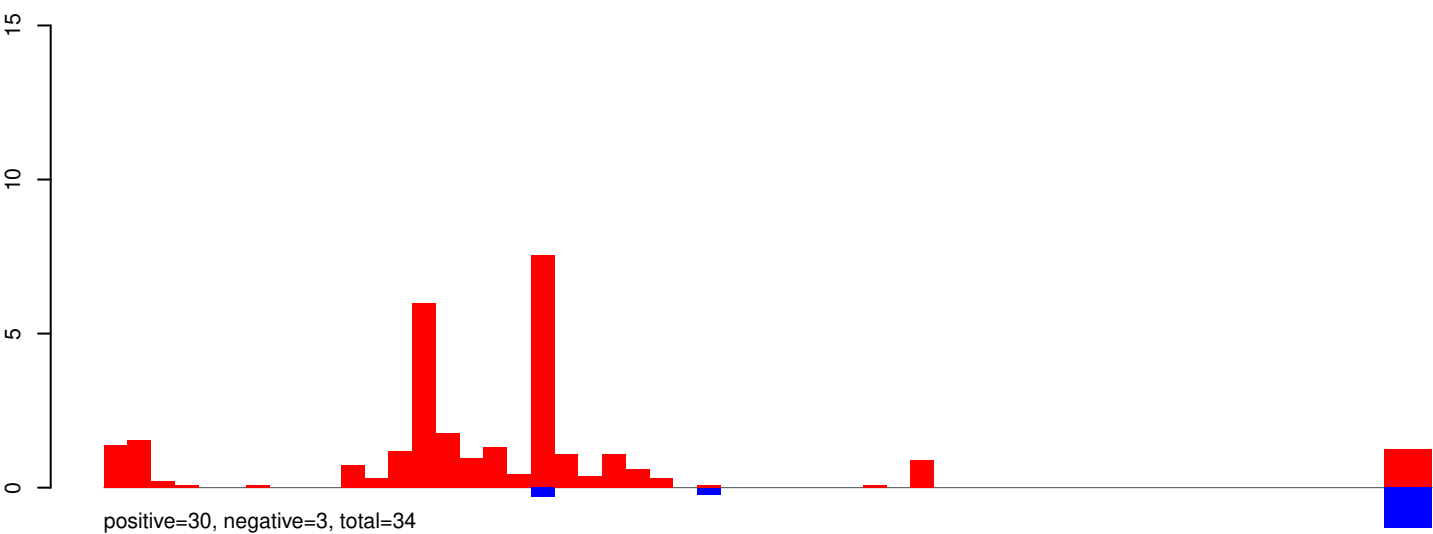
AeAeg_Aag2_Ago2_SINV_Beta_RA.rep



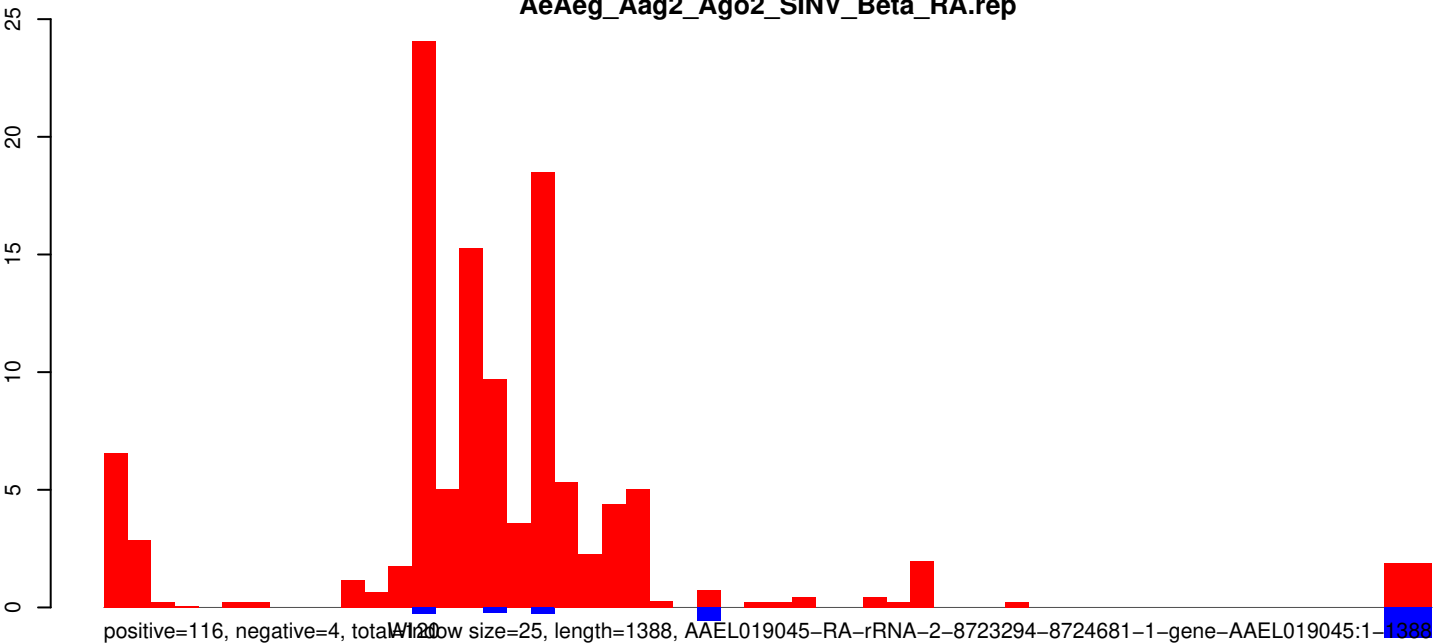
AeAeg_Aag2_Ago2_SINV_Beta_RA.18_23.rep



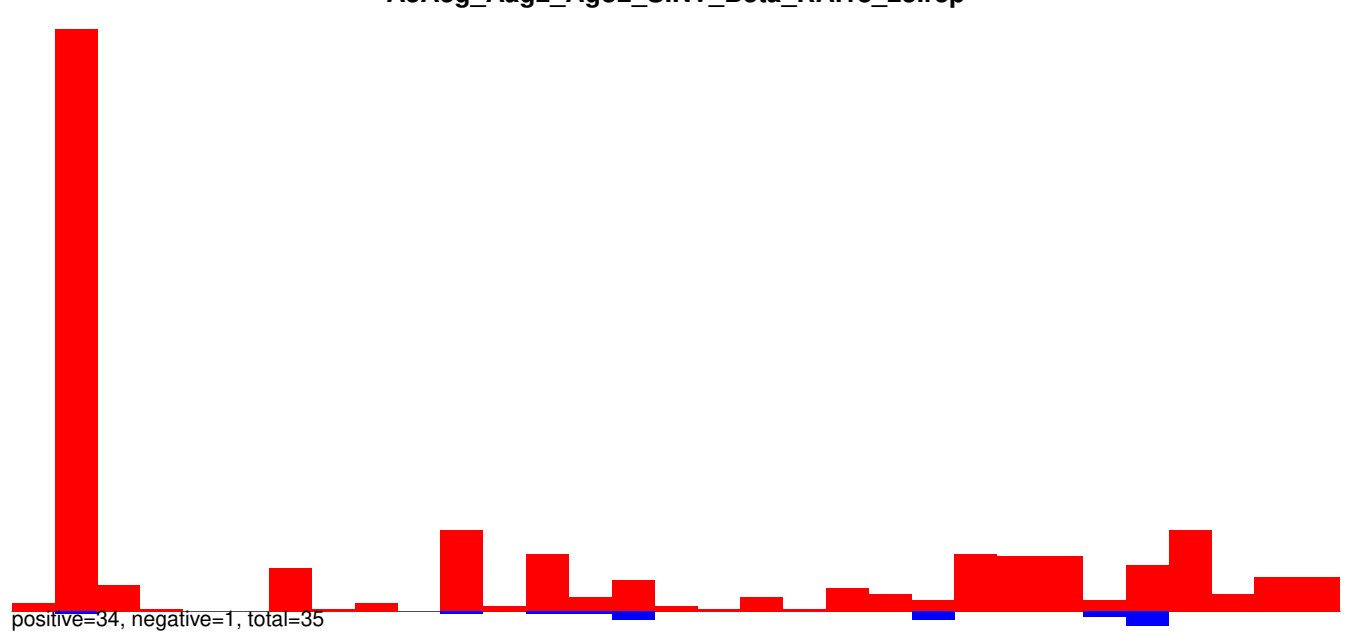
AeAeg_Aag2_Ago2_SINV_Beta_RA.24_35.rep



AeAeg_Aag2_Ago2_SINV_Beta_RA.rep



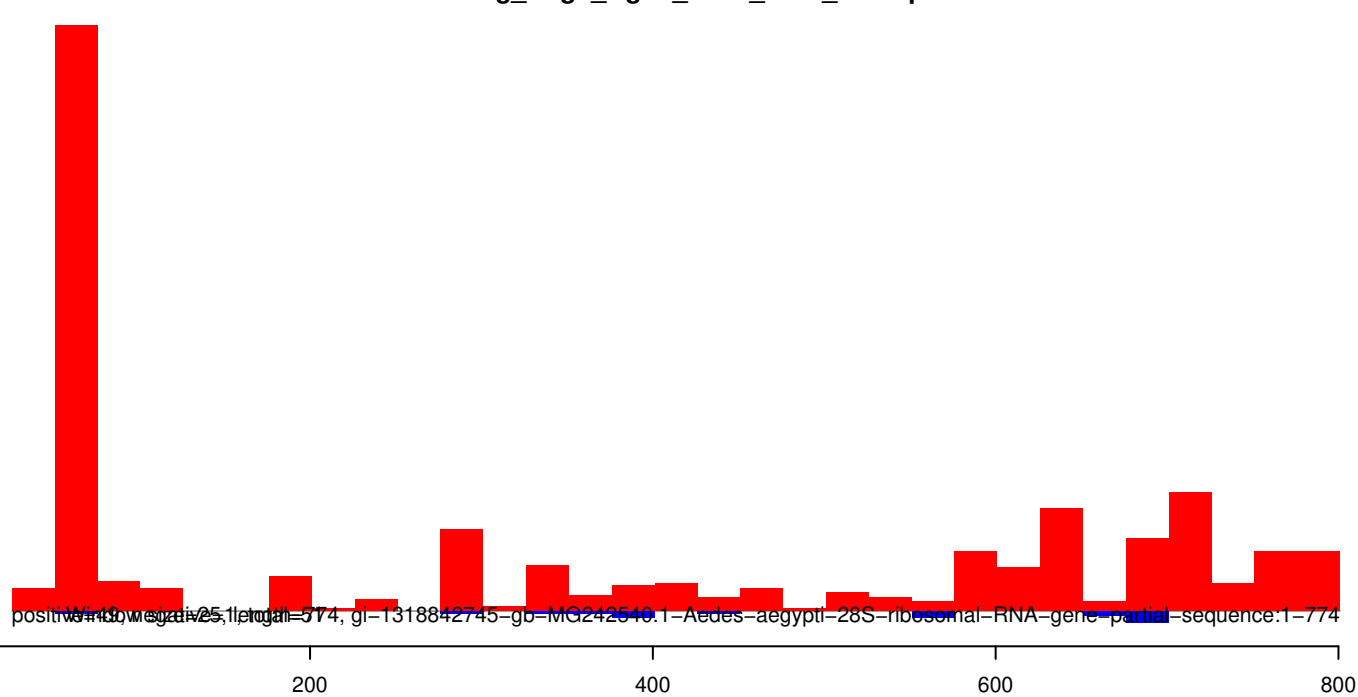
AeAeg_Aag2_Ago2_SINV_Beta_RA.18_23.rep



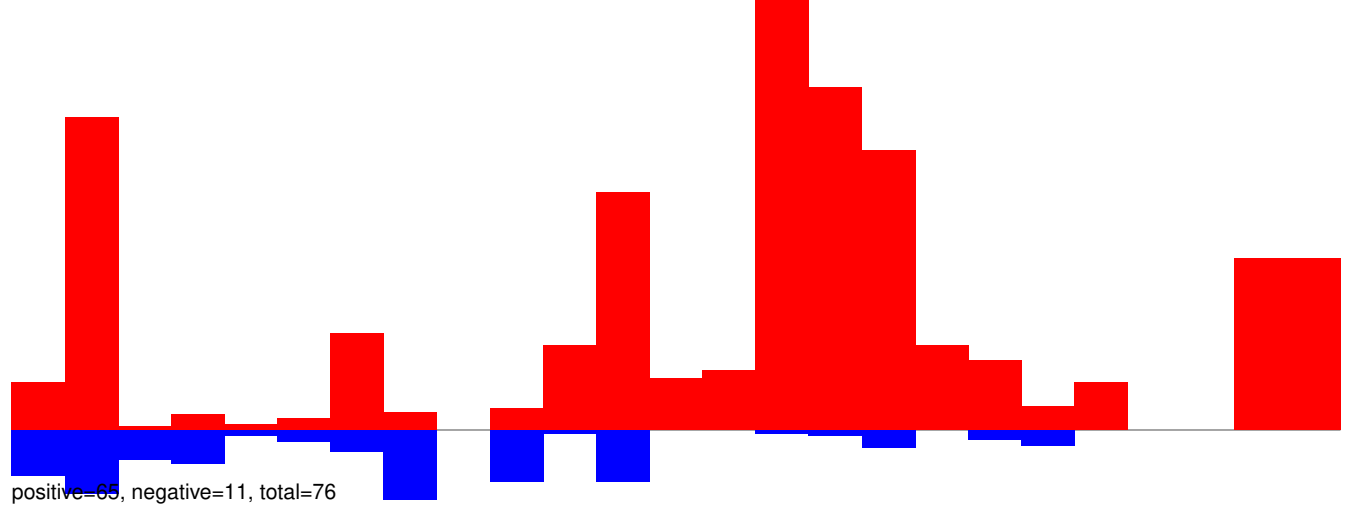
AeAeg_Aag2_Ago2_SINV_Beta_RA.24_35.rep



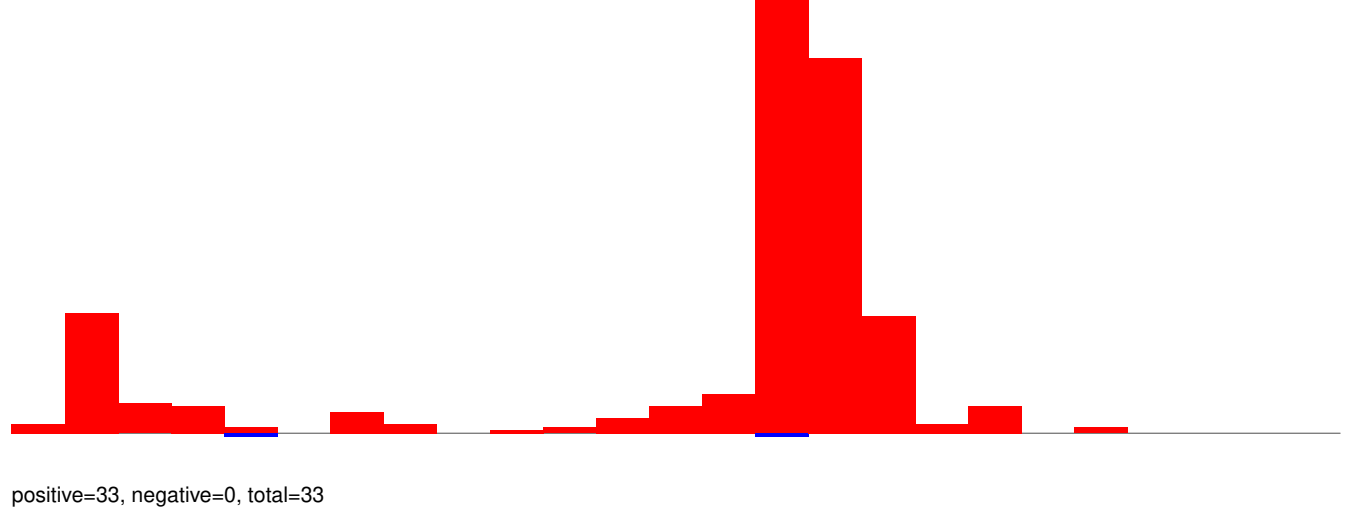
AeAeg_Aag2_Ago2_SINV_Beta_RA.rep



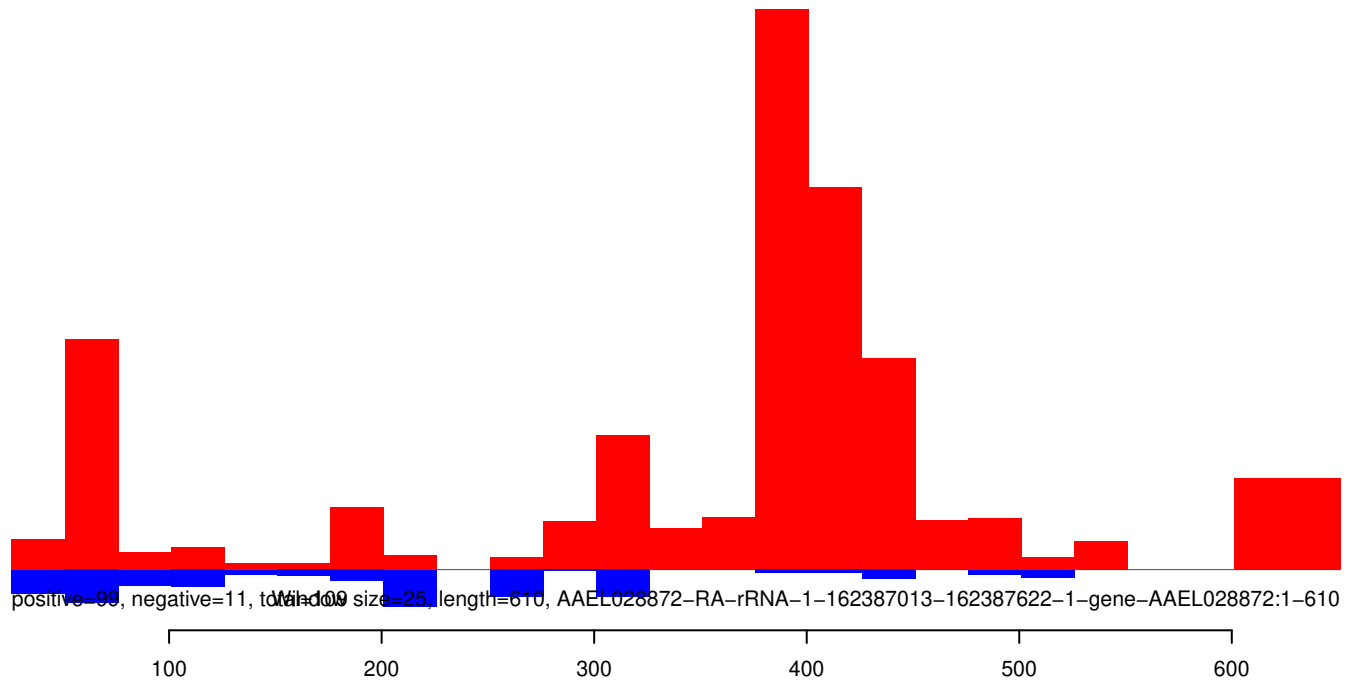
AeAeg_Aag2_Ago2_SINV_Beta_RA.18_23.rep



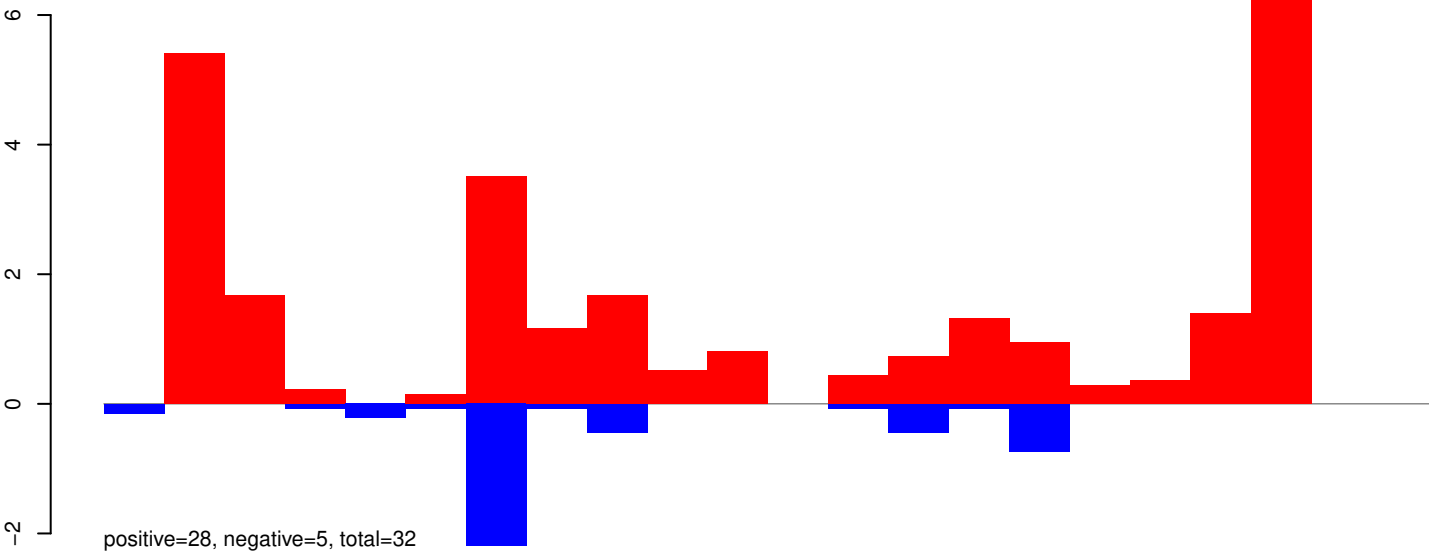
AeAeg_Aag2_Ago2_SINV_Beta_RA.24_35.rep



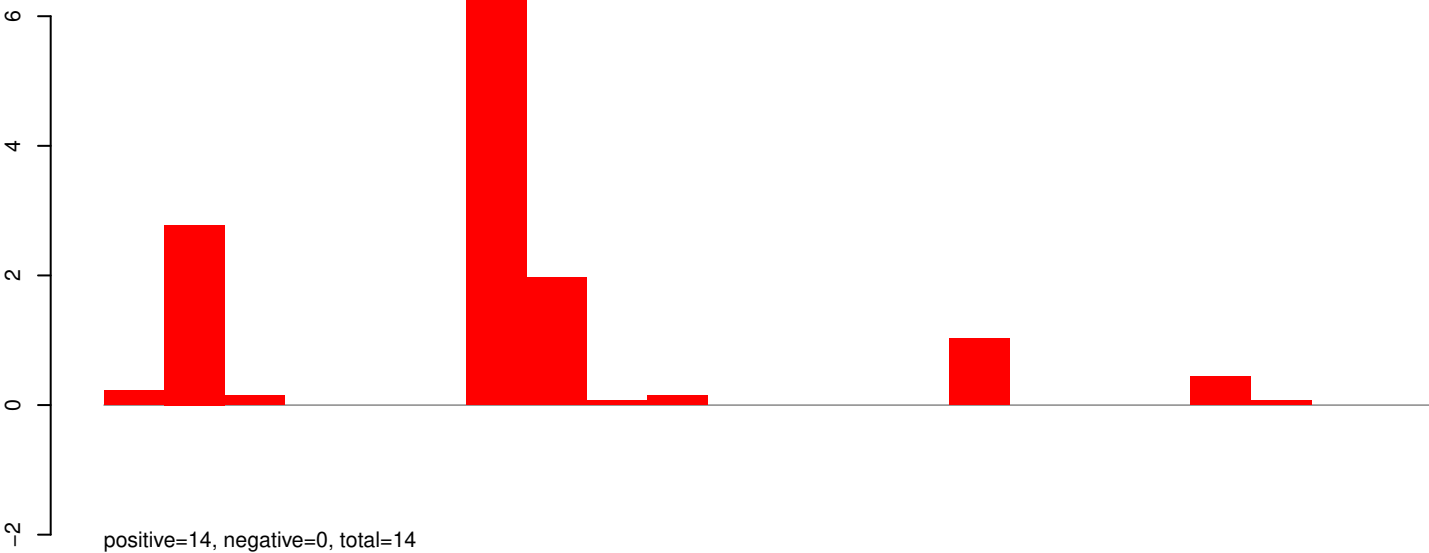
AeAeg_Aag2_Ago2_SINV_Beta_RA.rep



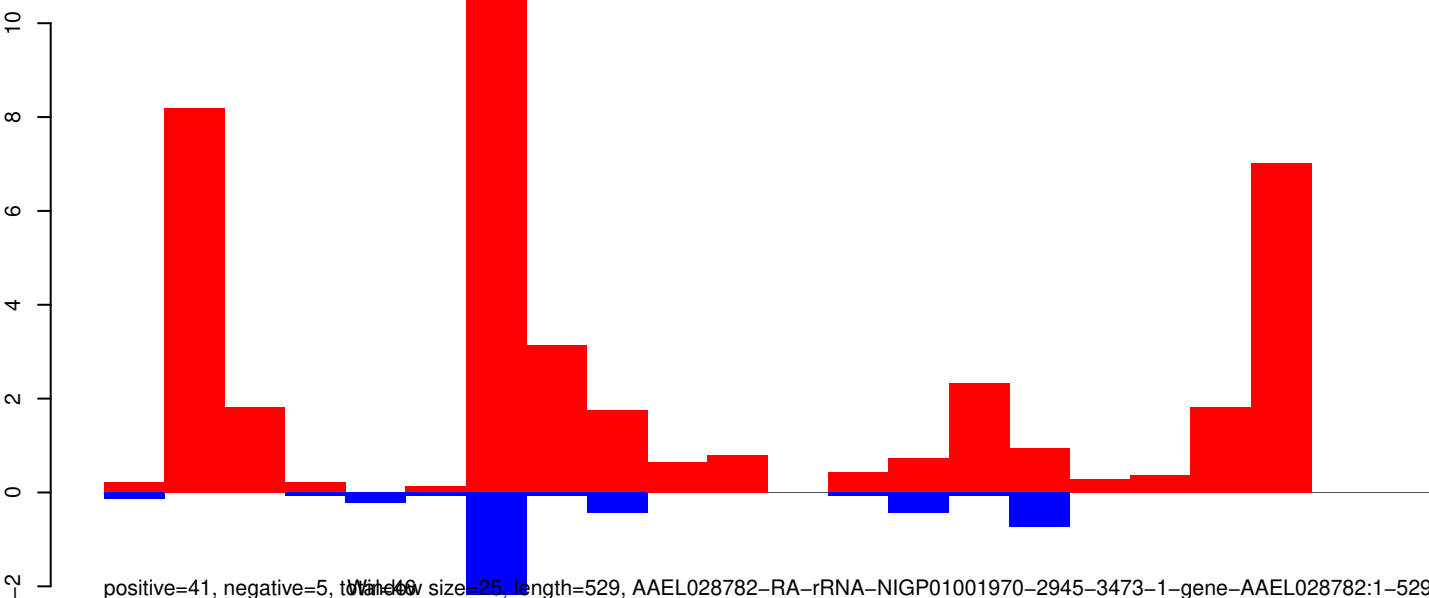
AeAeg_Aag2_Ago2_SINV_Beta_RA.18_23.rep



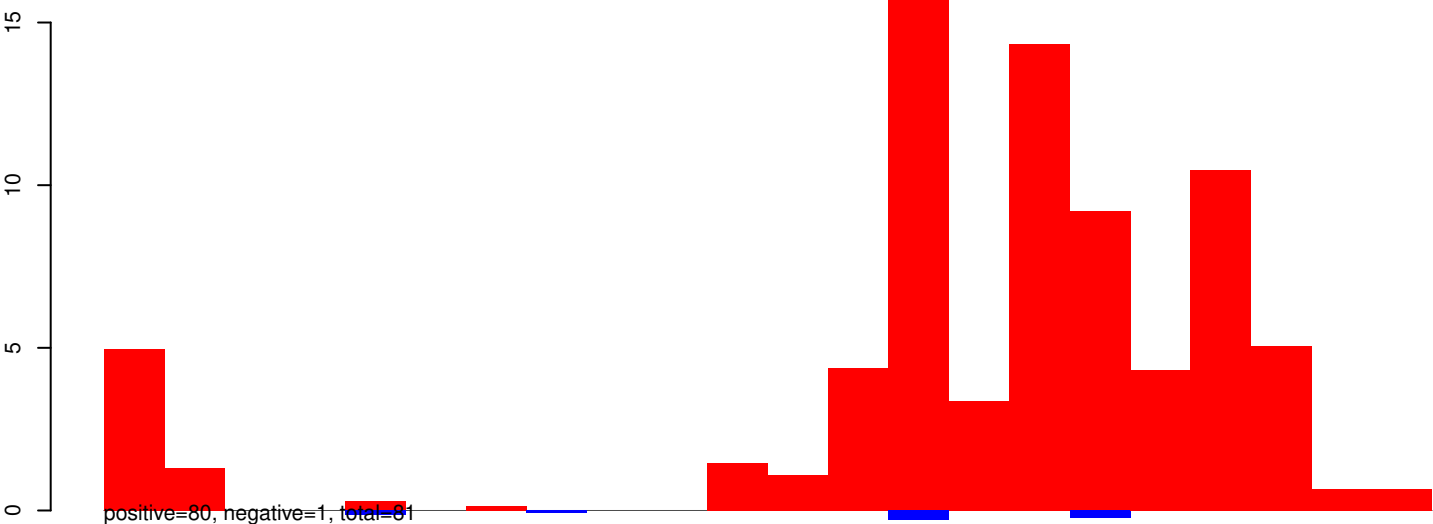
AeAeg_Aag2_Ago2_SINV_Beta_RA.24_35.rep



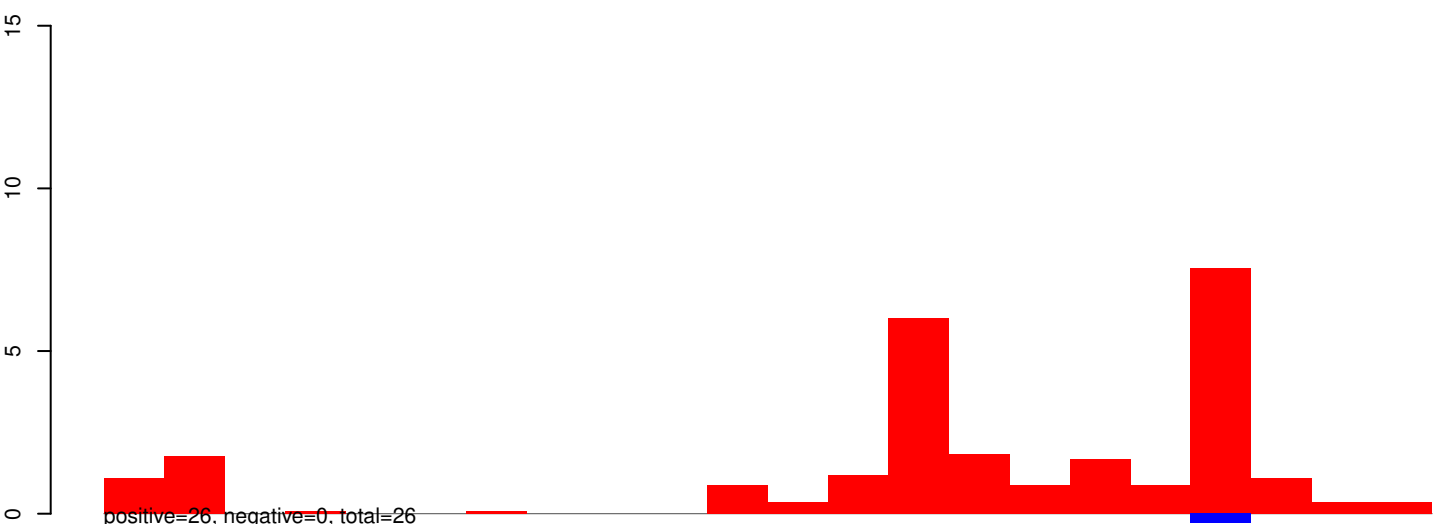
AeAeg_Aag2_Ago2_SINV_Beta_RA.rep



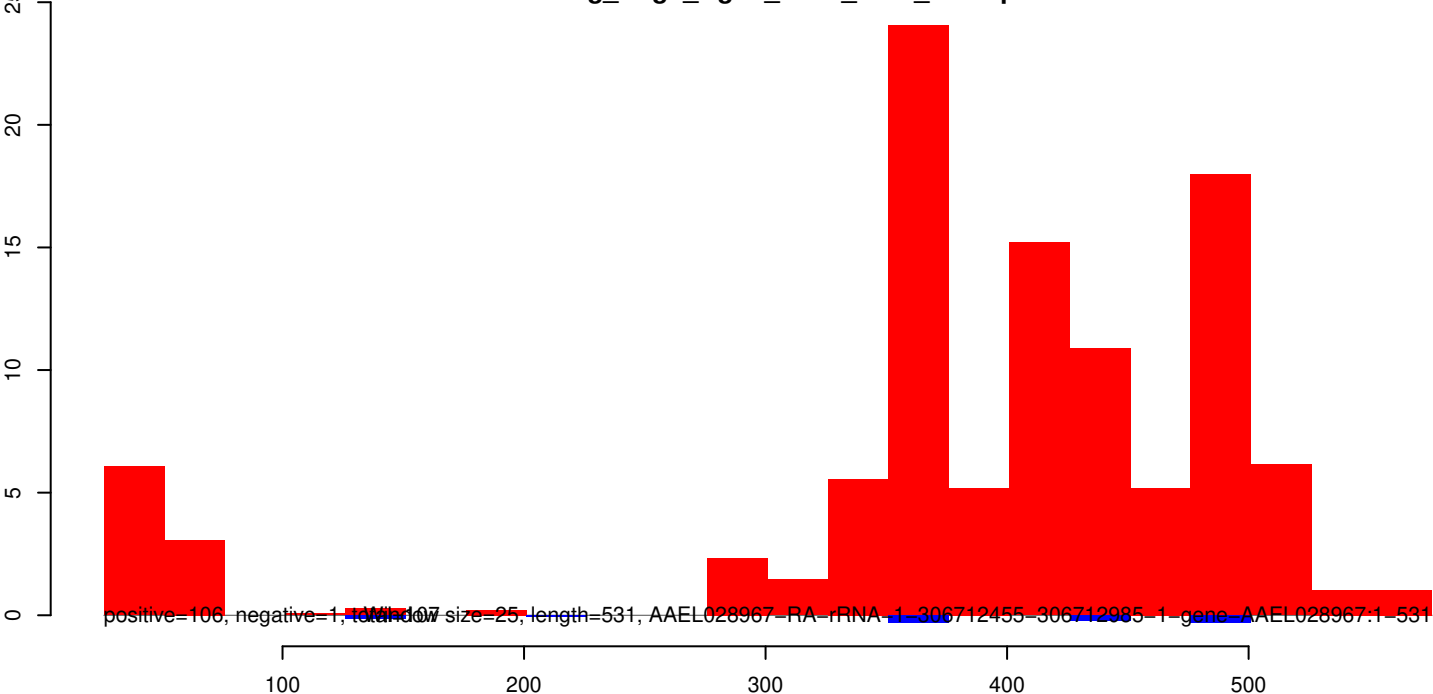
AeAeg_Aag2_Ago2_SINV_Beta_RA.18_23.rep



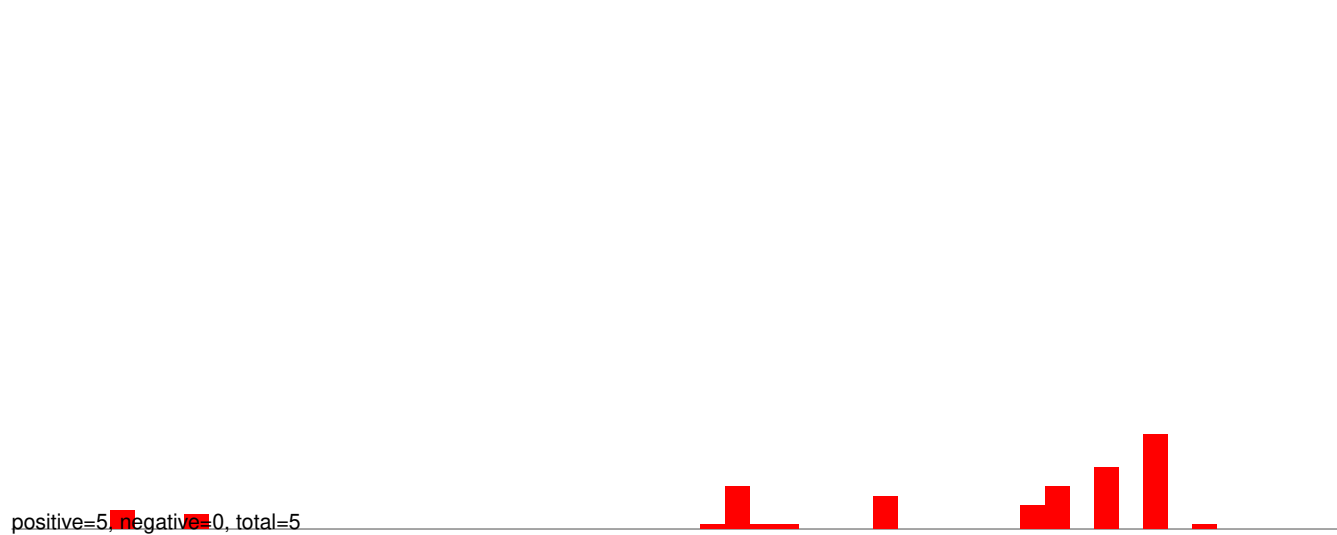
AeAeg_Aag2_Ago2_SINV_Beta_RA.24_35.rep



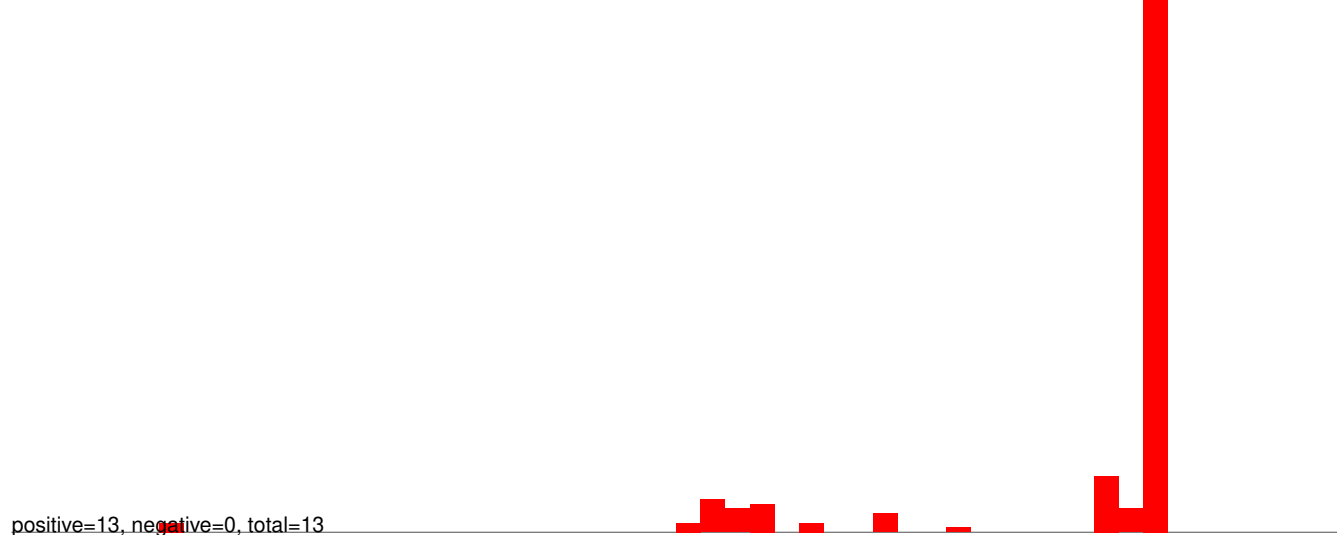
AeAeg_Aag2_Ago2_SINV_Beta_RA.rep



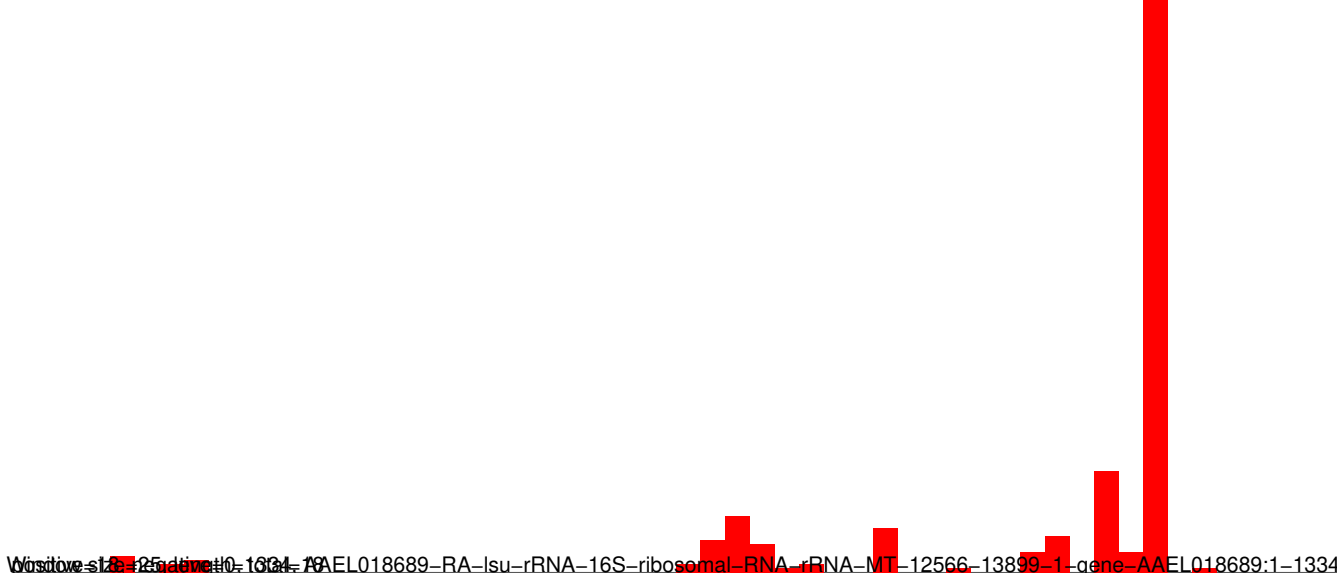
AeAeg_Aag2_Ago2_SINV_Beta_RA.18_23.rep



AeAeg_Aag2_Ago2_SINV_Beta_RA.24_35.rep

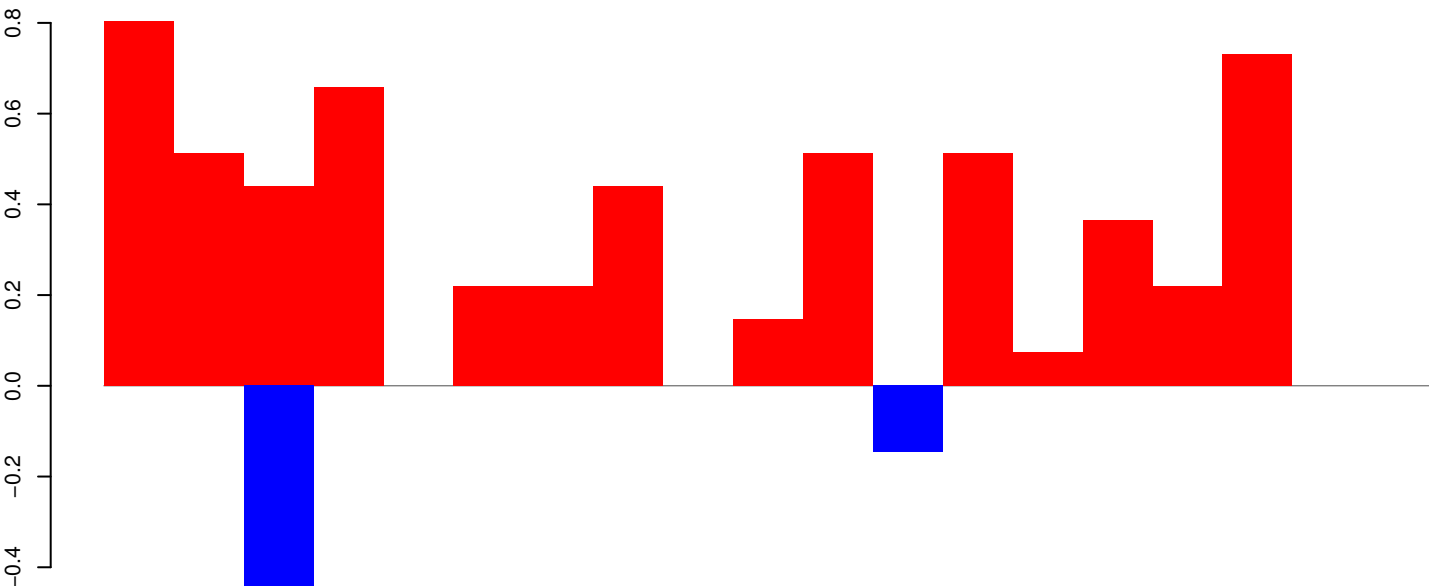


AeAeg_Aag2_Ago2_SINV_Beta_RA.rep



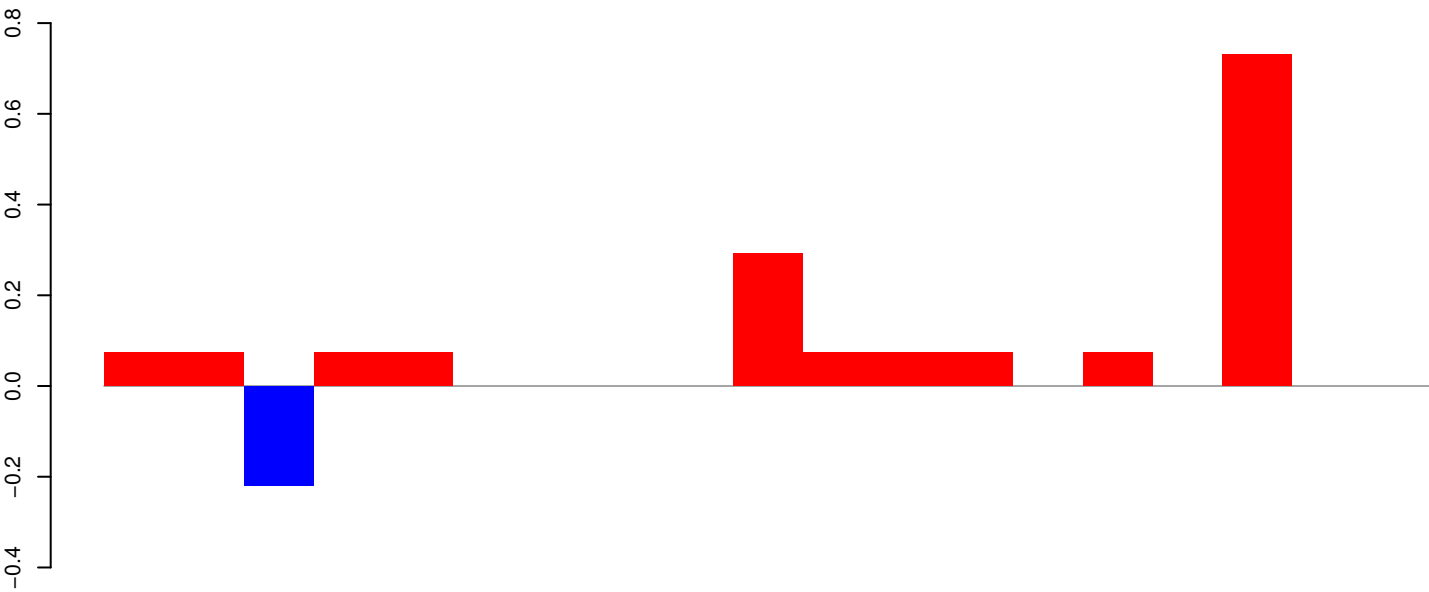
W:\stl\25\611\#0_1624_79\AEL018689-RA-lsu-rRNA-16S-ribosomal-RNA-rRNA-MT-12566-13899-1-gene-AAEL018689:1-1334

AeAeg_Aag2_Ago2_SINV_Beta_RA.18_23.rep



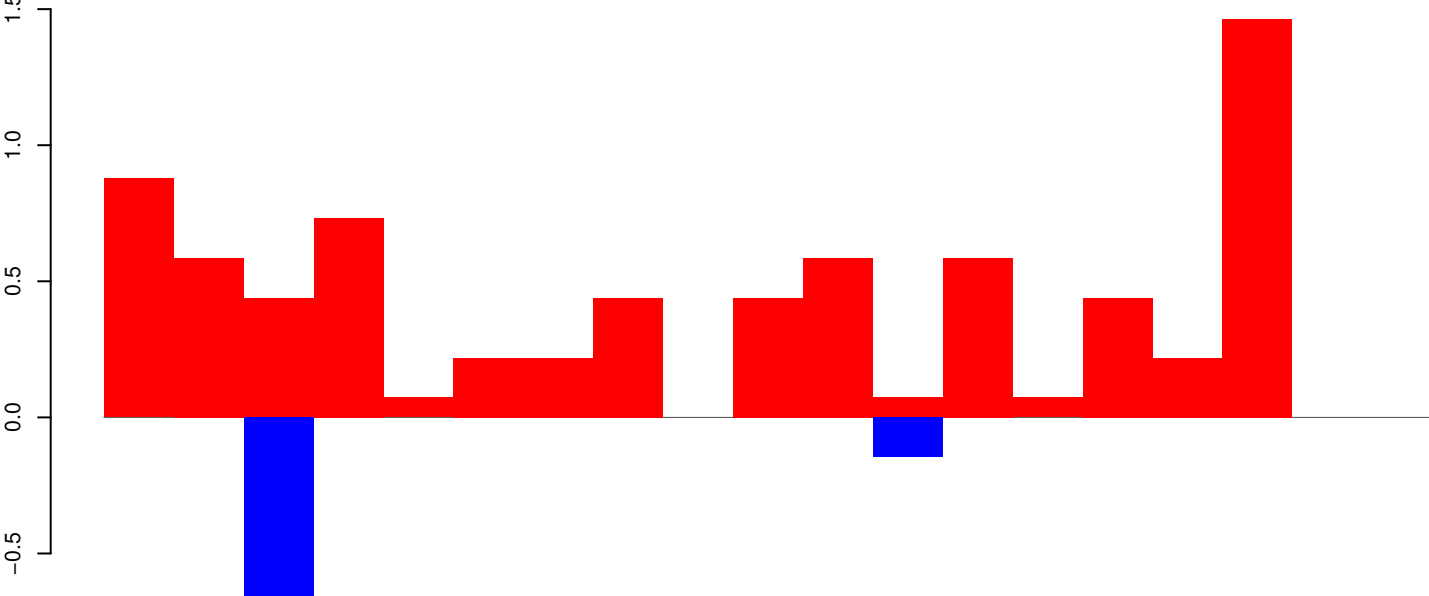
positive=6, negative=1, total=7

AeAeg_Aag2_Ago2_SINV_Beta_RA.24_35.rep



positive=2, negative=0, total=2

AeAeg_Aag2_Ago2_SINV_Beta_RA.rep



positive=7, negative=1, total=8 window size=25, length=454, AAEL019334-RA-rRNA-1-80235230-80235683-1-gene-AAEL019334:1-454

100

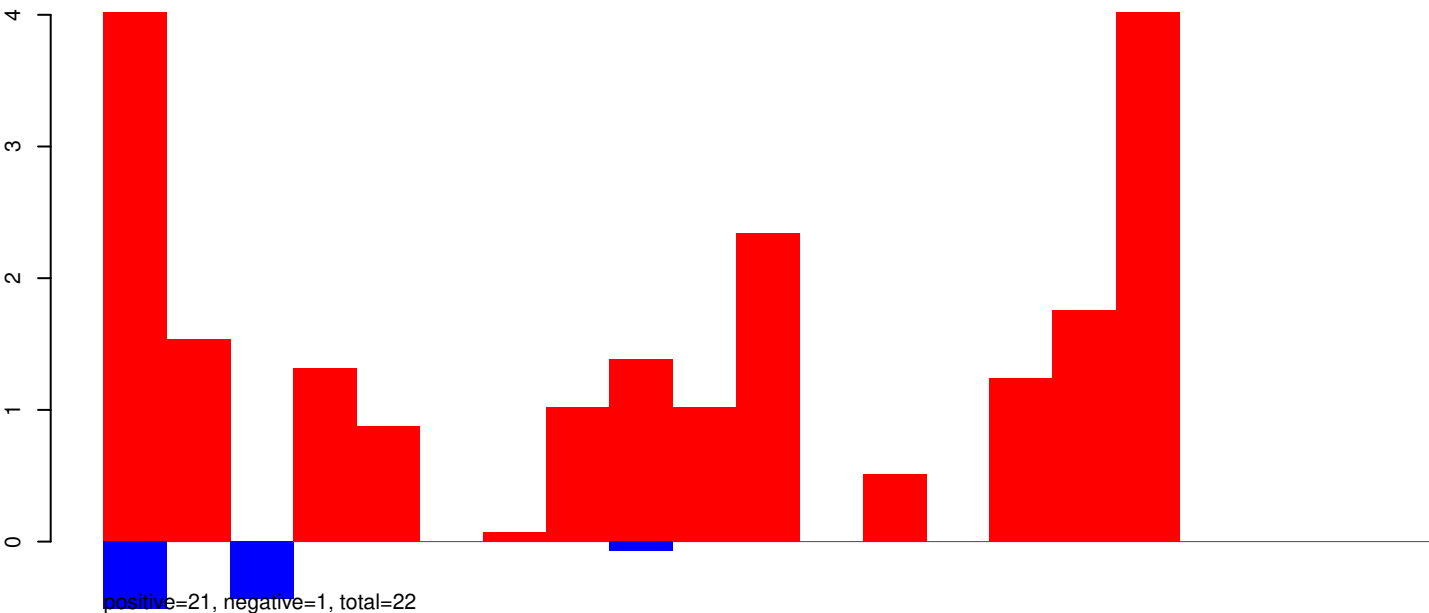
200

300

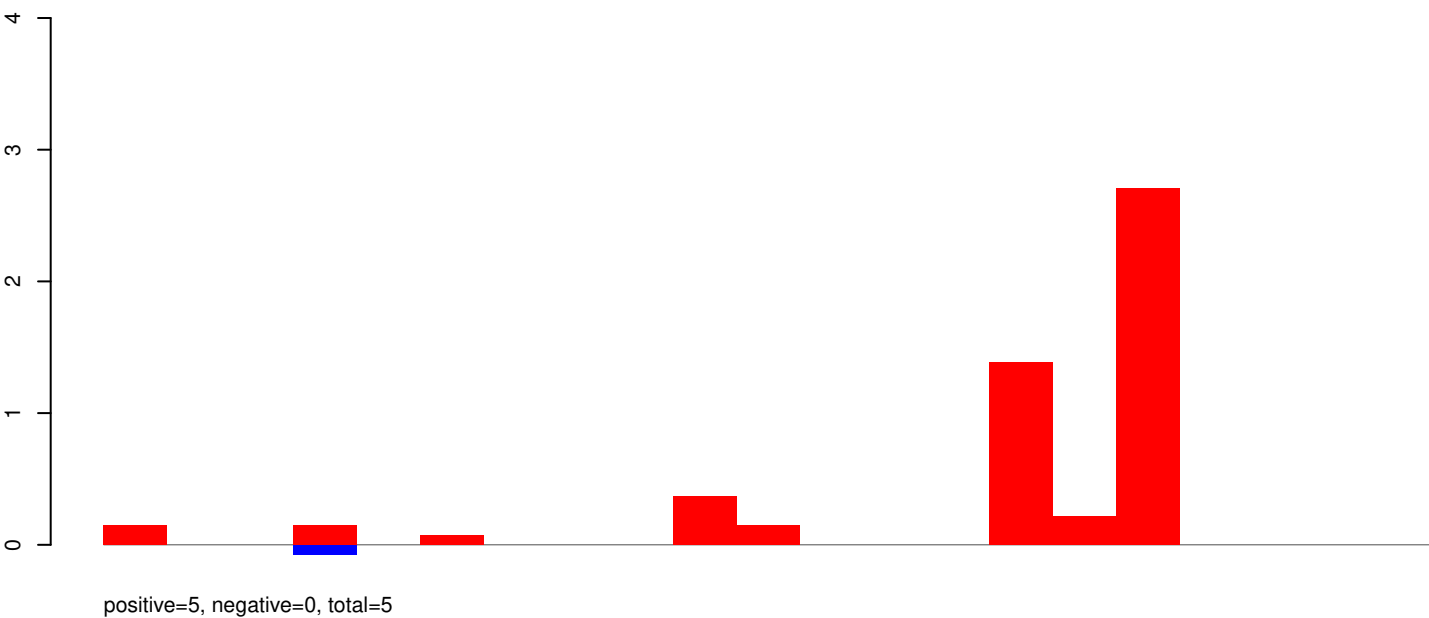
400

500

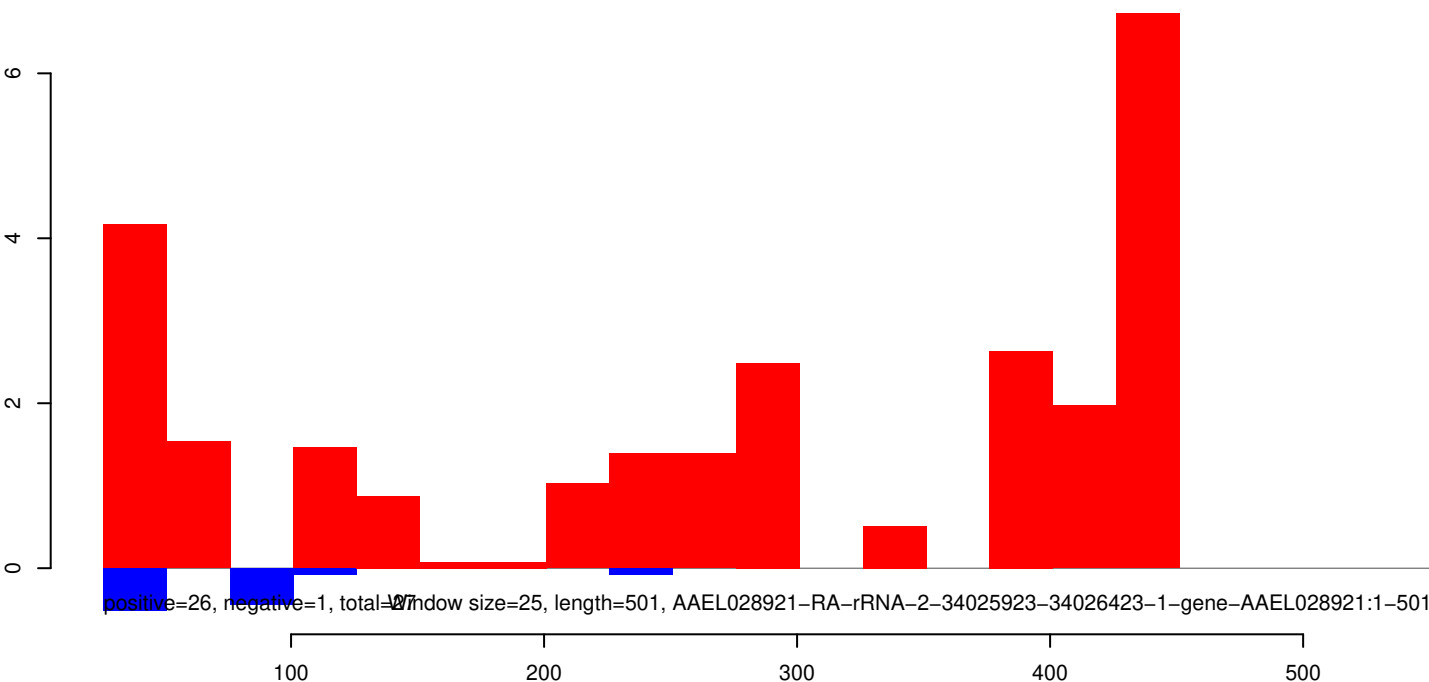
AeAeg_Aag2_Ago2_SINV_Beta_RA.18_23.rep



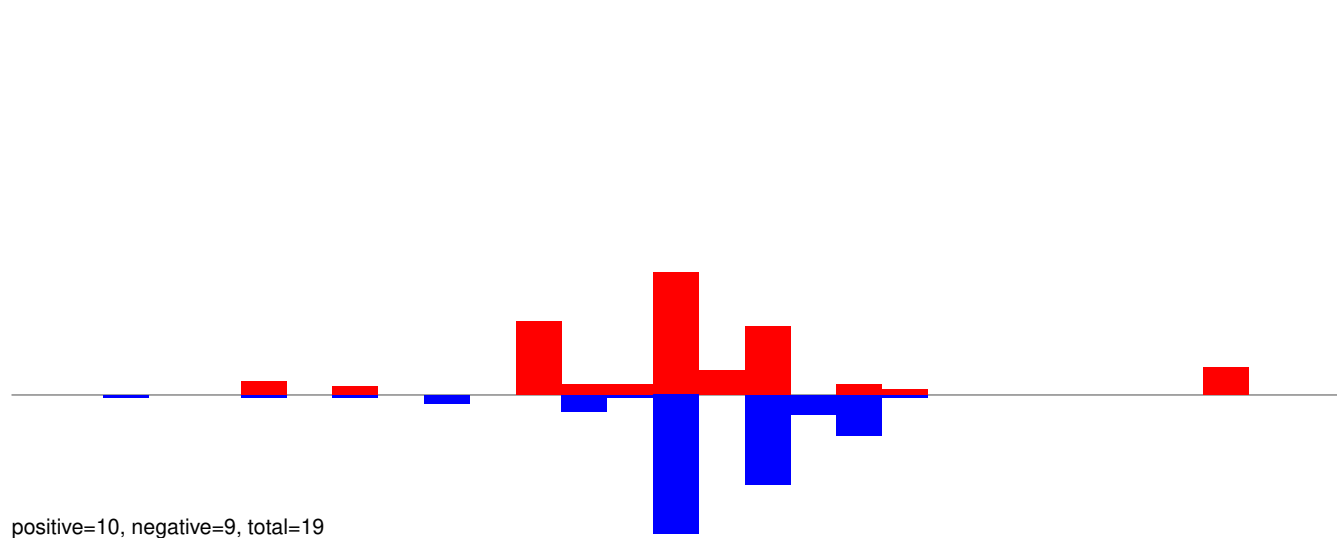
AeAeg_Aag2_Ago2_SINV_Beta_RA.24_35.rep



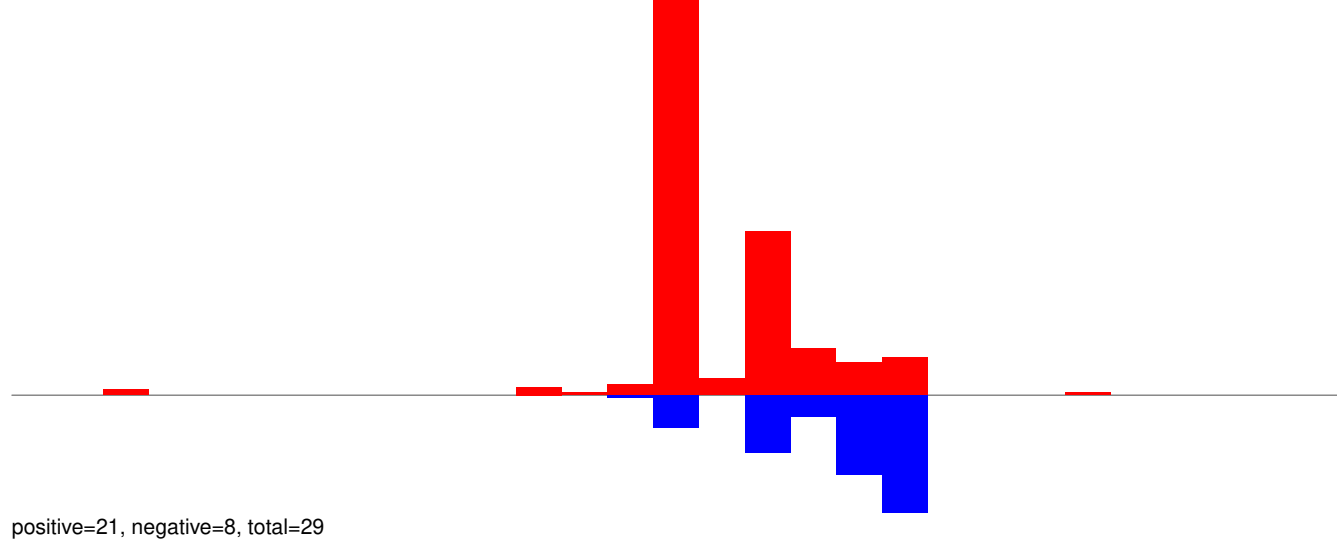
AeAeg_Aag2_Ago2_SINV_Beta_RA.rep



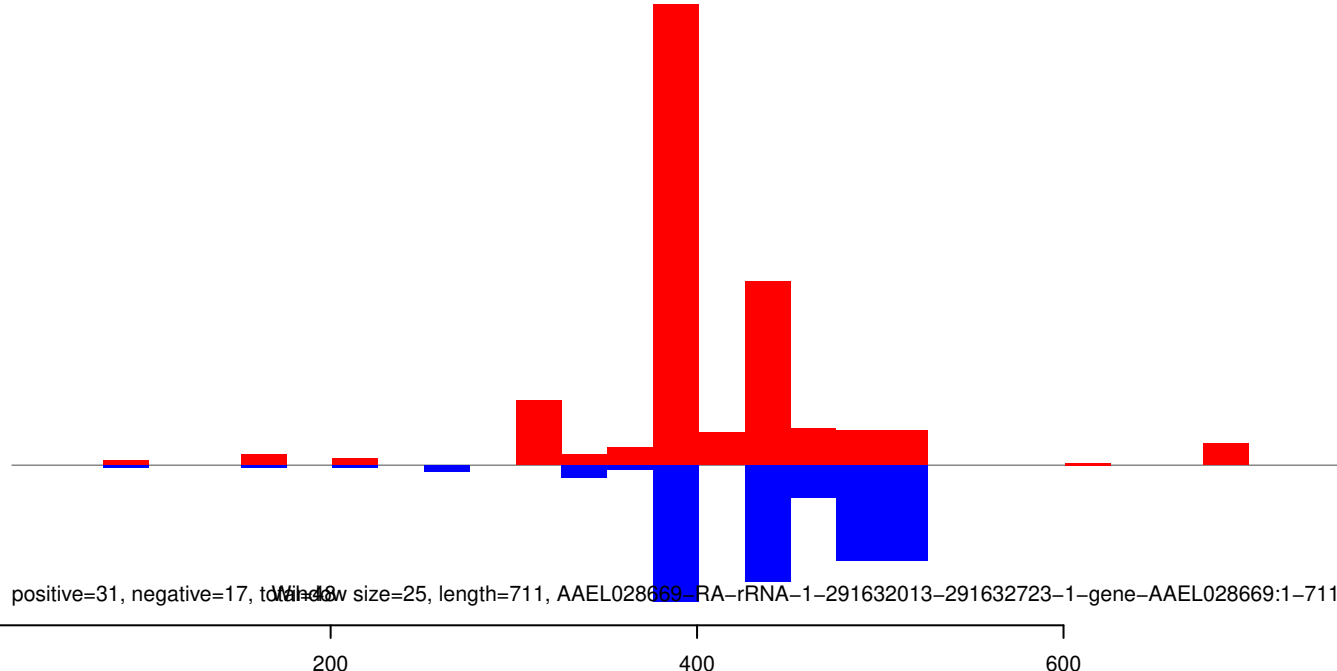
AeAeg_Aag2_Ago2_SINV_Beta_RA.18_23.rep



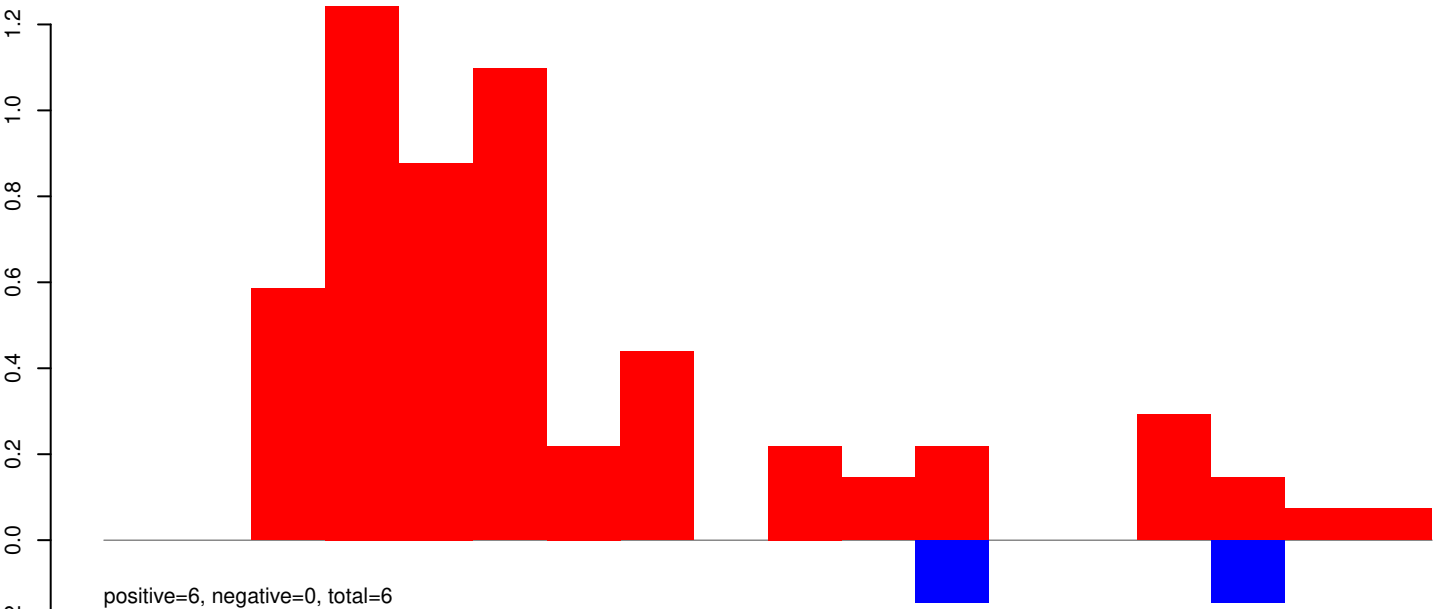
AeAeg_Aag2_Ago2_SINV_Beta_RA.24_35.rep



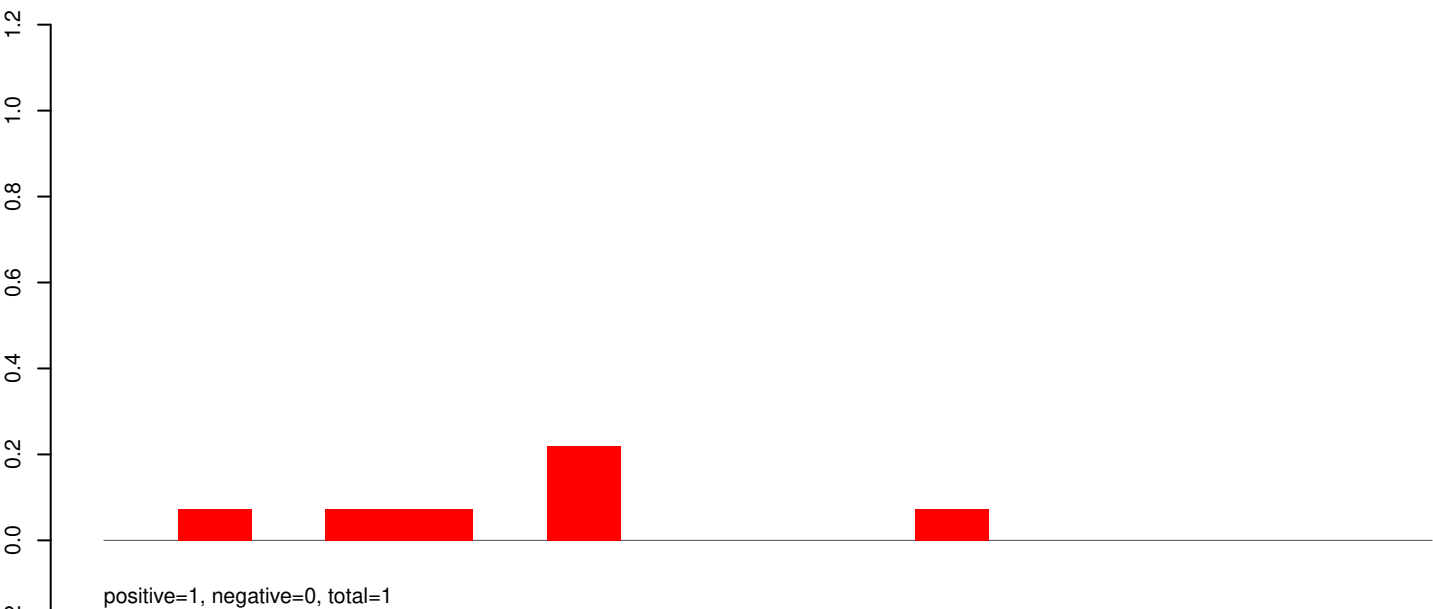
AeAeg_Aag2_Ago2_SINV_Beta_RA.rep



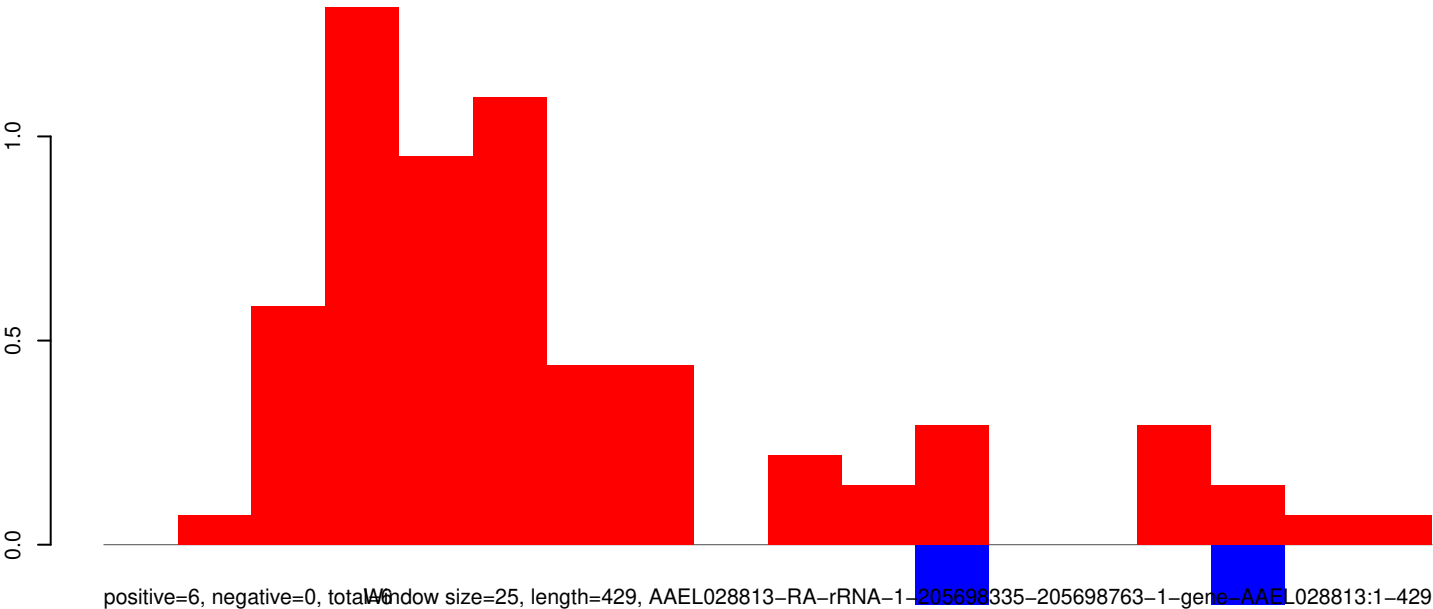
AeAeg_Aag2_Ago2_SINV_Beta_RA.18_23.rep



AeAeg_Aag2_Ago2_SINV_Beta_RA.24_35.rep

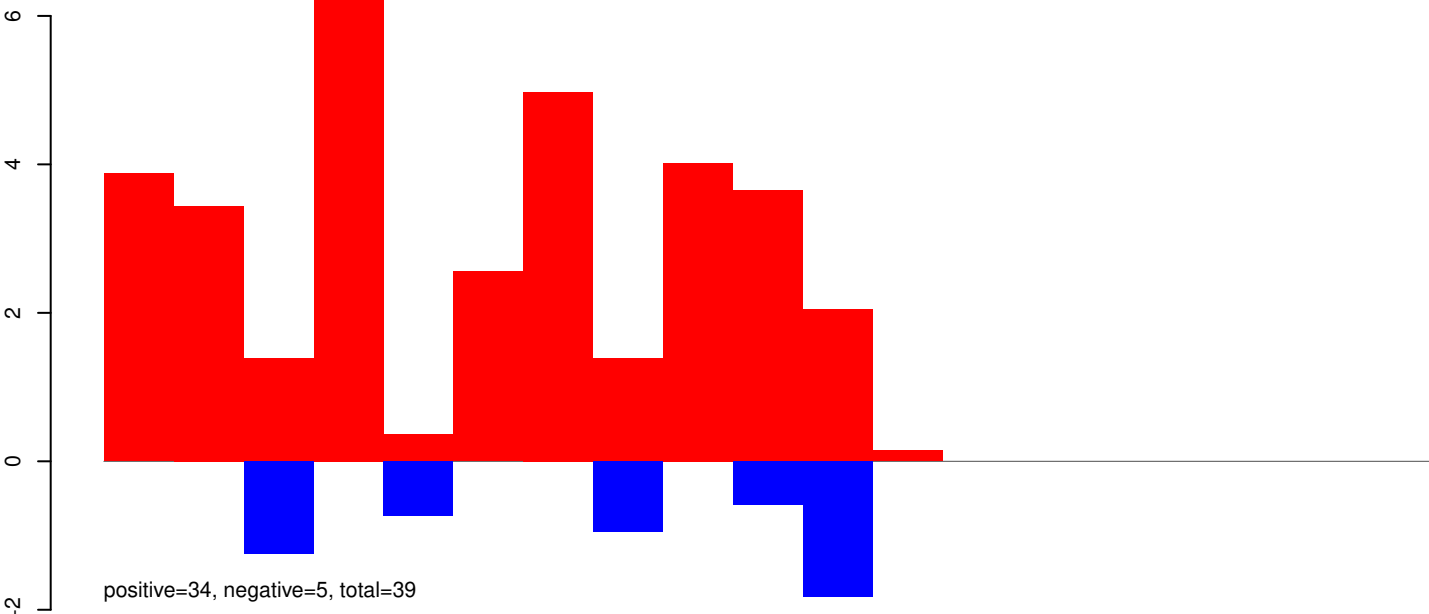


AeAeg_Aag2_Ago2_SINV_Beta_RA.rep

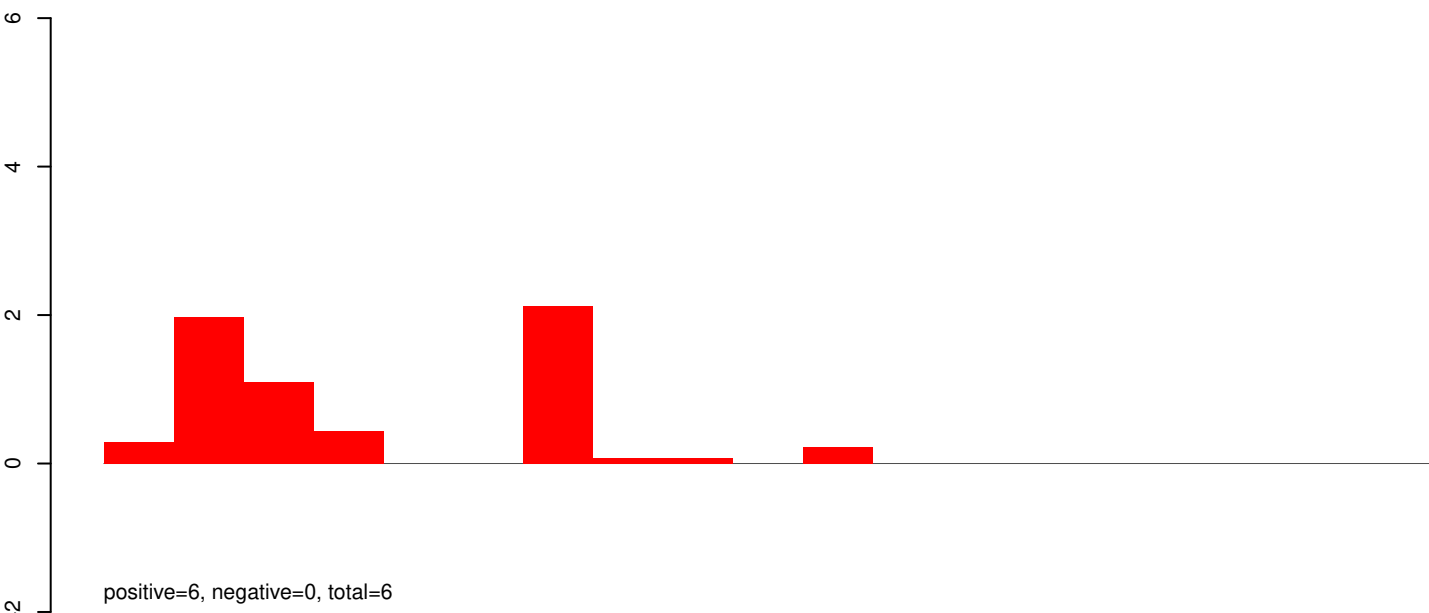


Window size=25, length=429, AAEL028813-RA-rRNA-1-205698335-205698763-1-gene-AAEL028813:1-429

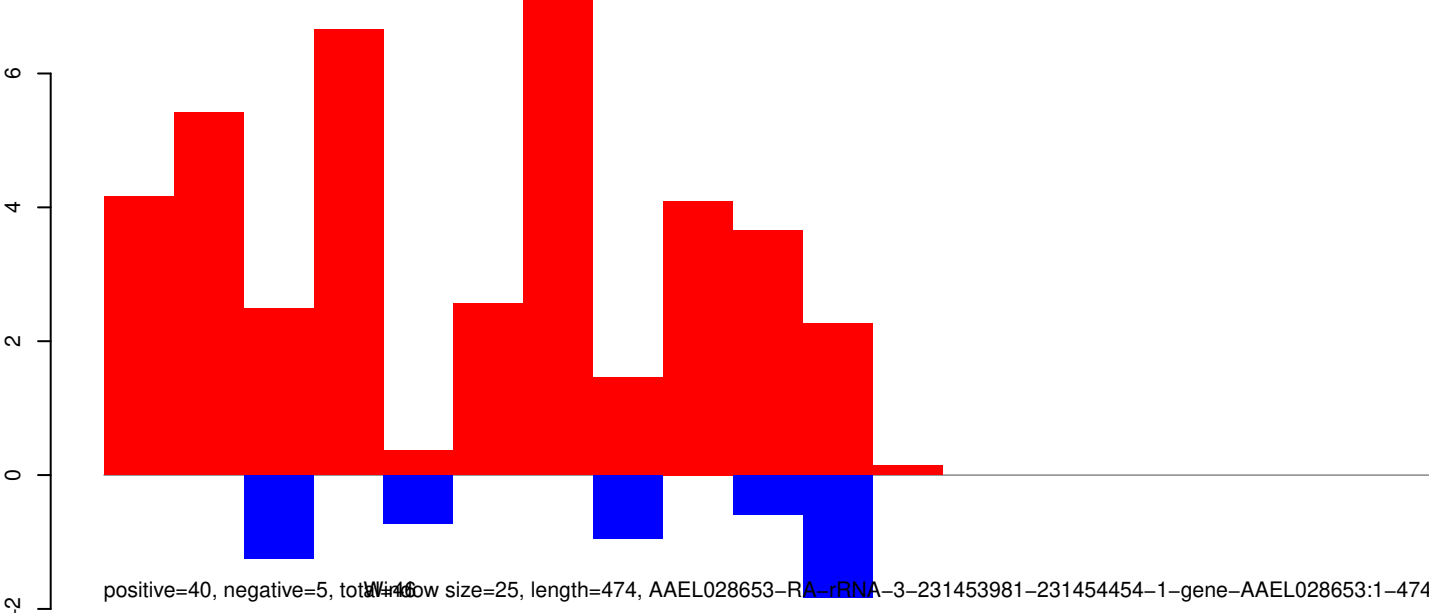
AeAeg_Aag2_Ago2_SINV_Beta_RA.18_23.rep



AeAeg_Aag2_Ago2_SINV_Beta_RA.24_35.rep

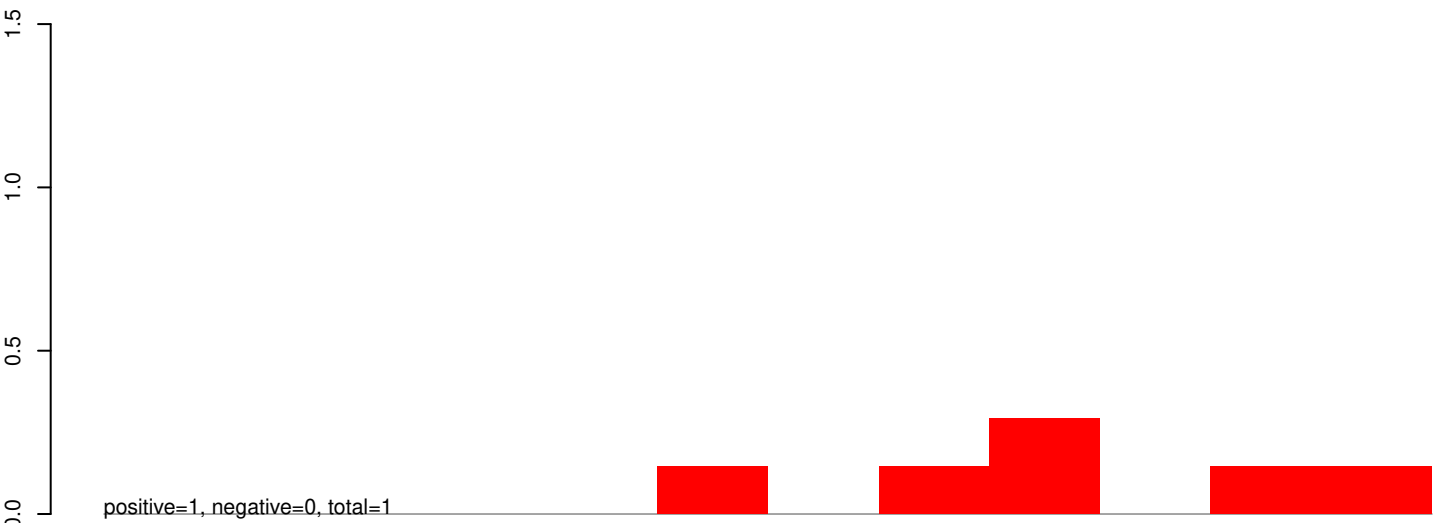


AeAeg_Aag2_Ago2_SINV_Beta_RA.rep

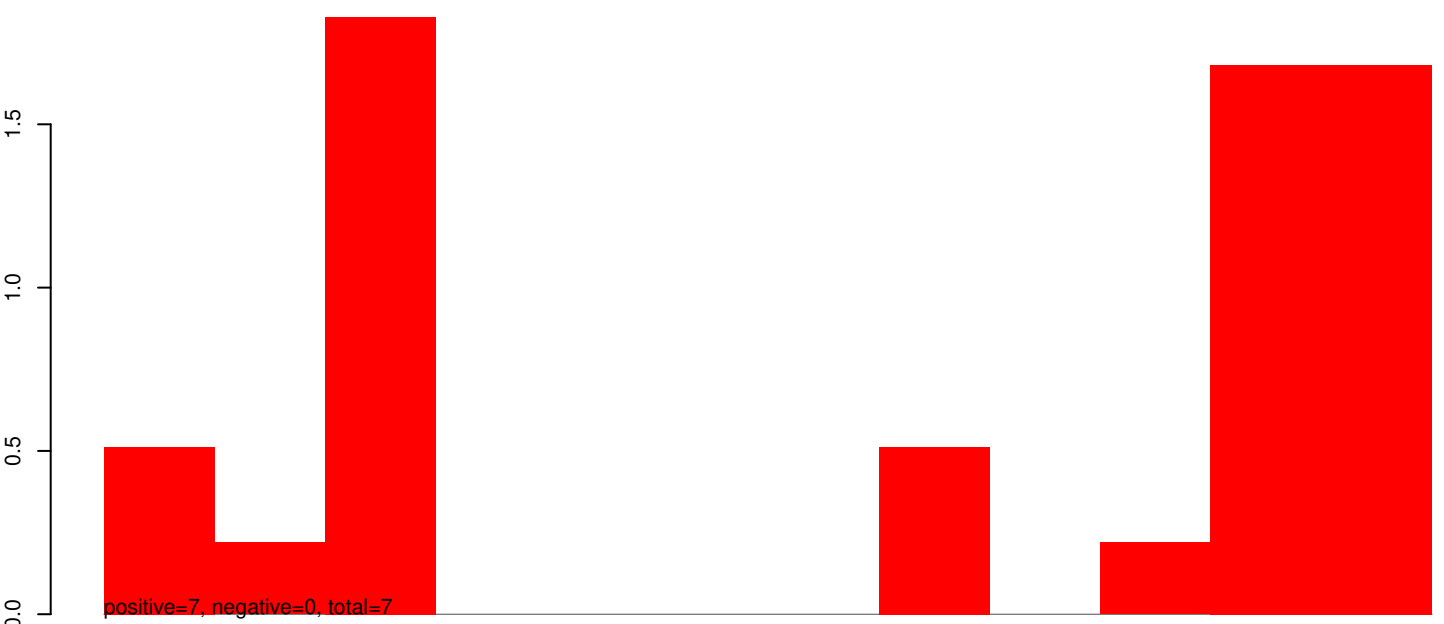


Window size=25, length=474, AAEL028653-RA-rRNA-3-231453981-231454454-1-gene-AAEL028653:1-474

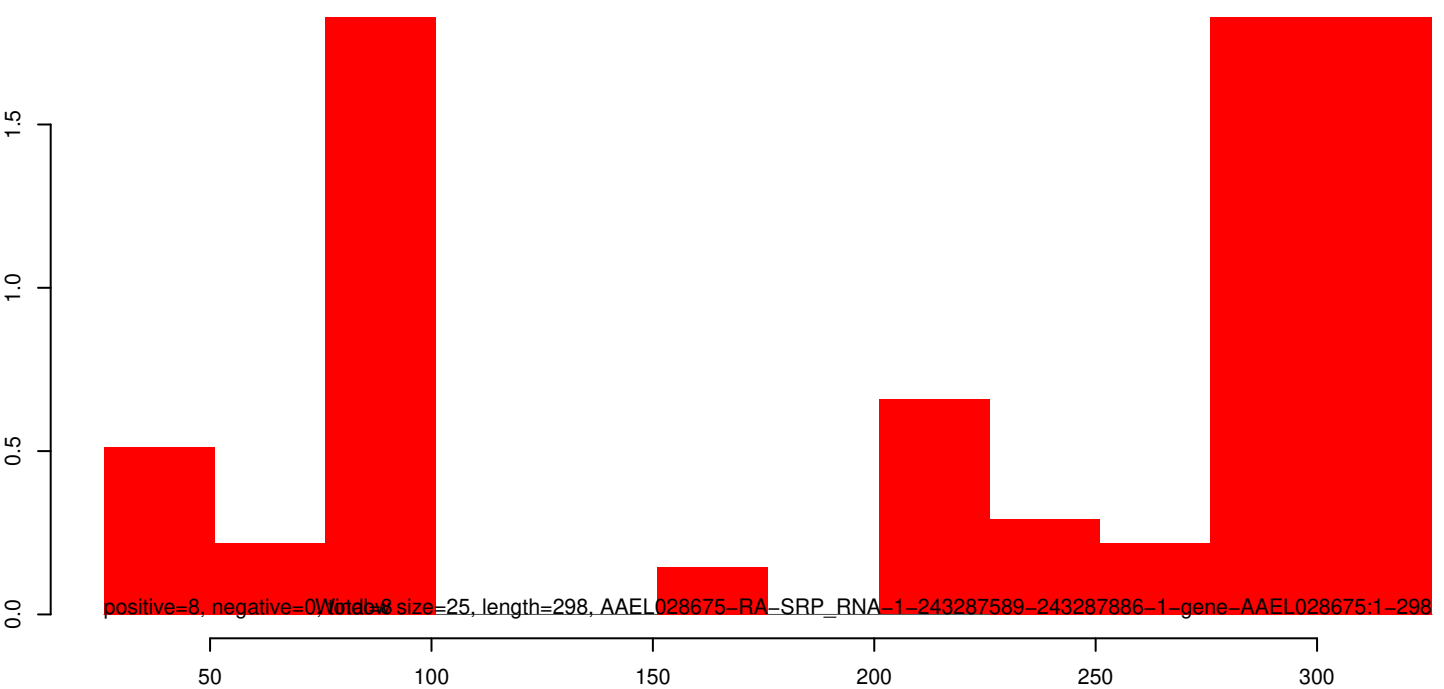
AeAeg_Aag2_Ago2_SINV_Beta_RA.18_23.rep



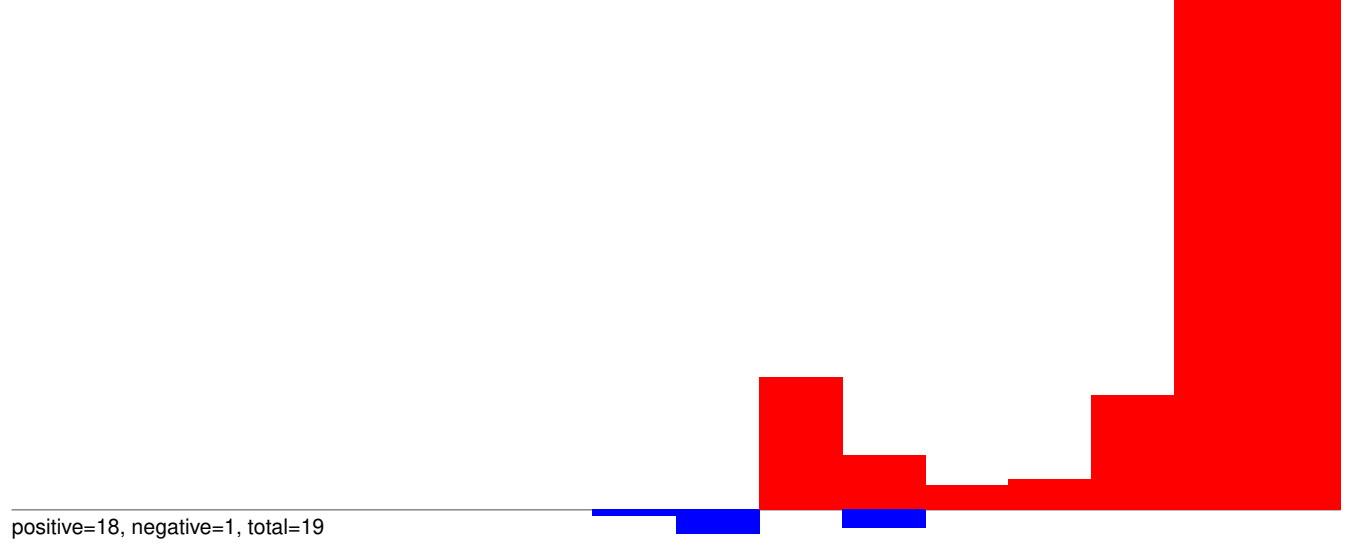
AeAeg_Aag2_Ago2_SINV_Beta_RA.24_35.rep



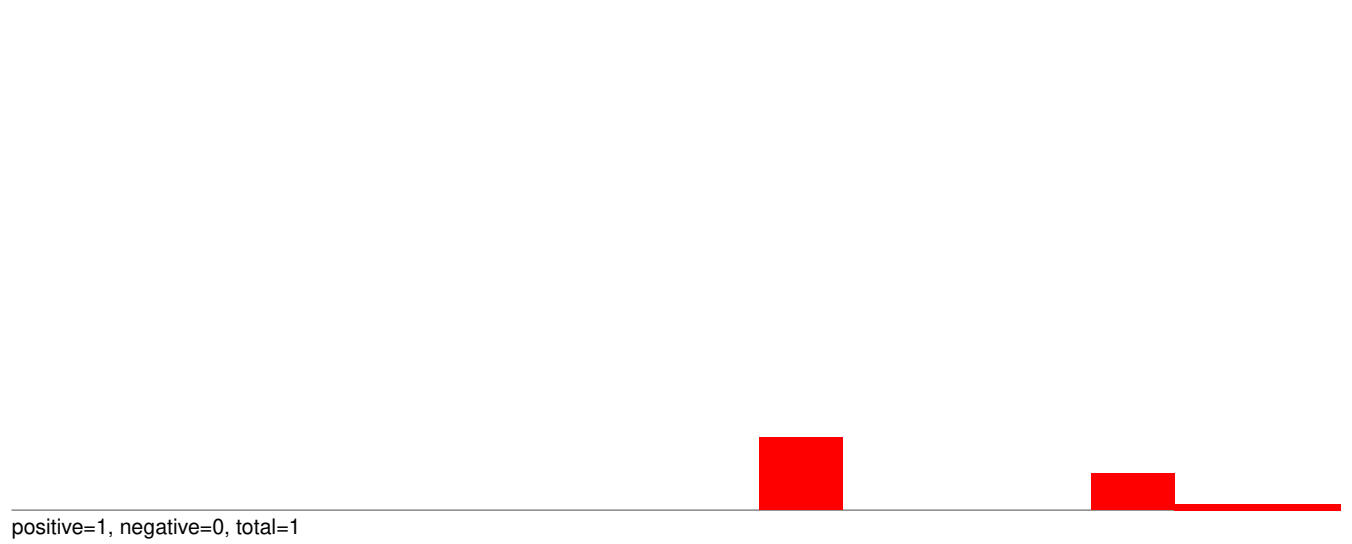
AeAeg_Aag2_Ago2_SINV_Beta_RA.rep



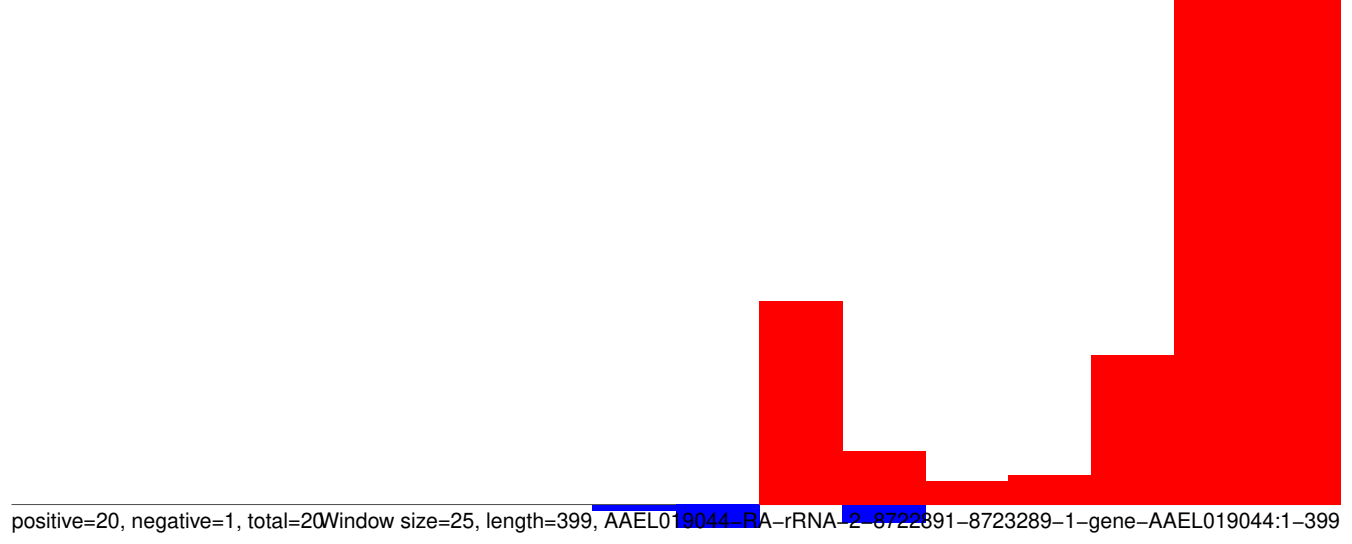
AeAeg_Aag2_Ago2_SINV_Beta_RA.18_23.rep



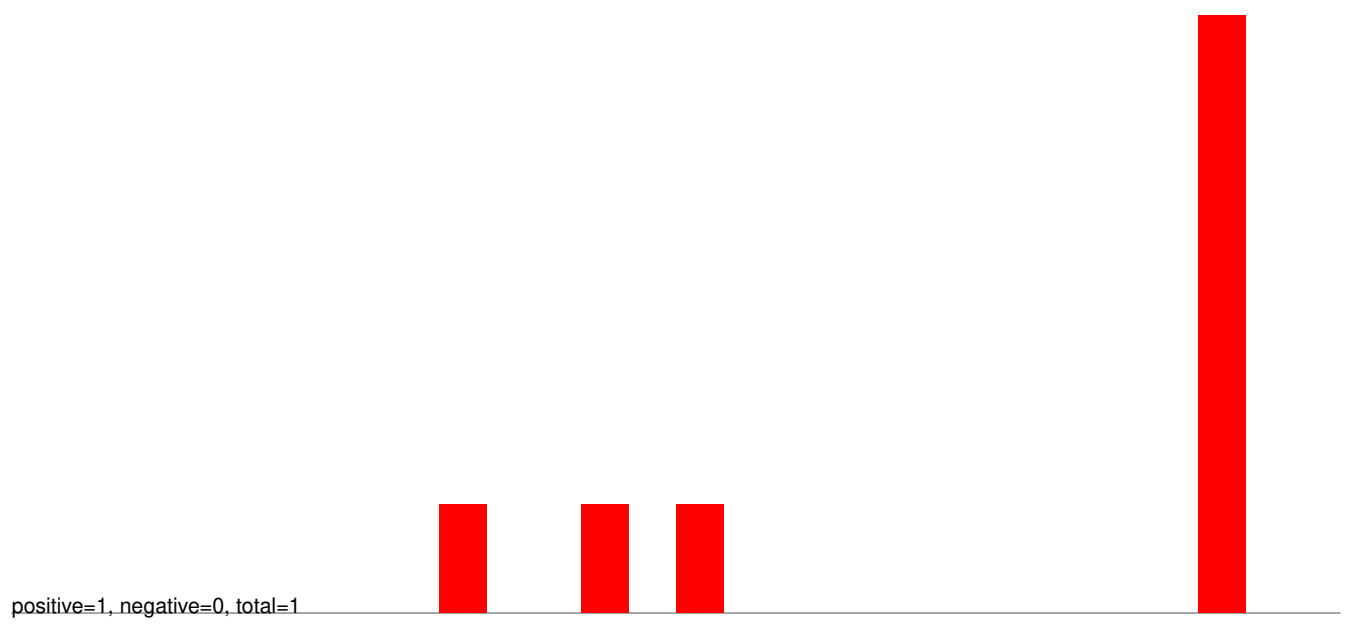
AeAeg_Aag2_Ago2_SINV_Beta_RA.24_35.rep



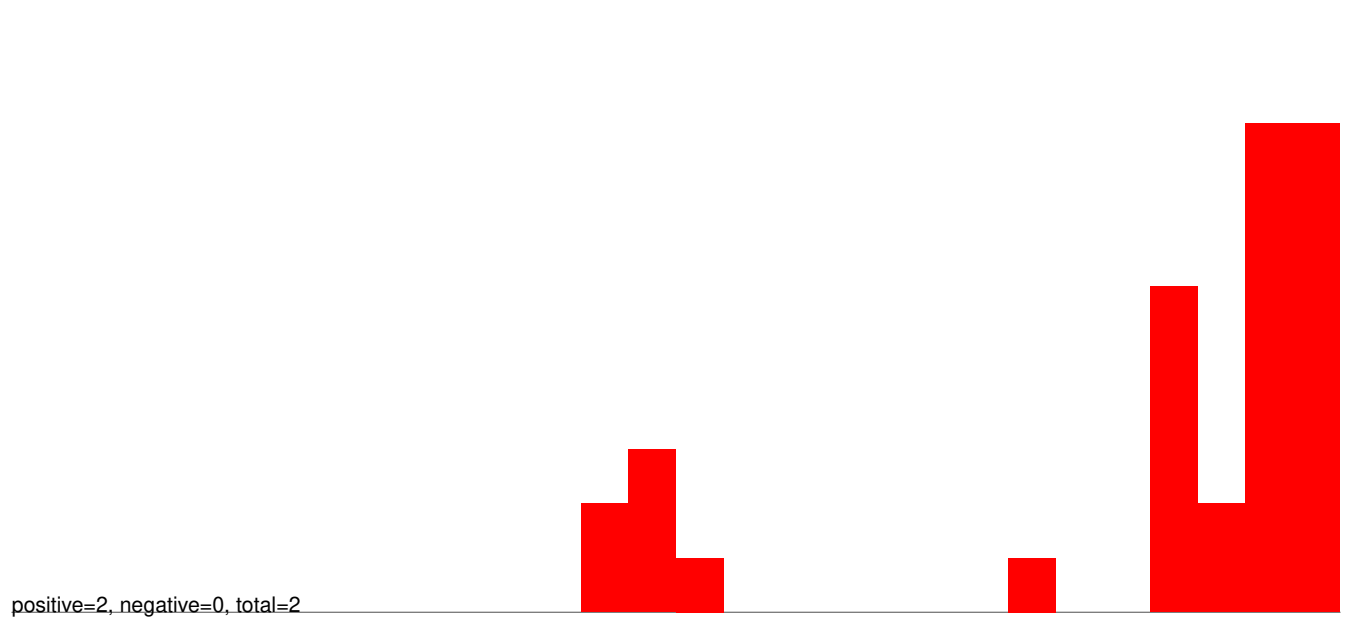
AeAeg_Aag2_Ago2_SINV_Beta_RA.rep



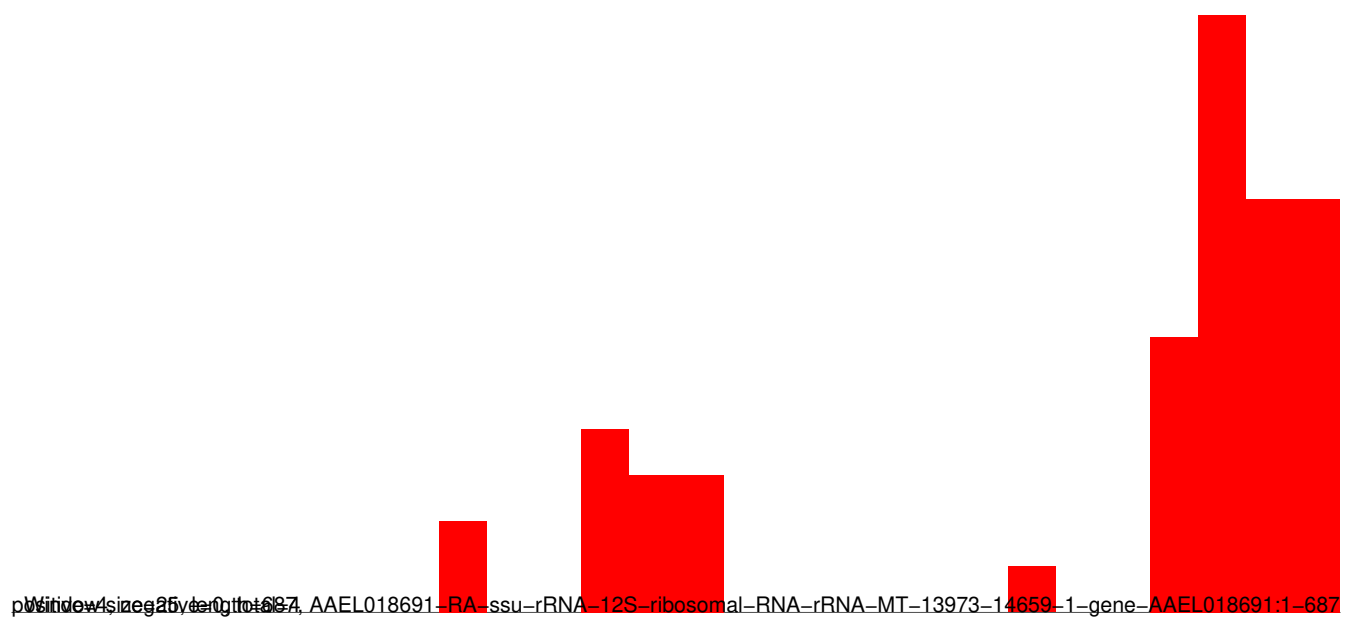
AeAeg_Aag2_Ago2_SINV_Beta_RA.18_23.rep



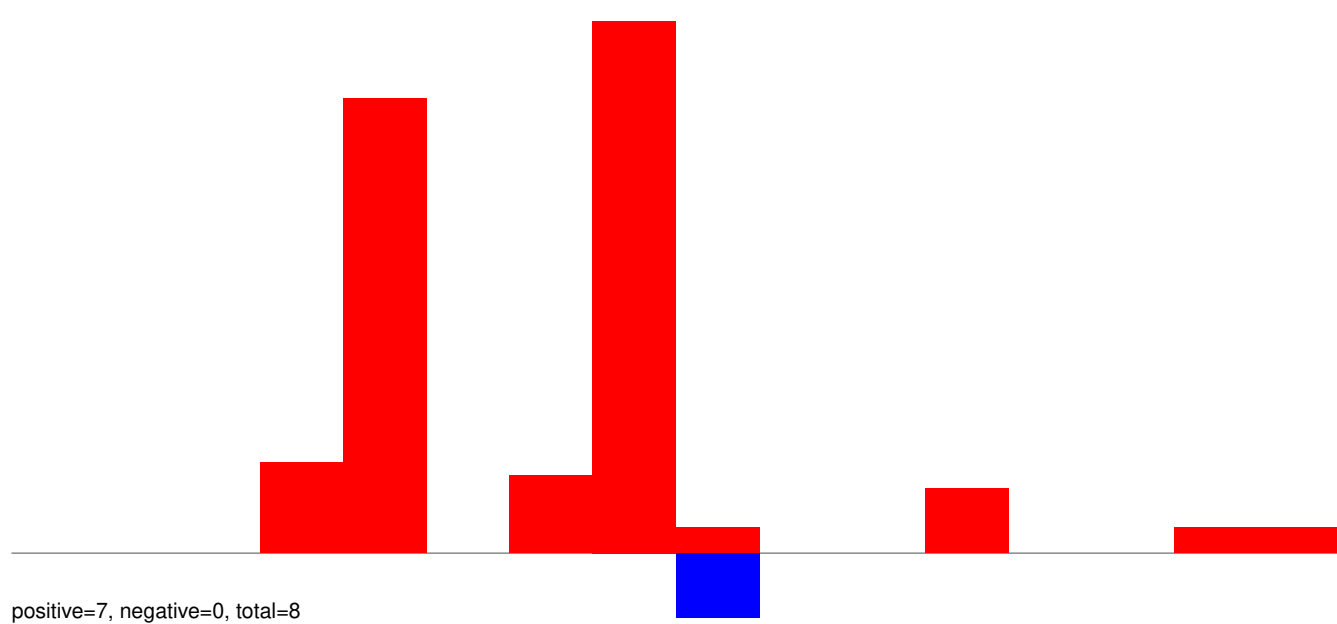
AeAeg_Aag2_Ago2_SINV_Beta_RA.24_35.rep



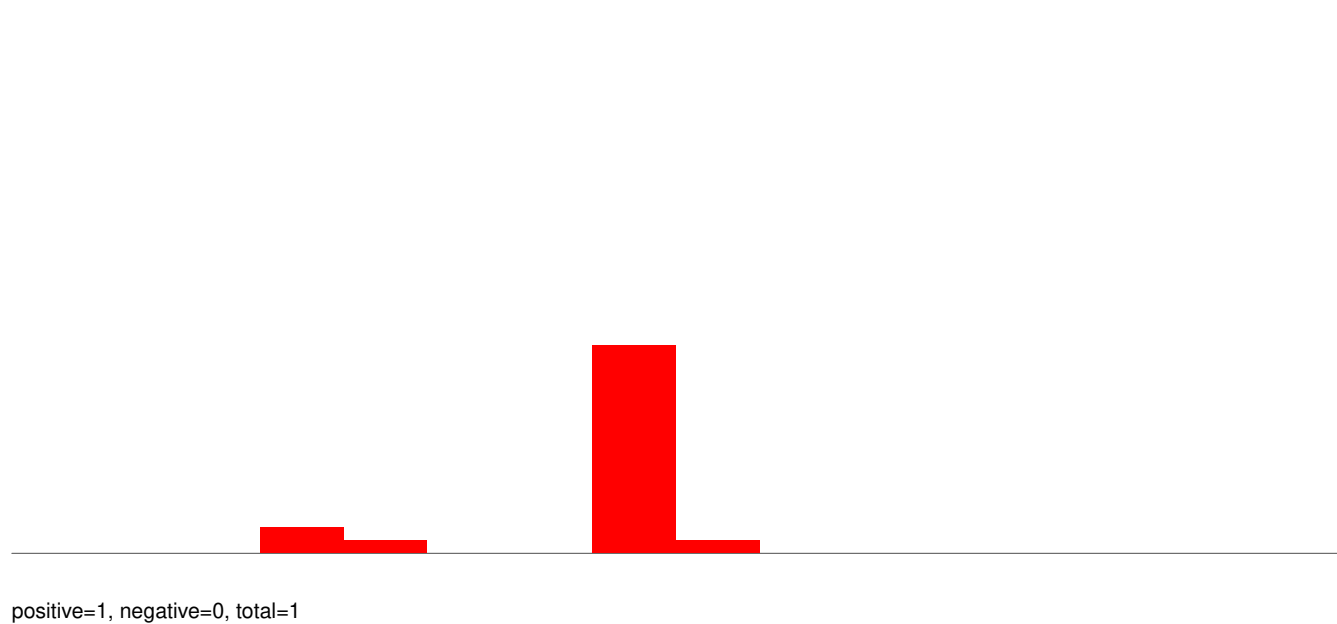
AeAeg_Aag2_Ago2_SINV_Beta_RA.rep



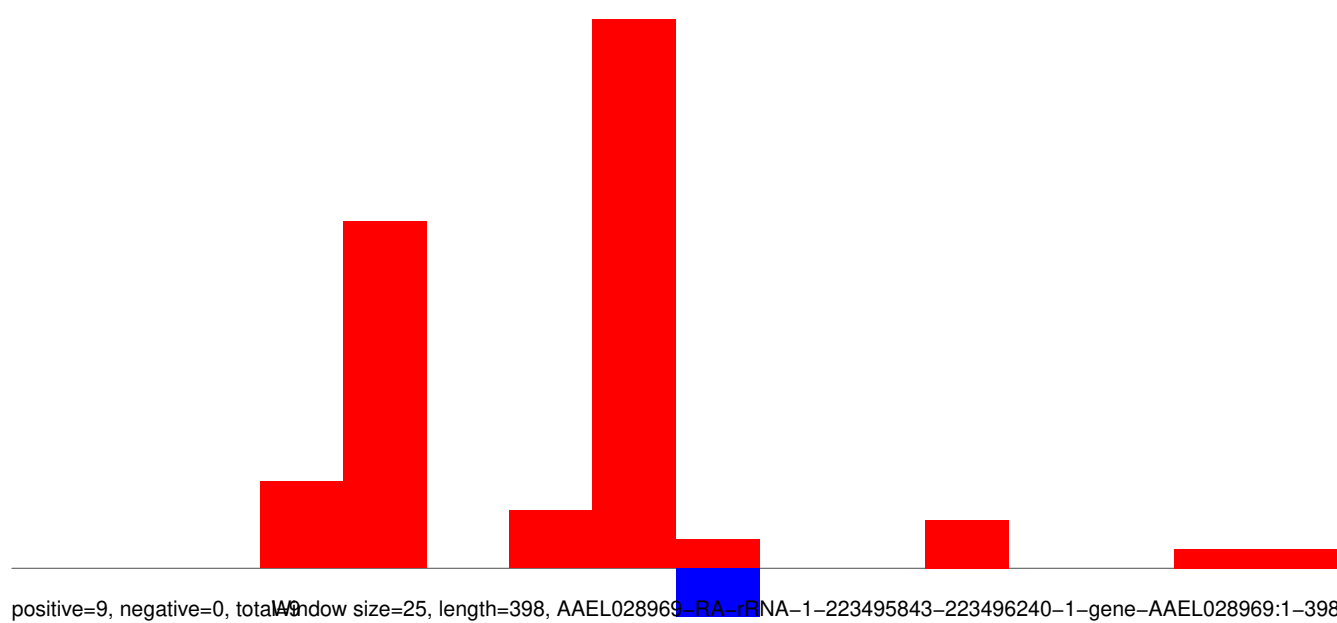
AeAeg_Aag2_Ago2_SINV_Beta_RA.18_23.rep



AeAeg_Aag2_Ago2_SINV_Beta_RA.24_35.rep

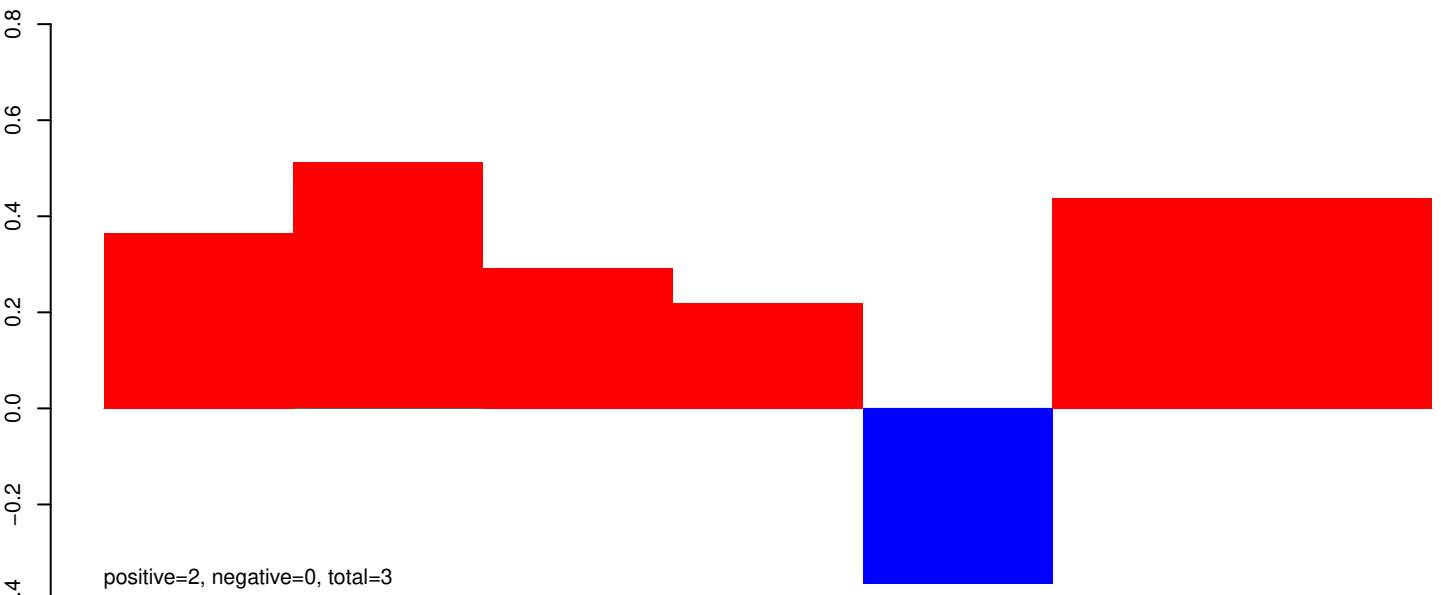


AeAeg_Aag2_Ago2_SINV_Beta_RA.rep

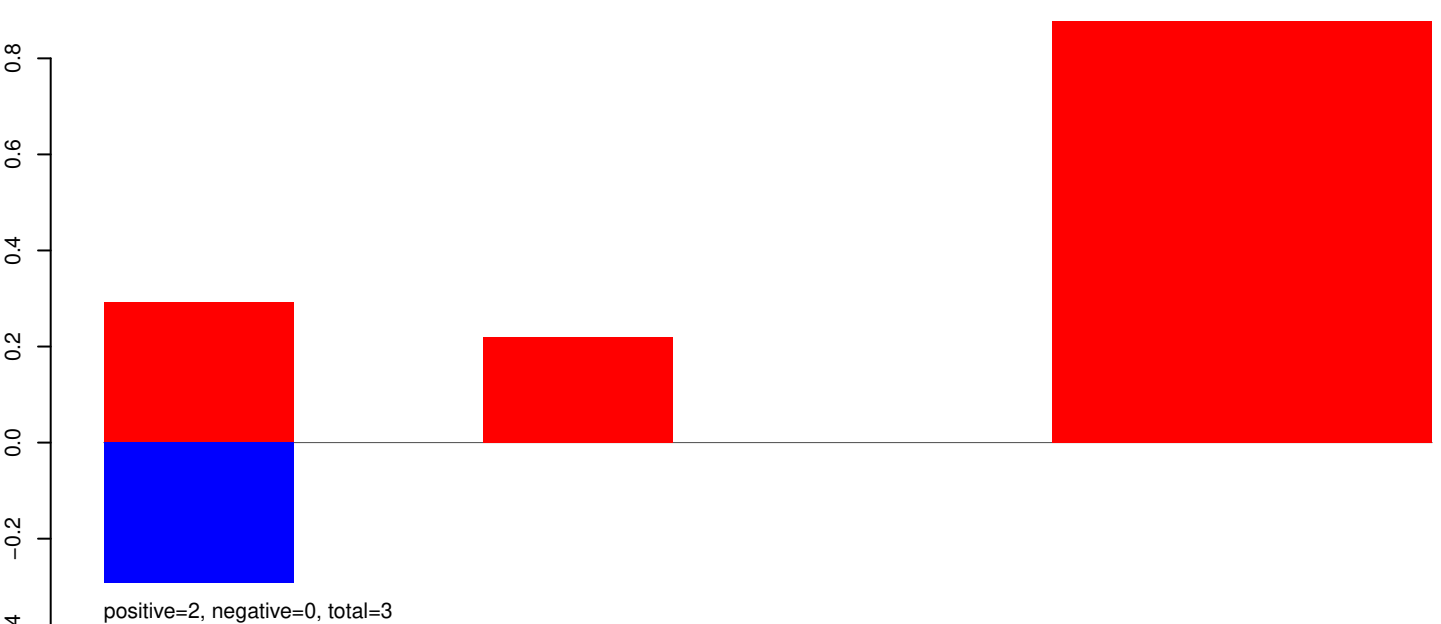


Window size=25, length=398, AAEL028969-RA-rRNA-1-223495843-223496240-1-gene-AAEL028969:1-398

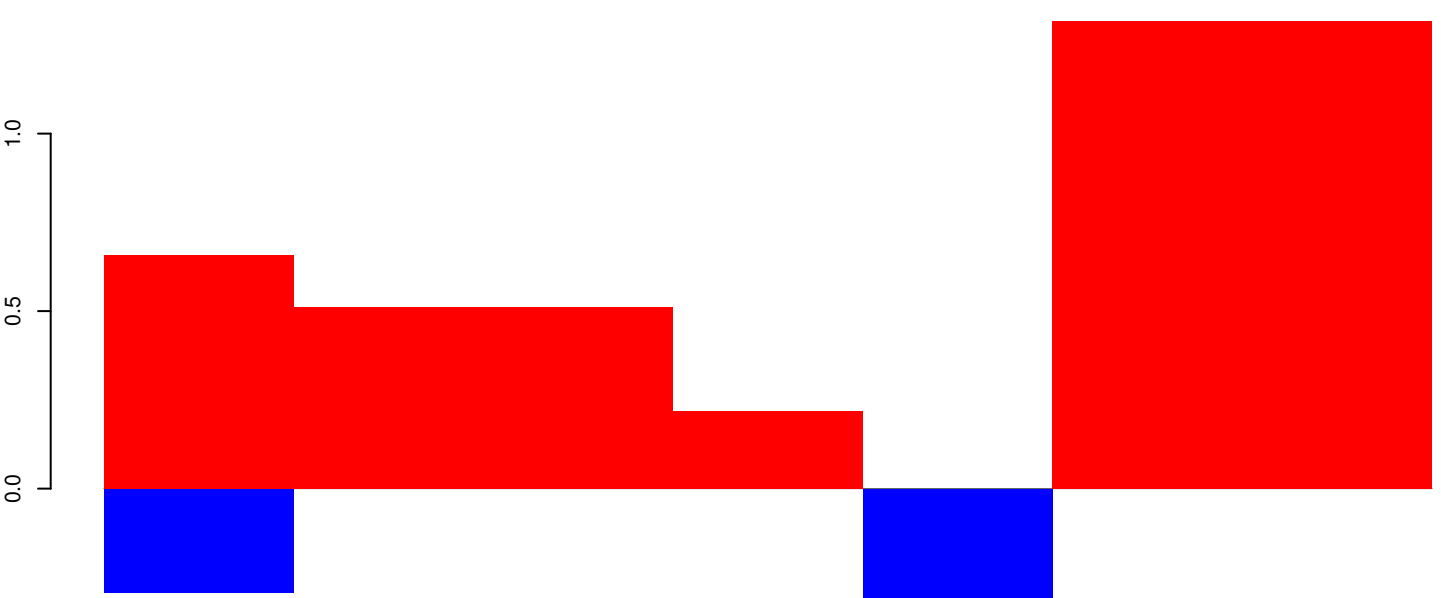
AeAeg_Aag2_Ago2_SINV_Beta_RA.18_23.rep



AeAeg_Aag2_Ago2_SINV_Beta_RA.24_35.rep

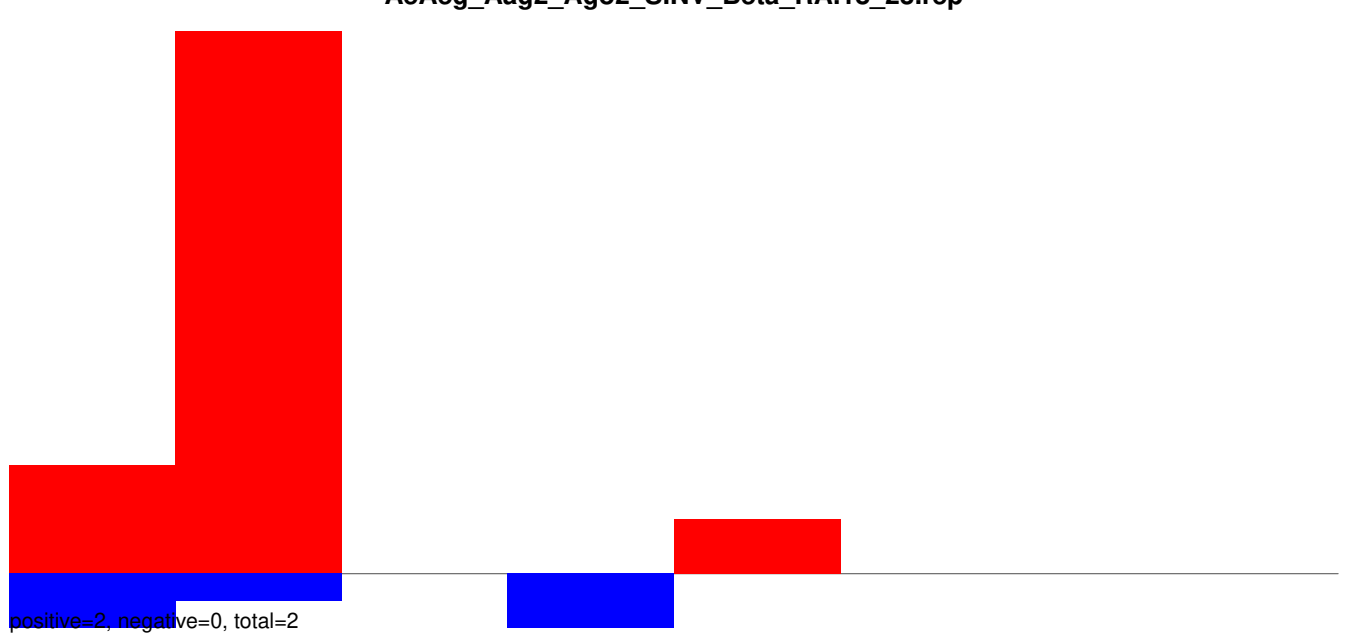


AeAeg_Aag2_Ago2_SINV_Beta_RA.rep



Window size=25, length=153, AAEL028884-RA-rRNA-1-205724288-205724440-1-gene-AAEL028884:1-153

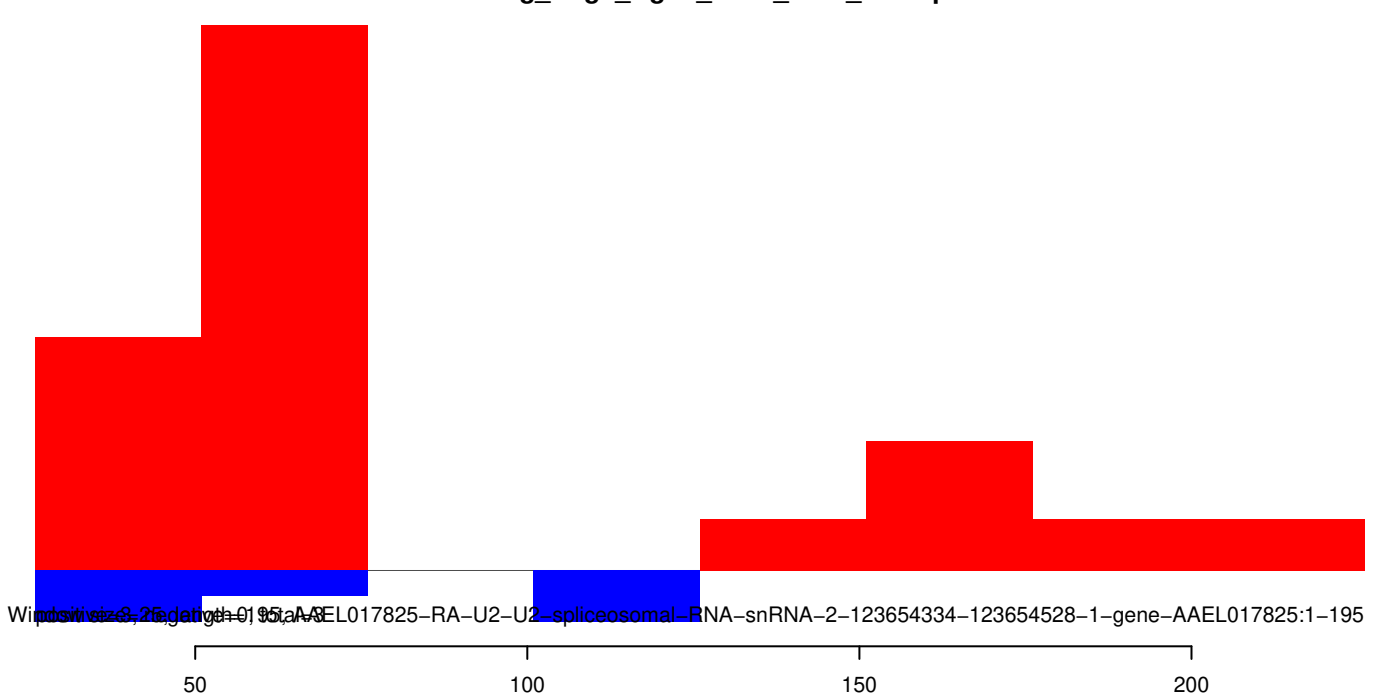
AeAeg_Aag2_Ago2_SINV_Beta_RA.18_23.rep



AeAeg_Aag2_Ago2_SINV_Beta_RA.24_35.rep

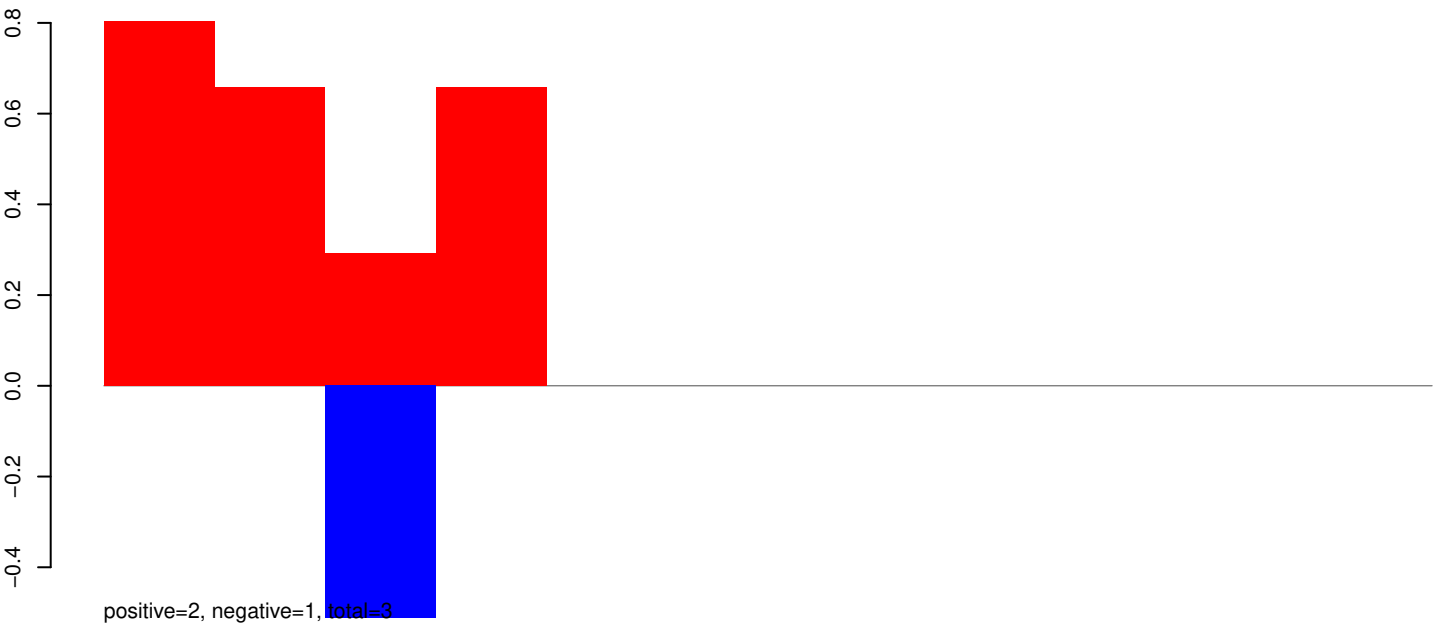


AeAeg_Aag2_Ago2_SINV_Beta_RA.rep

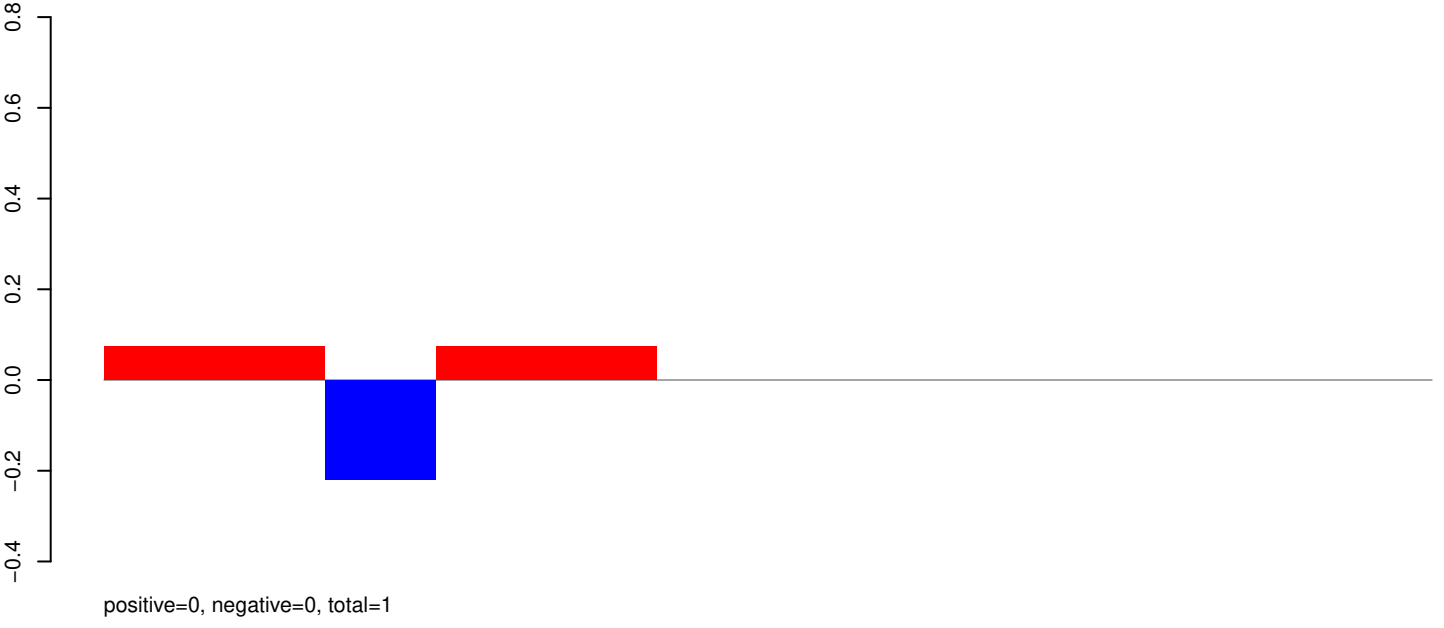


AAEL017825-RA-U2-U2-spliceosomal-RNA-snRNA-2-123654334-123654528-1-gene-AAEL017825:1-195

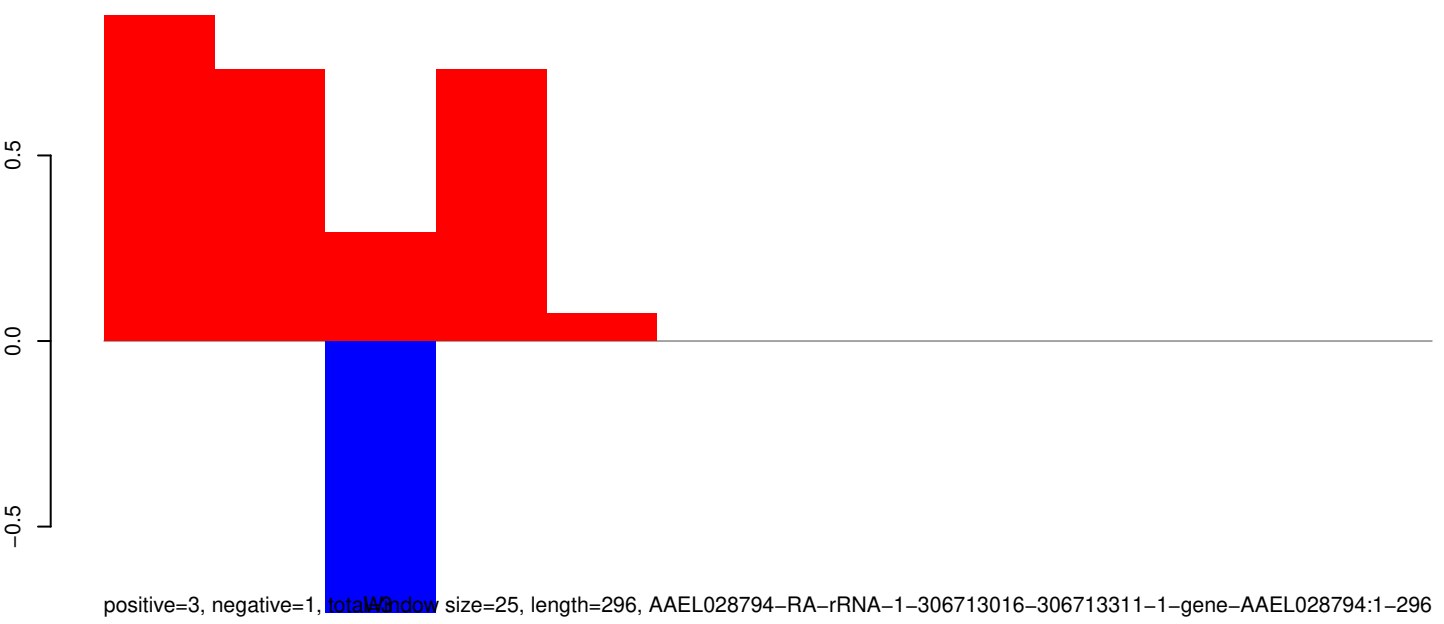
AeAeg_Aag2_Ago2_SINV_Beta_RA.18_23.rep



AeAeg_Aag2_Ago2_SINV_Beta_RA.24_35.rep



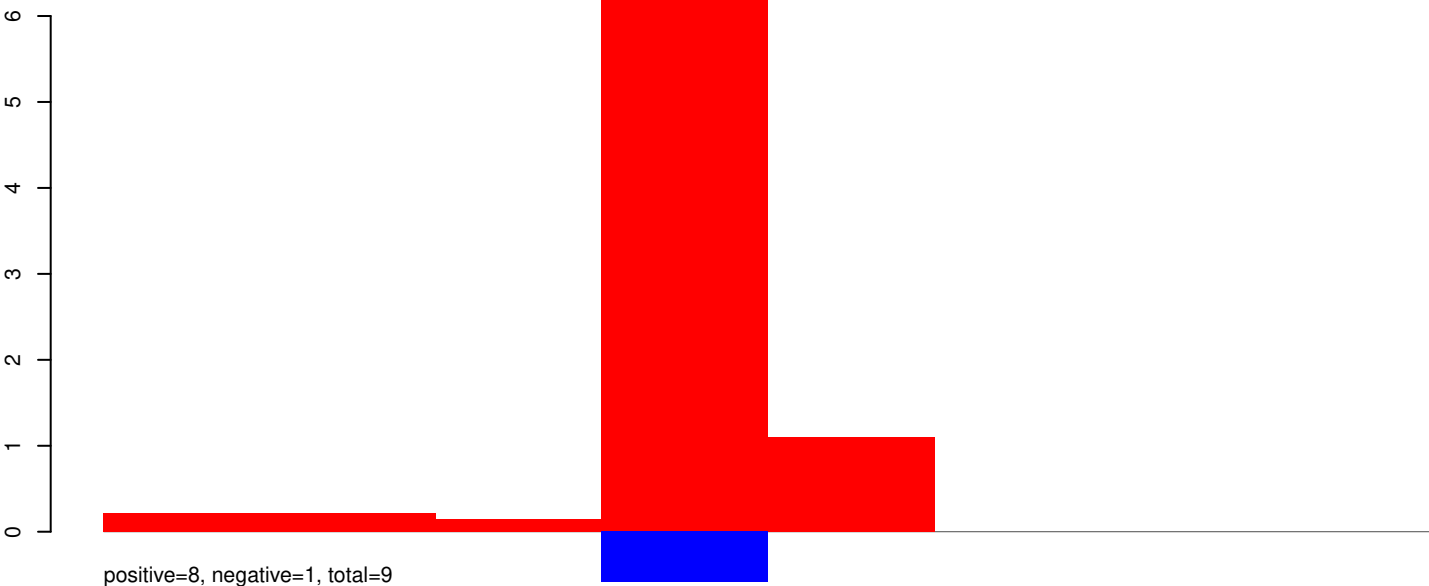
AeAeg_Aag2_Ago2_SINV_Beta_RA.rep



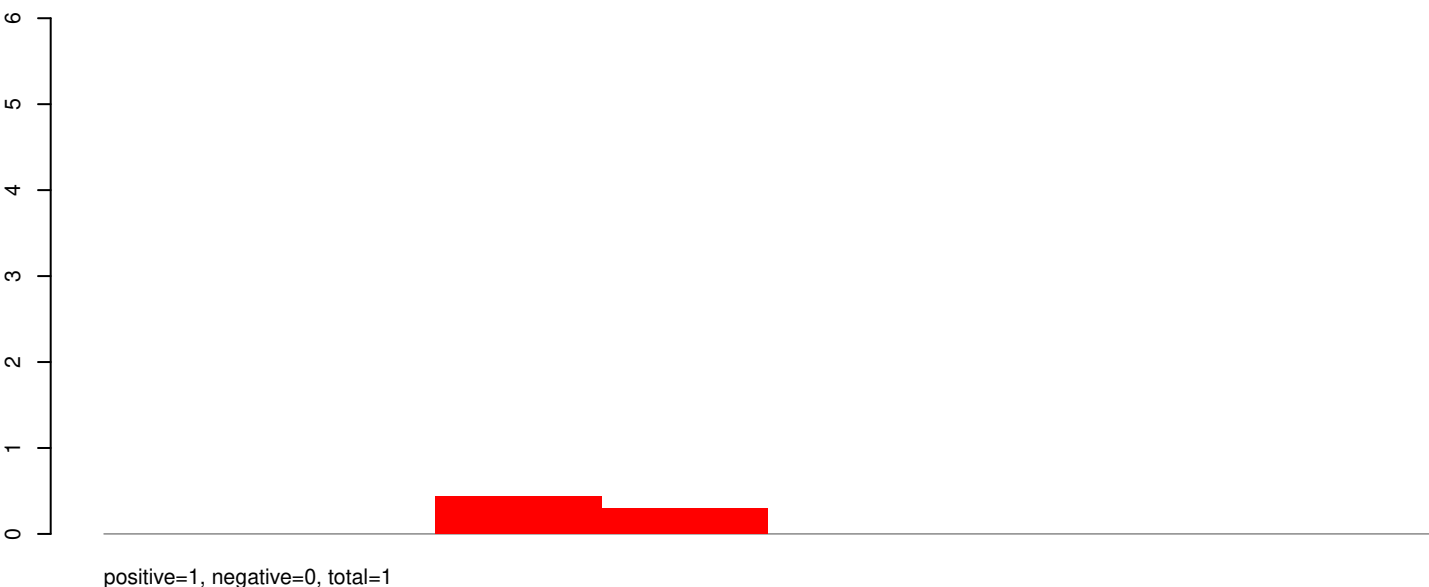
Window size=25, length=296, AAEL028794-RA-rRNA-1-306713016-306713311-1-gene-AAEL028794:1-296

50 100 150 200 250 300

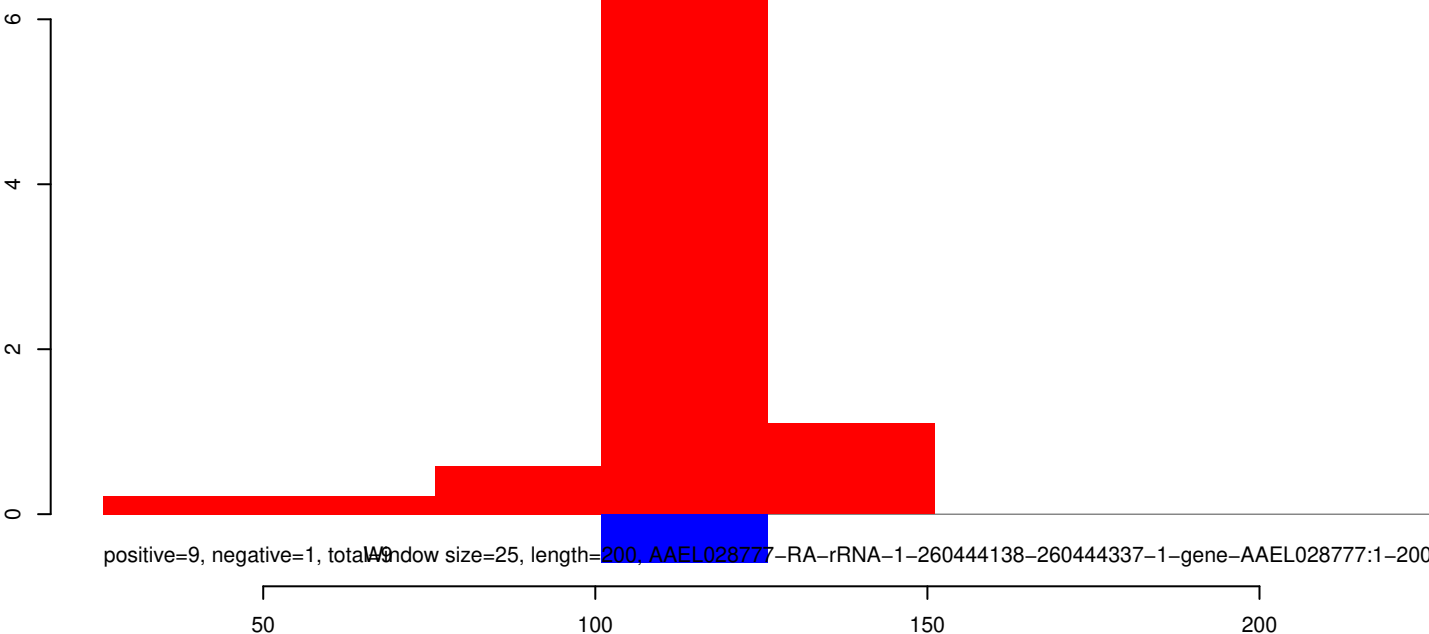
AeAeg_Aag2_Ago2_SINV_Beta_RA.18_23.rep



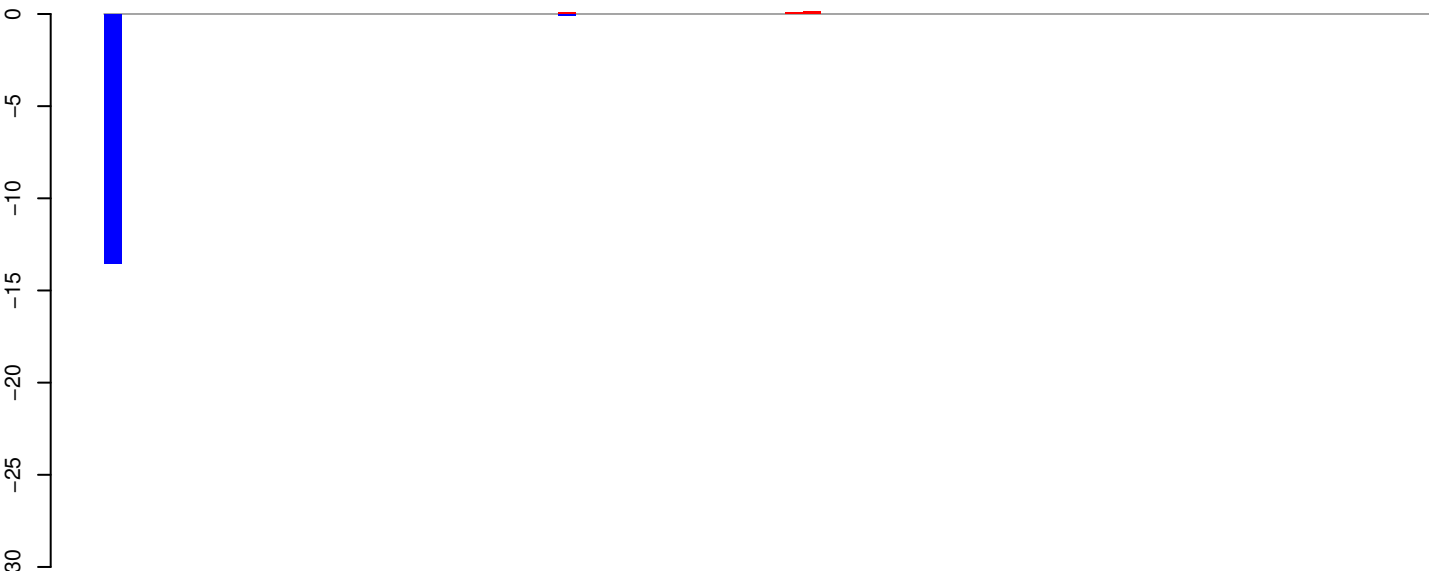
AeAeg_Aag2_Ago2_SINV_Beta_RA.24_35.rep



AeAeg_Aag2_Ago2_SINV_Beta_RA.rep



AeAeg_Aag2_Ago2_SINV_Beta_RA.18_23.rep



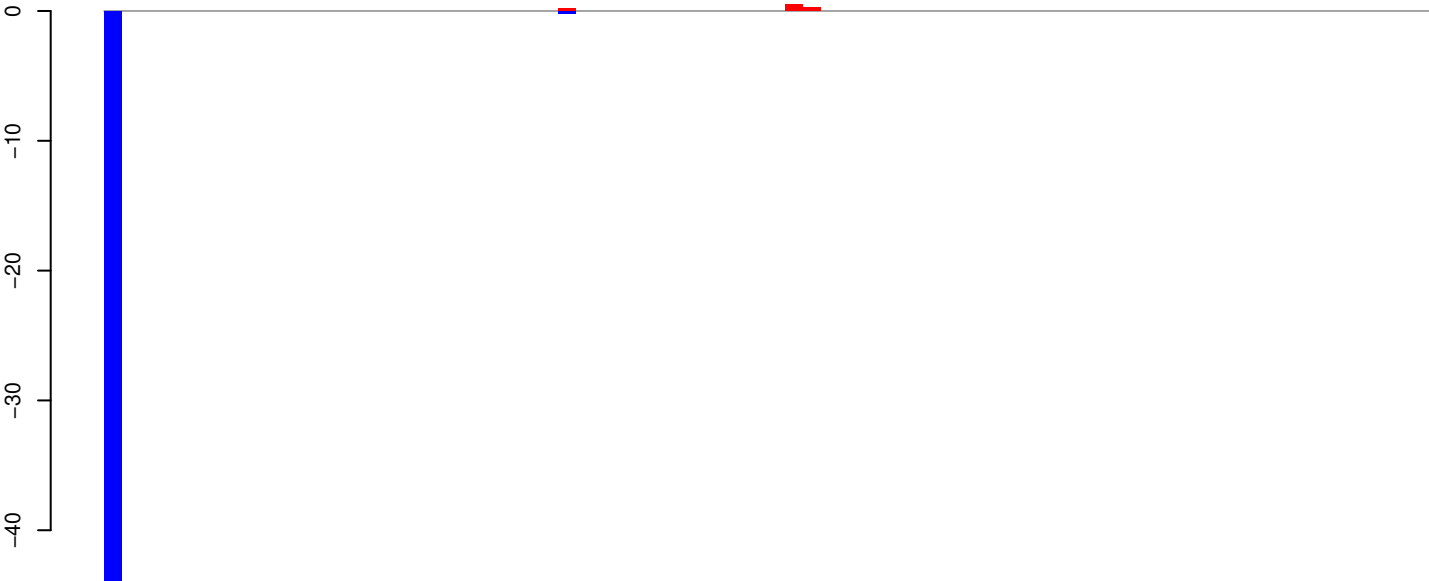
positive=0, negative=14, total=14

AeAeg_Aag2_Ago2_SINV_Beta_RA.24_35.rep



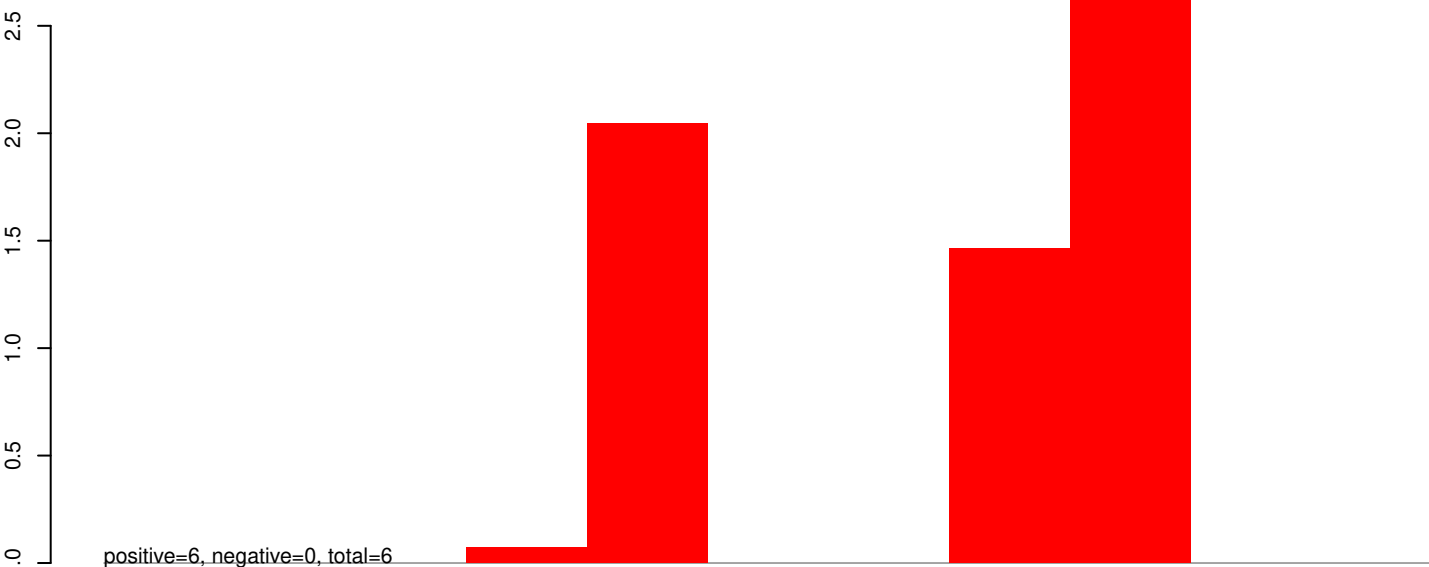
positive=1, negative=32, total=33

AeAeg_Aag2_Ago2_SINV_Beta_RA.rep

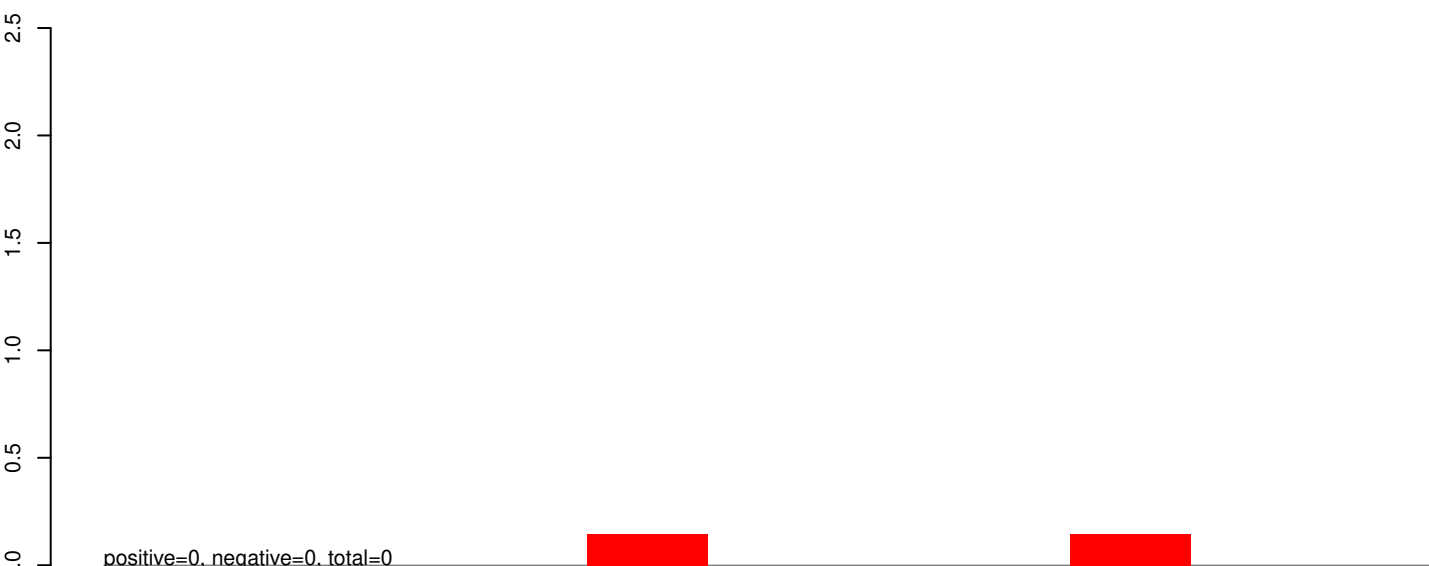


e-19-153114-1, negative=46, total=47

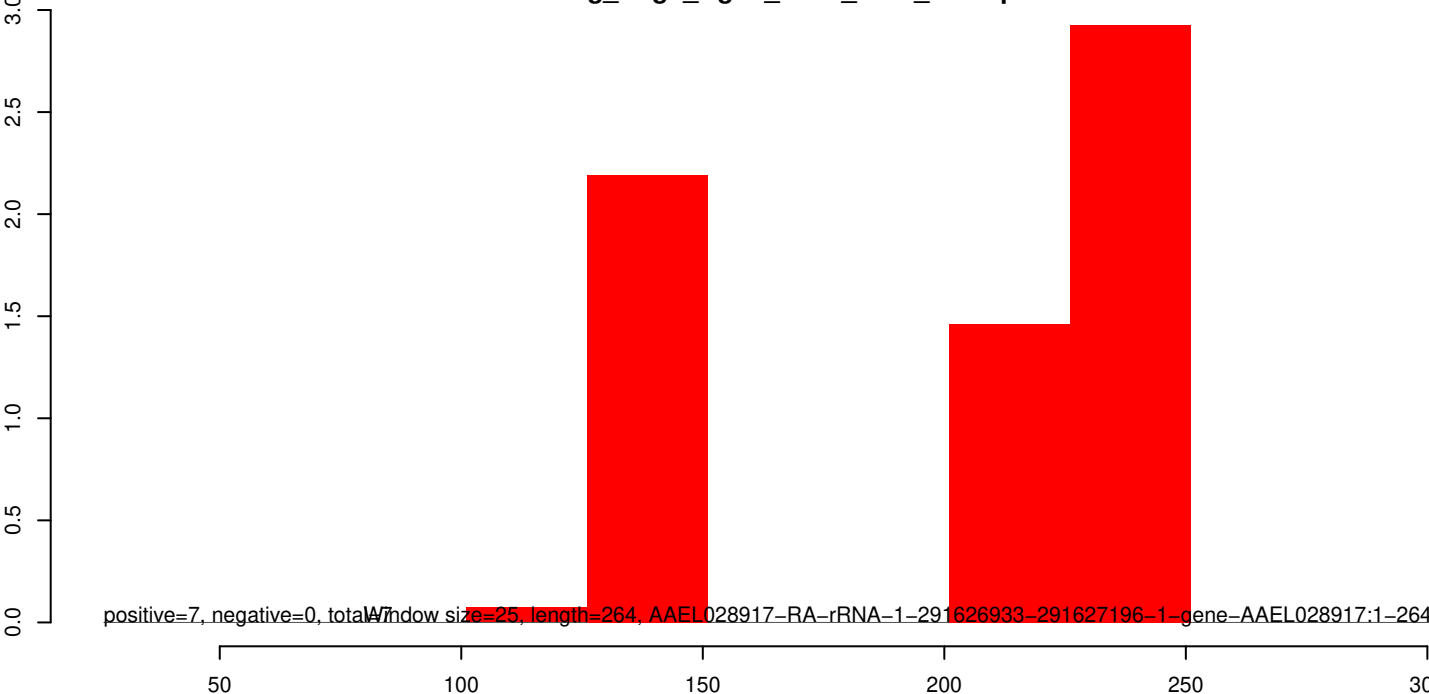
AeAeg_Aag2_Ago2_SINV_Beta_RA.18_23.rep



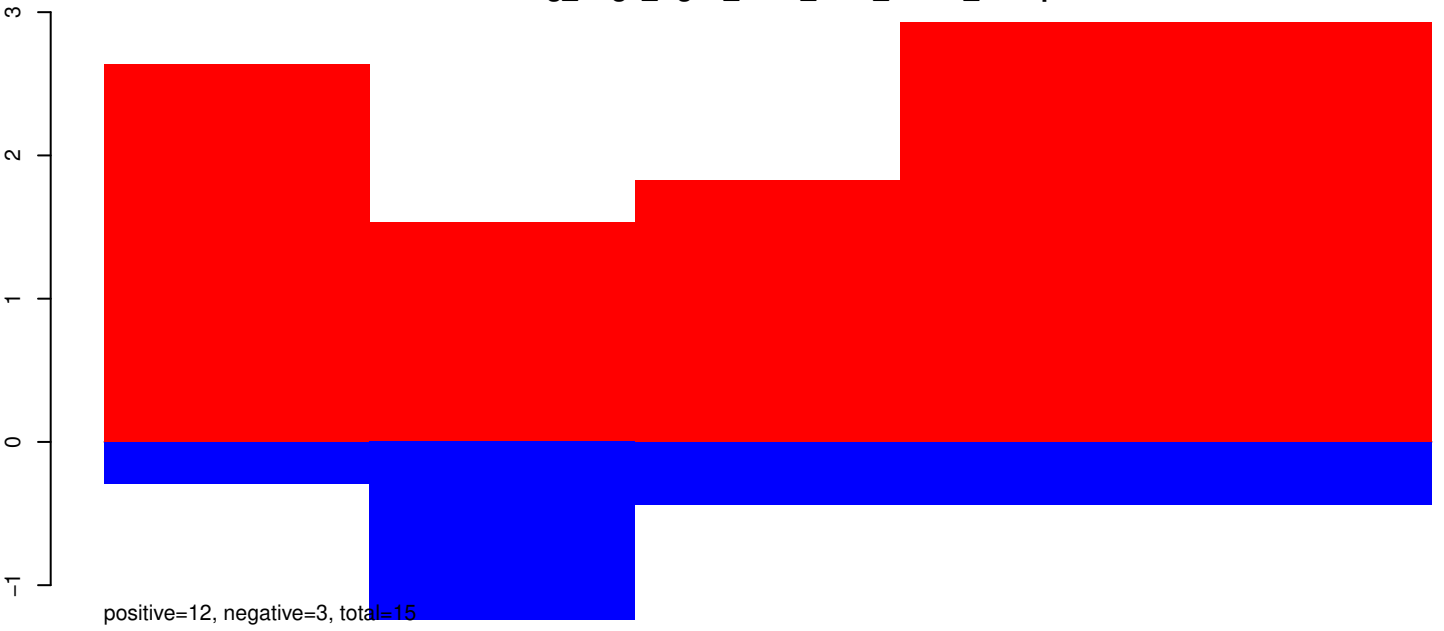
AeAeg_Aag2_Ago2_SINV_Beta_RA.24_35.rep



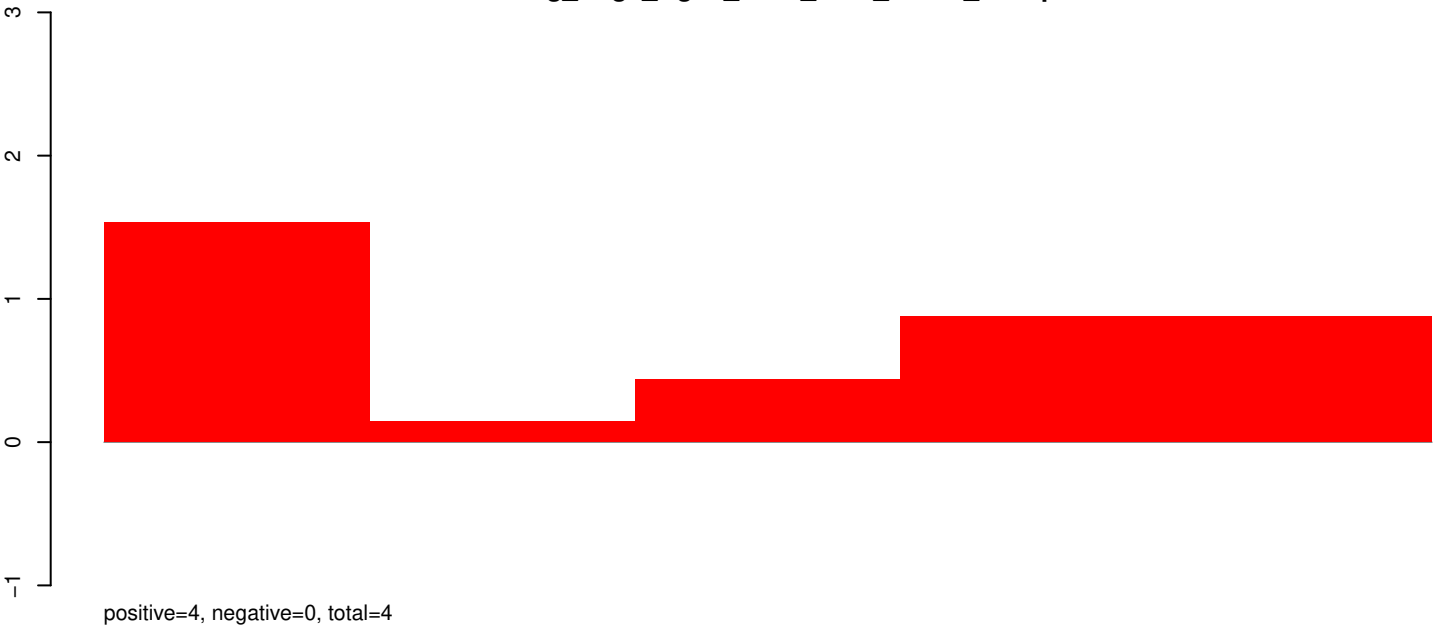
AeAeg_Aag2_Ago2_SINV_Beta_RA.rep



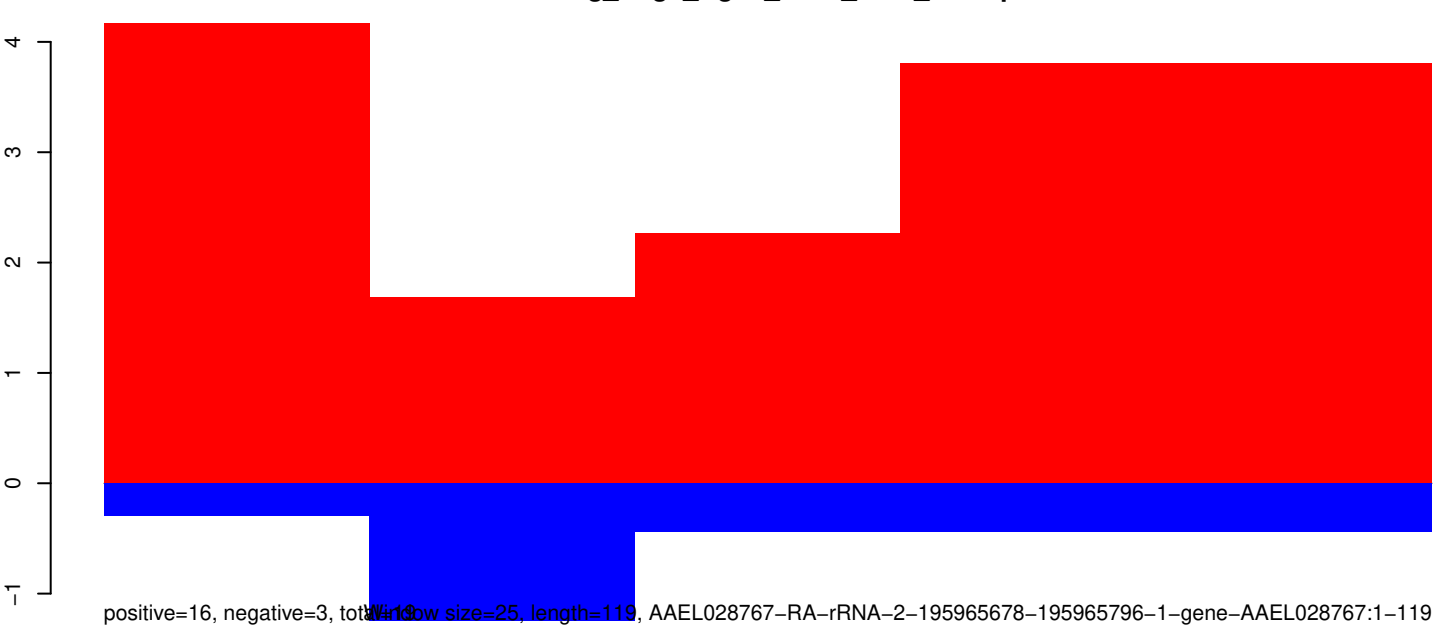
AeAeg_Aag2_Ago2_SINV_Beta_RA.18_23.rep



AeAeg_Aag2_Ago2_SINV_Beta_RA.24_35.rep

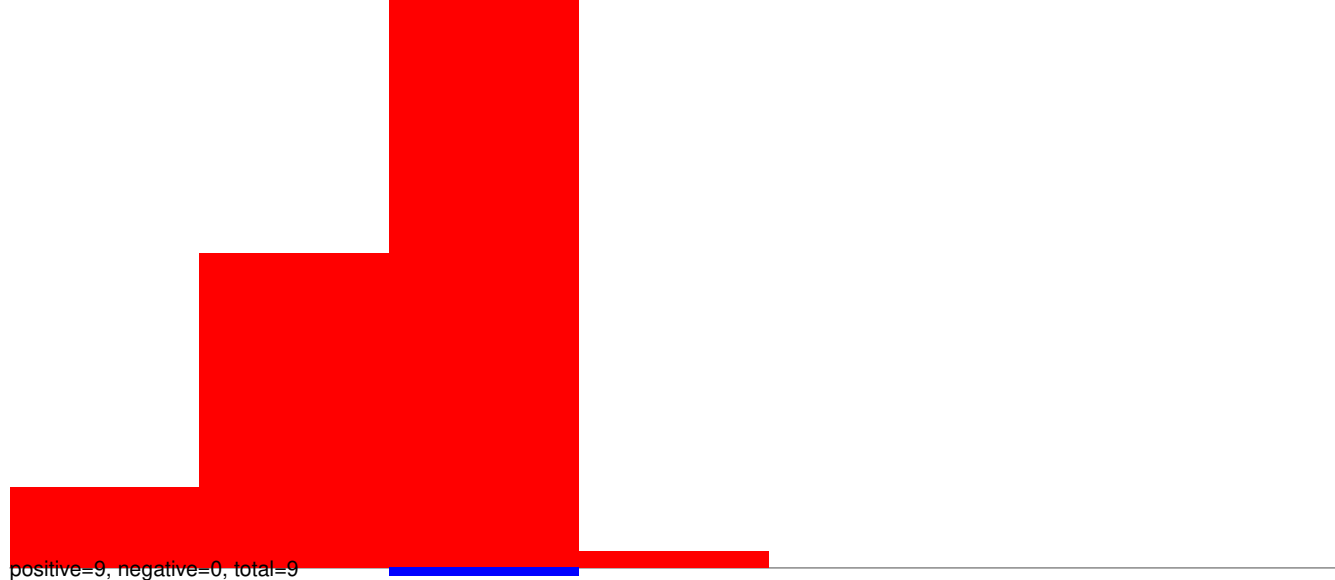


AeAeg_Aag2_Ago2_SINV_Beta_RA.rep

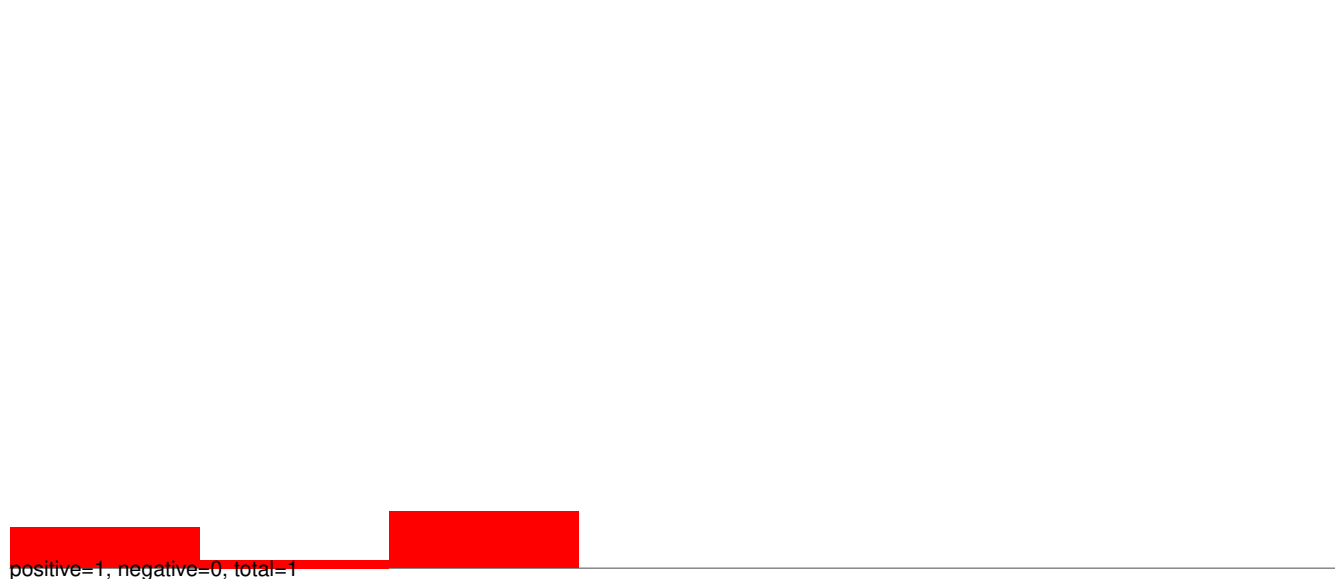


40 60 80 100 120 140

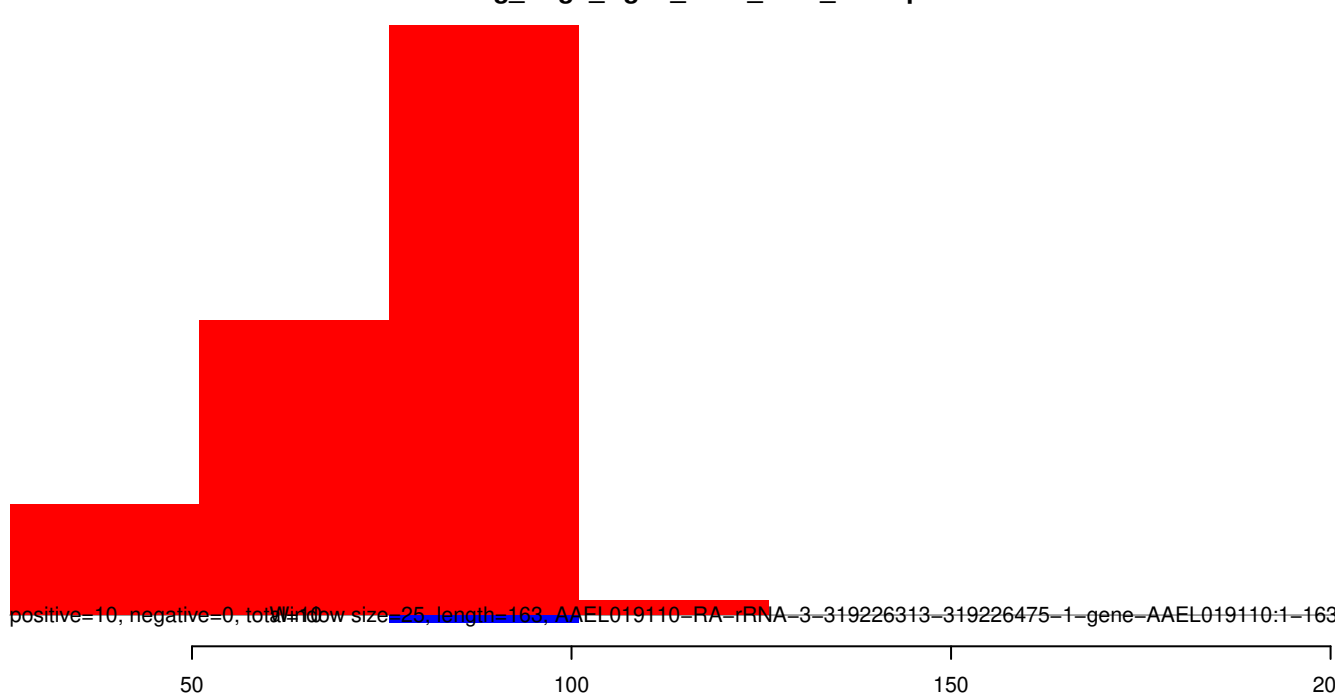
AeAeg_Aag2_Ago2_SINV_Beta_RA.18_23.rep



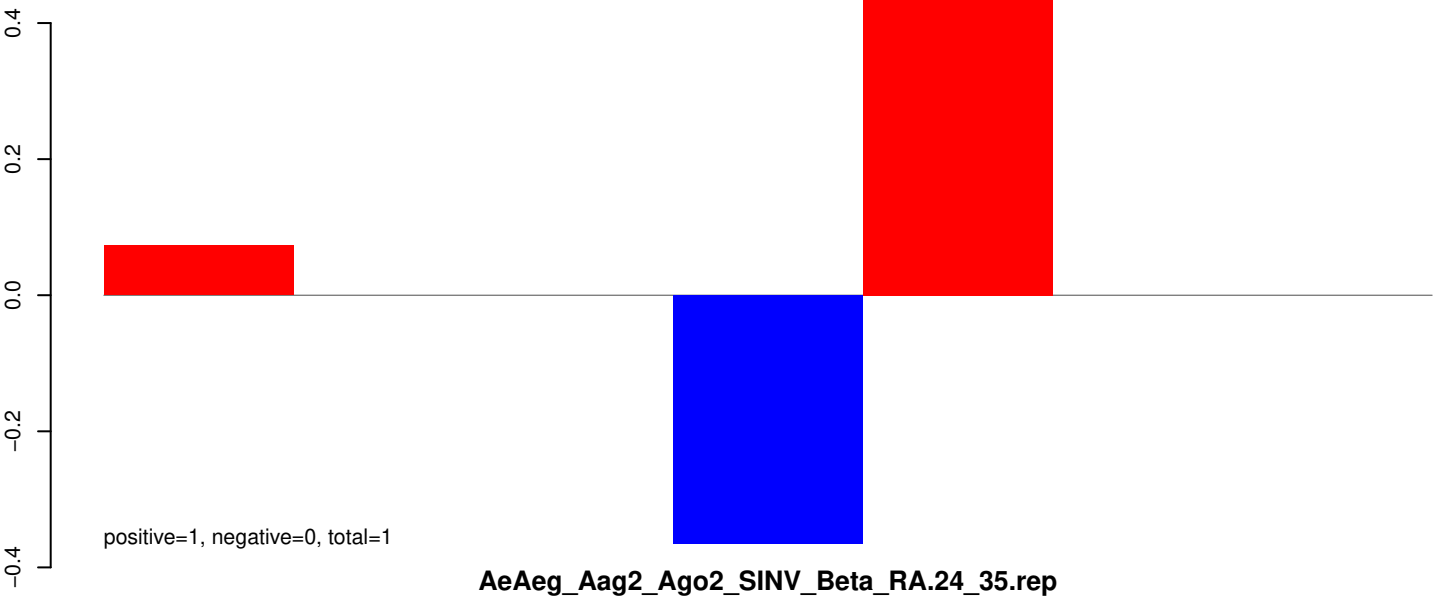
AeAeg_Aag2_Ago2_SINV_Beta_RA.24_35.rep



AeAeg_Aag2_Ago2_SINV_Beta_RA.rep



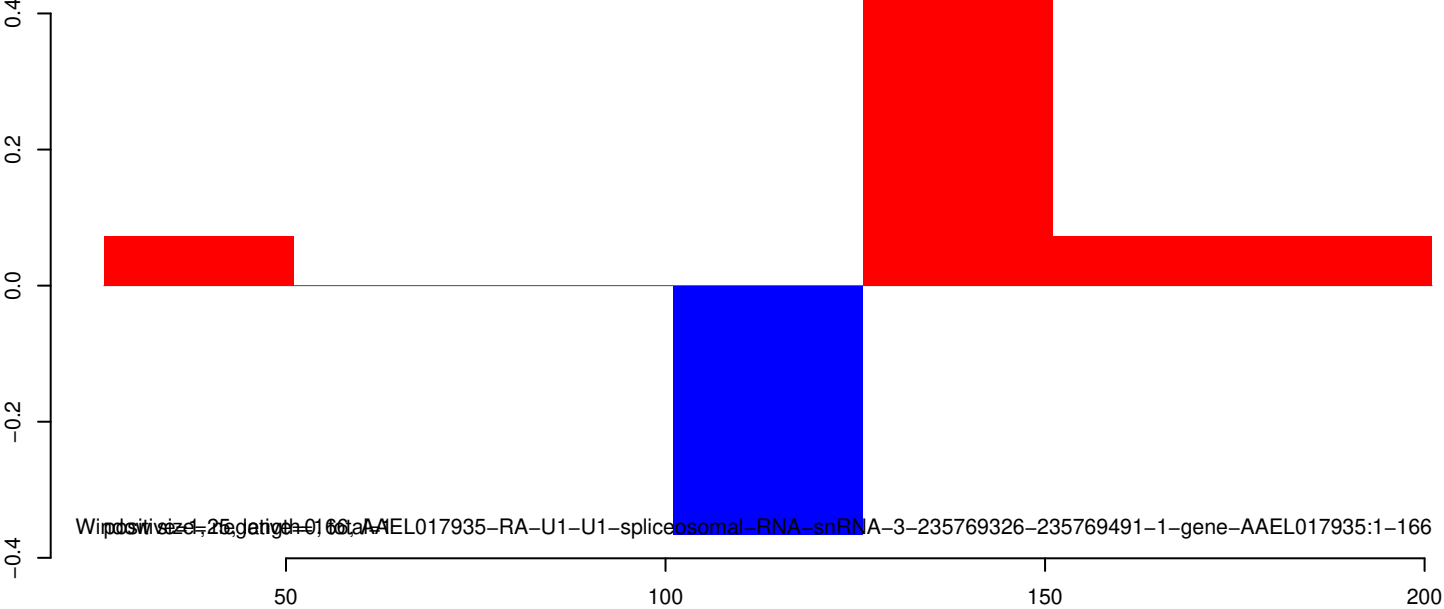
AeAeg_Aag2_Ago2_SINV_Beta_RA.18_23.rep



AeAeg_Aag2_Ago2_SINV_Beta_RA.24_35.rep



AeAeg_Aag2_Ago2_SINV_Beta_RA.rep

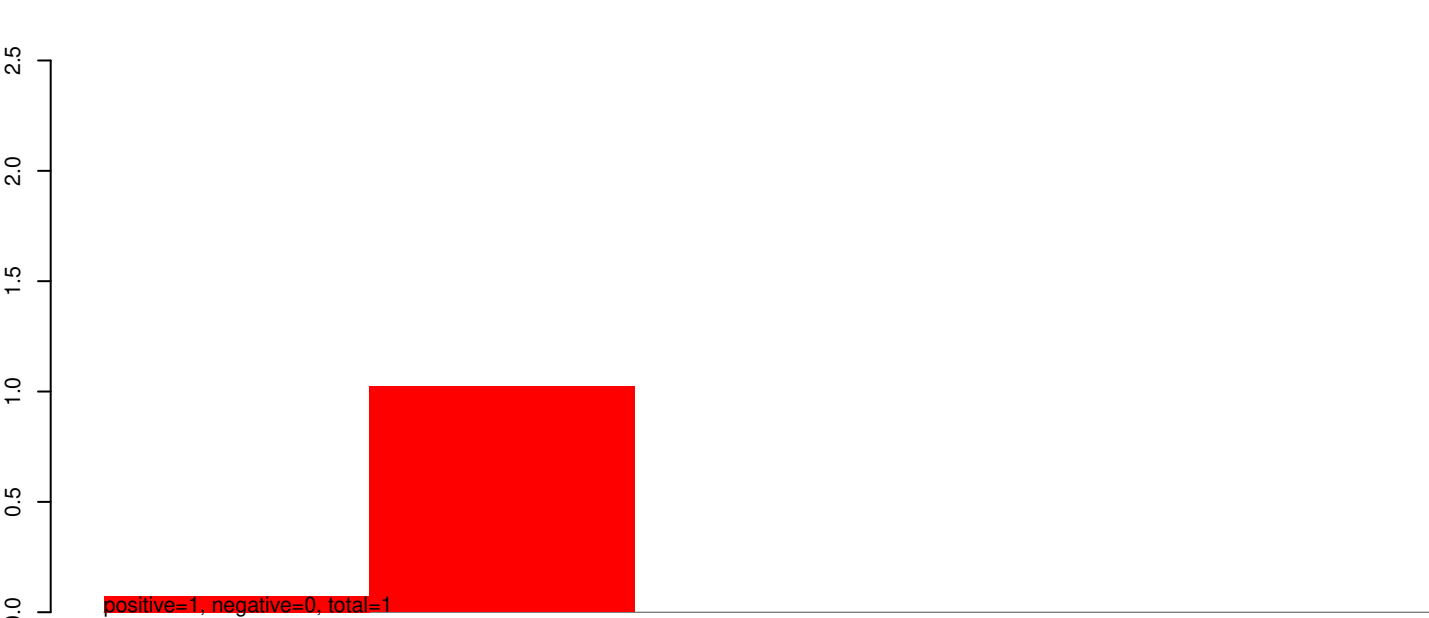


Worms: size=25, length=166, AAEL017935-RA-U1-U1-spliceosomal-RNA-snRNA-3-235769326-235769491-1-gene-AAEL017935:1-166

AeAeg_Aag2_Ago2_SINV_Beta_RA.18_23.rep



AeAeg_Aag2_Ago2_SINV_Beta_RA.24_35.rep



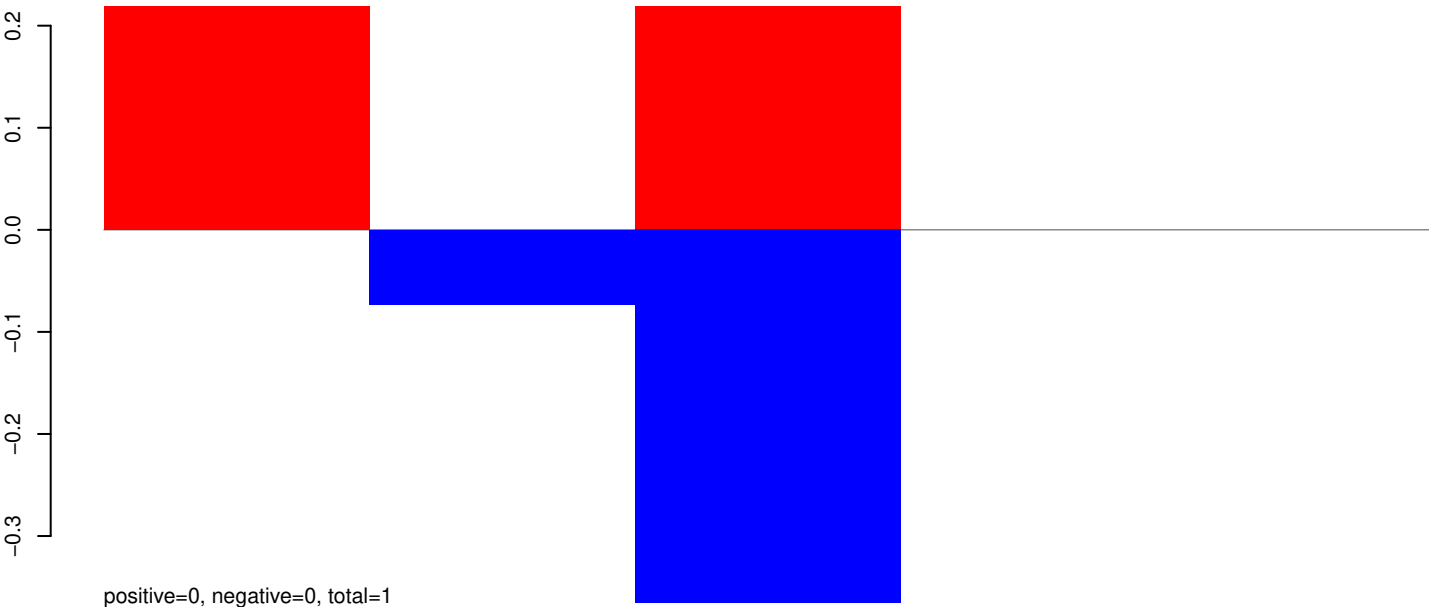
AeAeg_Aag2_Ago2_SINV_Beta_RA.rep



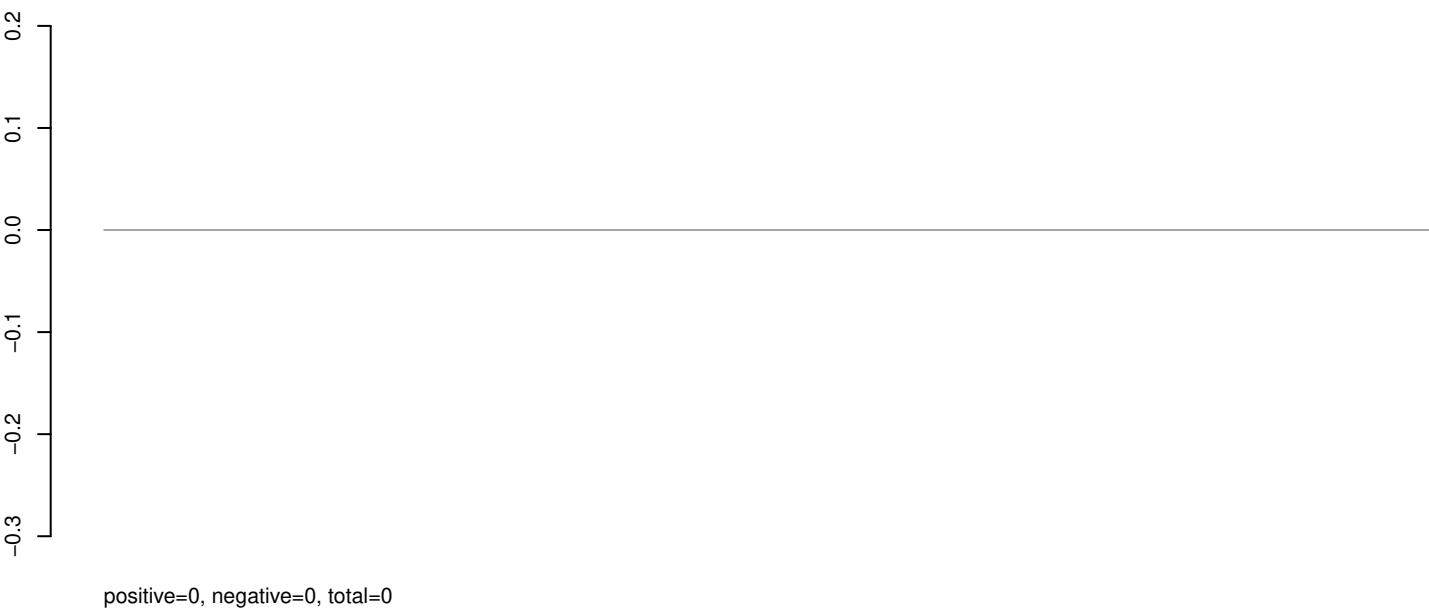
40 60 80 100 120 140

AAE017702-RA-U6-U6-spliceosomal-RNA-snRNA-1-206835848-206835954-1-gene-AAEL017702:1-107

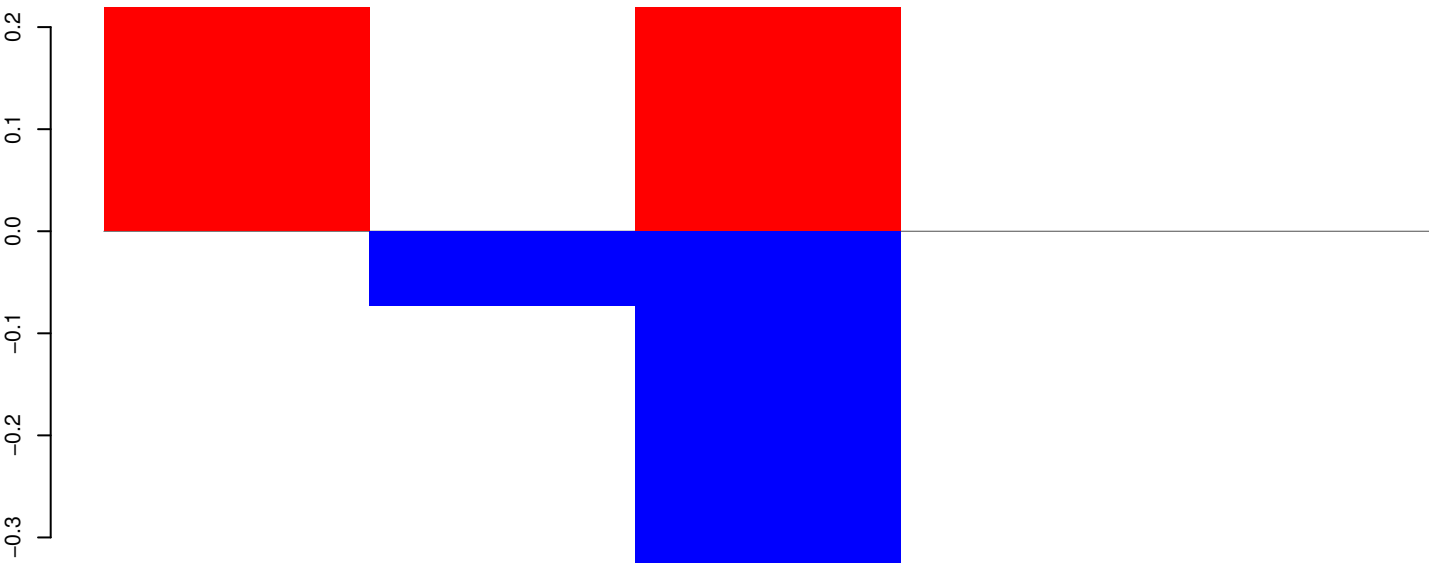
AeAeg_Aag2_Ago2_SINV_Beta_RA.18_23.rep



AeAeg_Aag2_Ago2_SINV_Beta_RA.24_35.rep



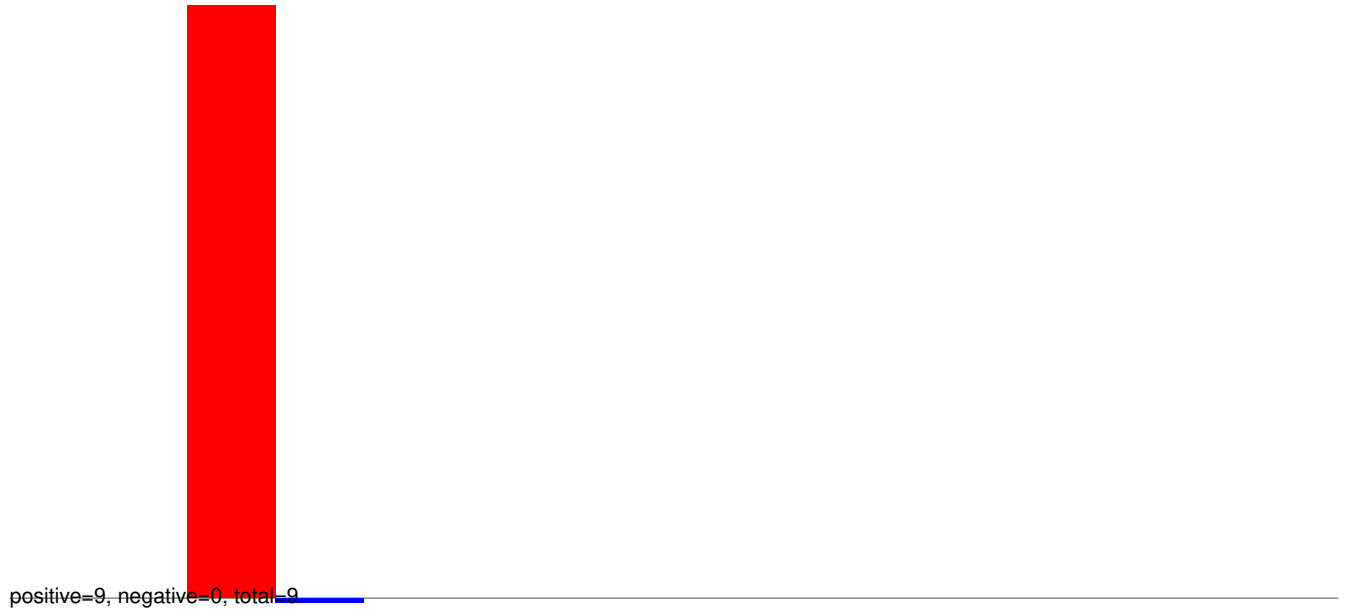
AeAeg_Aag2_Ago2_SINV_Beta_RA.rep



positive=0, negative=0, total=1 Window size=25, length=106, AAEL028988-RA-siRNA-3-70042910-70043015-1-gene-AAEL028988:1-106

40 60 80 100 120 140

AeAeg_Aag2_Ago2_SINV_Beta_RA.18_23.rep



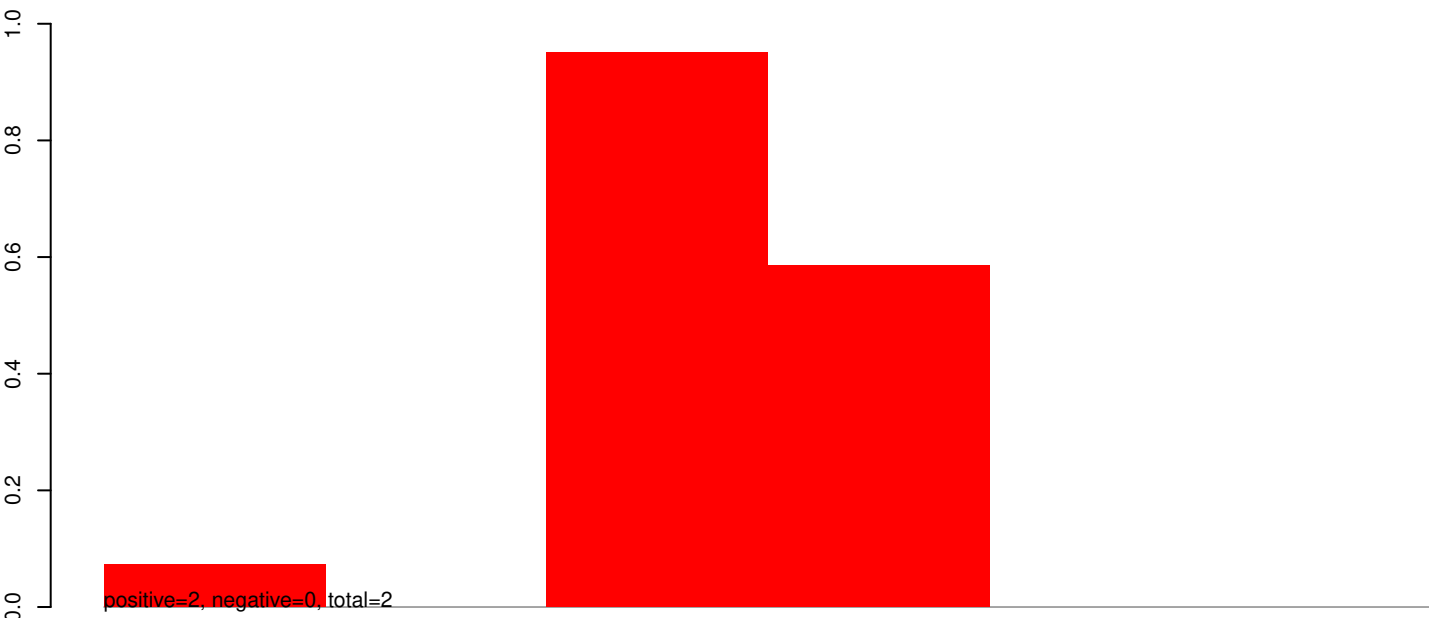
AeAeg_Aag2_Ago2_SINV_Beta_RA.24_35.rep



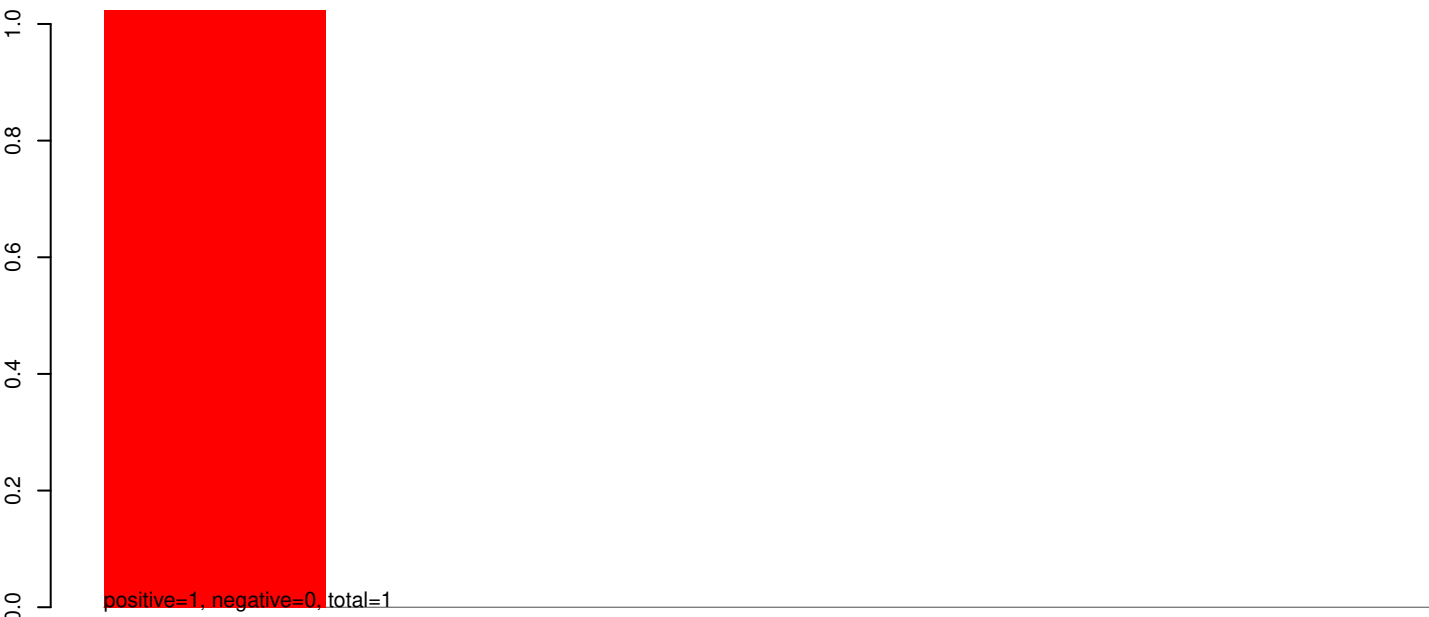
AeAeg_Aag2_Ago2_SINV_Beta_RA.rep



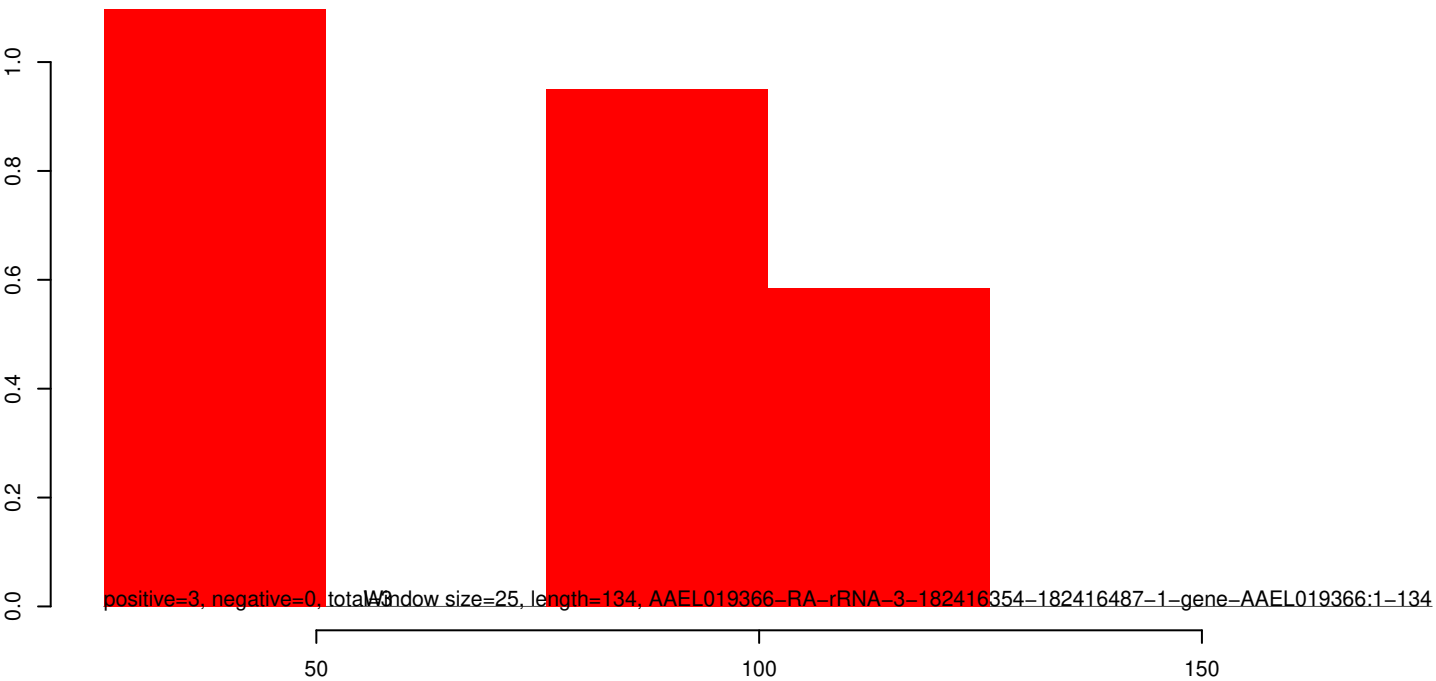
AeAeg_Aag2_Ago2_SINV_Beta_RA.18_23.rep



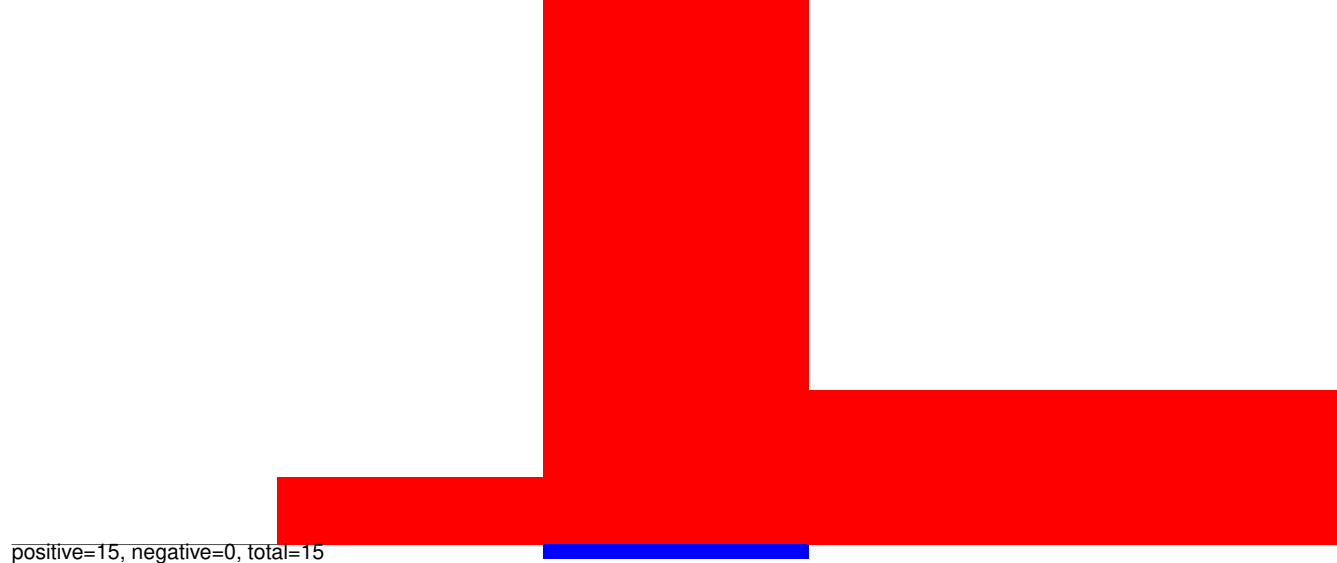
AeAeg_Aag2_Ago2_SINV_Beta_RA.24_35.rep



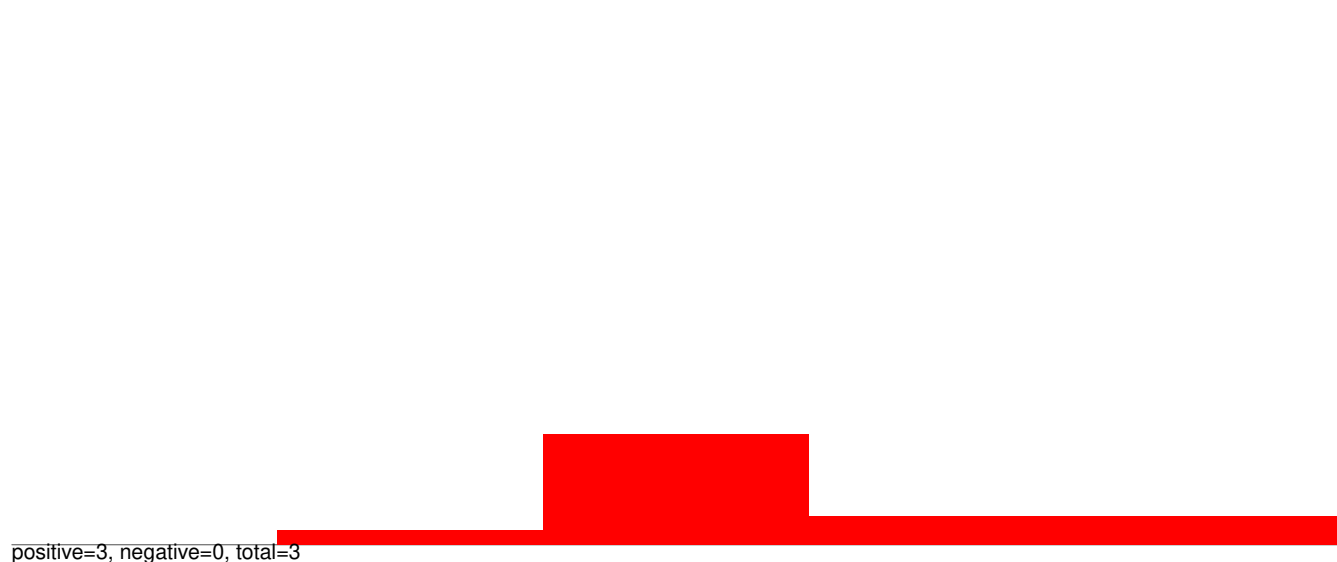
AeAeg_Aag2_Ago2_SINV_Beta_RA.rep



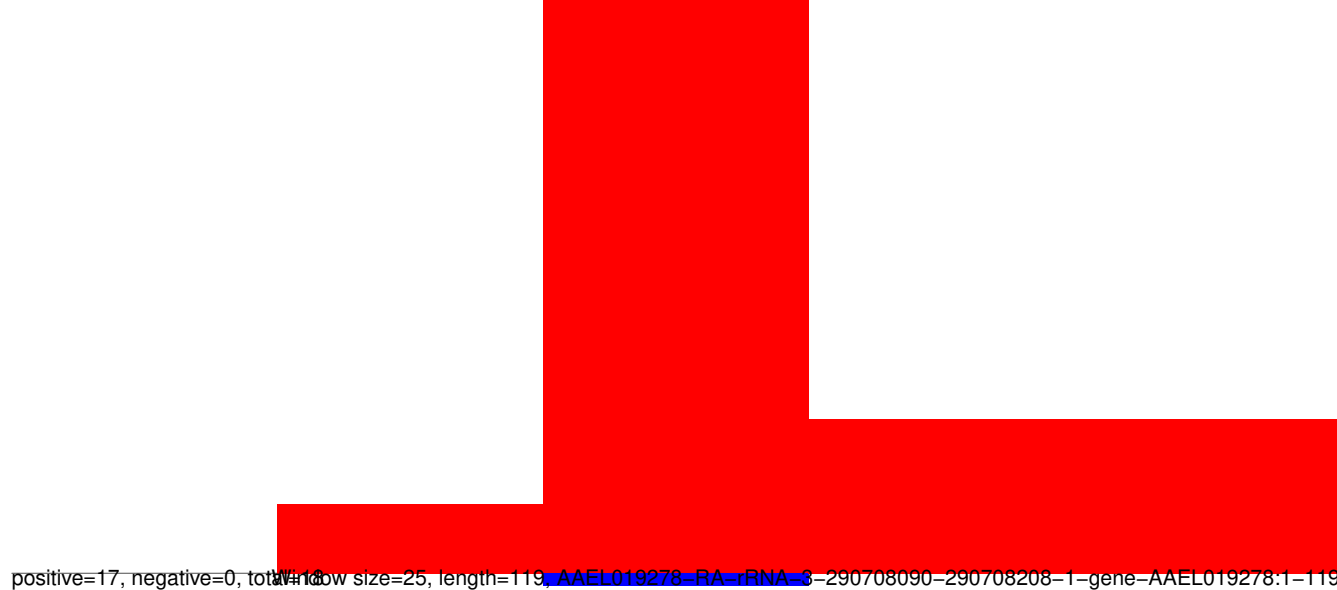
AeAeg_Aag2_Ago2_SINV_Beta_RA.18_23.rep



AeAeg_Aag2_Ago2_SINV_Beta_RA.24_35.rep

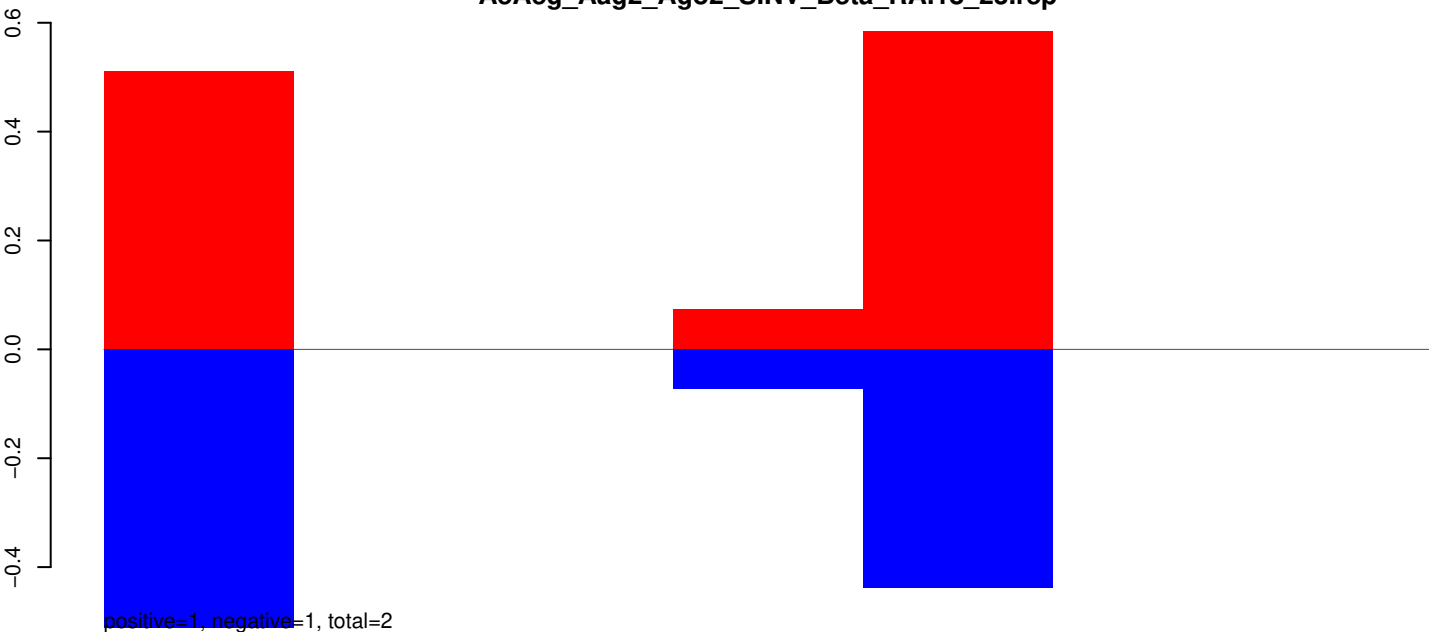


AeAeg_Aag2_Ago2_SINV_Beta_RA.rep

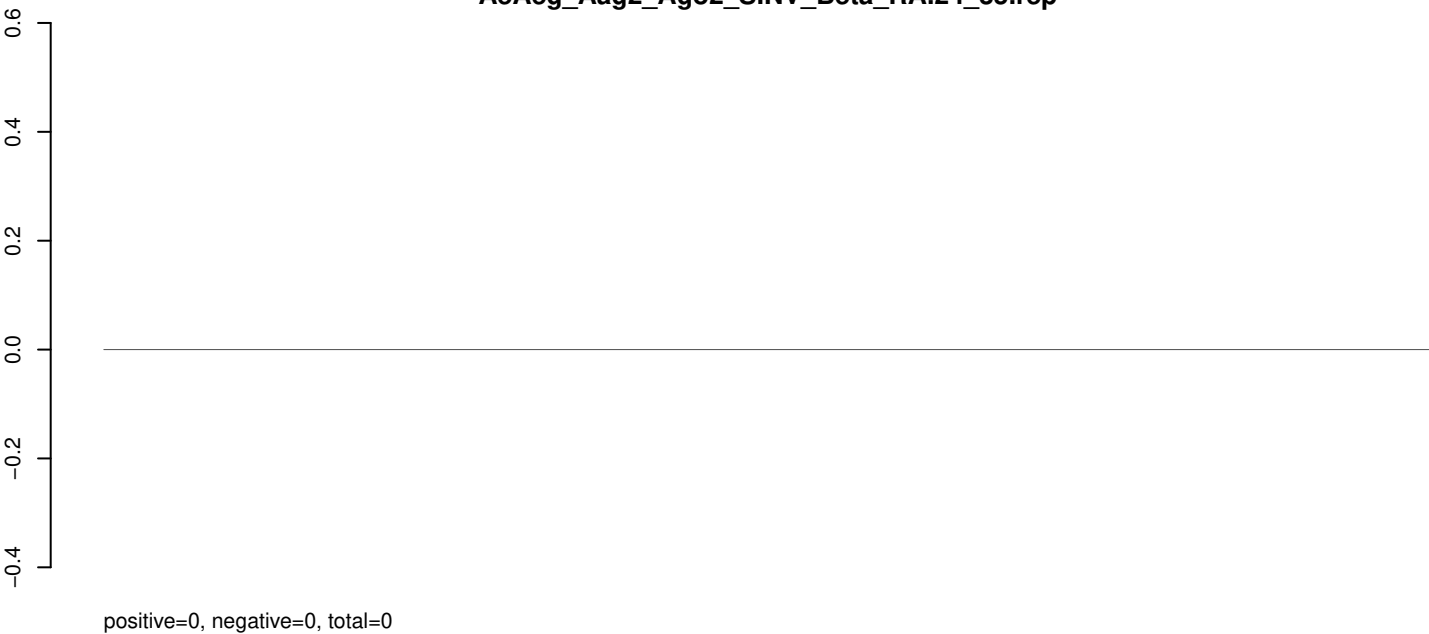


40 60 80 100 120 140

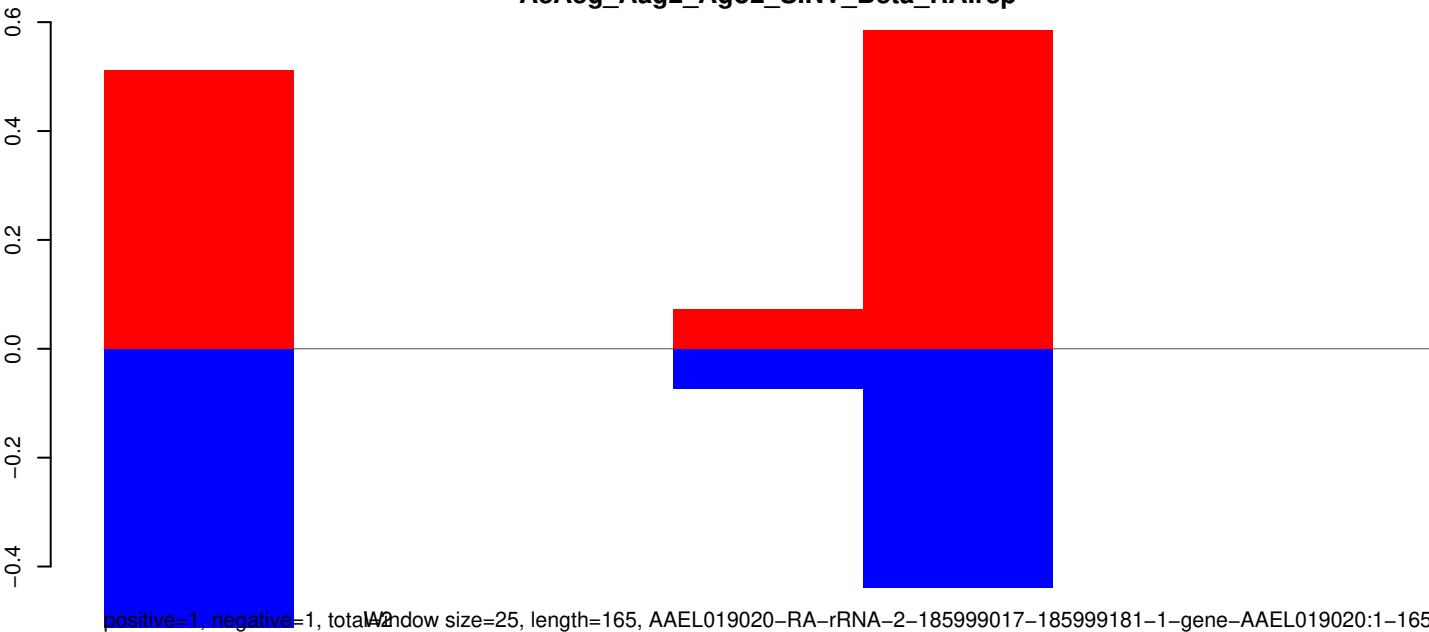
AeAeg_Aag2_Ago2_SINV_Beta_RA.18_23.rep



AeAeg_Aag2_Ago2_SINV_Beta_RA.24_35.rep

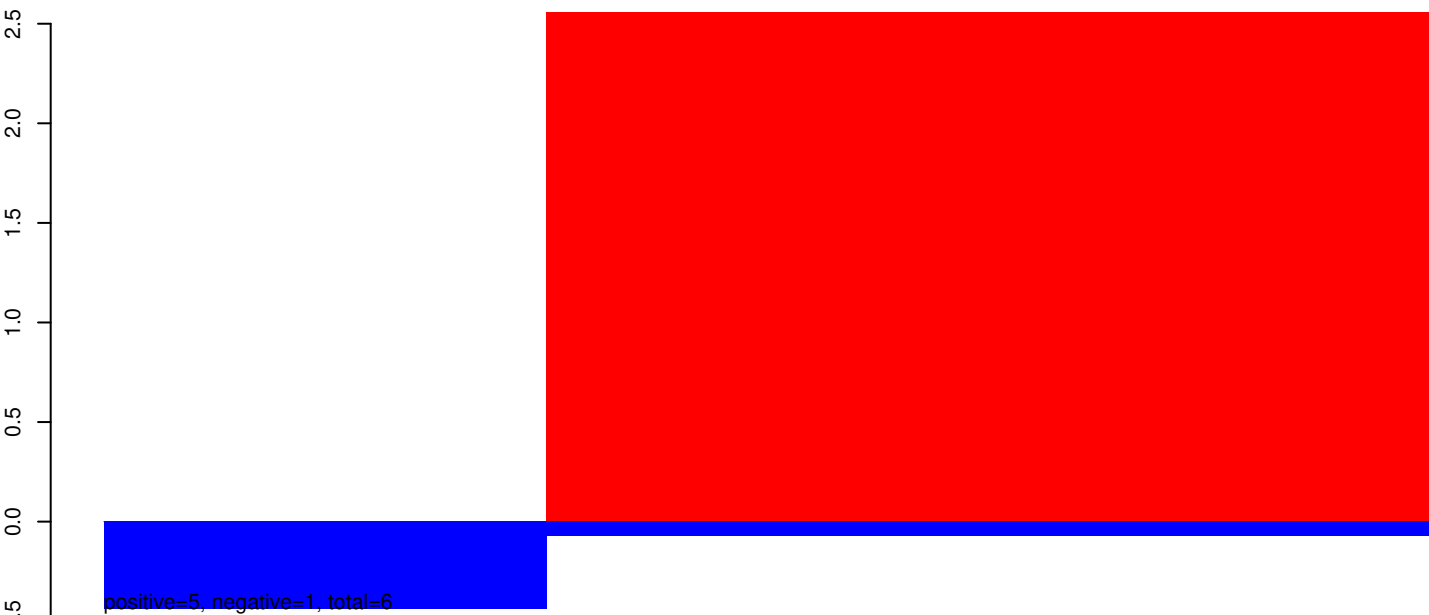


AeAeg_Aag2_Ago2_SINV_Beta_RA.rep



Window size=25, length=165, AAEL019020-RA-rRNA-2-185999017-185999181-1-gene-AAEL019020:1-165

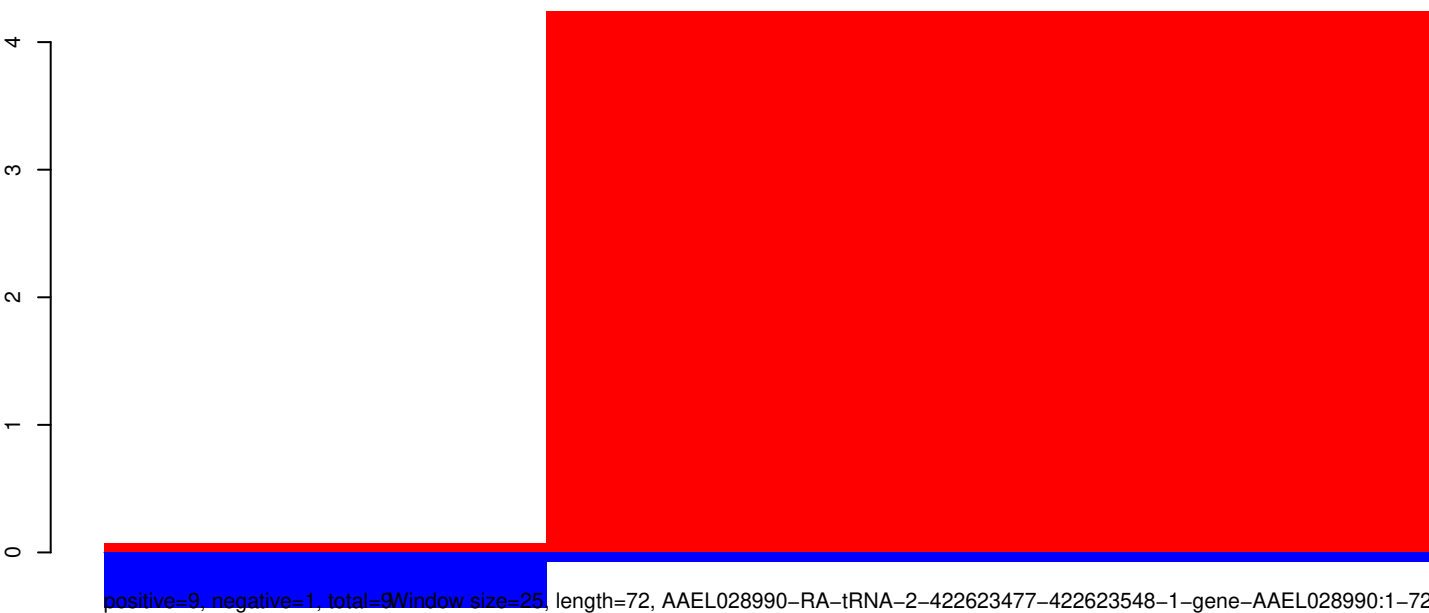
AeAeg_Aag2_Ago2_SINV_Beta_RA.18_23.rep



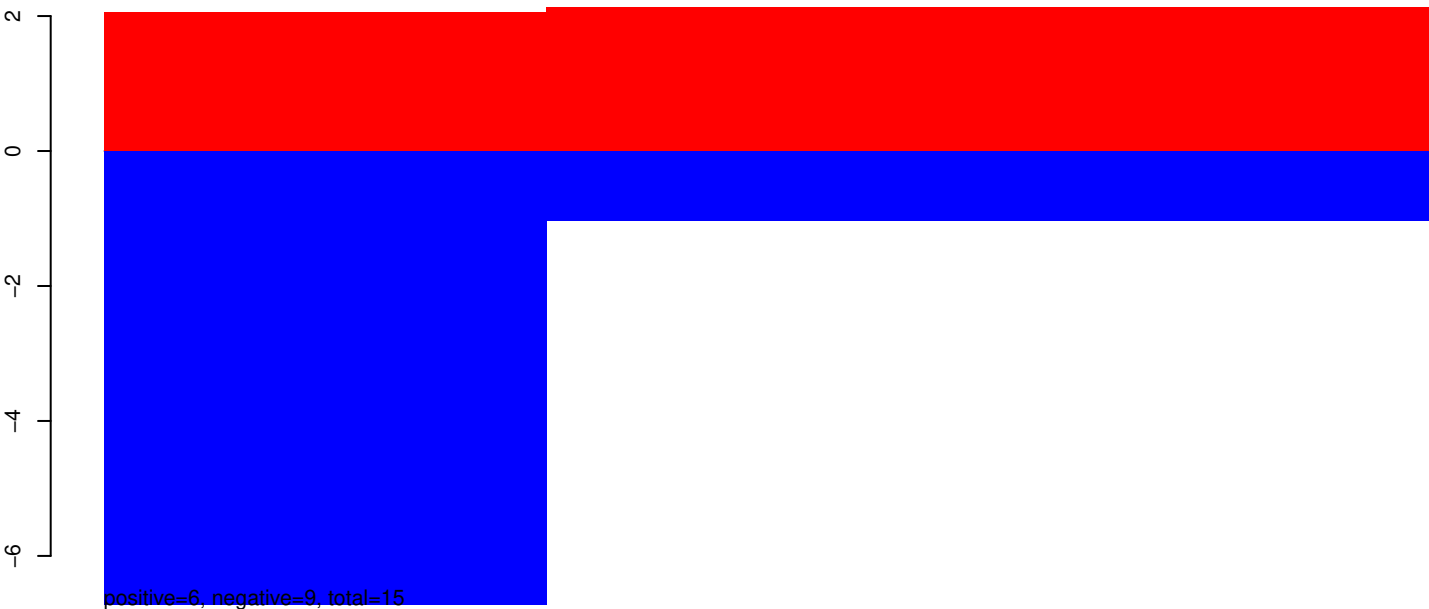
AeAeg_Aag2_Ago2_SINV_Beta_RA.24_35.rep



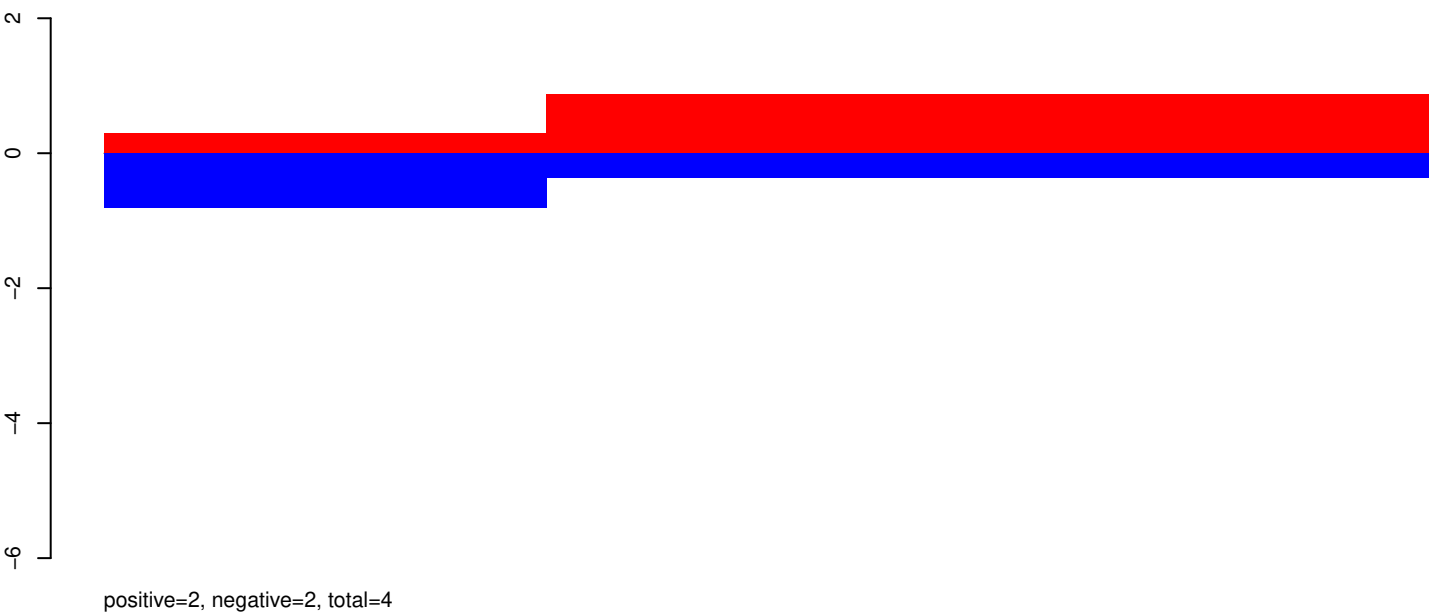
AeAeg_Aag2_Ago2_SINV_Beta_RA.rep



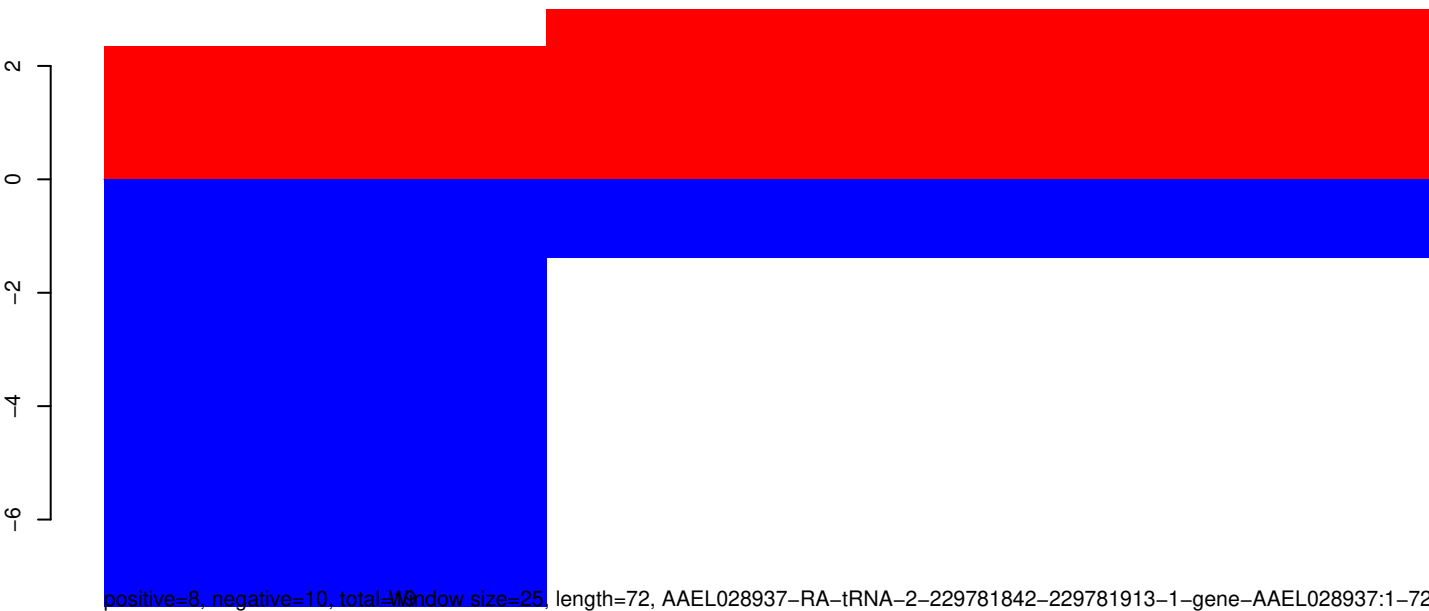
AeAeg_Aag2_Ago2_SINV_Beta_RA.18_23.rep



AeAeg_Aag2_Ago2_SINV_Beta_RA.24_35.rep



AeAeg_Aag2_Ago2_SINV_Beta_RA.rep

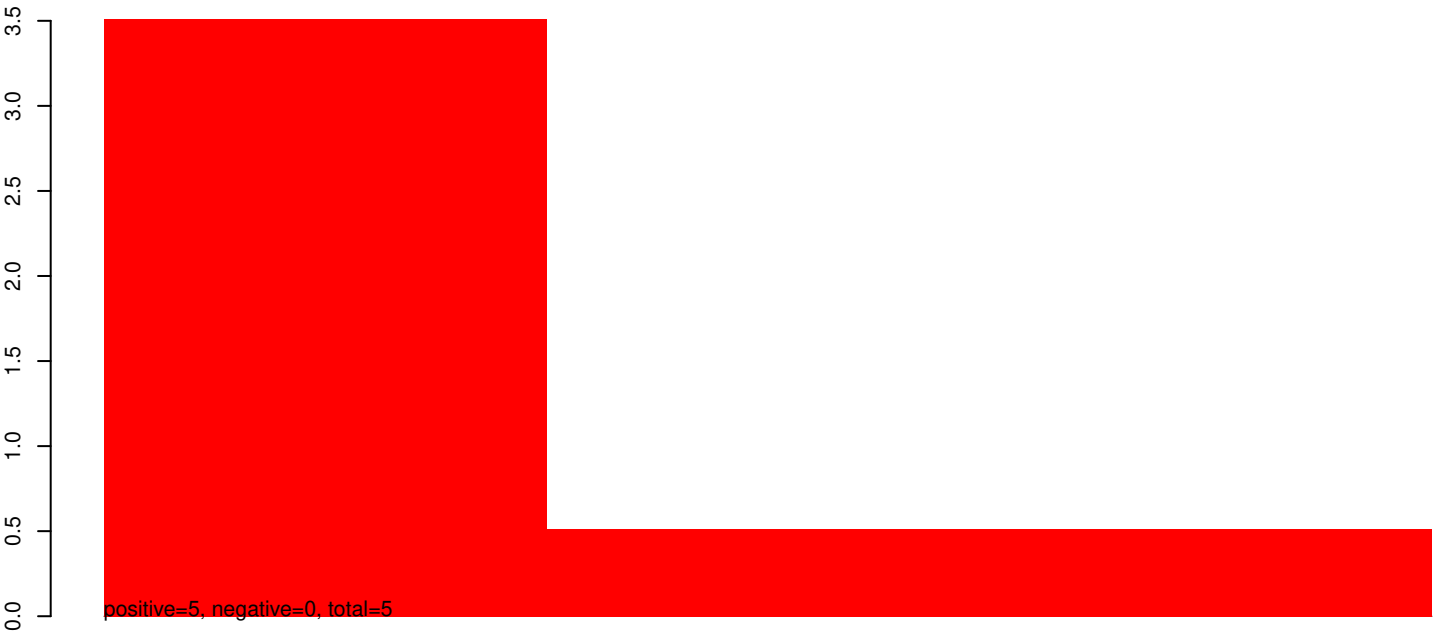


40 60 80 100

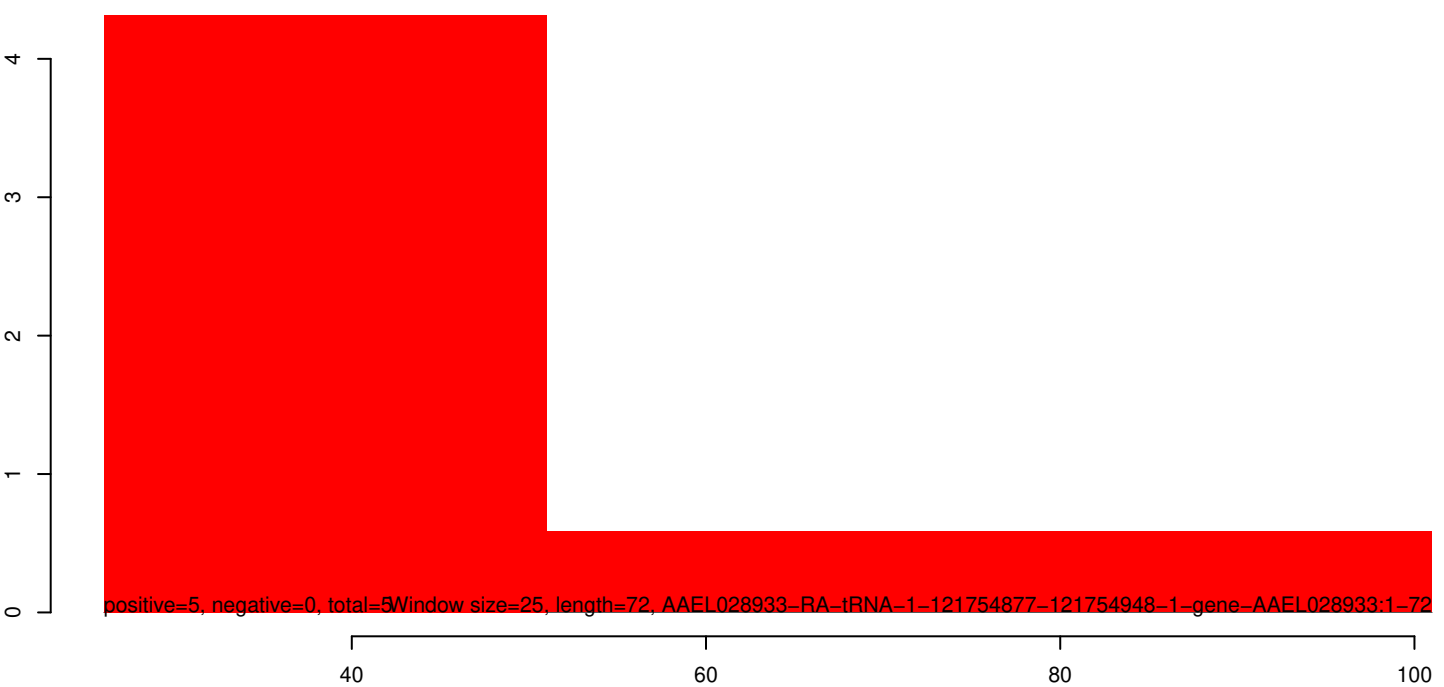
AeAeg_Aag2_Ago2_SINV_Beta_RA.18_23.rep



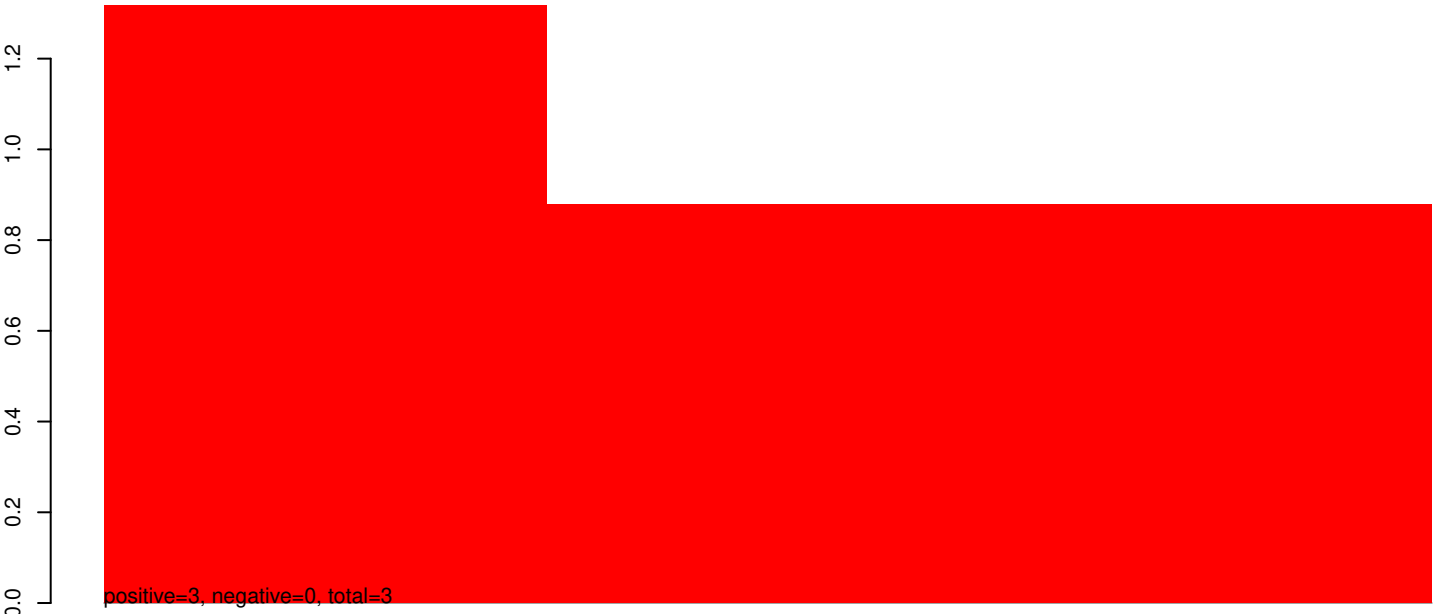
AeAeg_Aag2_Ago2_SINV_Beta_RA.24_35.rep



AeAeg_Aag2_Ago2_SINV_Beta_RA.rep



AeAeg_Aag2_Ago2_SINV_Beta_RA.18_23.rep



AeAeg_Aag2_Ago2_SINV_Beta_RA.24_35.rep



AeAeg_Aag2_Ago2_SINV_Beta_RA.rep



40 60 80 100

AeAeg_Aag2_Ago2_SINV_Beta_RA.18_23.rep



AeAeg_Aag2_Ago2_SINV_Beta_RA.24_35.rep



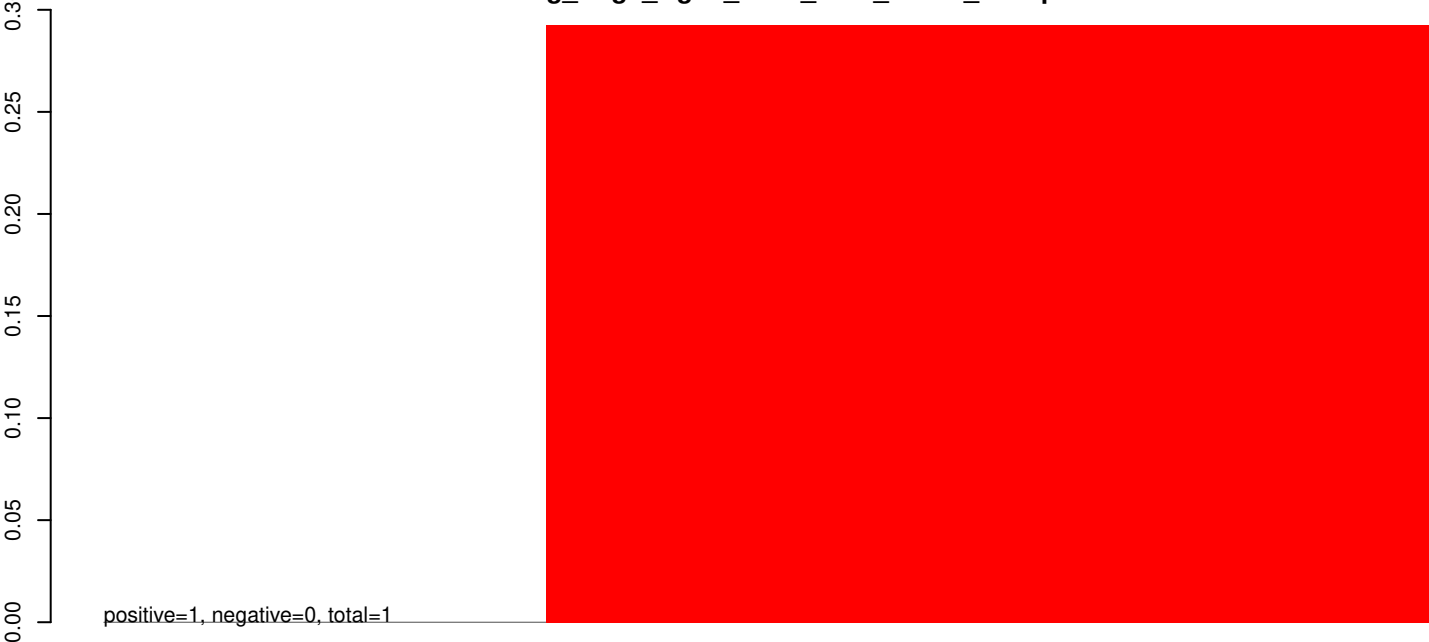
AeAeg_Aag2_Ago2_SINV_Beta_RA.rep



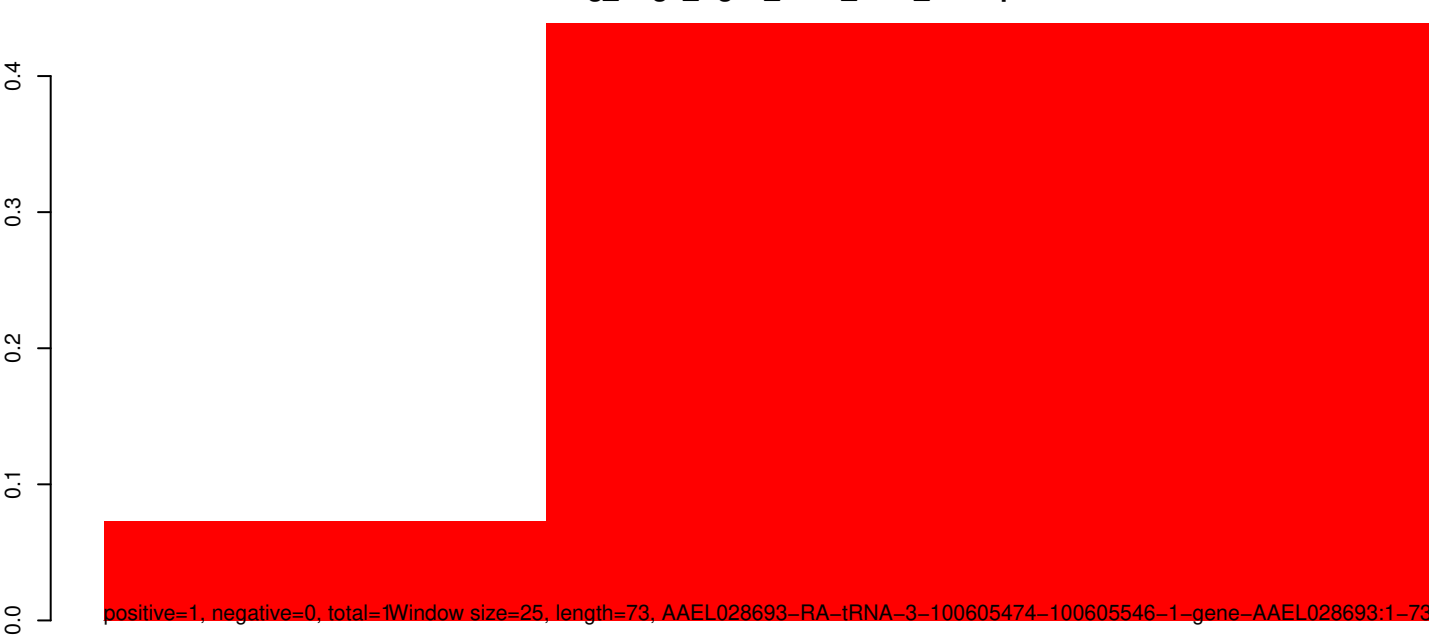
AeAeg_Aag2_Ago2_SINV_Beta_RA.18_23.rep



AeAeg_Aag2_Ago2_SINV_Beta_RA.24_35.rep

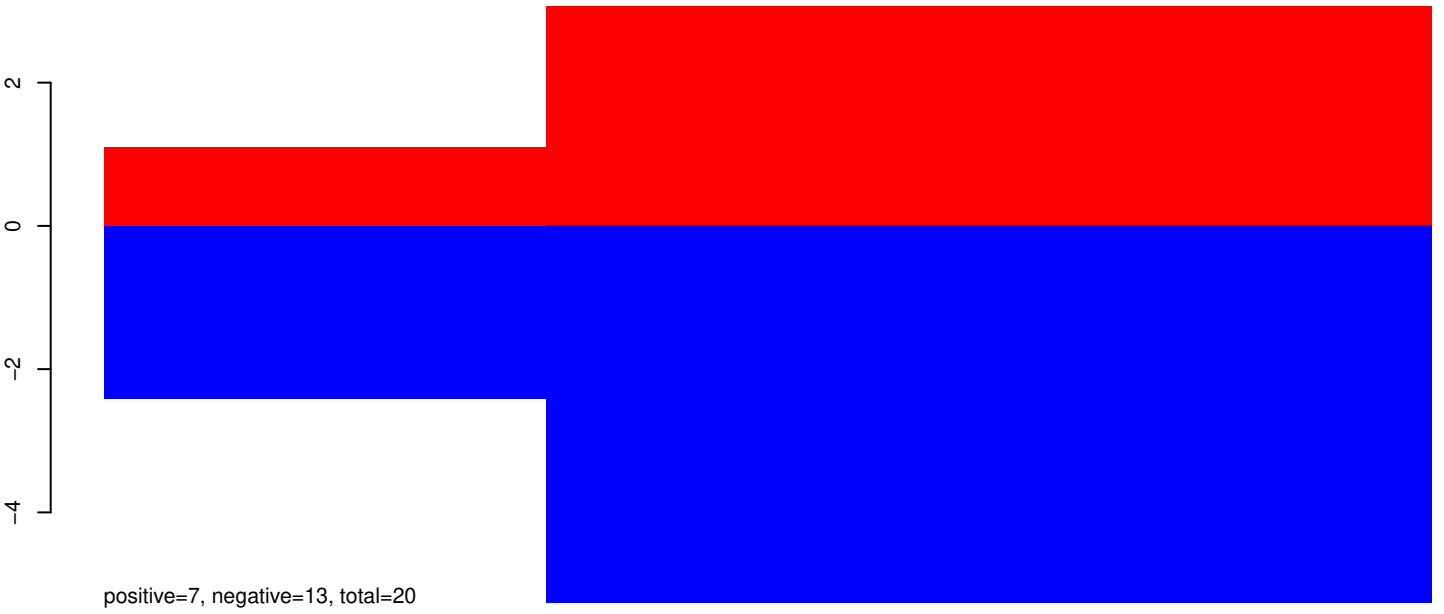


AeAeg_Aag2_Ago2_SINV_Beta_RA.rep

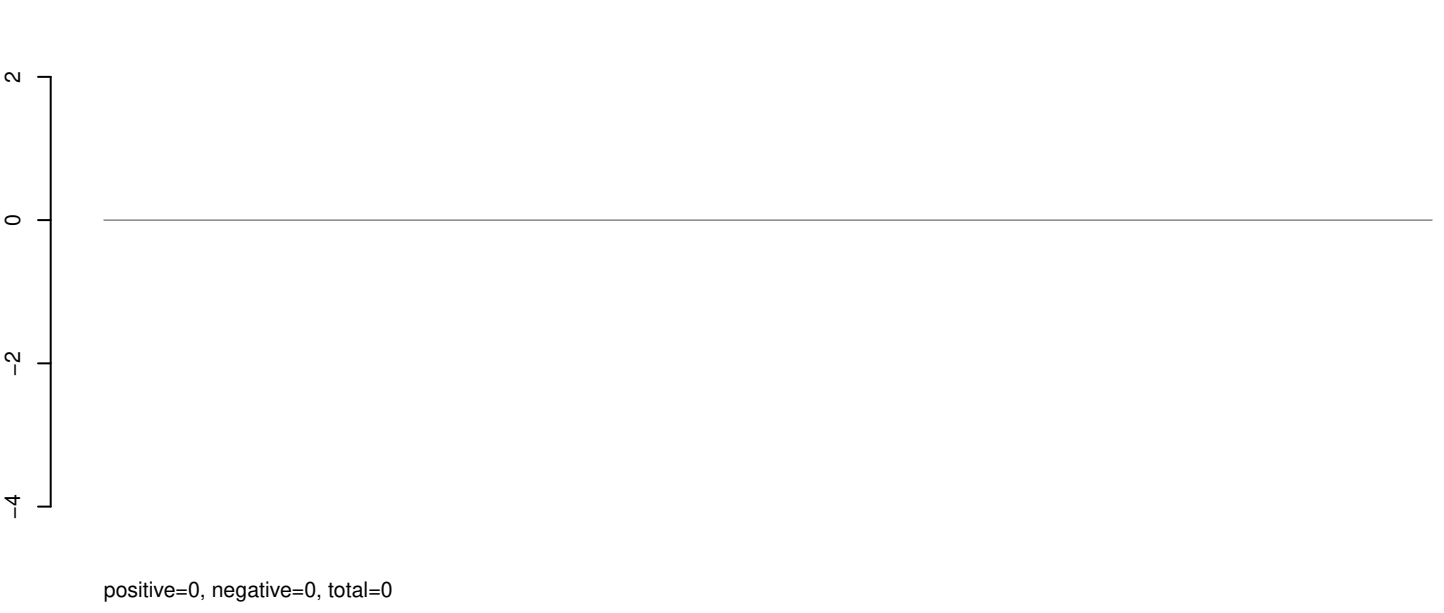


40 60 80 100

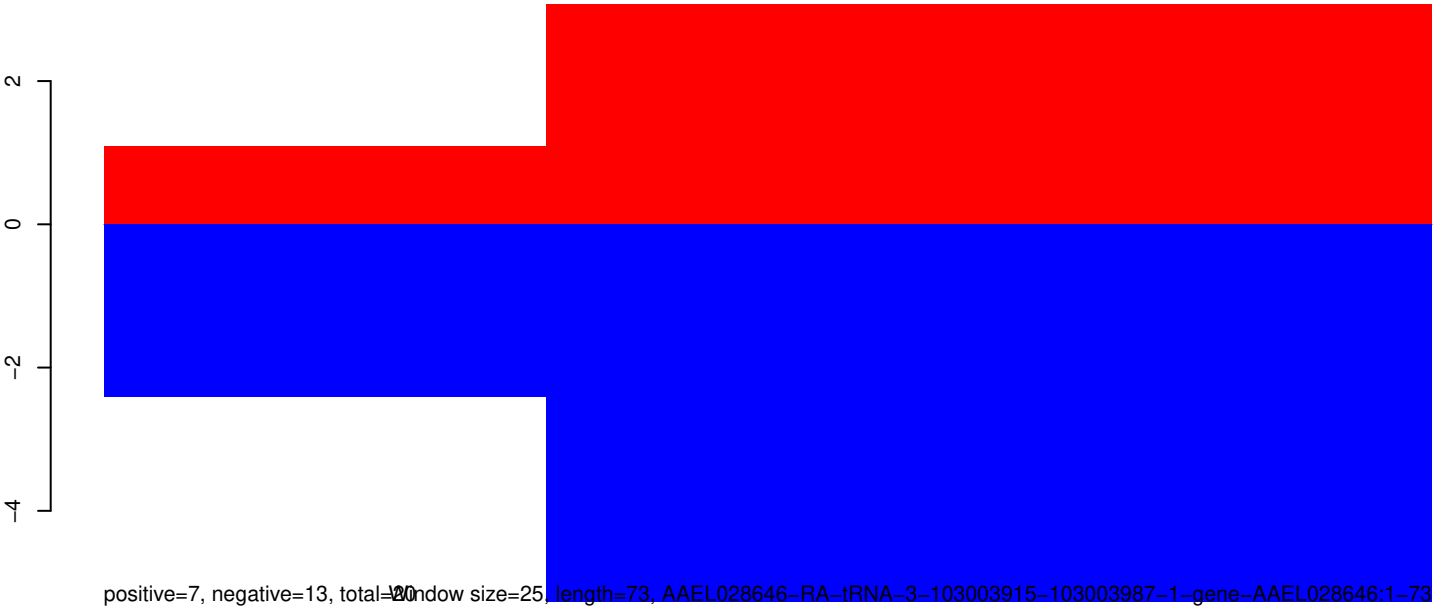
AeAeg_Aag2_Ago2_SINV_Beta_RA.18_23.rep



AeAeg_Aag2_Ago2_SINV_Beta_RA.24_35.rep



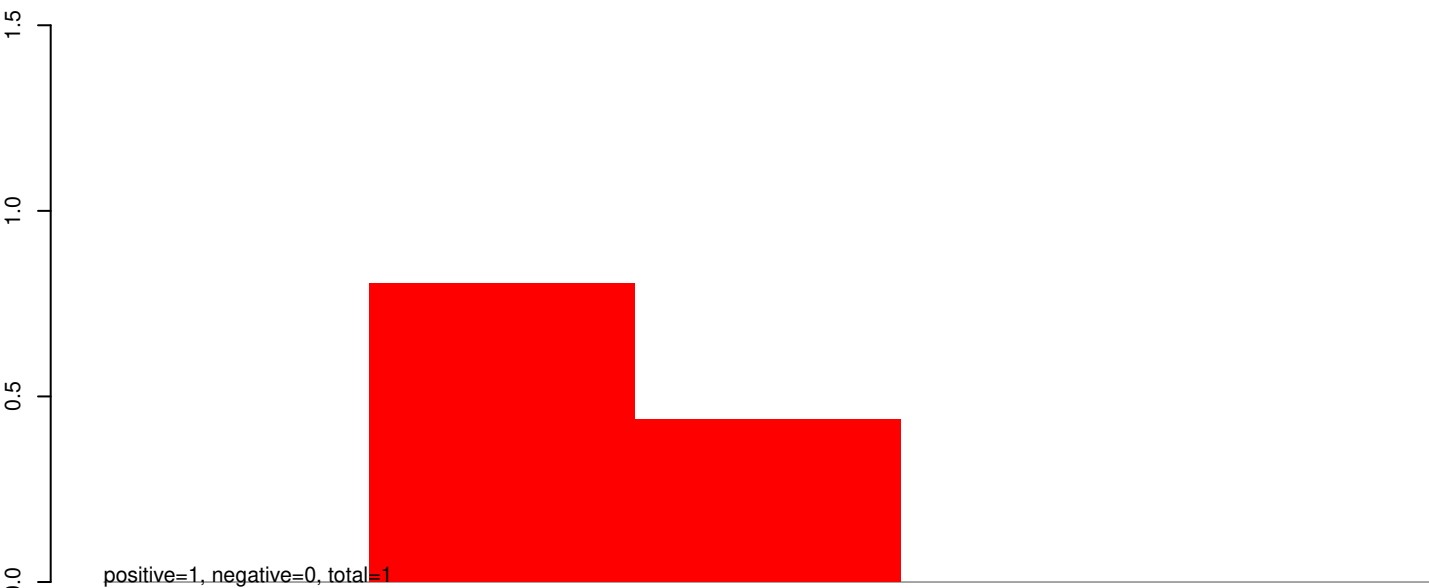
AeAeg_Aag2_Ago2_SINV_Beta_RA.rep



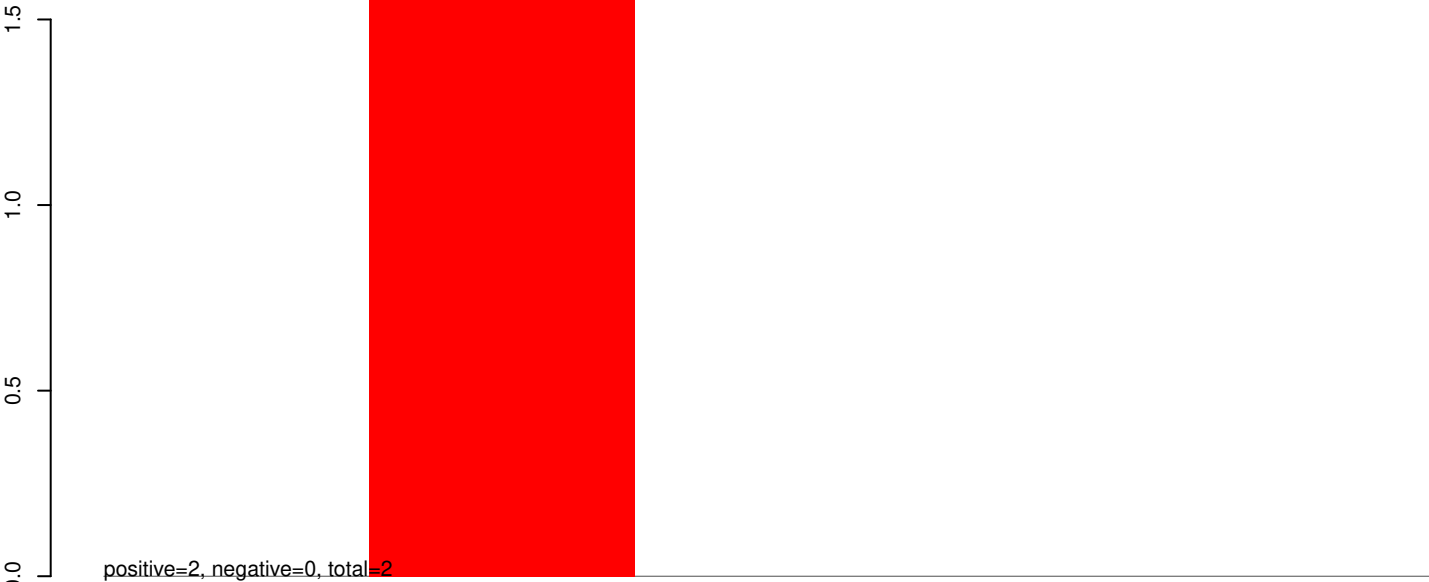
Window size=25, length=73, AAEL028646-RA-tRNA-3-103003915-103003987-1-gene-AAEL028646:1-73

40 60 80 100

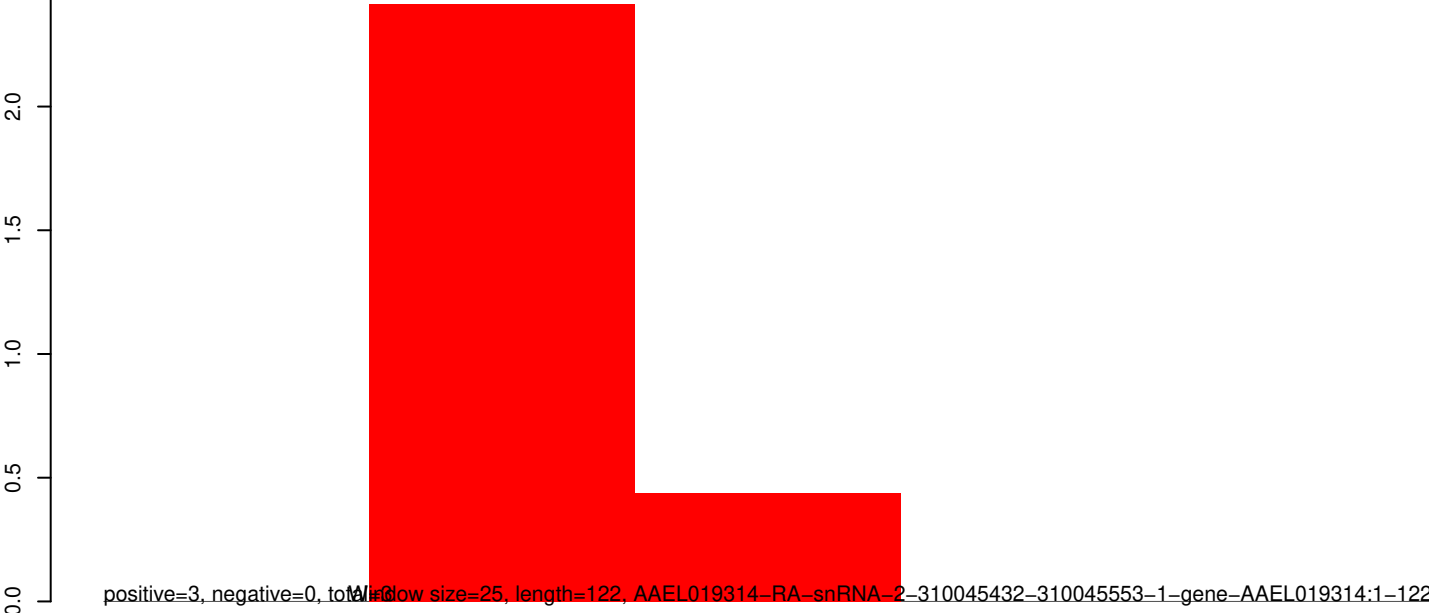
AeAeg_Aag2_Ago2_SINV_Beta_RA.18_23.rep



AeAeg_Aag2_Ago2_SINV_Beta_RA.24_35.rep

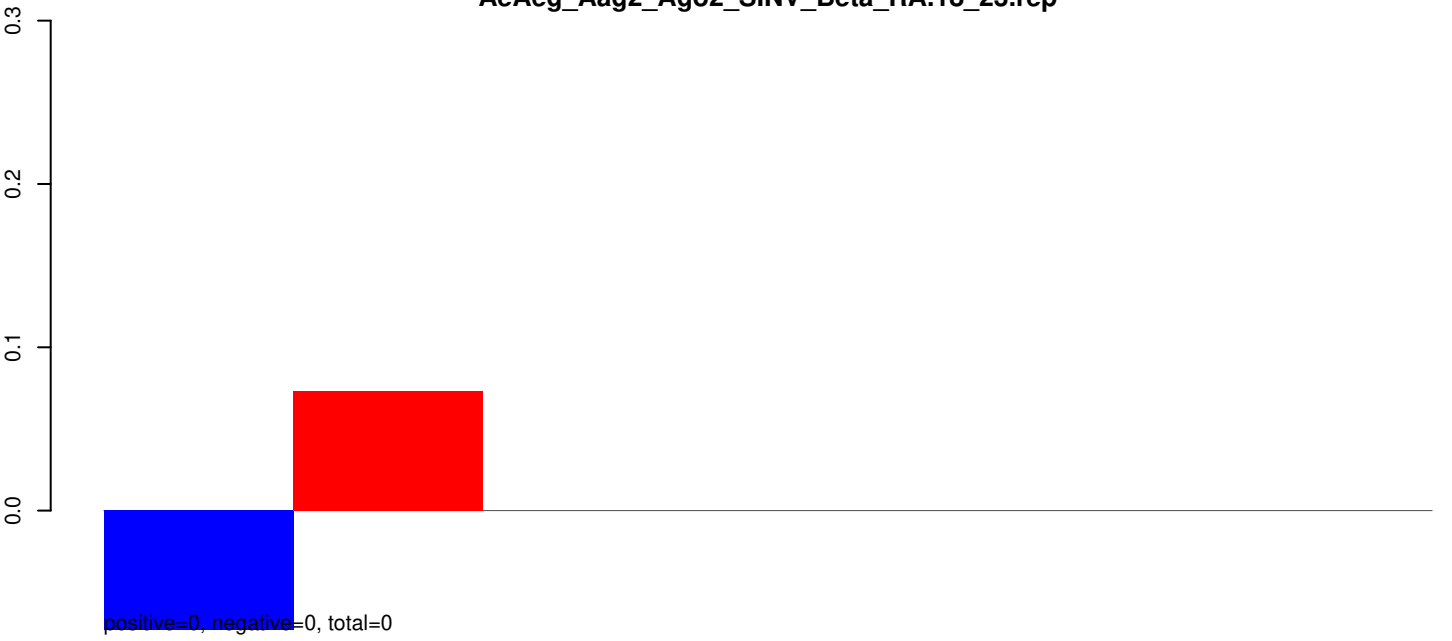


AeAeg_Aag2_Ago2_SINV_Beta_RA.rep



40 60 80 100 120 140

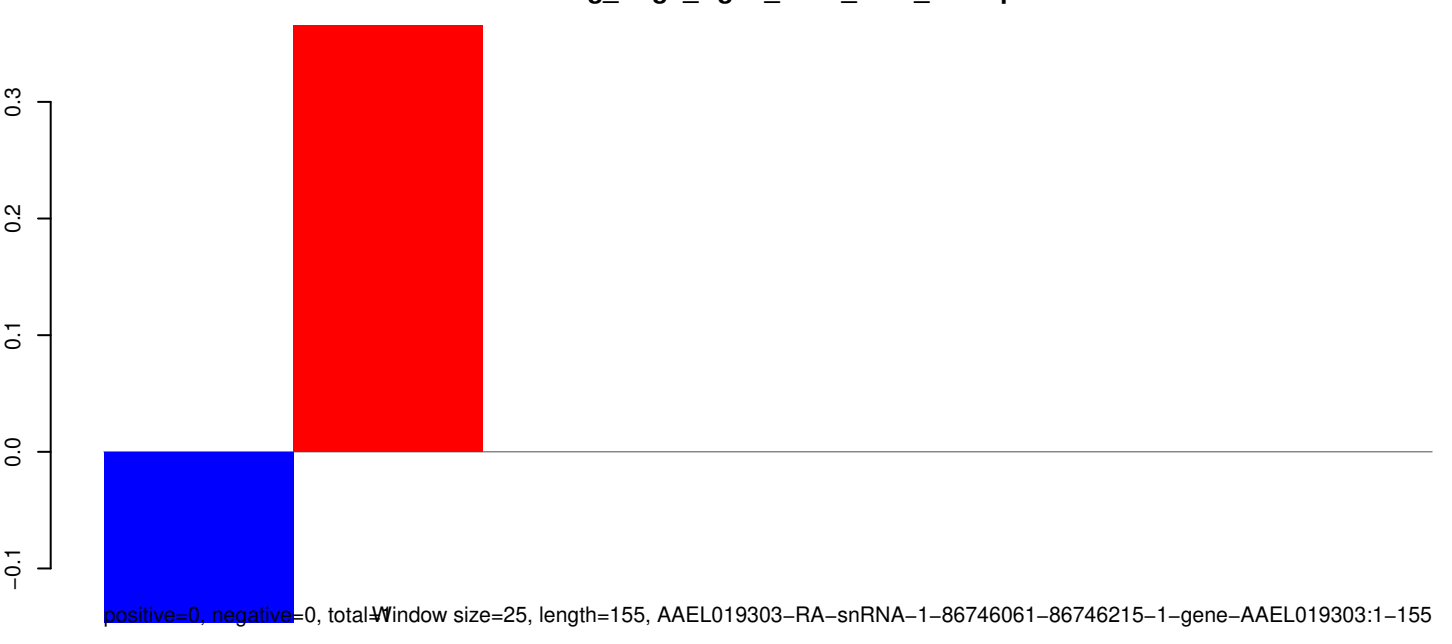
AeAeg_Aag2_Ago2_SINV_Beta_RA.18_23.rep



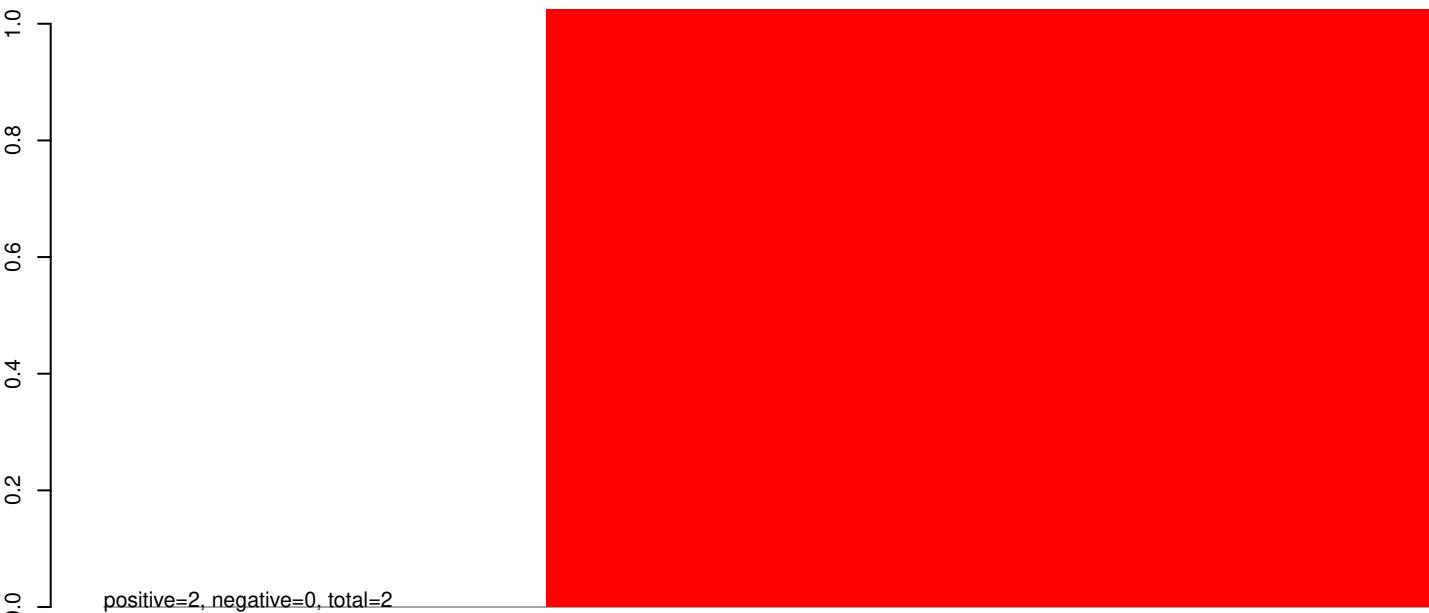
AeAeg_Aag2_Ago2_SINV_Beta_RA.24_35.rep



AeAeg_Aag2_Ago2_SINV_Beta_RA.rep



AeAeg_Aag2_Ago2_SINV_Beta_RA.18_23.rep



AeAeg_Aag2_Ago2_SINV_Beta_RA.24_35.rep

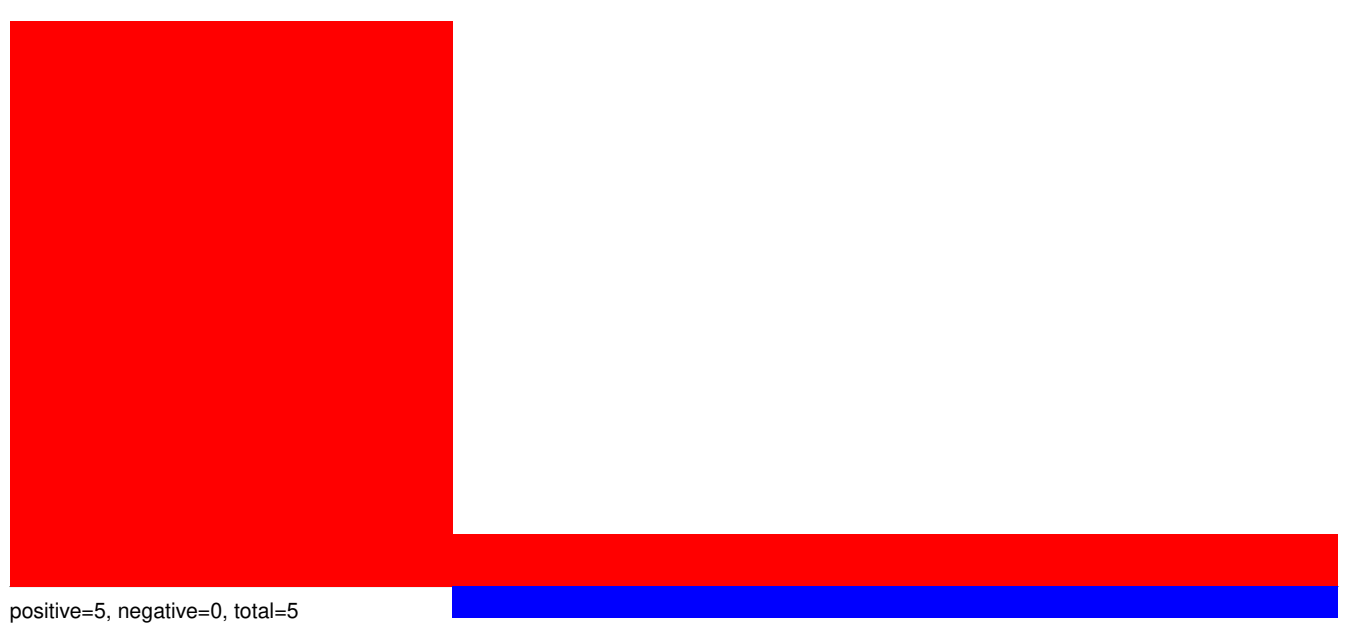


AeAeg_Aag2_Ago2_SINV_Beta_RA.rep

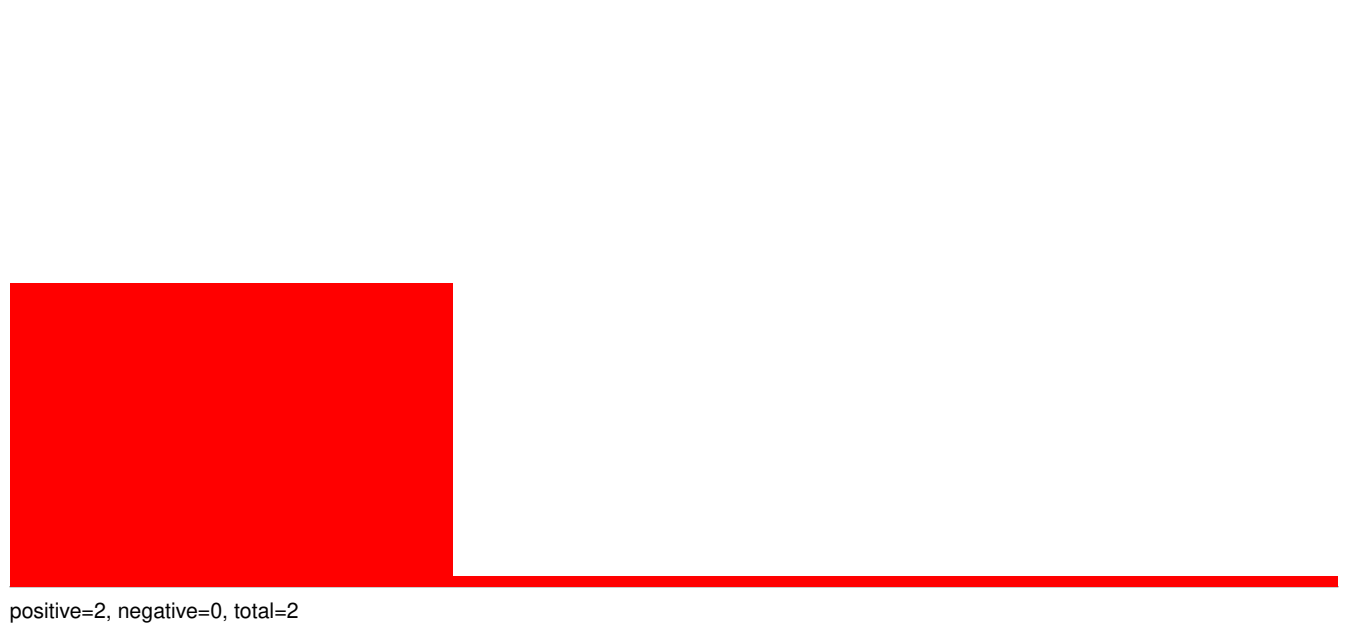


40 60 80 100

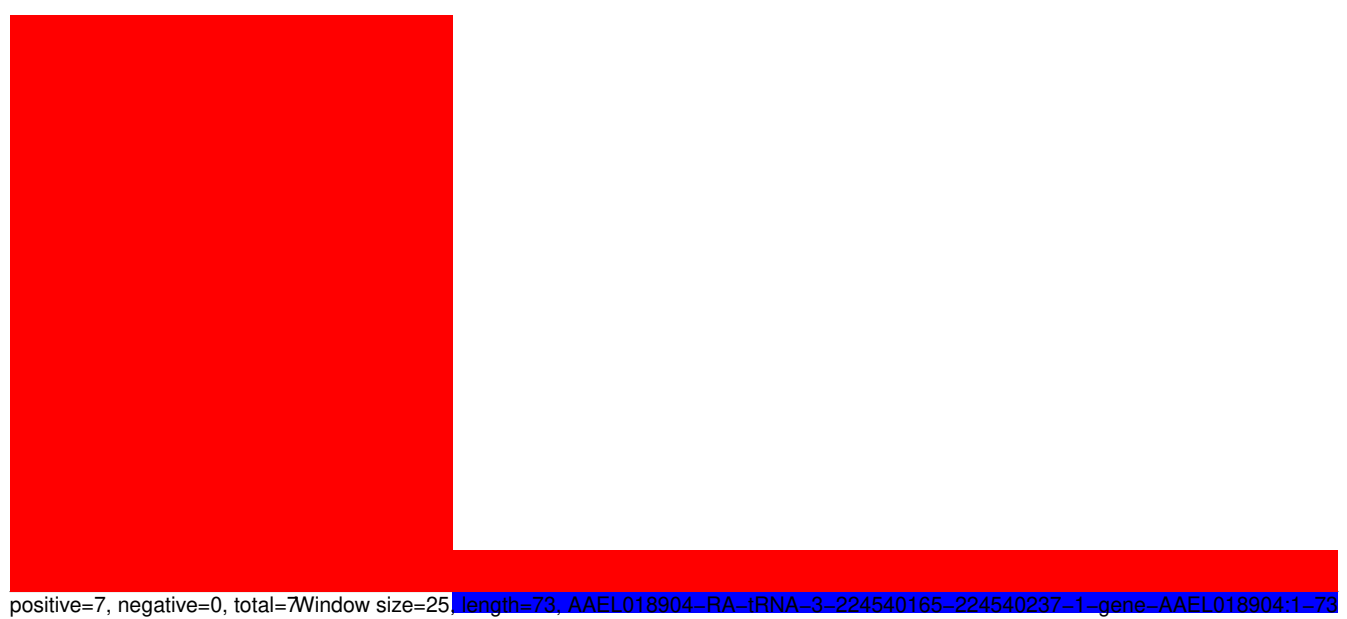
AeAeg_Aag2_Ago2_SINV_Beta_RA.18_23.rep



AeAeg_Aag2_Ago2_SINV_Beta_RA.24_35.rep



AeAeg_Aag2_Ago2_SINV_Beta_RA.rep

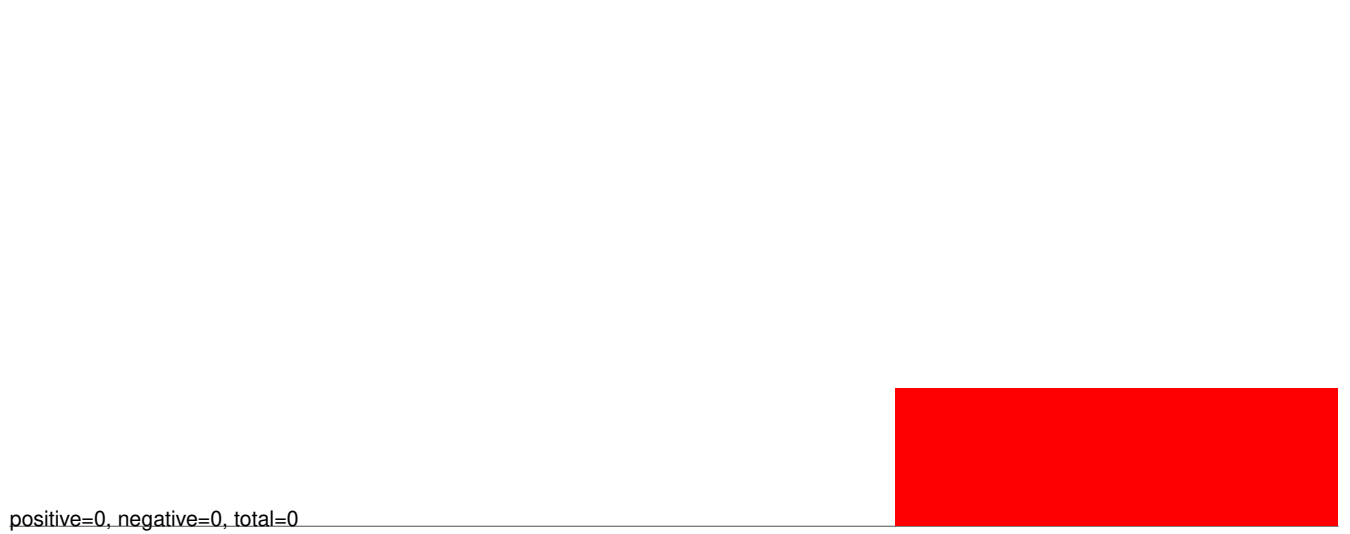


40 60 80 100

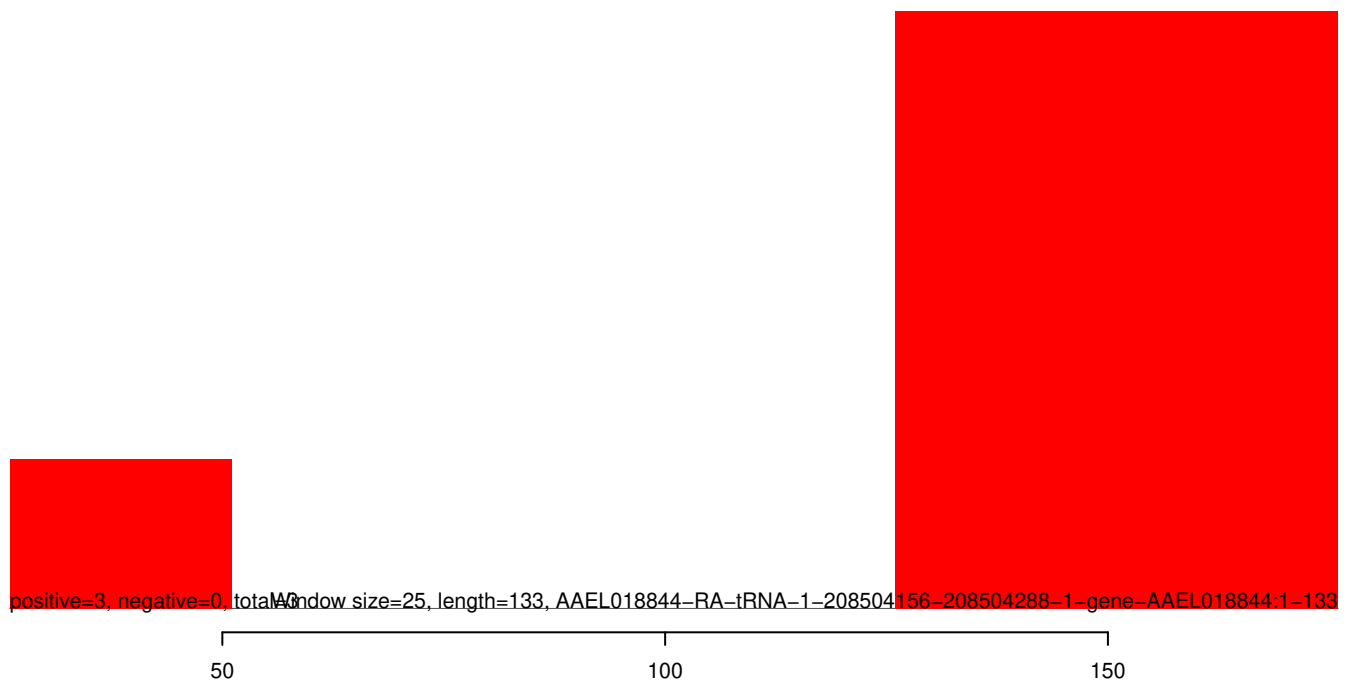
AeAeg_Aag2_Ago2_SINV_Beta_RA.18_23.rep



AeAeg_Aag2_Ago2_SINV_Beta_RA.24_35.rep



AeAeg_Aag2_Ago2_SINV_Beta_RA.rep



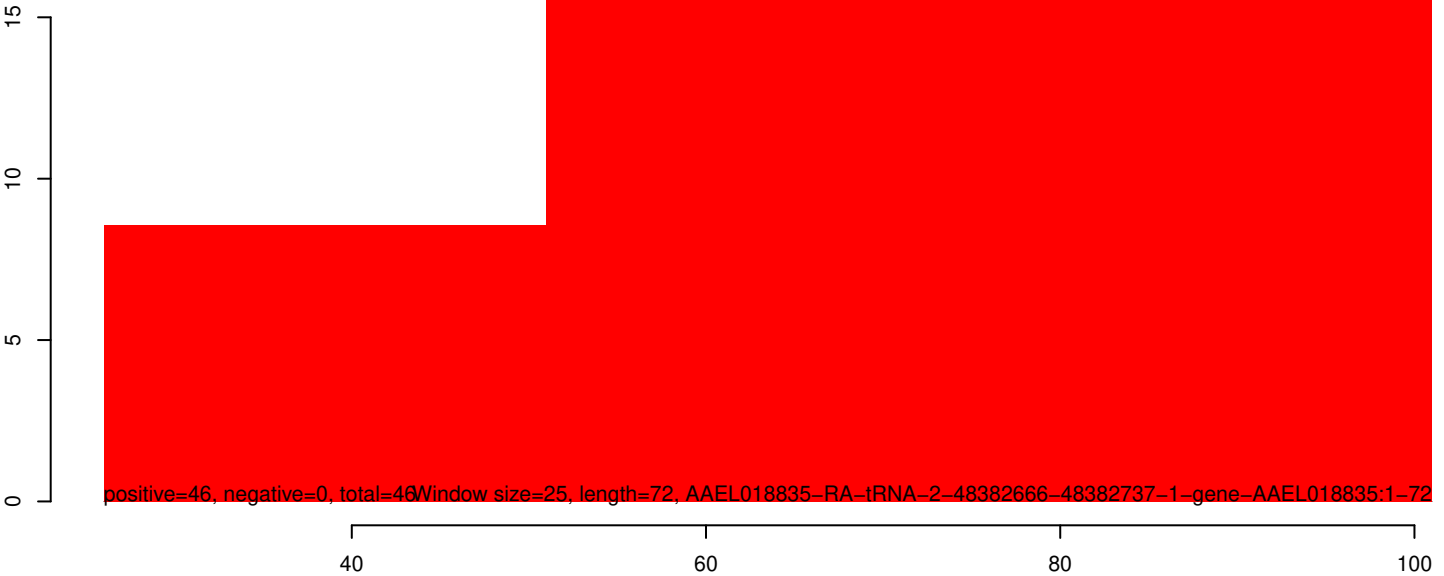
AeAeg_Aag2_Ago2_SINV_Beta_RA.18_23.rep



AeAeg_Aag2_Ago2_SINV_Beta_RA.24_35.rep



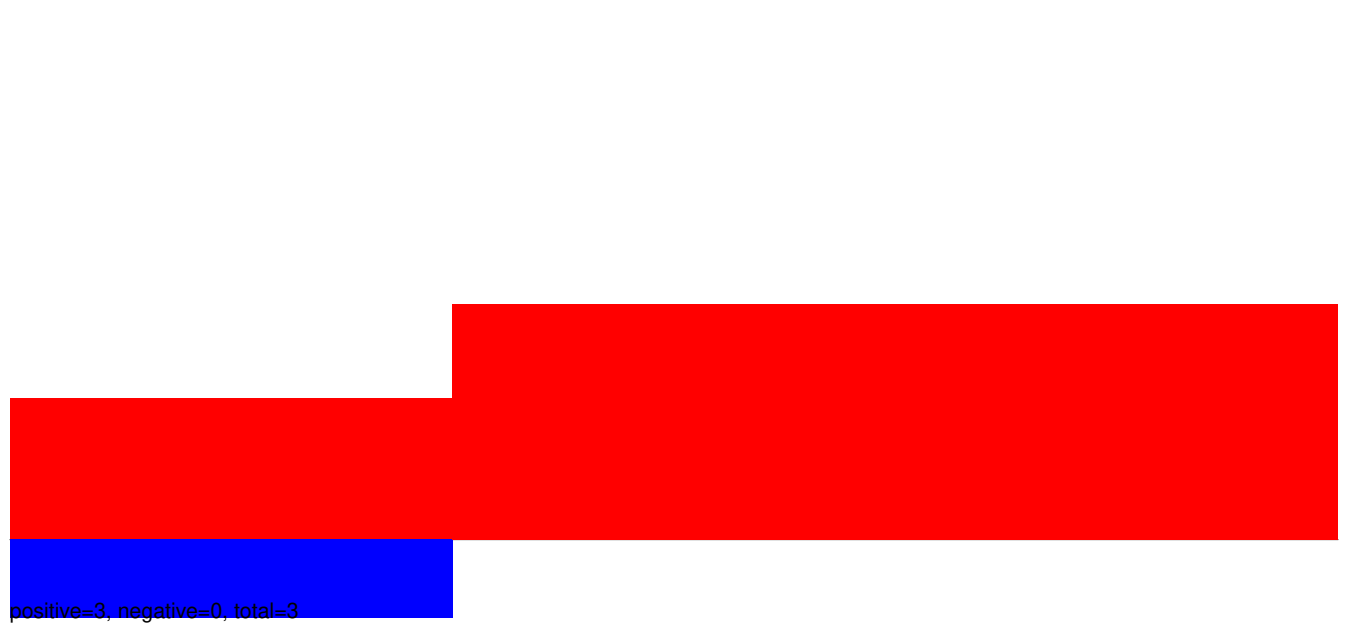
AeAeg_Aag2_Ago2_SINV_Beta_RA.rep



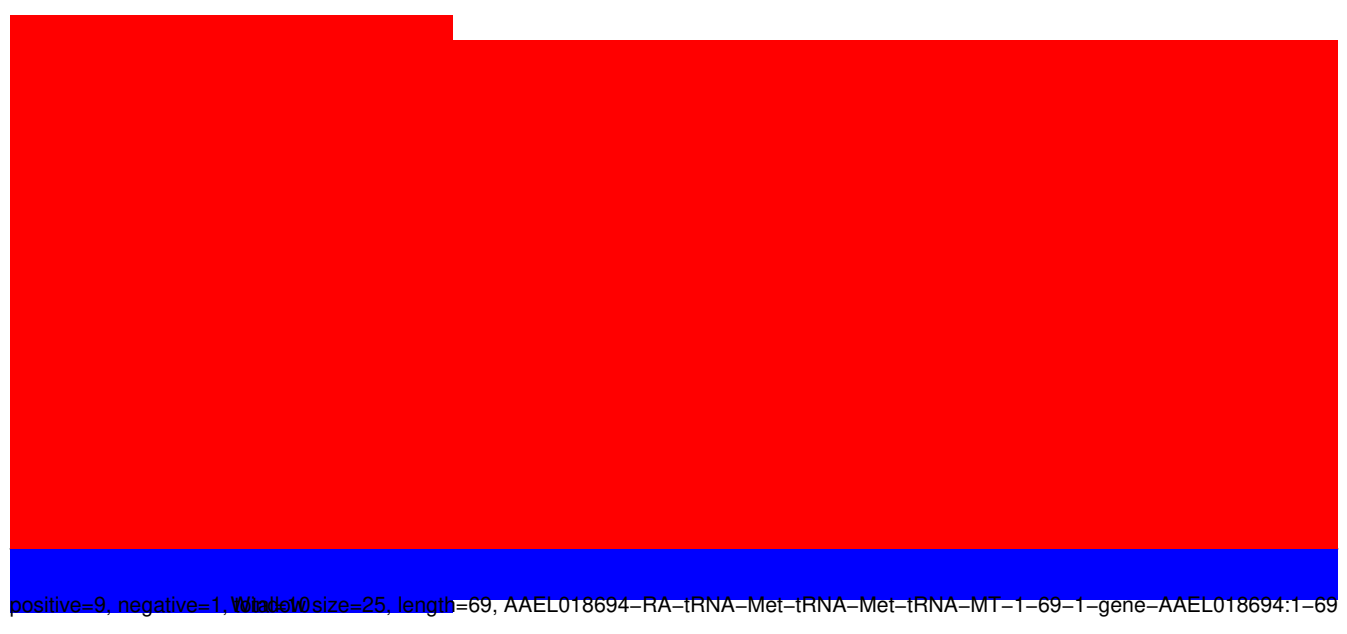
AeAeg_Aag2_Ago2_SINV_Beta_RA.18_23.rep



AeAeg_Aag2_Ago2_SINV_Beta_RA.24_35.rep

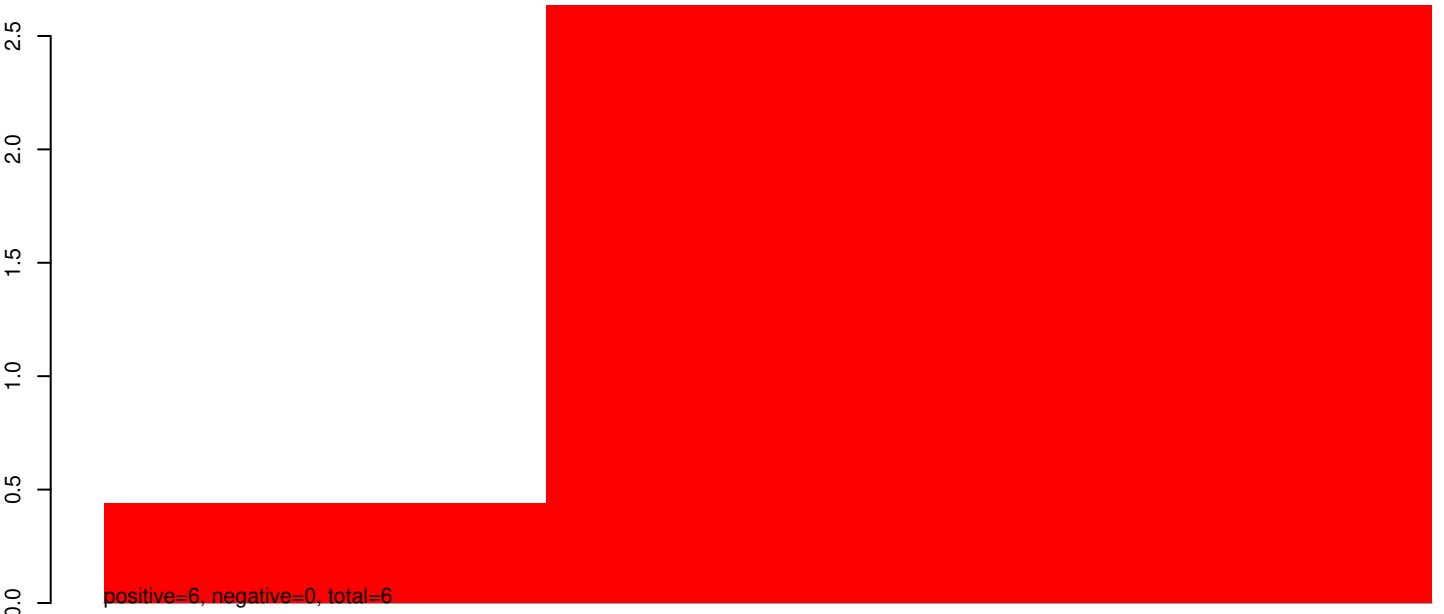


AeAeg_Aag2_Ago2_SINV_Beta_RA.rep



40 60 80 100

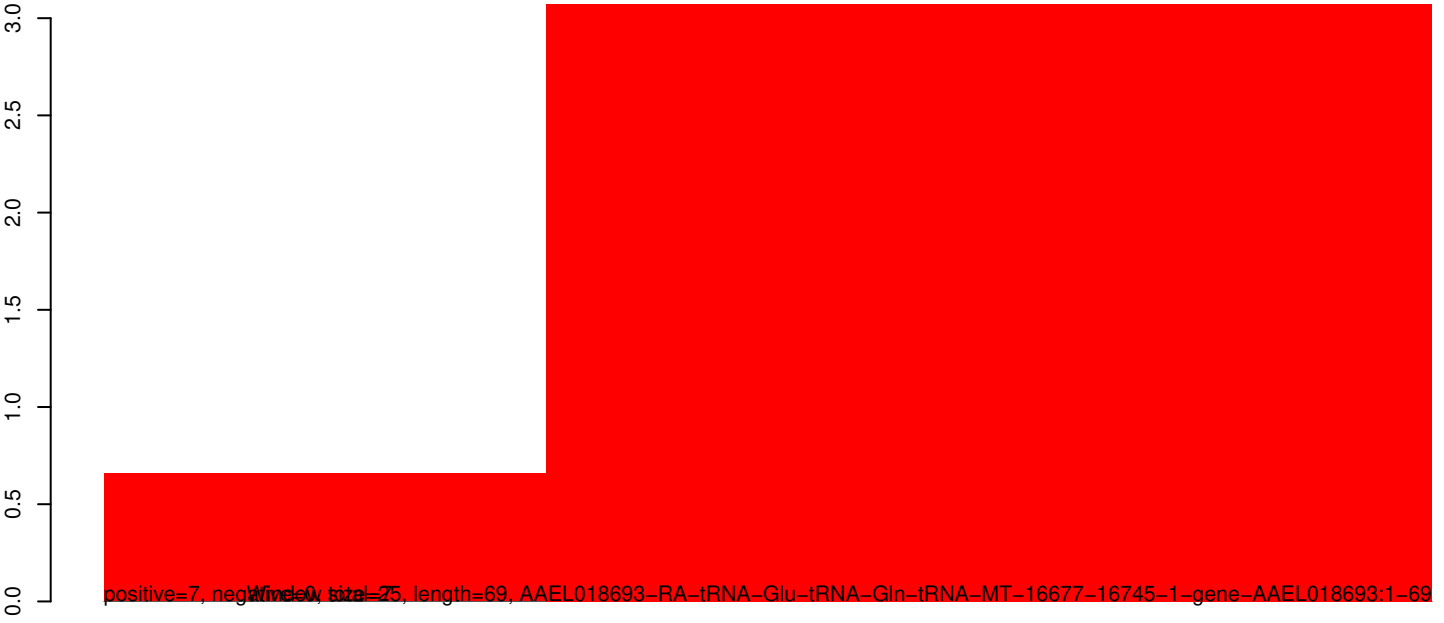
AeAeg_Aag2_Ago2_SINV_Beta_RA.18_23.rep



AeAeg_Aag2_Ago2_SINV_Beta_RA.24_35.rep

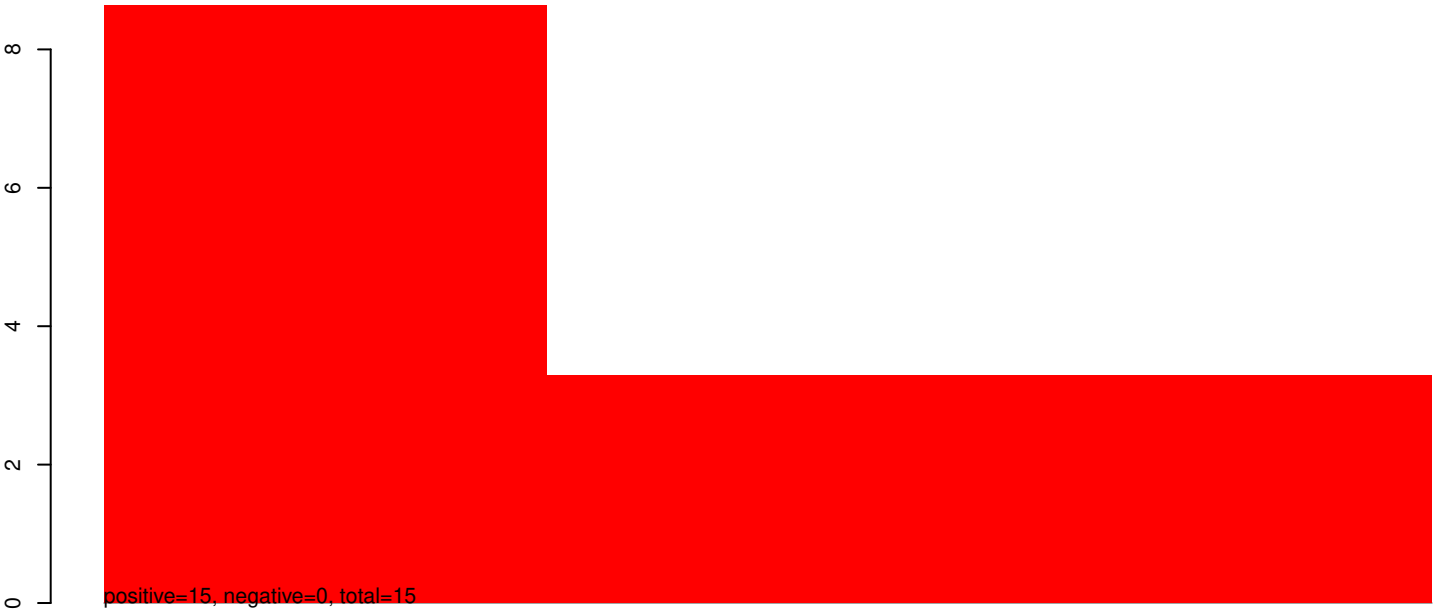


AeAeg_Aag2_Ago2_SINV_Beta_RA.rep



40 60 80 100

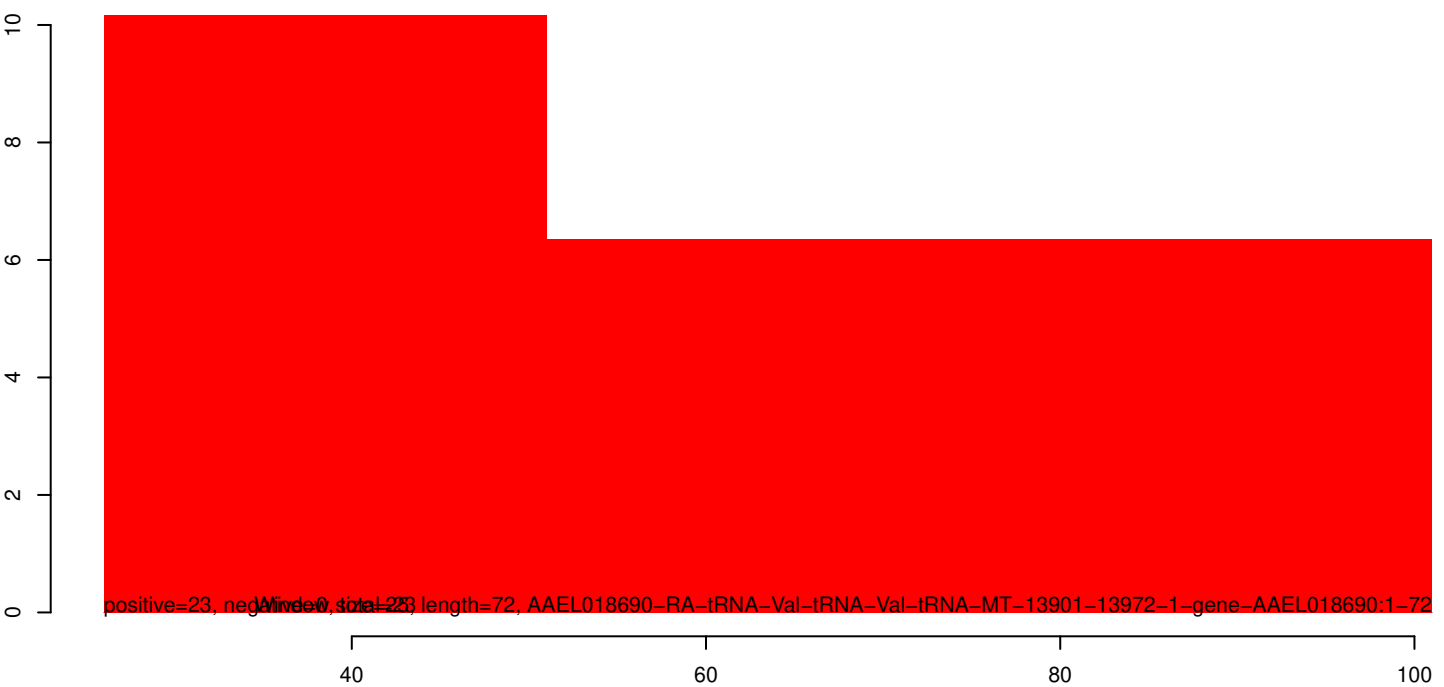
AeAeg_Aag2_Ago2_SINV_Beta_RA.18_23.rep



AeAeg_Aag2_Ago2_SINV_Beta_RA.24_35.rep



AeAeg_Aag2_Ago2_SINV_Beta_RA.rep



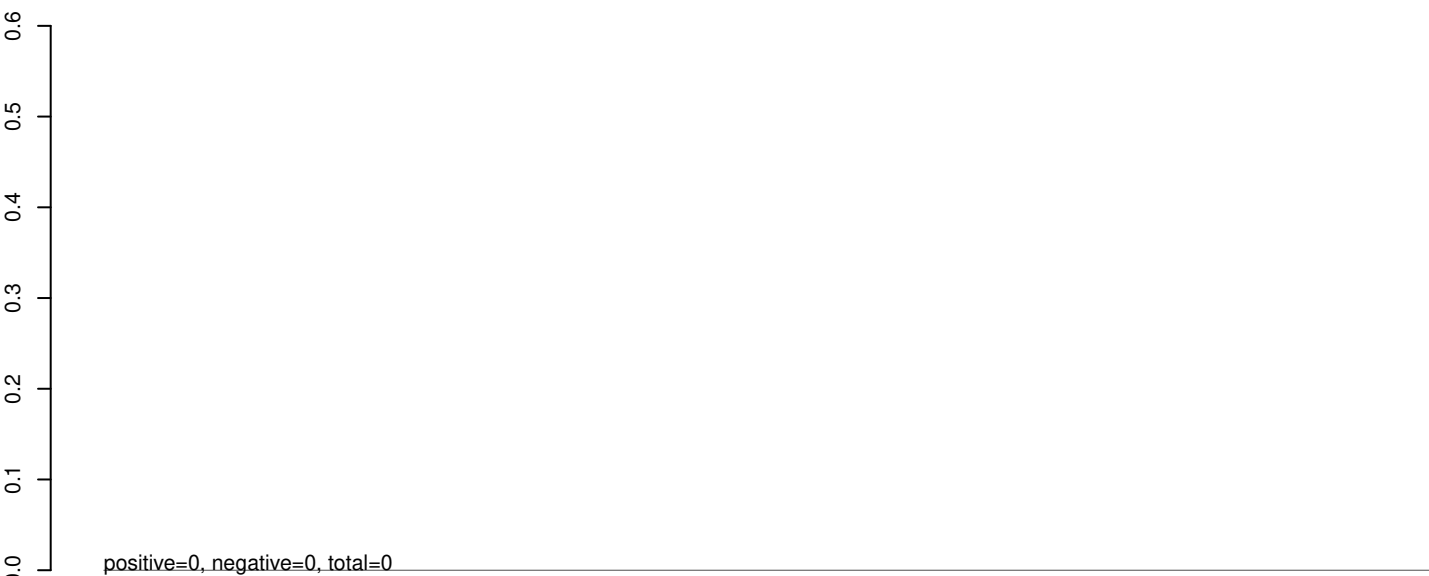
Window size=23, length=72, AAEL018690-RA-tRNA-Val-tRNA-Val-tRNA-MT-13901-13972-1-gene-AAEL018690:1-72

AeAeg_Aag2_Ago2_SINV_Beta_RA.18_23.rep



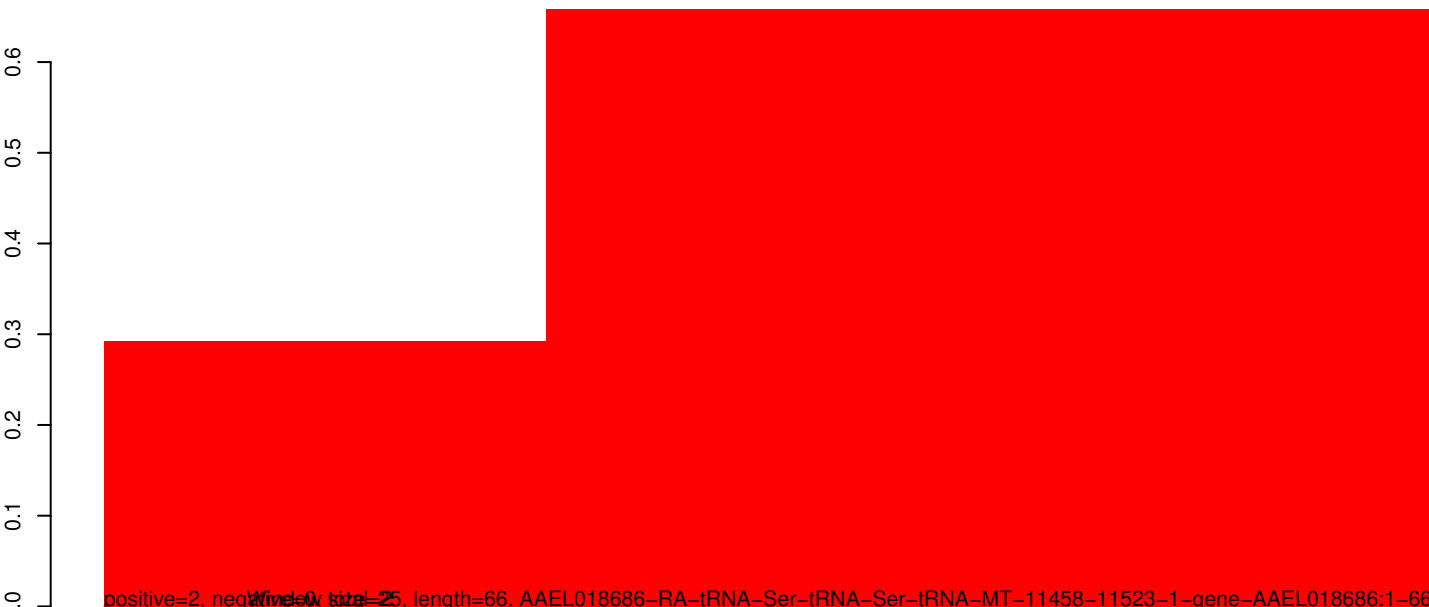
positive=2, negative=0, total=2

AeAeg_Aag2_Ago2_SINV_Beta_RA.24_35.rep



positive=0, negative=0, total=0

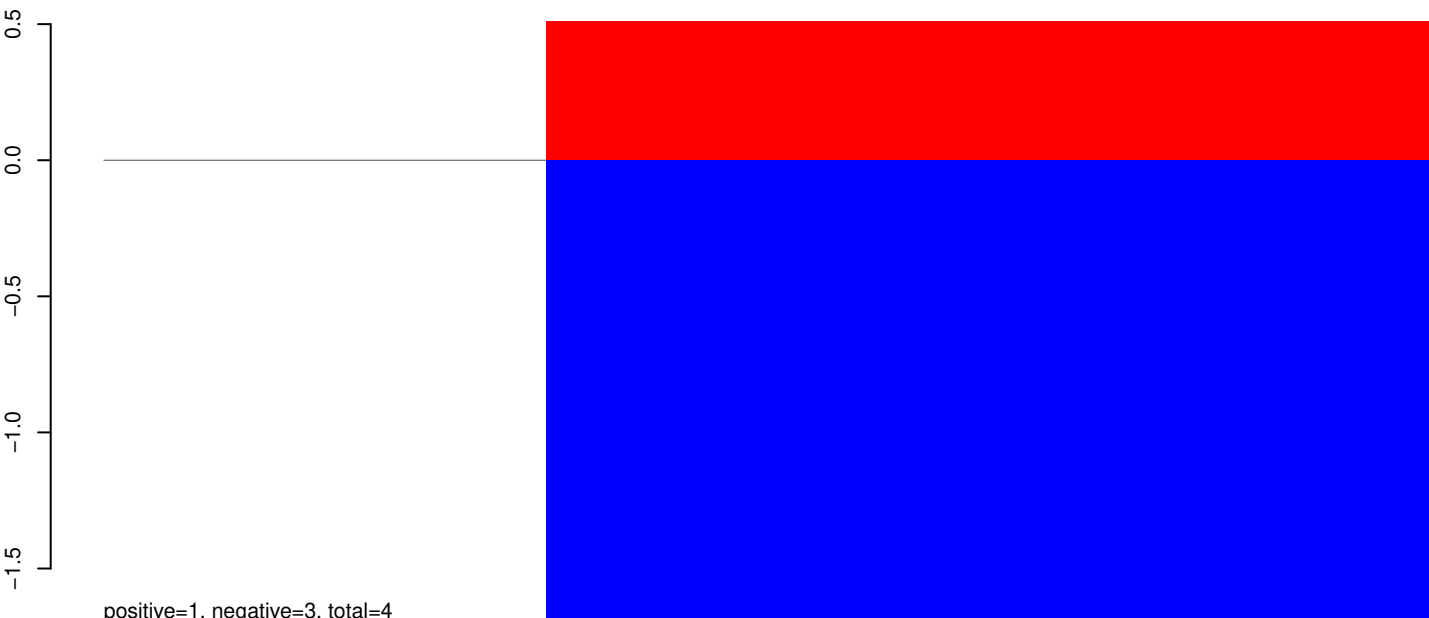
AeAeg_Aag2_Ago2_SINV_Beta_RA.rep



positive=2, negative=0, total=2, length=66, AAEL018686-RA-tRNA-Ser-tRNA-Ser-tRNA-MT-11458-11523-1-gene-AAEL018686:1-66

40 60 80 100

AeAeg_Aag2_Ago2_SINV_Beta_RA.18_23.rep



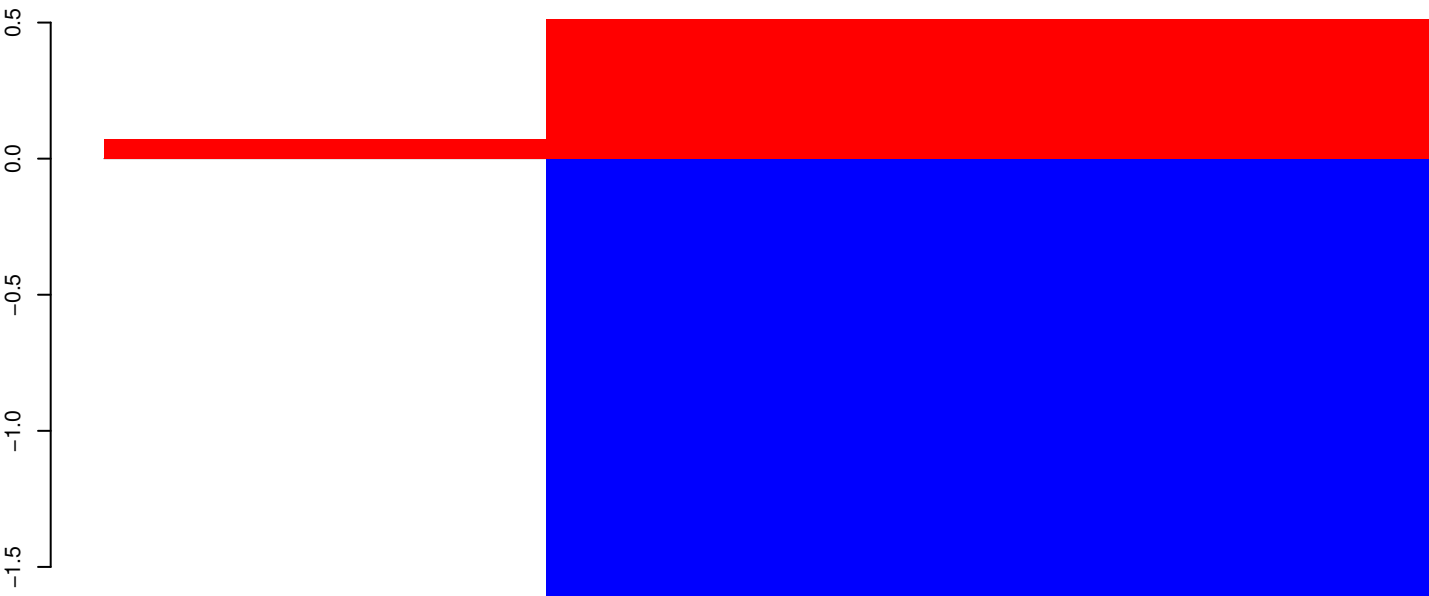
positive=1, negative=3, total=4

AeAeg_Aag2_Ago2_SINV_Beta_RA.24_35.rep



positive=0, negative=0, total=0

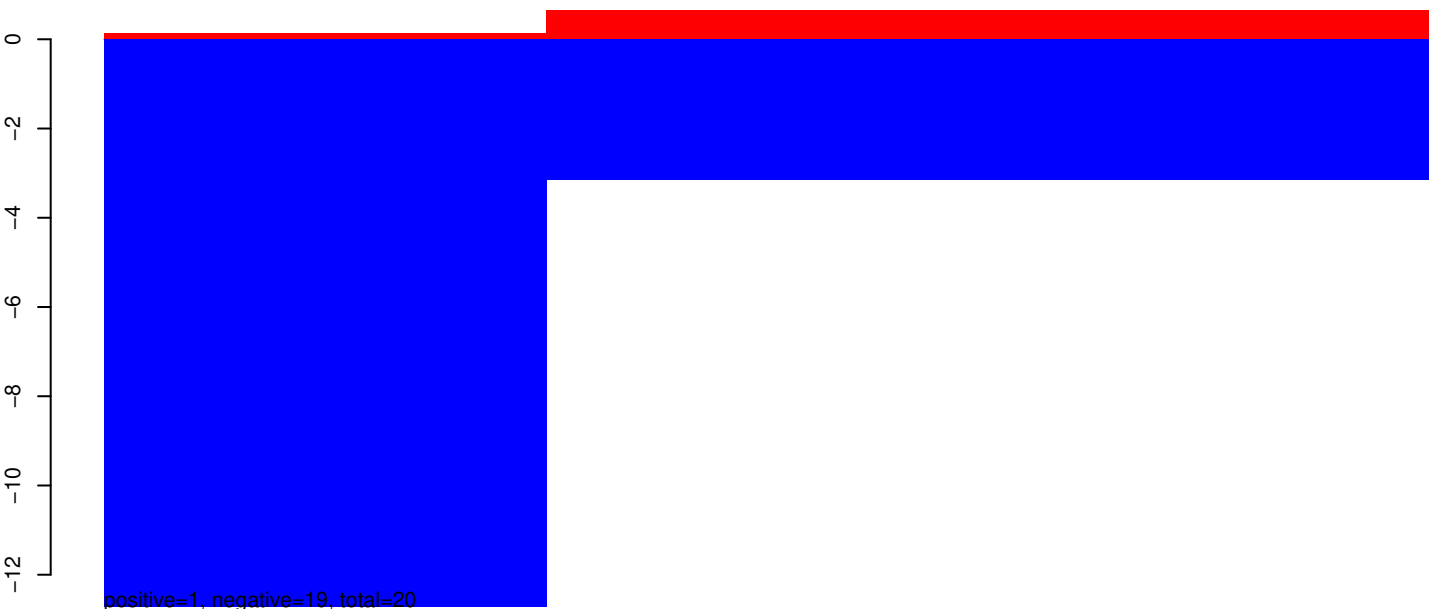
AeAeg_Aag2_Ago2_SINV_Beta_RA.rep



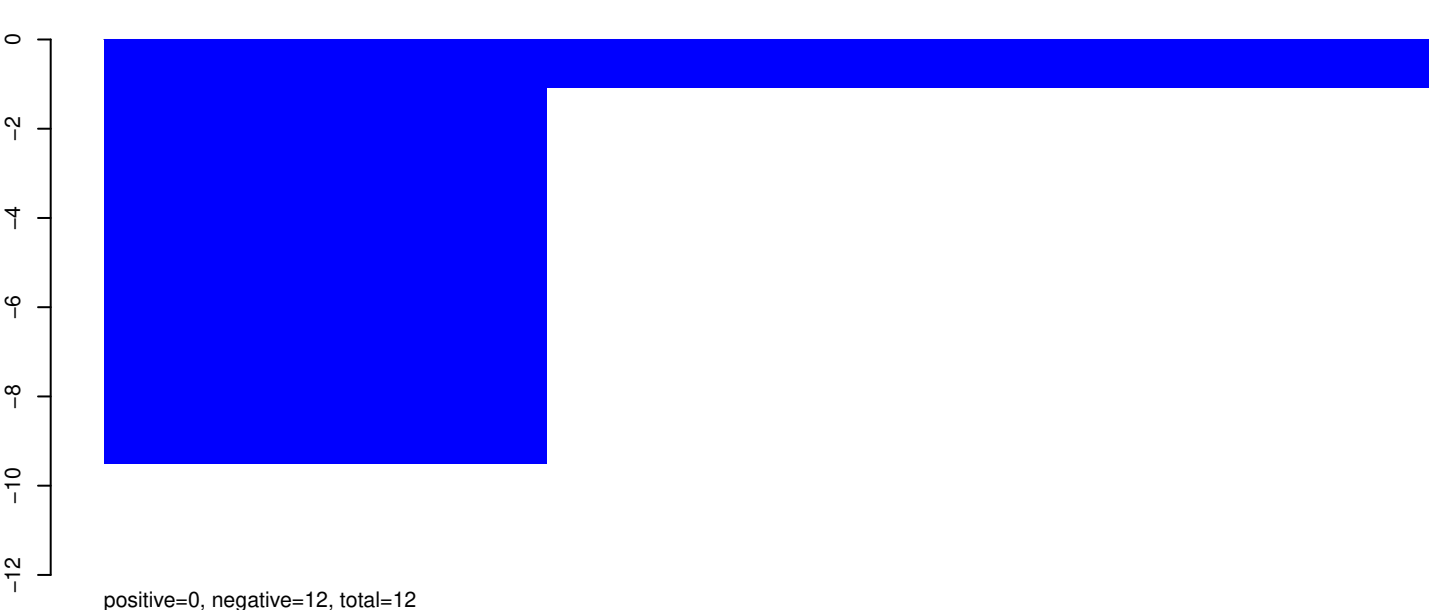
positive=1, negative=24, total=25, length=67, AAEL018683-RA-tRNA-Pro-tRNA-Pro-tRNA-MT-9729-9795-1-gene-AAEL018683:1-67

40 60 80 100

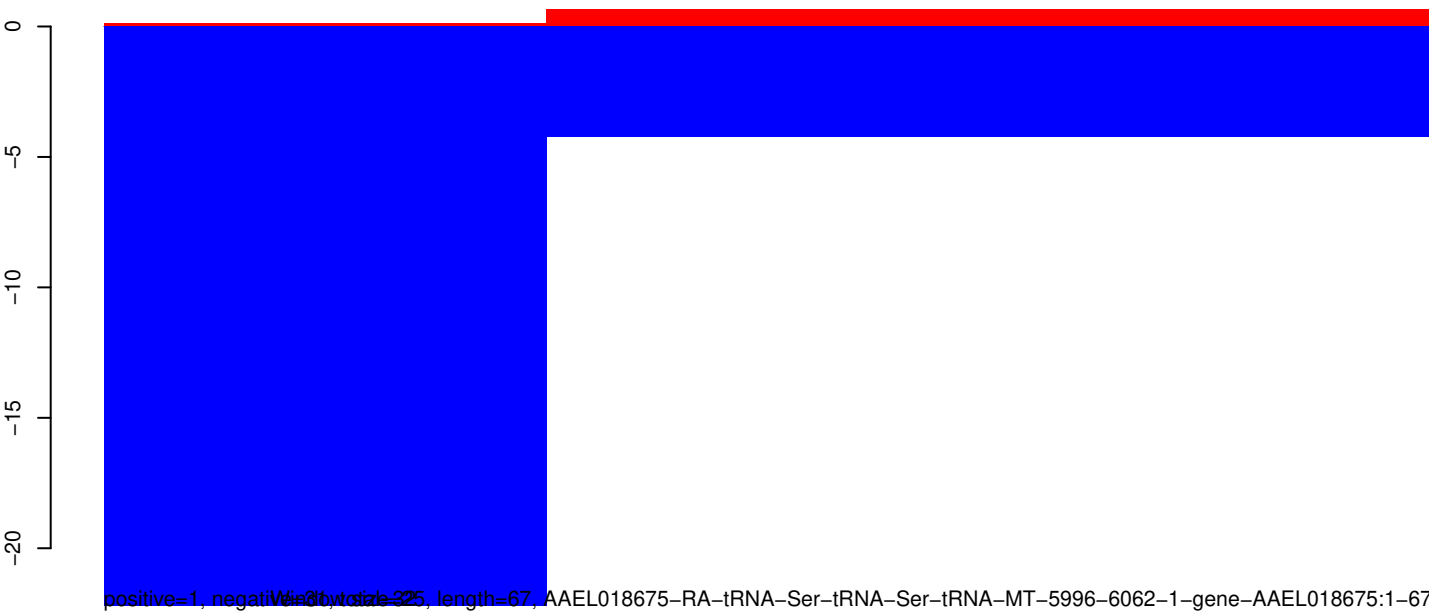
AeAeg_Aag2_Ago2_SINV_Beta_RA.18_23.rep



AeAeg_Aag2_Ago2_SINV_Beta_RA.24_35.rep

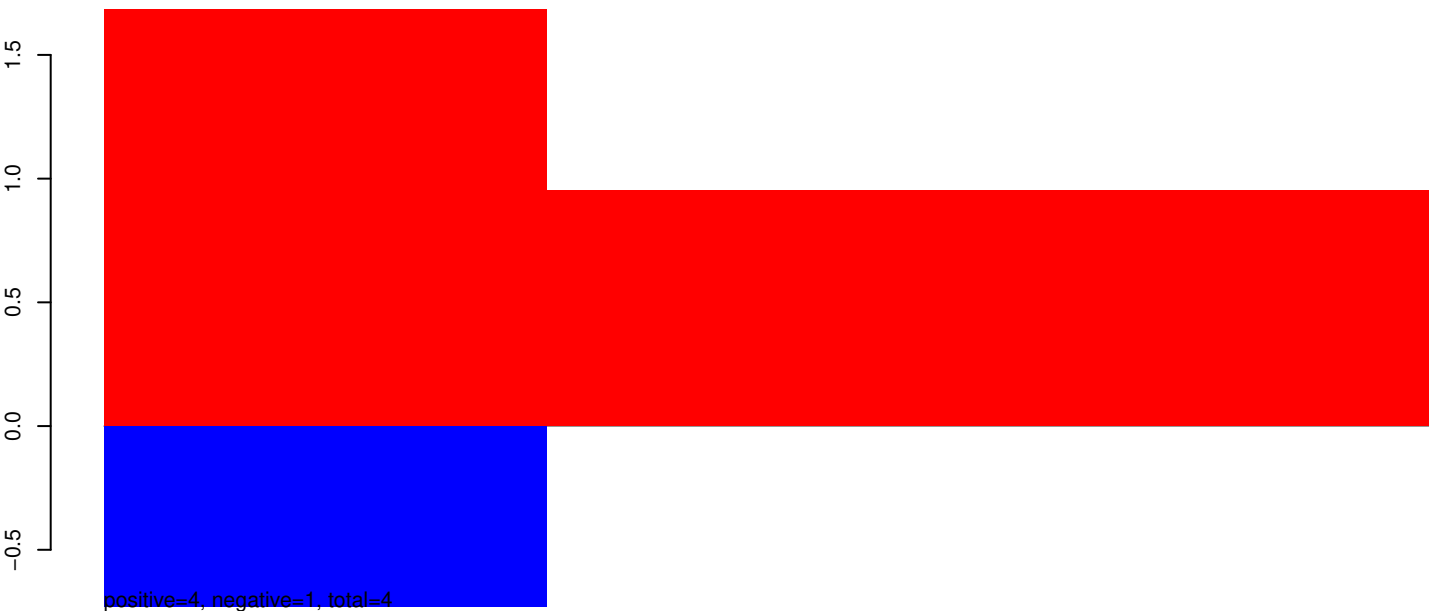


AeAeg_Aag2_Ago2_SINV_Beta_RA.rep

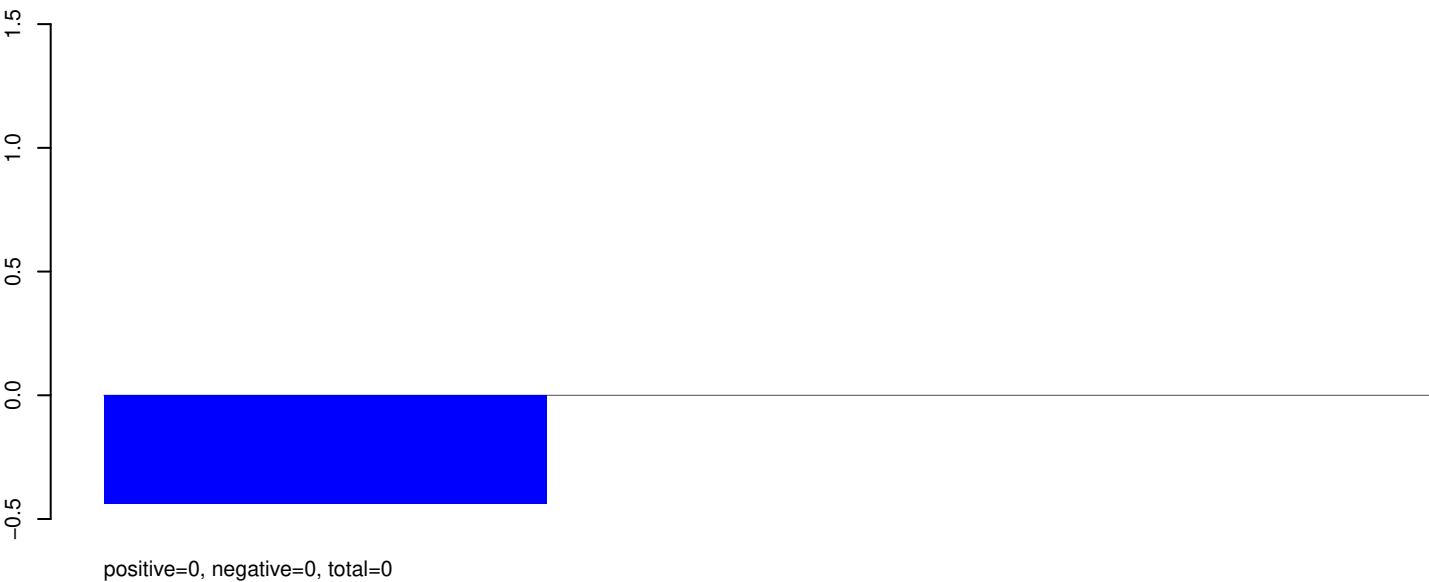


40 60 80 100

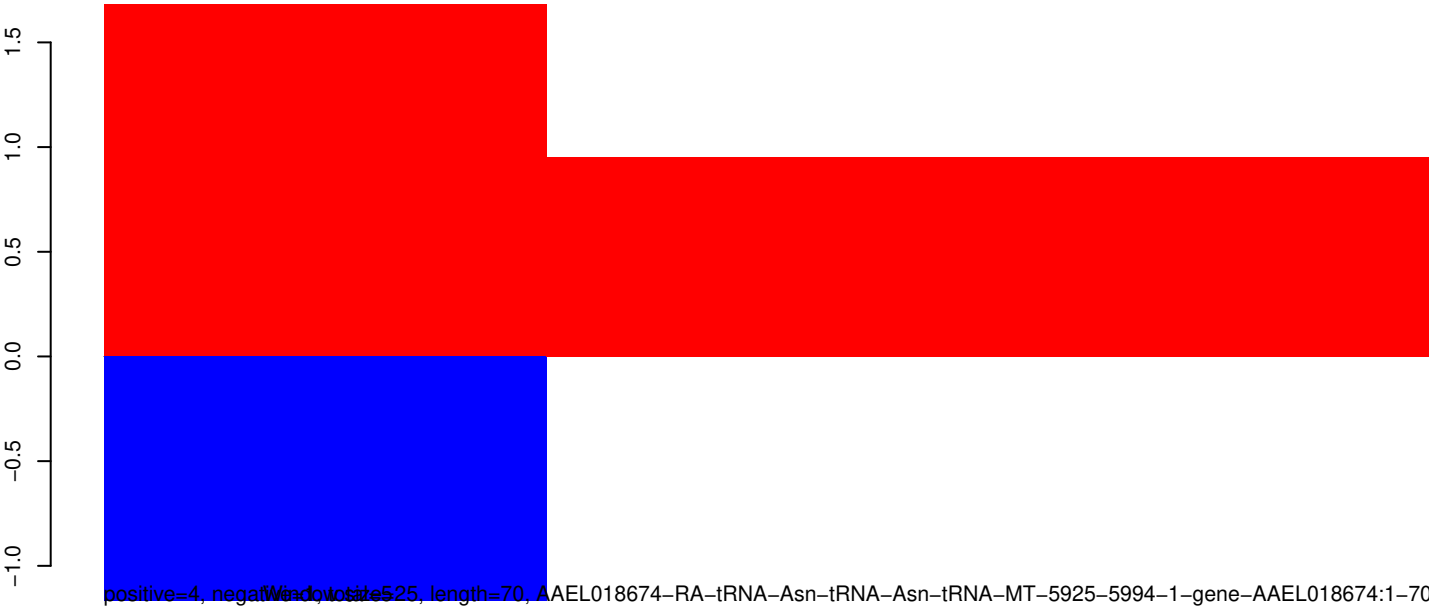
AeAeg_Aag2_Ago2_SINV_Beta_RA.18_23.rep



AeAeg_Aag2_Ago2_SINV_Beta_RA.24_35.rep



AeAeg_Aag2_Ago2_SINV_Beta_RA.rep



Window size=25, length=70, AAEL018674-RA-tRNA-Asn-tRNA-Asn-tRNA-MT-5925-5994-1-gene-AAEL018674:1-70

40

60

80

100

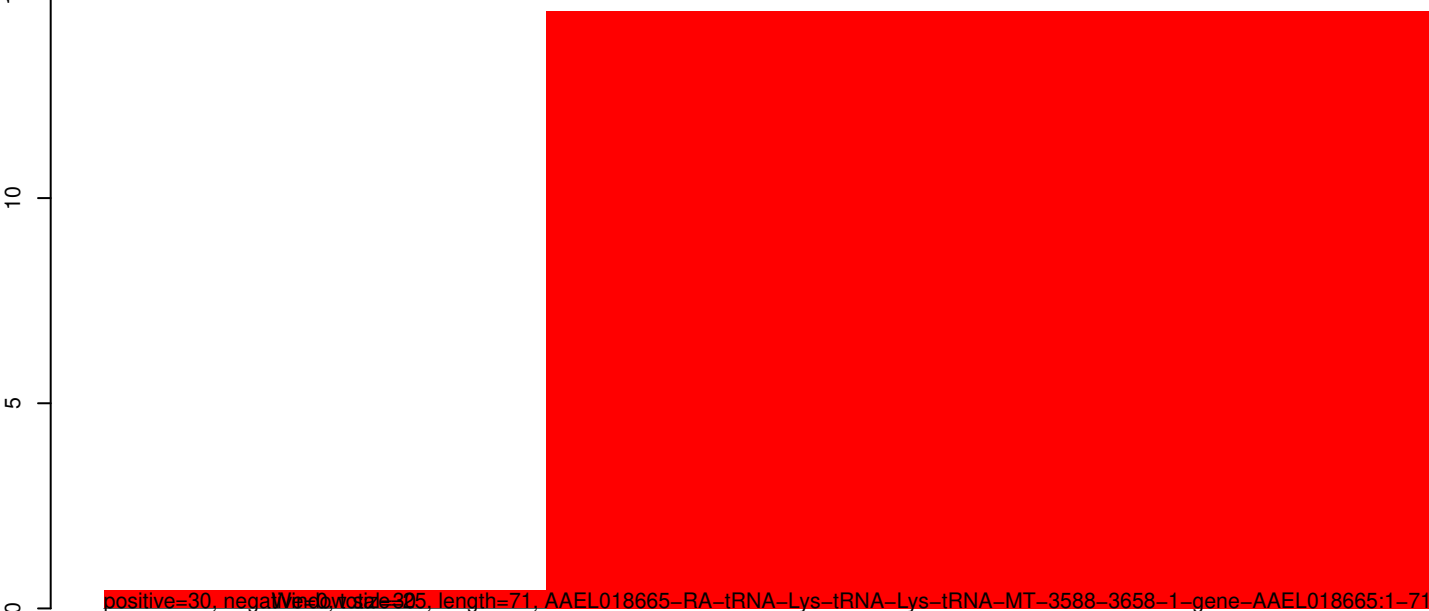
AeAeg_Aag2_Ago2_SINV_Beta_RA.18_23.rep



AeAeg_Aag2_Ago2_SINV_Beta_RA.24_35.rep

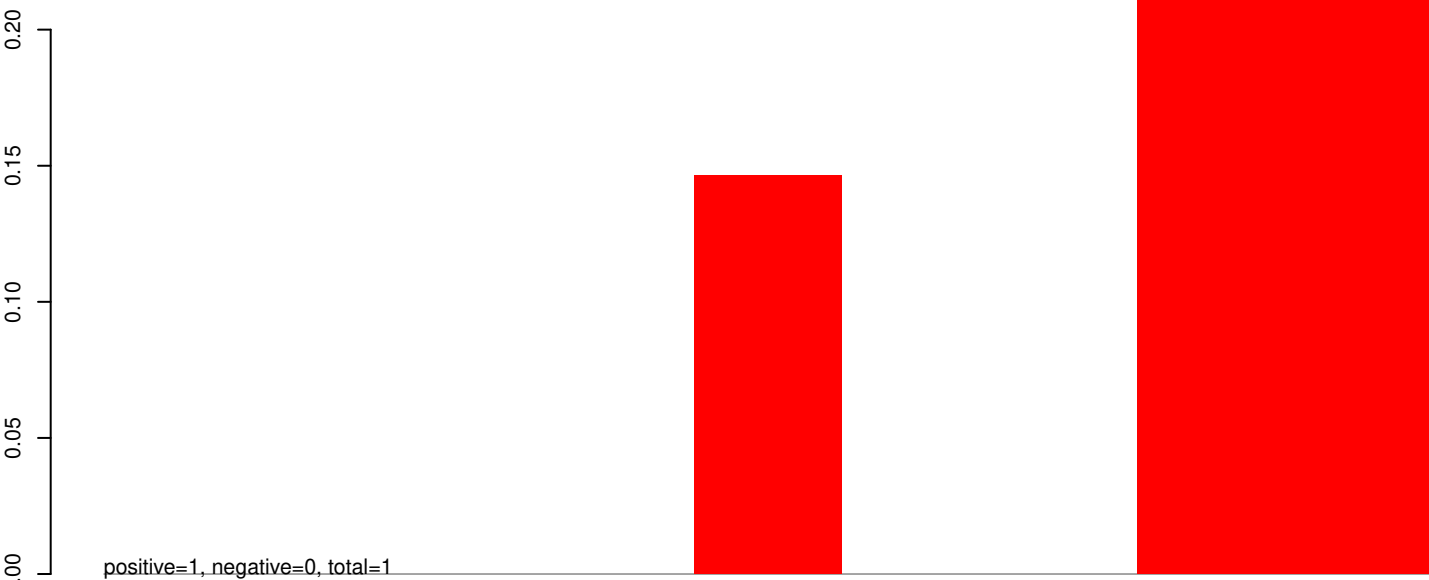


AeAeg_Aag2_Ago2_SINV_Beta_RA.rep

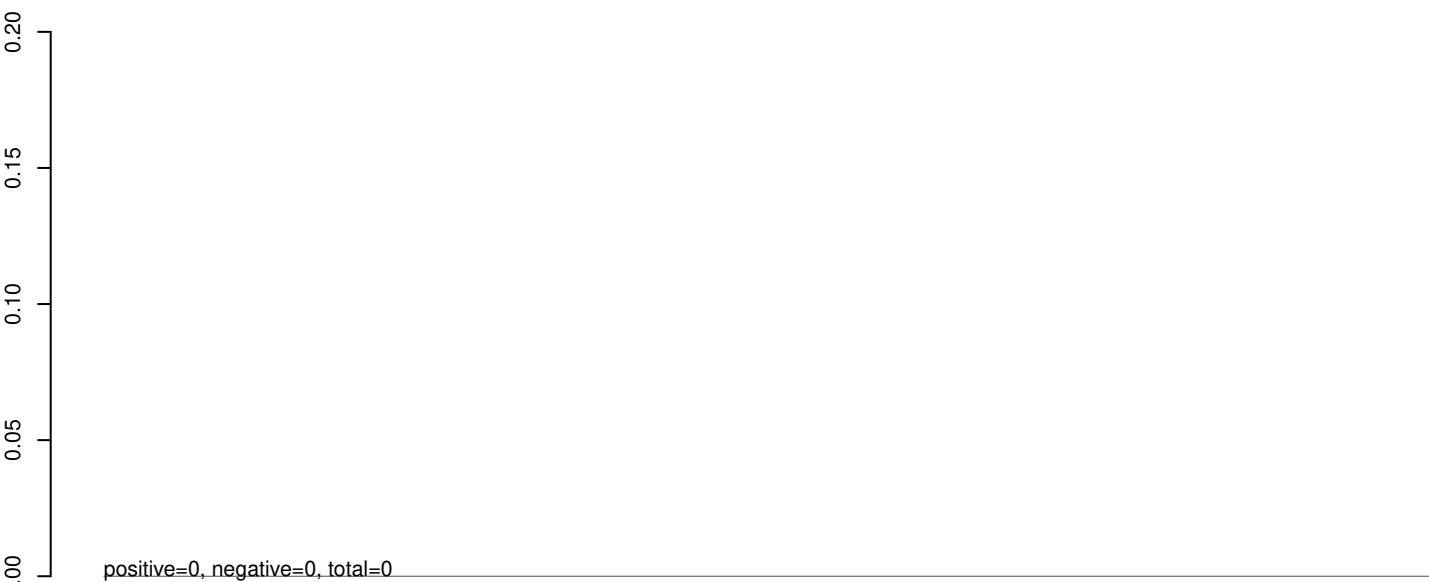


40 60 80 100

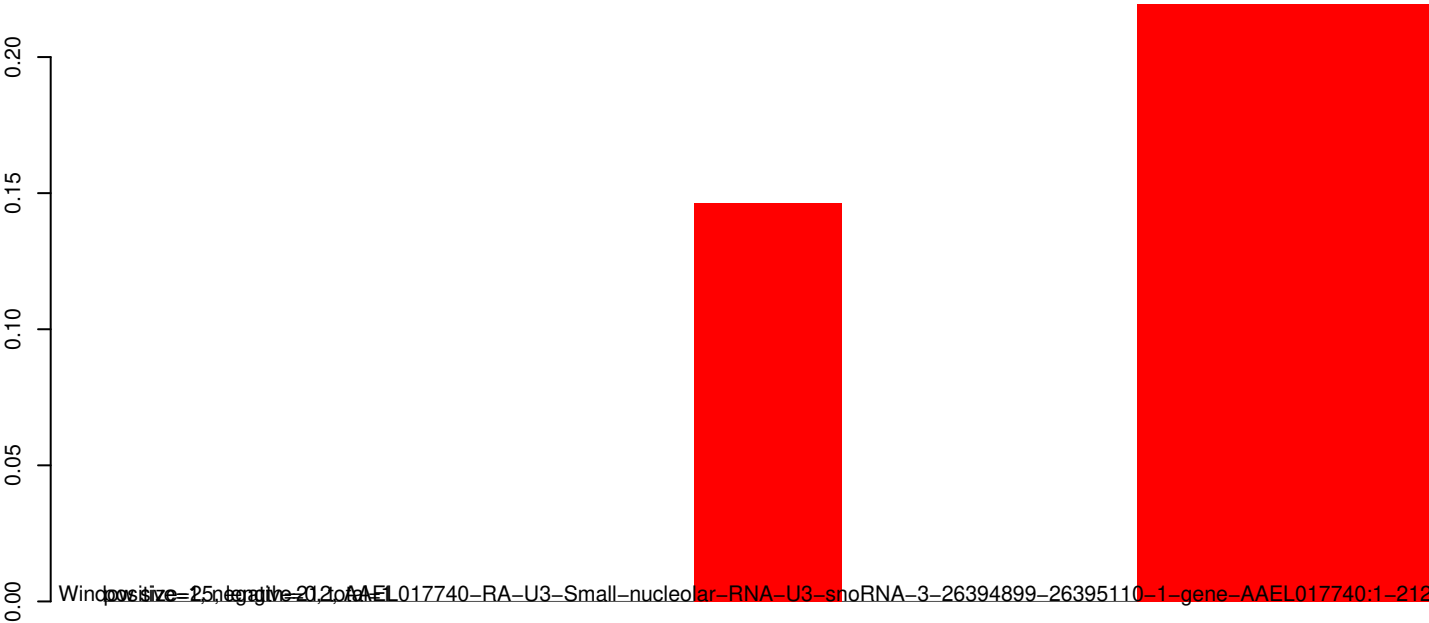
AeAeg_Aag2_Ago2_SINV_Beta_RA.18_23.rep



AeAeg_Aag2_Ago2_SINV_Beta_RA.24_35.rep



AeAeg_Aag2_Ago2_SINV_Beta_RA.rep



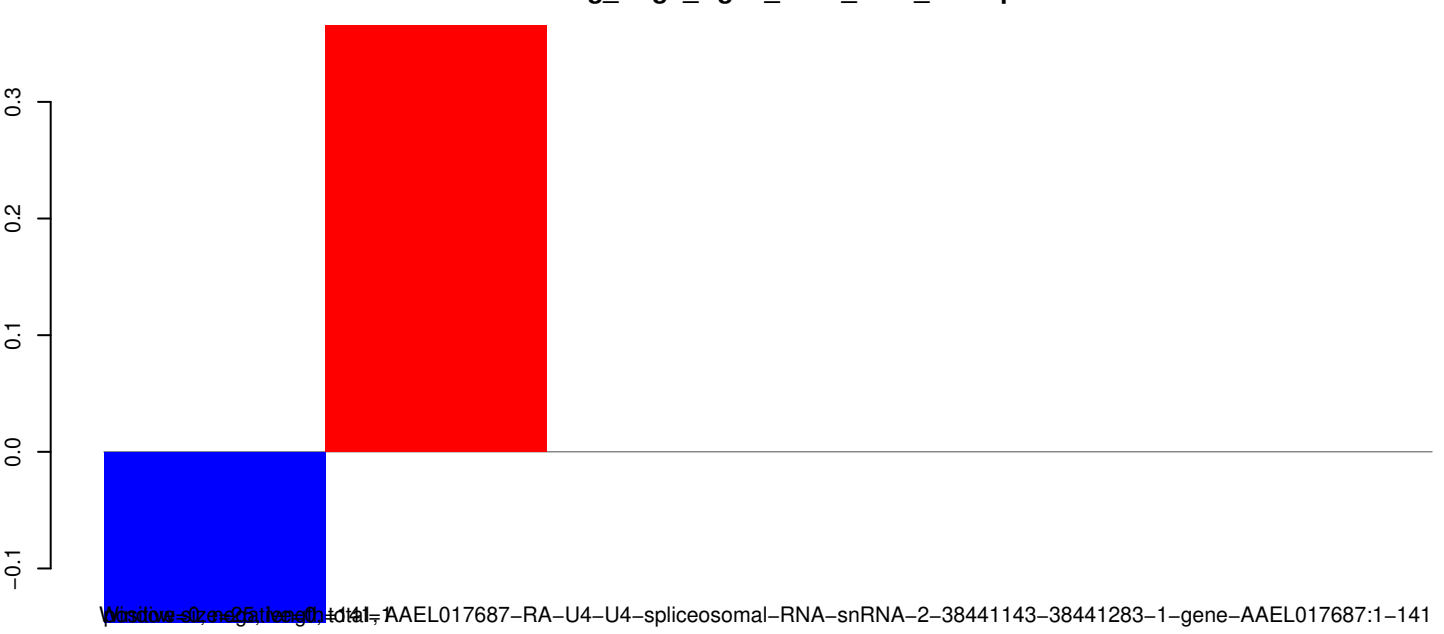
AeAeg_Aag2_Ago2_SINV_Beta_RA.18_23.rep



AeAeg_Aag2_Ago2_SINV_Beta_RA.24_35.rep



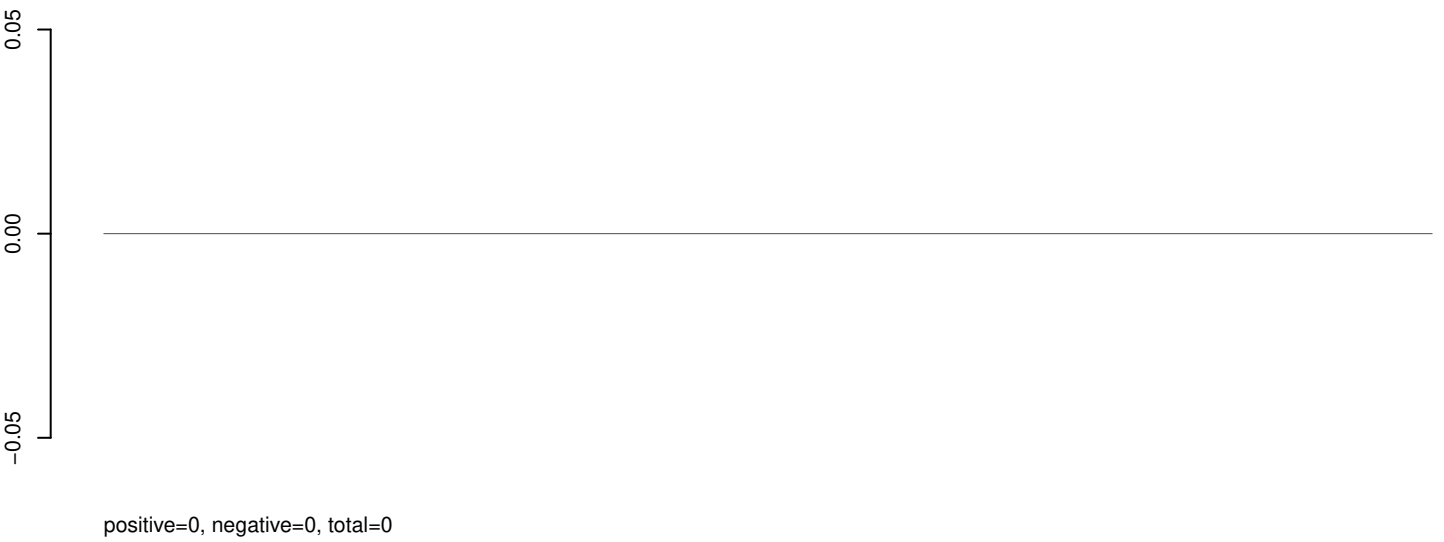
AeAeg_Aag2_Ago2_SINV_Beta_RA.rep



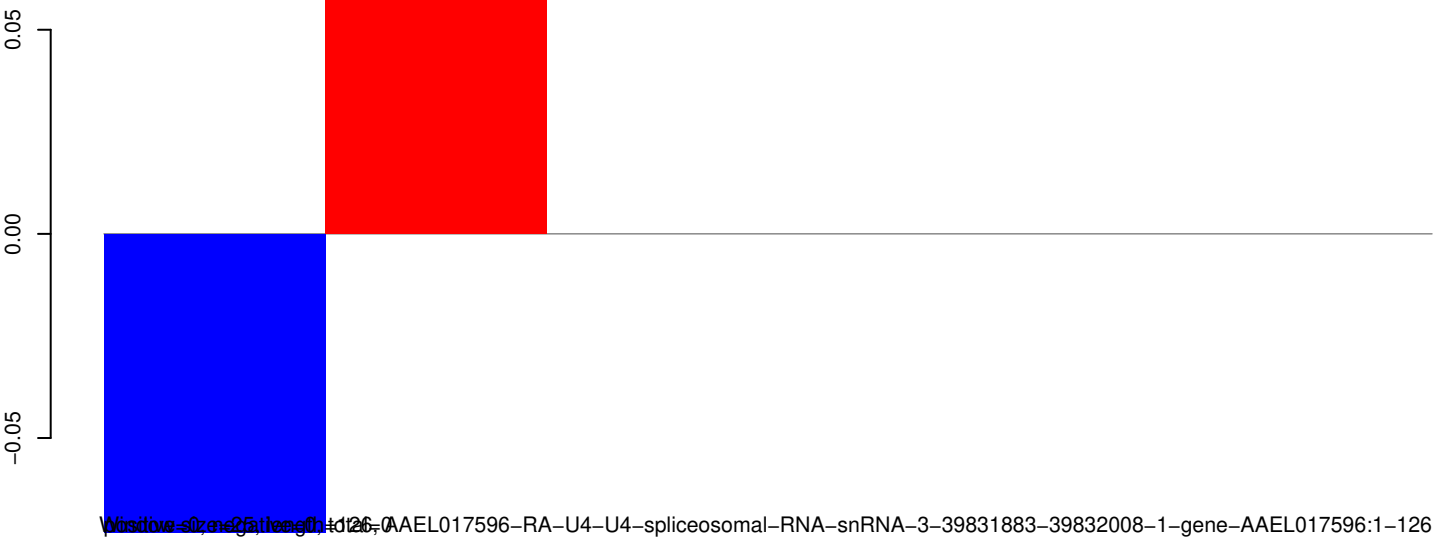
AeAeg_Aag2_Ago2_SINV_Beta_RA.18_23.rep



AeAeg_Aag2_Ago2_SINV_Beta_RA.24_35.rep



AeAeg_Aag2_Ago2_SINV_Beta_RA.rep



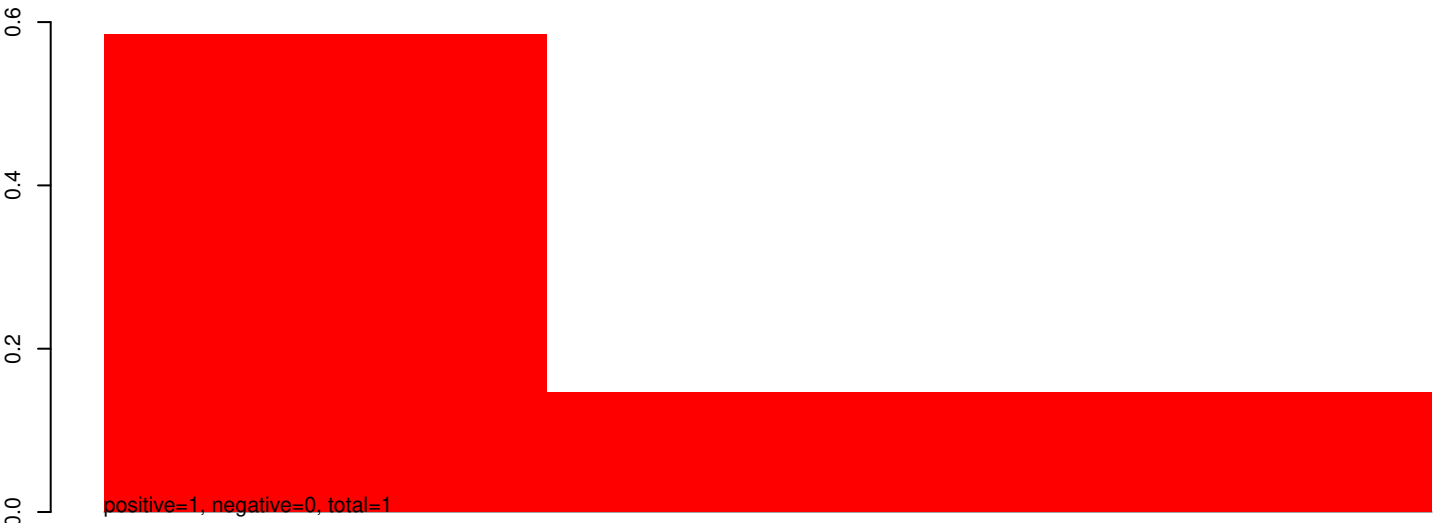
Window size=25, length=126, AAEL017596-RA-U4-U4-spliceosomal-RNA-snrRNA-3-39831883-39832008-1-gene-AAEL017596:1-126

50

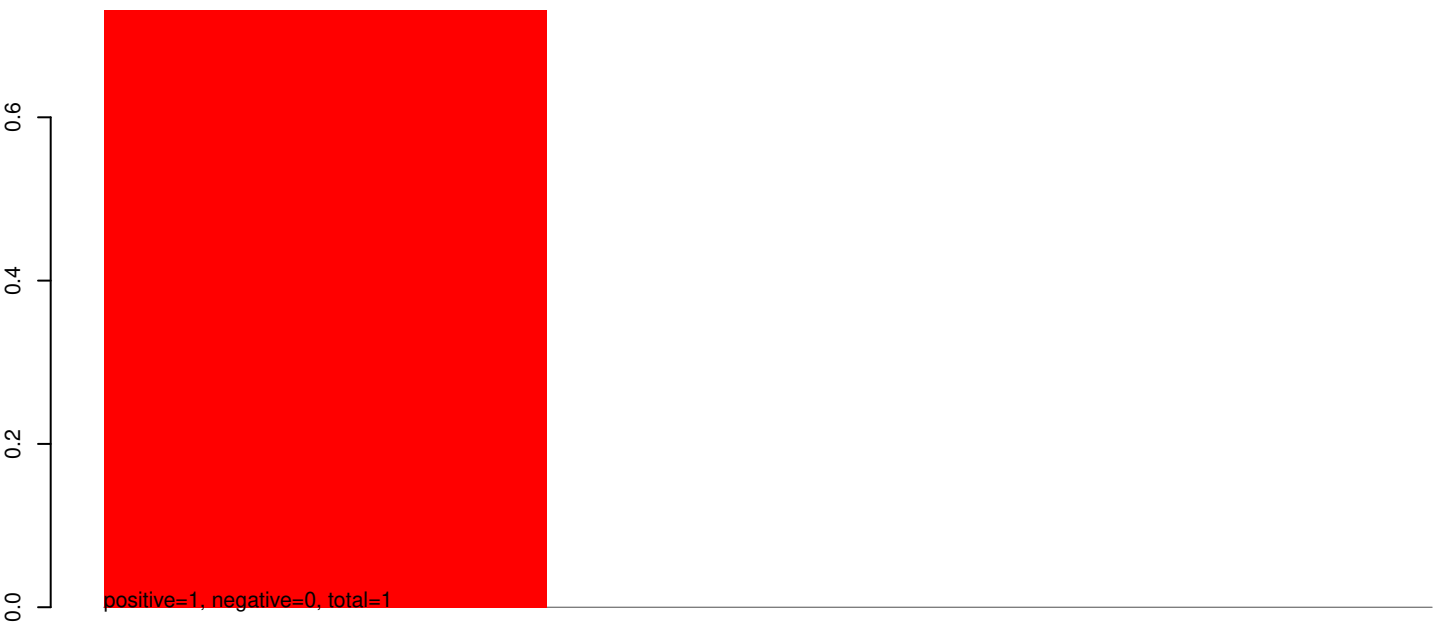
100

150

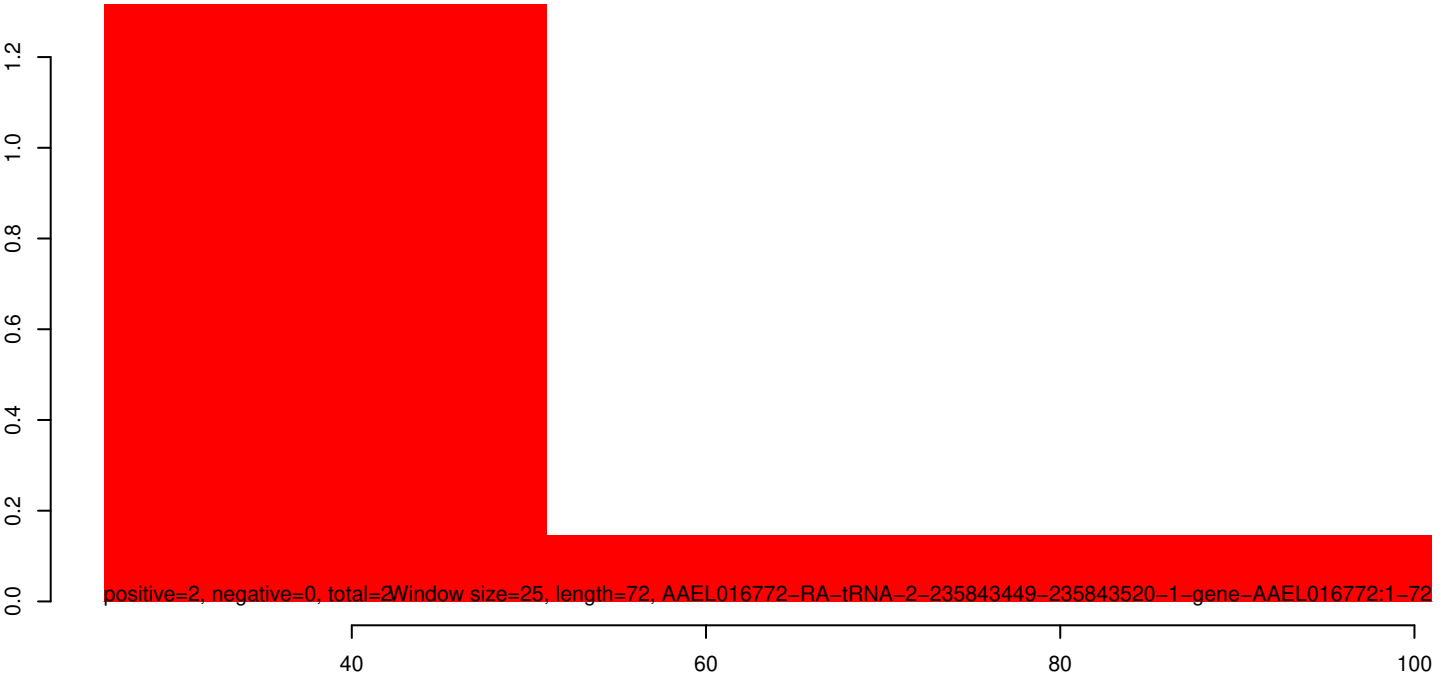
AeAeg_Aag2_Ago2_SINV_Beta_RA.18_23.rep



AeAeg_Aag2_Ago2_SINV_Beta_RA.24_35.rep



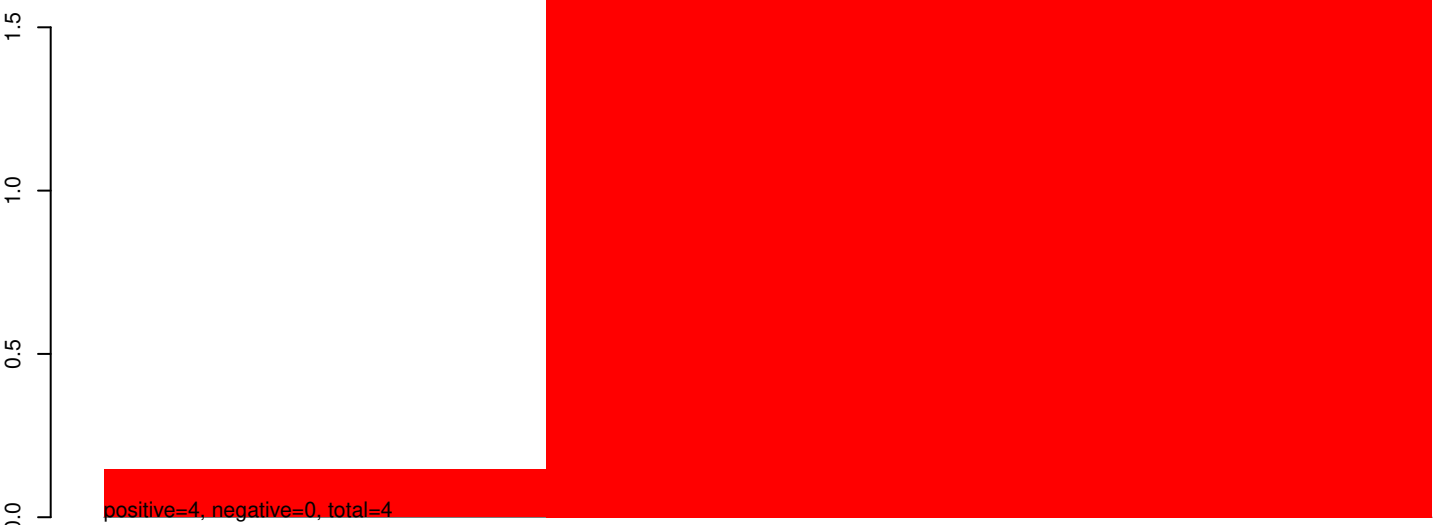
AeAeg_Aag2_Ago2_SINV_Beta_RA.rep



AeAeg_Aag2_Ago2_SINV_Beta_RA.18_23.rep



AeAeg_Aag2_Ago2_SINV_Beta_RA.24_35.rep

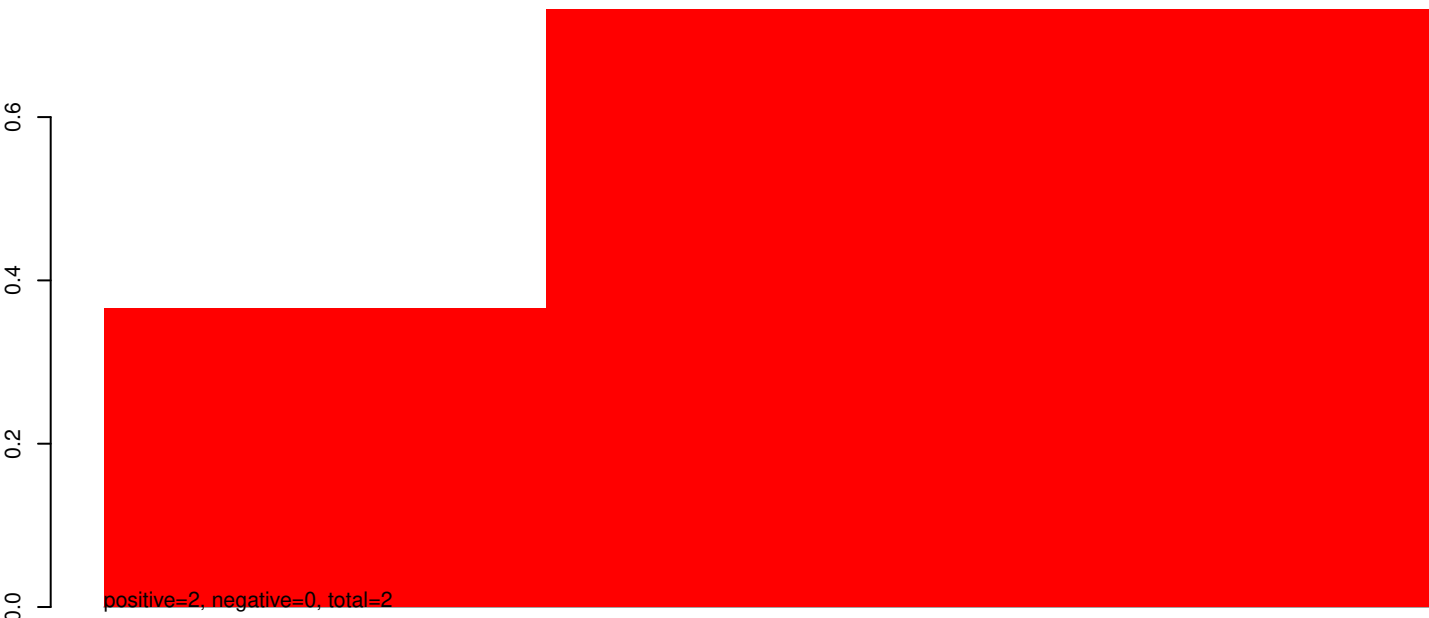


AeAeg_Aag2_Ago2_SINV_Beta_RA.rep

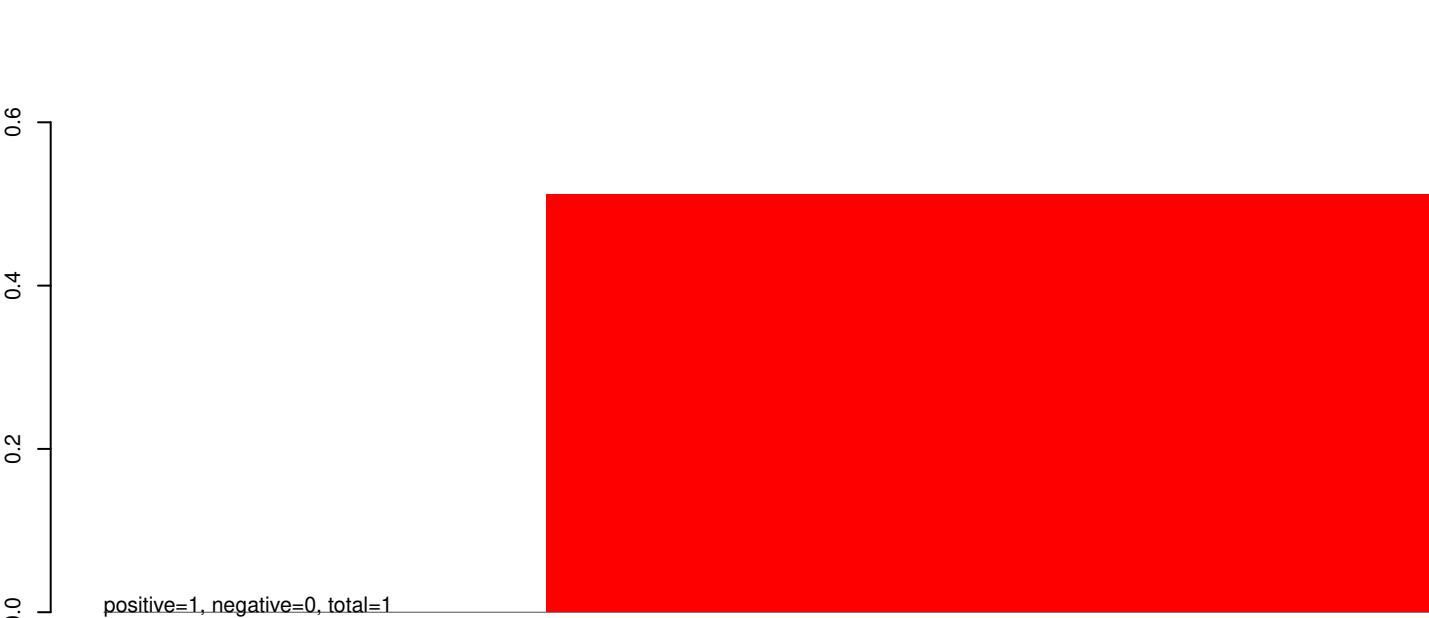


40 60 80 100

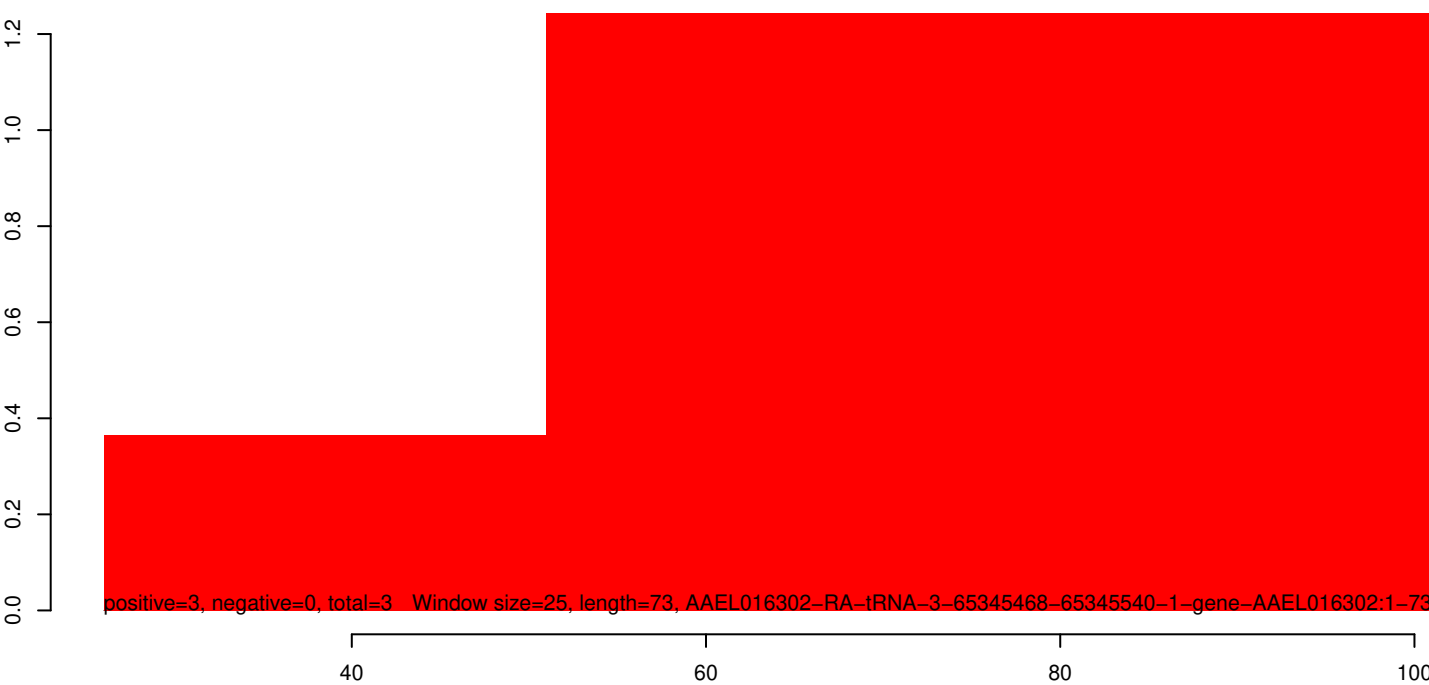
AeAeg_Aag2_Ago2_SINV_Beta_RA.18_23.rep



AeAeg_Aag2_Ago2_SINV_Beta_RA.24_35.rep



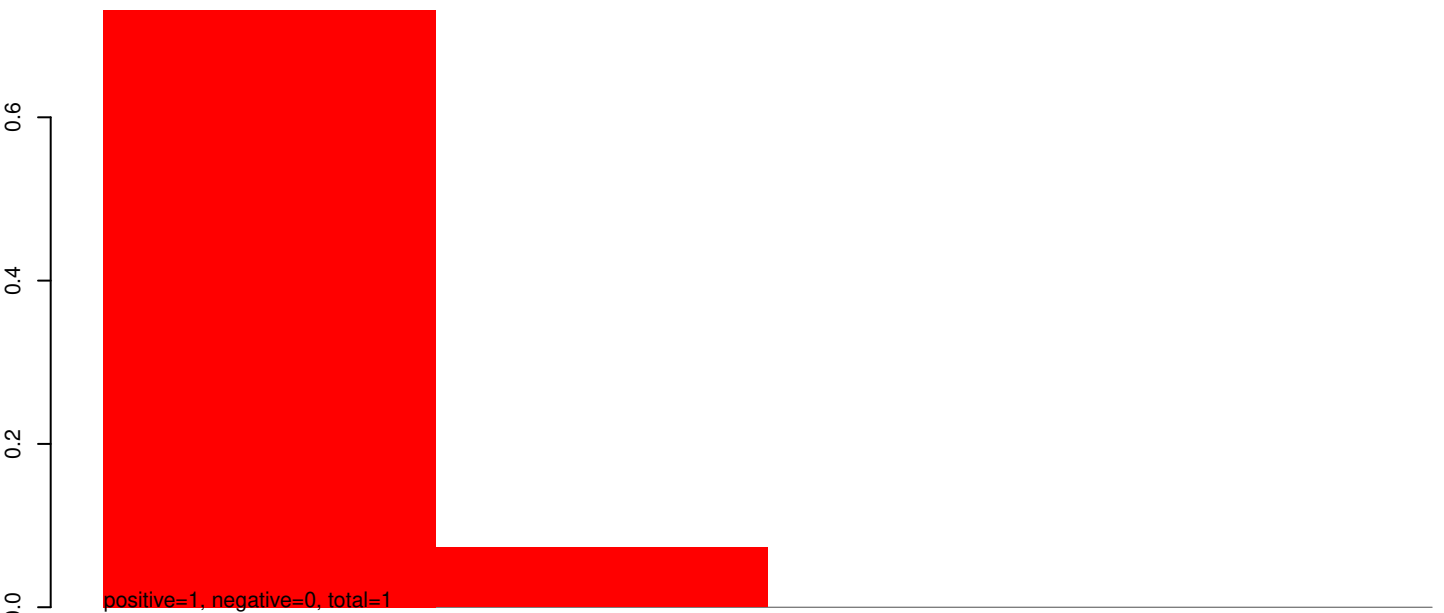
AeAeg_Aag2_Ago2_SINV_Beta_RA.rep



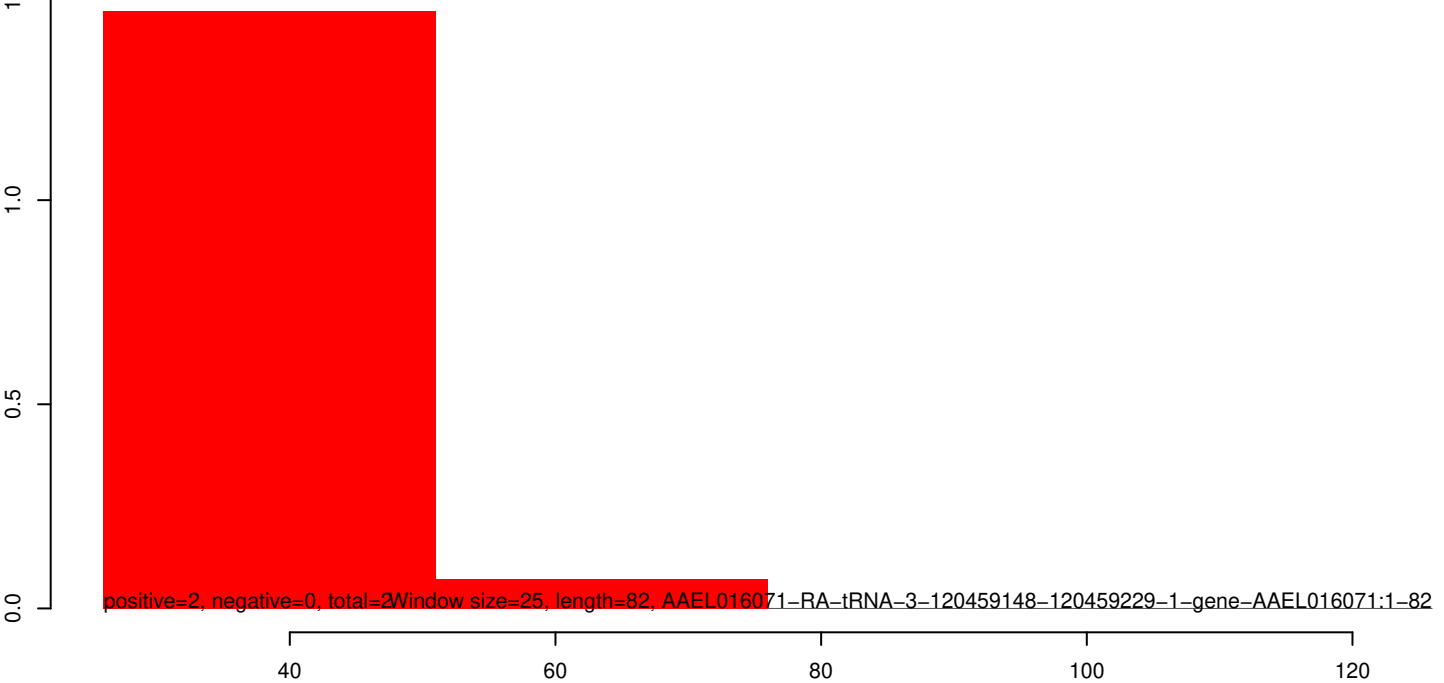
AeAeg_Aag2_Ago2_SINV_Beta_RA.18_23.rep



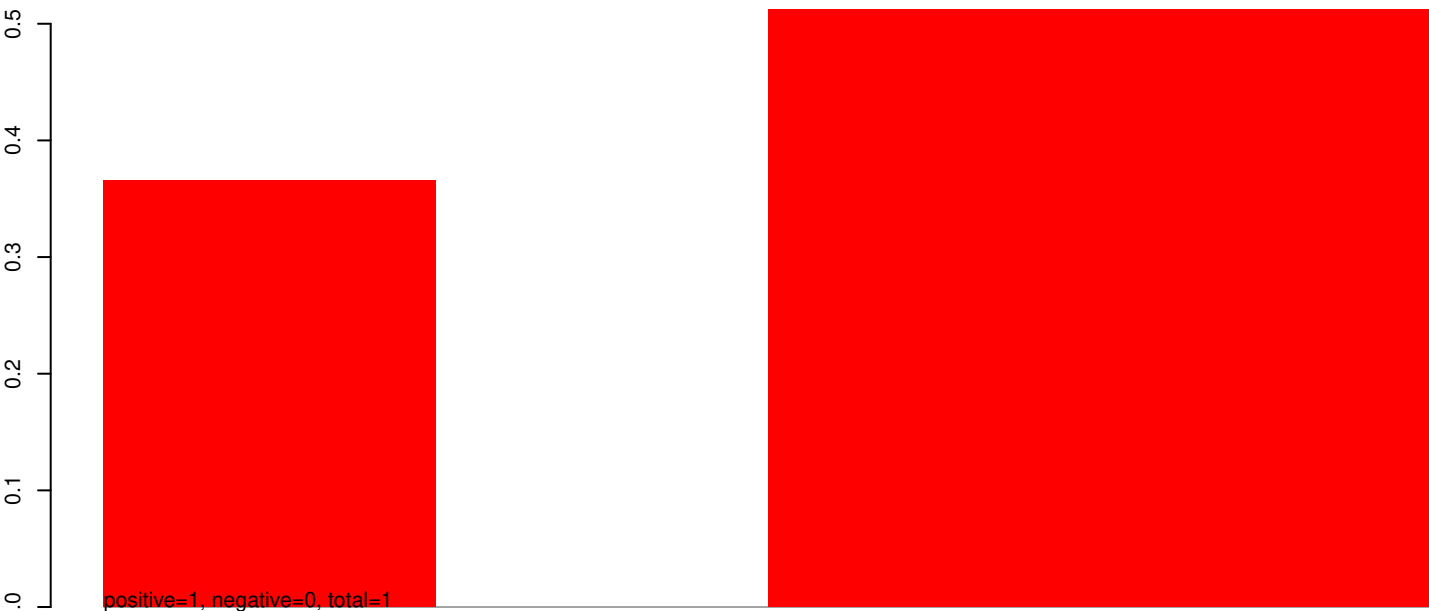
AeAeg_Aag2_Ago2_SINV_Beta_RA.24_35.rep



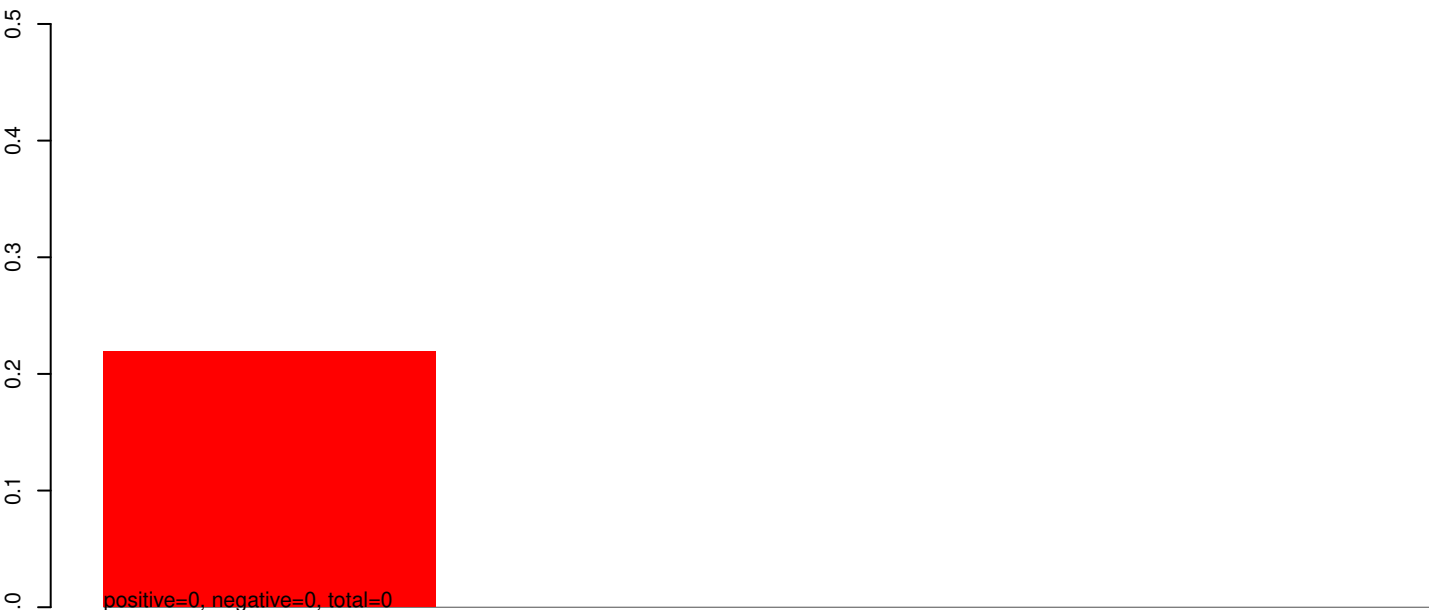
AeAeg_Aag2_Ago2_SINV_Beta_RA.rep



AeAeg_Aag2_Ago2_SINV_Beta_RA.18_23.rep



AeAeg_Aag2_Ago2_SINV_Beta_RA.24_35.rep

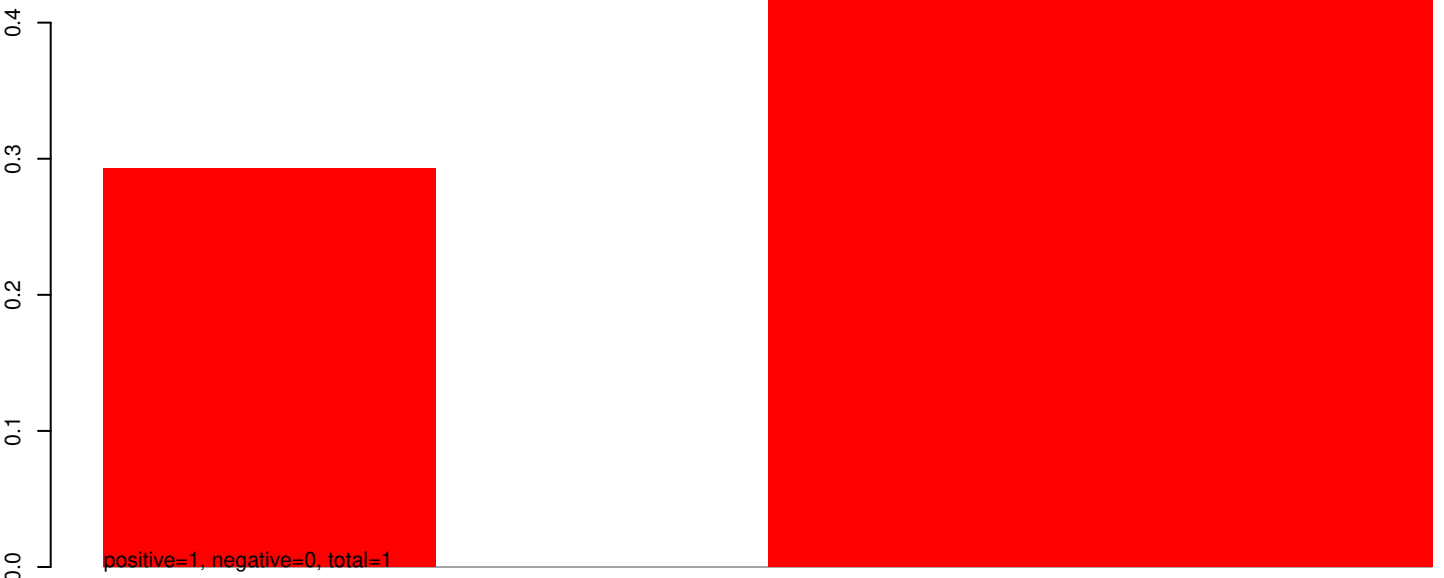


AeAeg_Aag2_Ago2_SINV_Beta_RA.rep

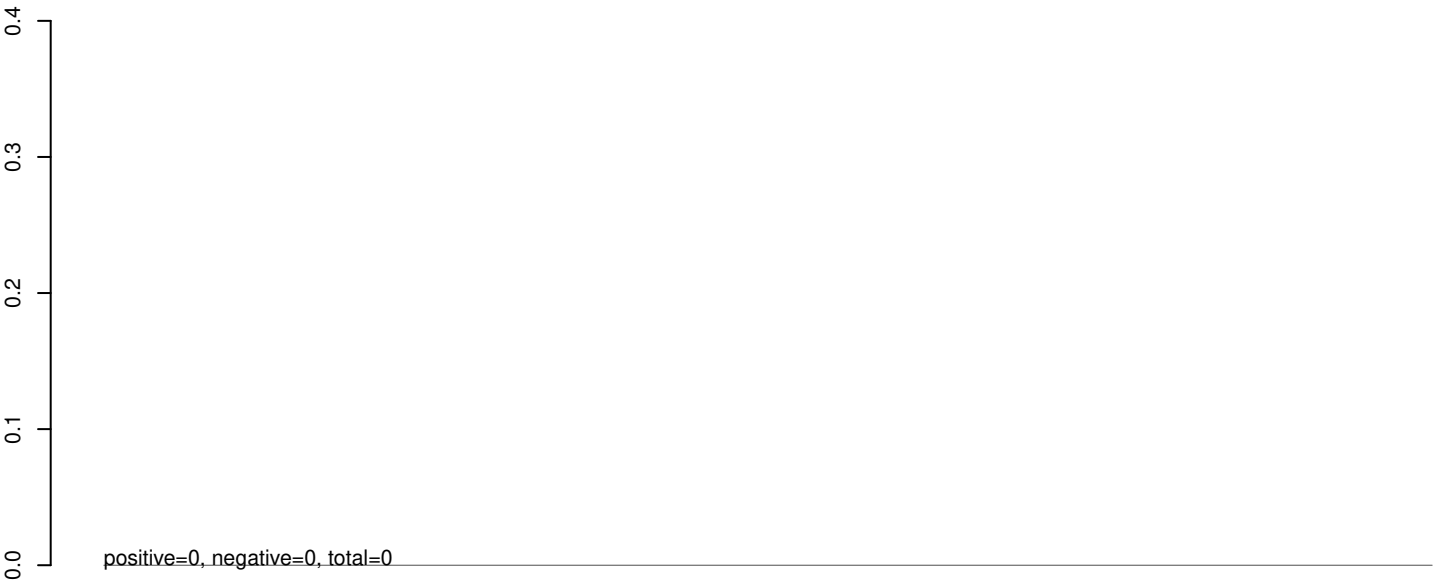


Window size=25, length=82, AAEL016067-RA-tRNA-3-243709960-243710041-1-gene-AAEL016067:1-82

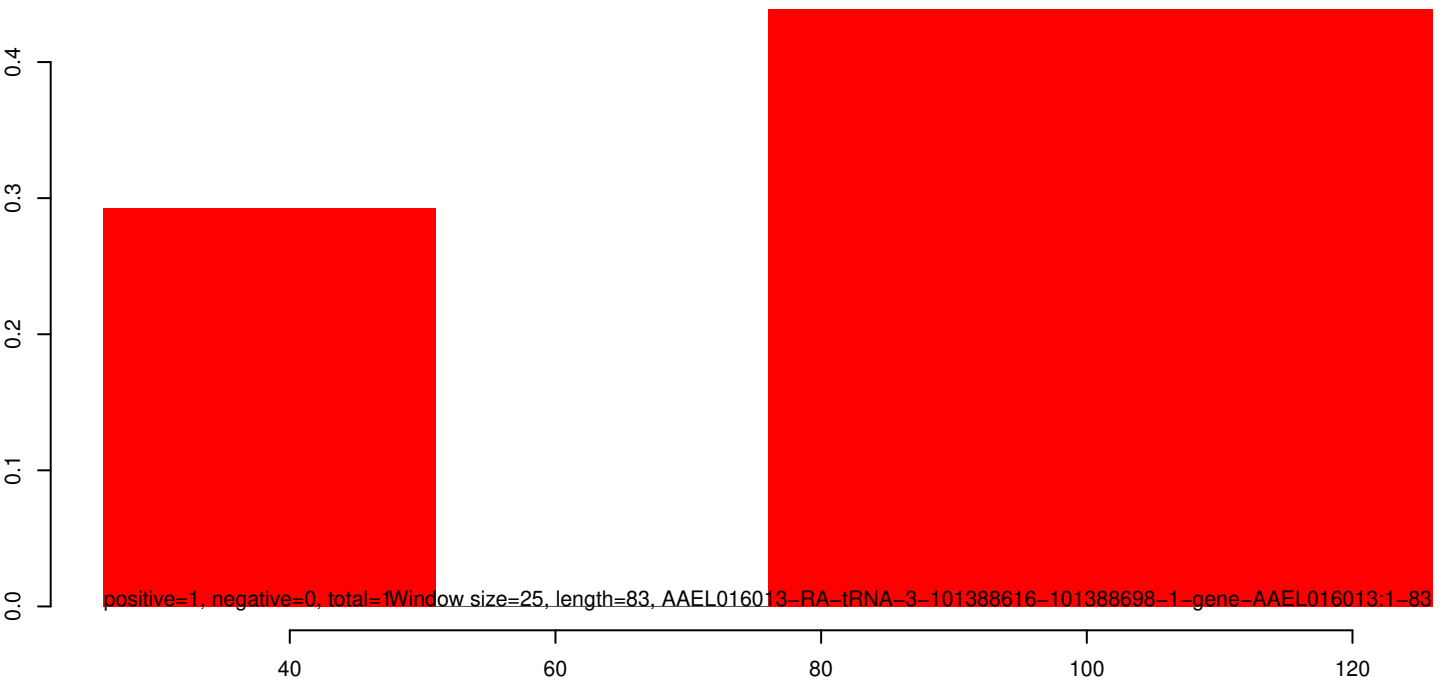
AeAeg_Aag2_Ago2_SINV_Beta_RA.18_23.rep



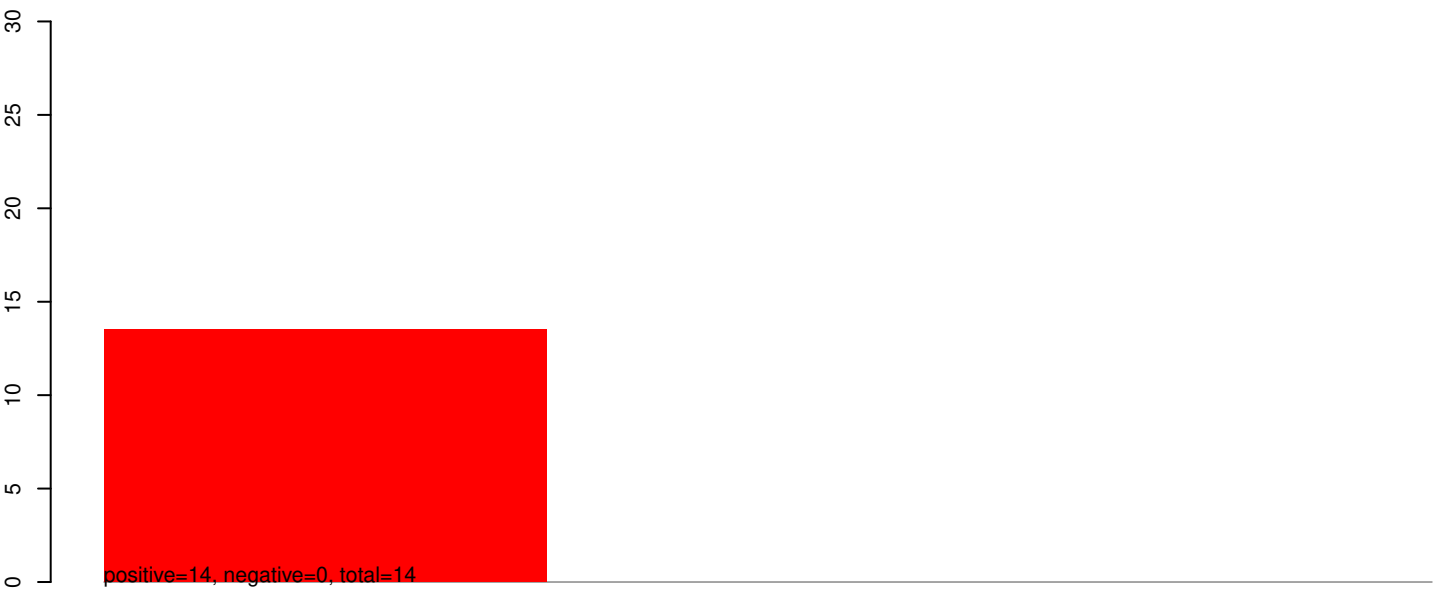
AeAeg_Aag2_Ago2_SINV_Beta_RA.24_35.rep



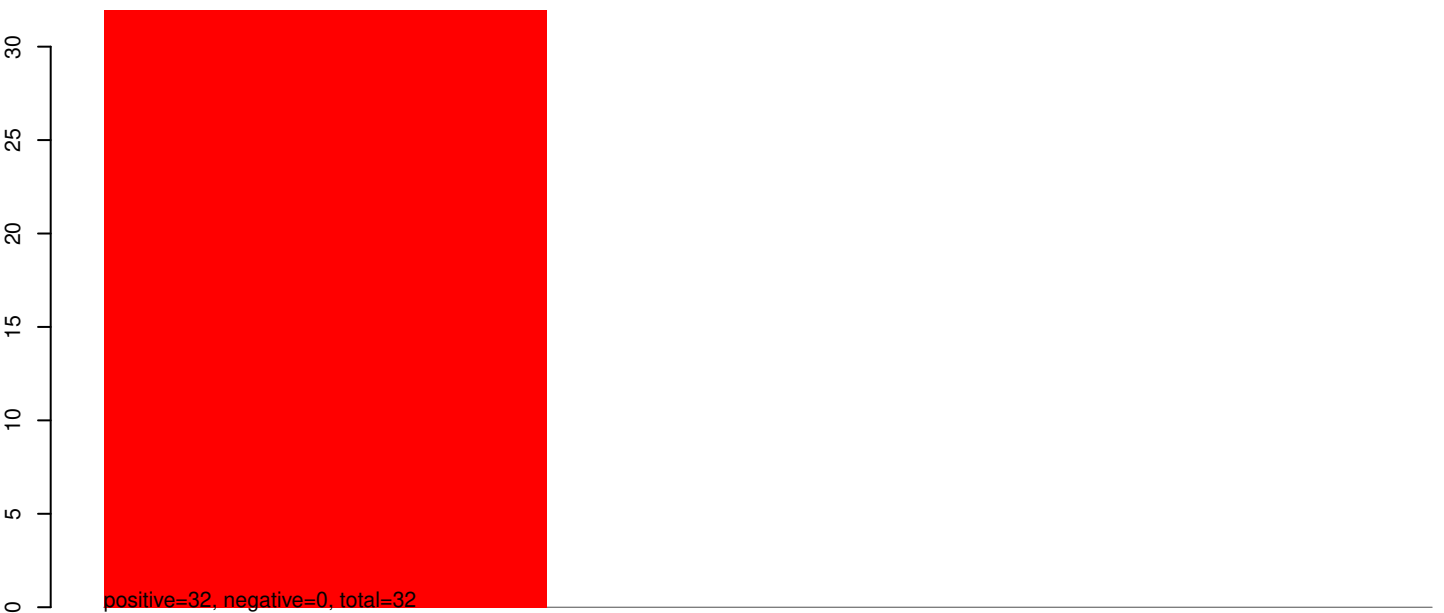
AeAeg_Aag2_Ago2_SINV_Beta_RA.rep



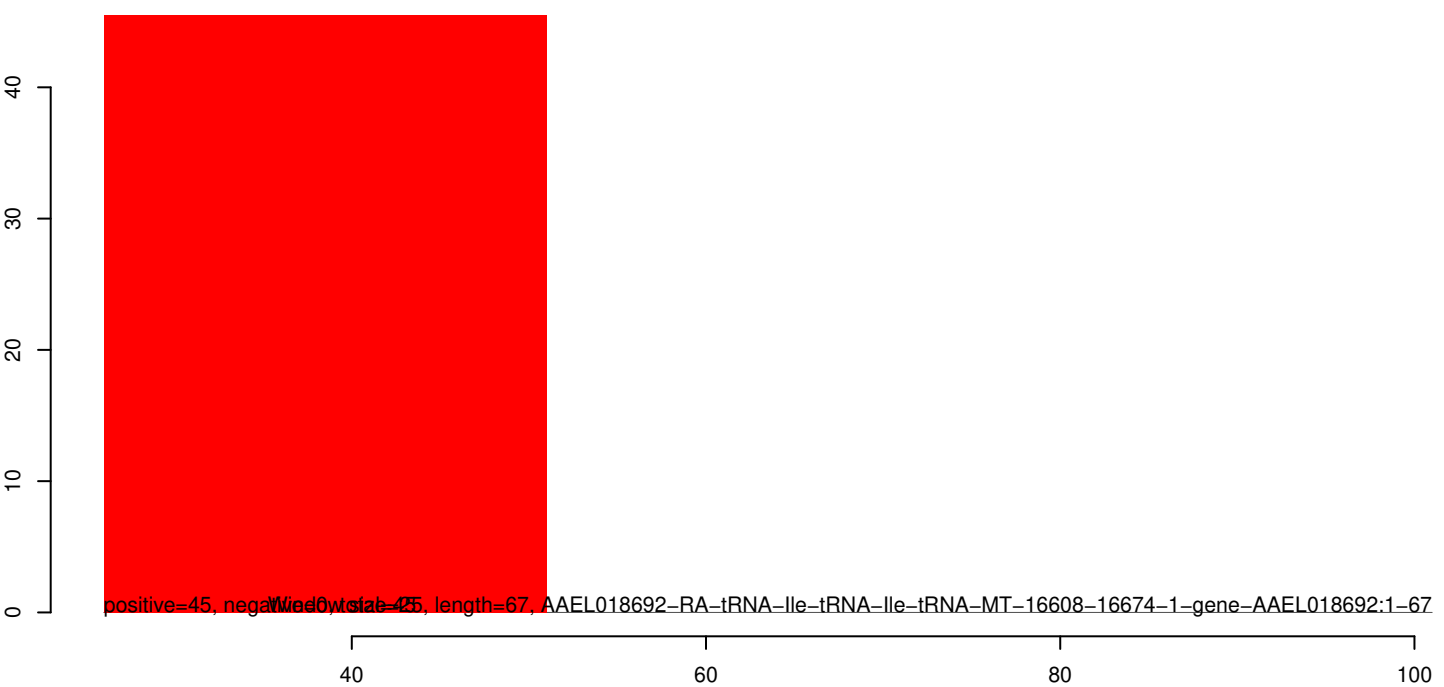
AeAeg_Aag2_Ago2_SINV_Beta_RA.18_23.rep



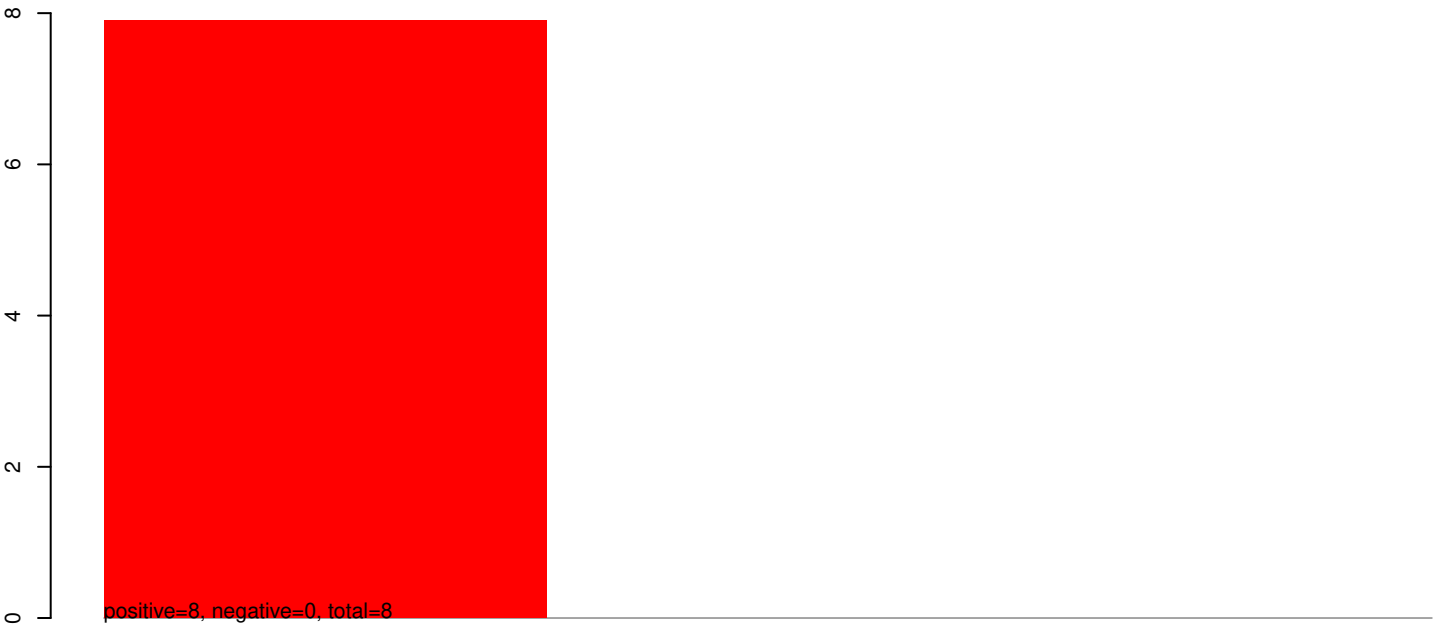
AeAeg_Aag2_Ago2_SINV_Beta_RA.24_35.rep



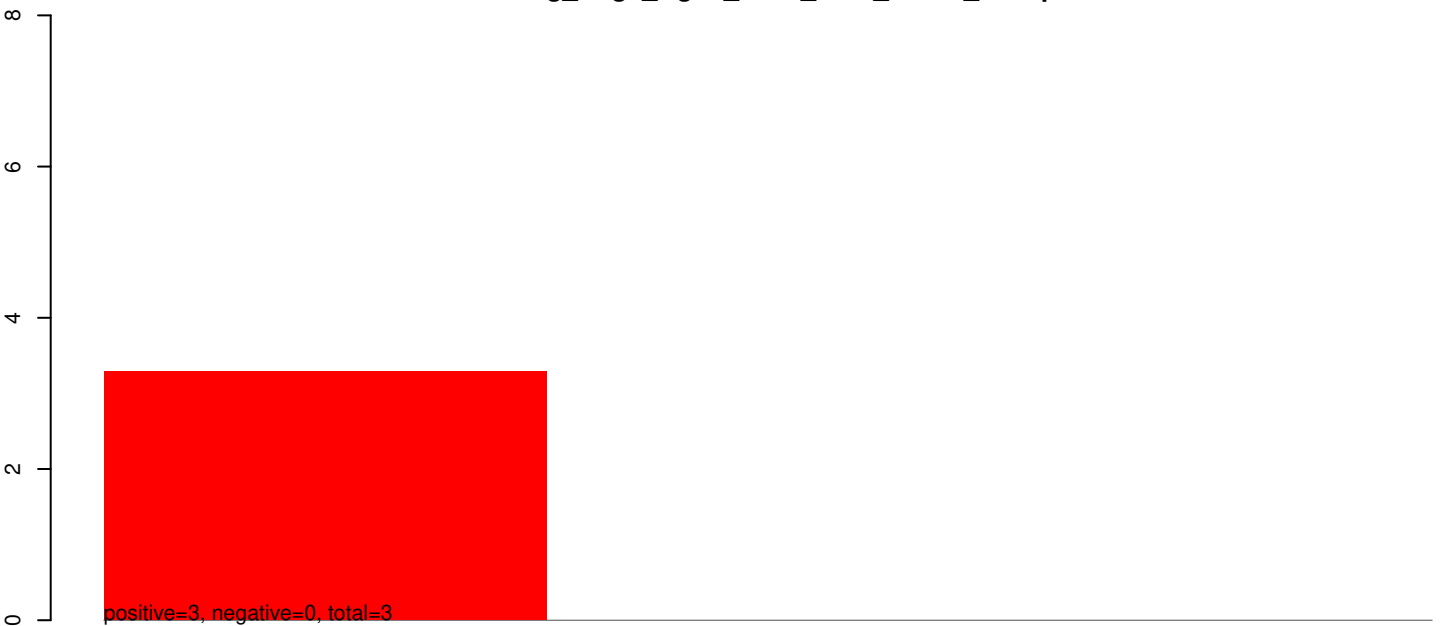
AeAeg_Aag2_Ago2_SINV_Beta_RA.rep



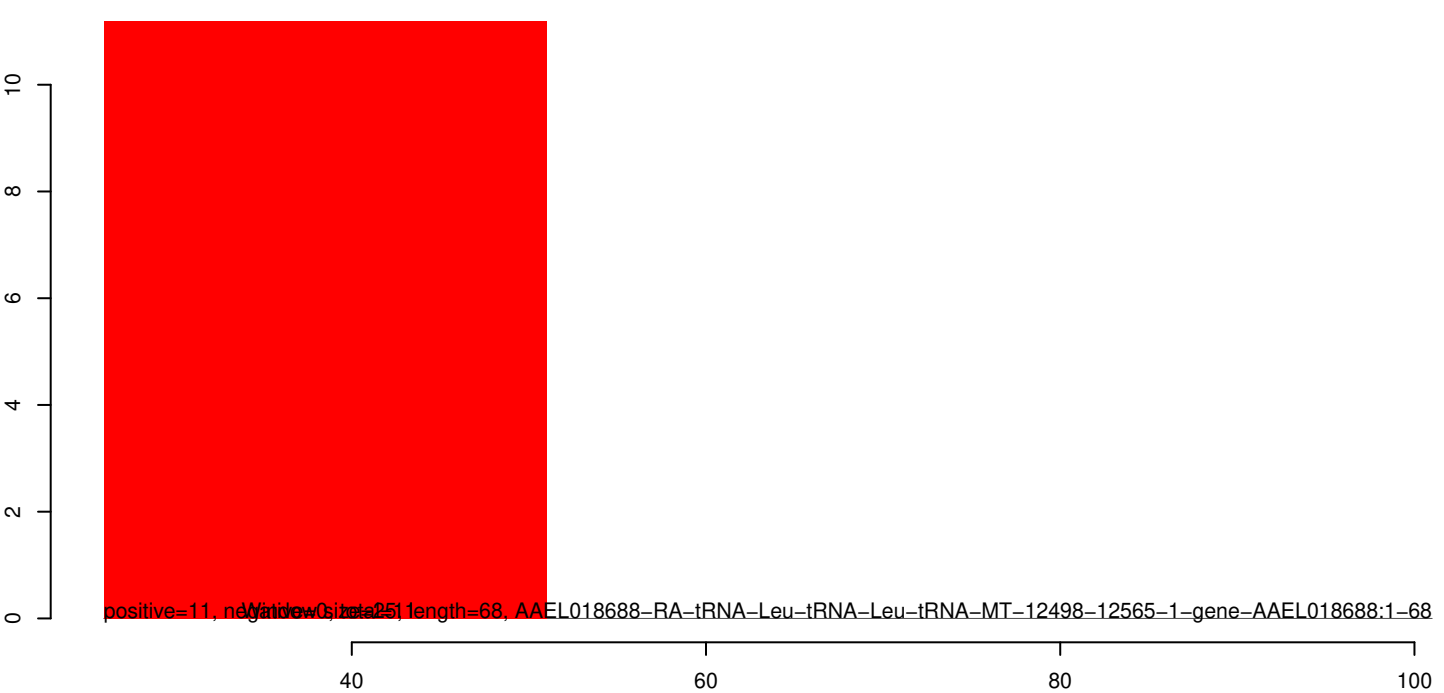
AeAeg_Aag2_Ago2_SINV_Beta_RA.18_23.rep



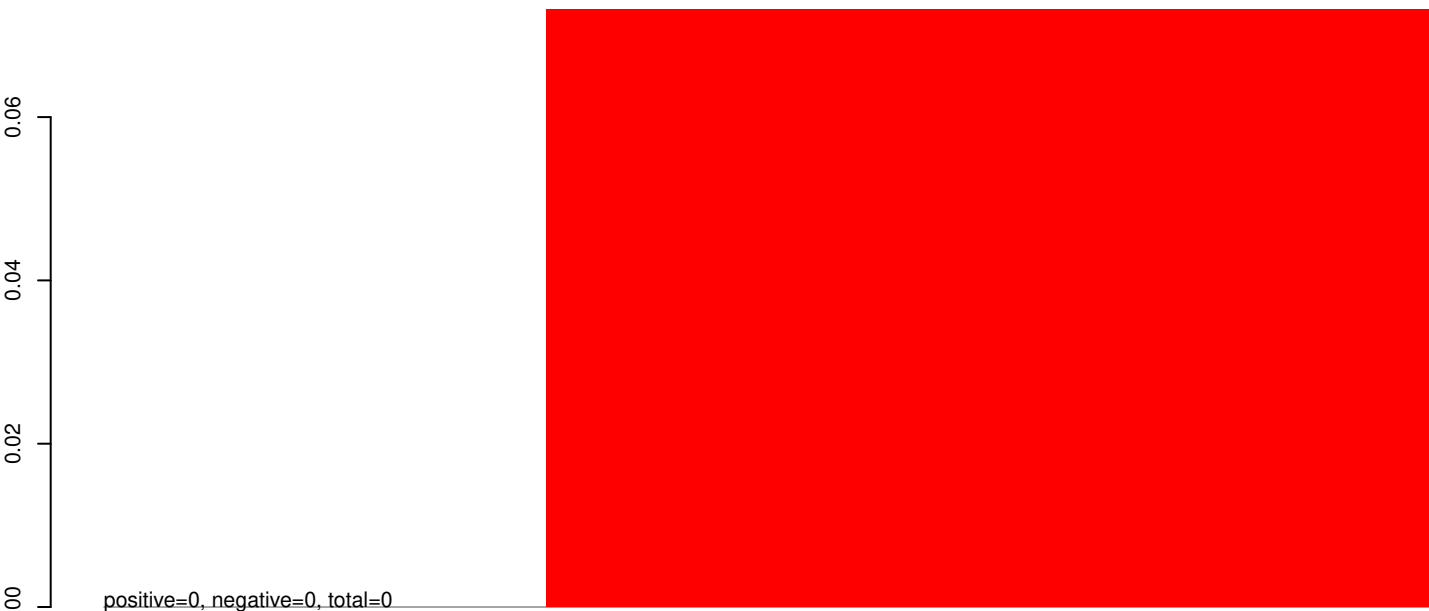
AeAeg_Aag2_Ago2_SINV_Beta_RA.24_35.rep



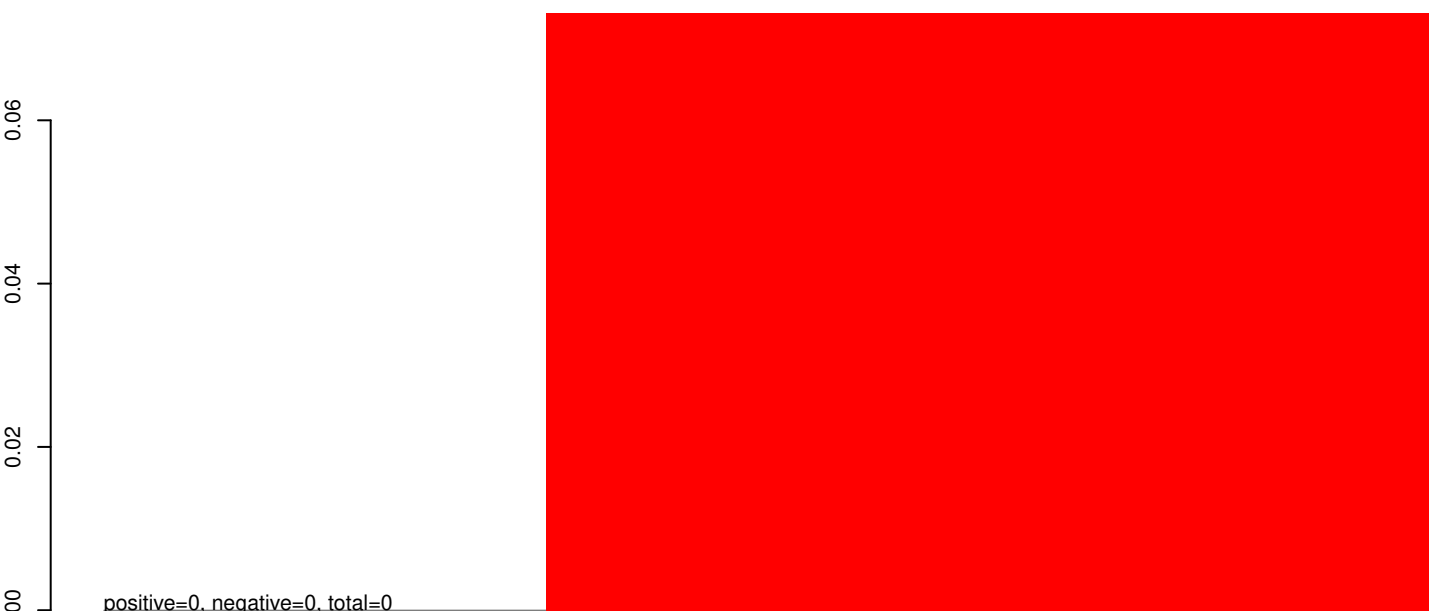
AeAeg_Aag2_Ago2_SINV_Beta_RA.rep



AeAeg_Aag2_Ago2_SINV_Beta_RA.18_23.rep



AeAeg_Aag2_Ago2_SINV_Beta_RA.24_35.rep



AeAeg_Aag2_Ago2_SINV_Beta_RA.rep



Window size=25, length=67, AAEL018677-RA-tRNA-Phe-tRNA-Phe-tRNA-MT-6139-6205-1-gene-AAEL018677:1-67

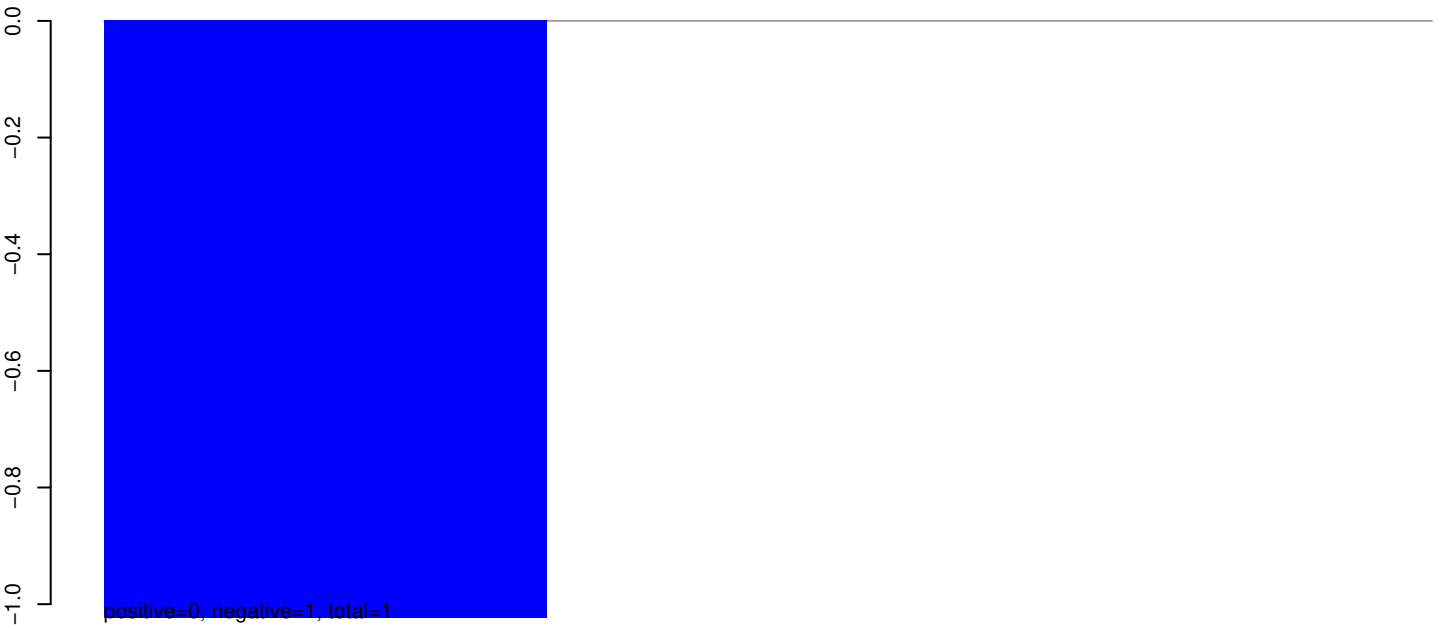
40

60

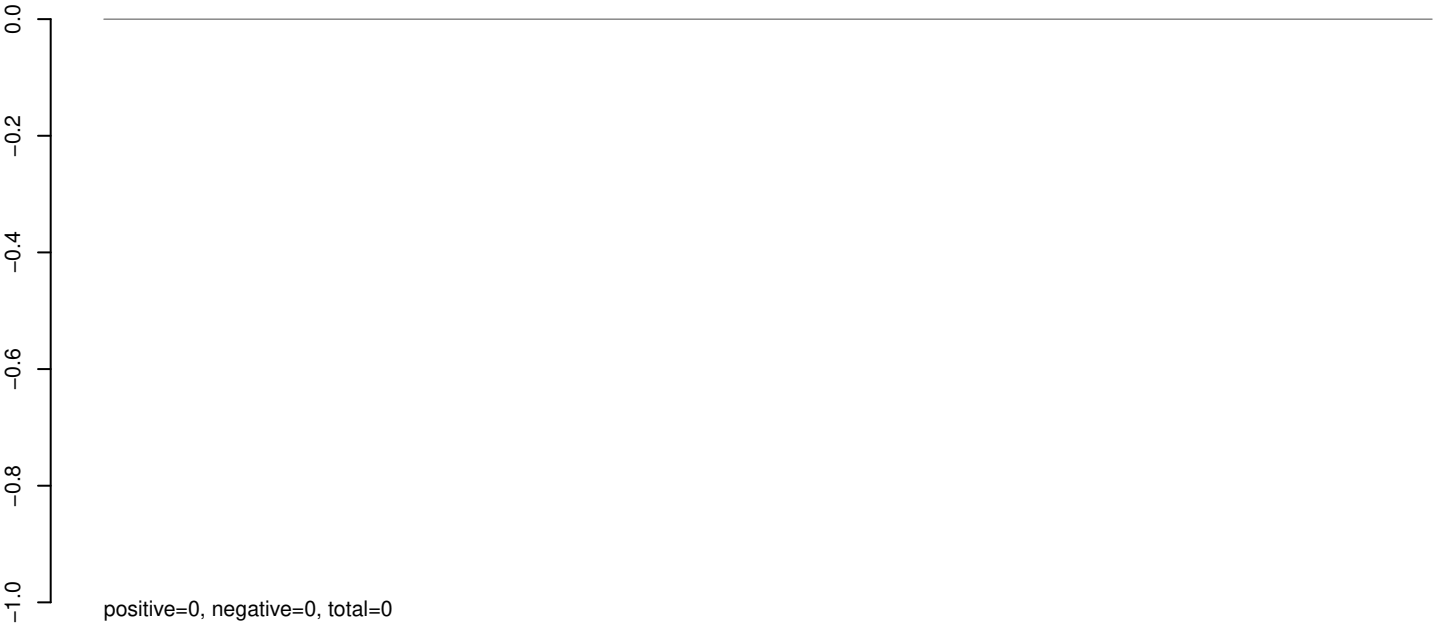
80

100

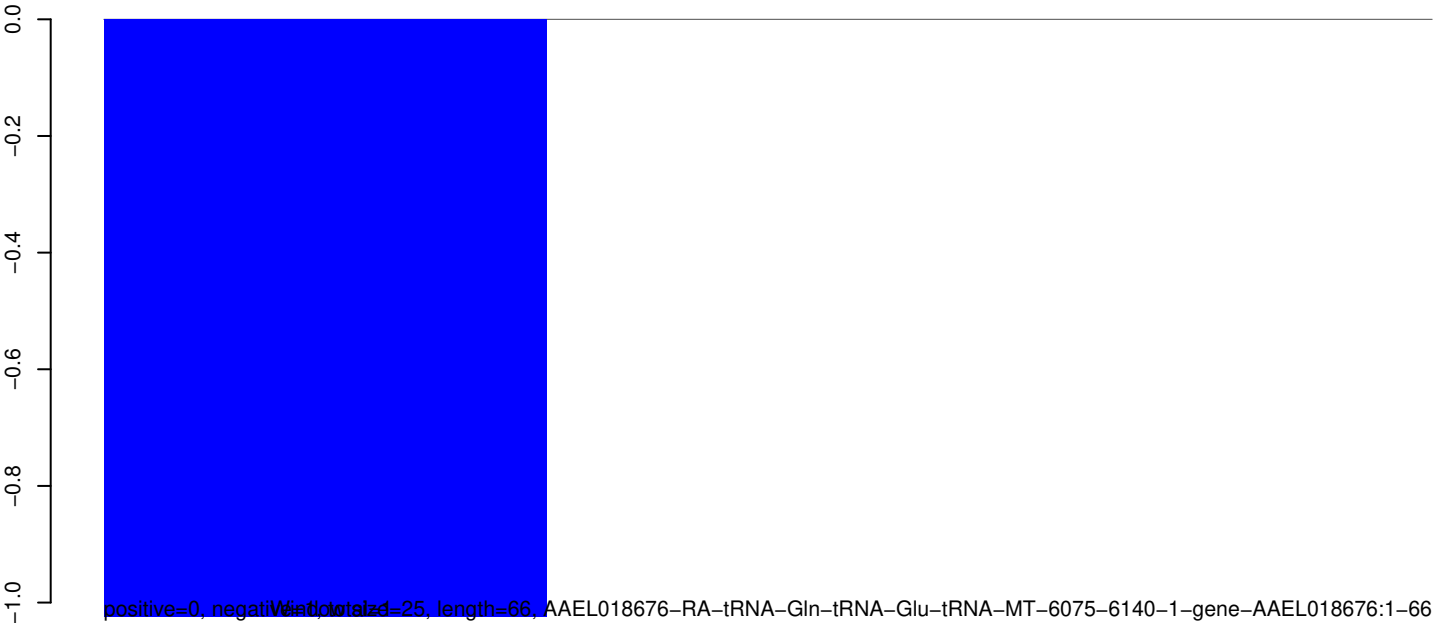
AeAeg_Aag2_Ago2_SINV_Beta_RA.18_23.rep

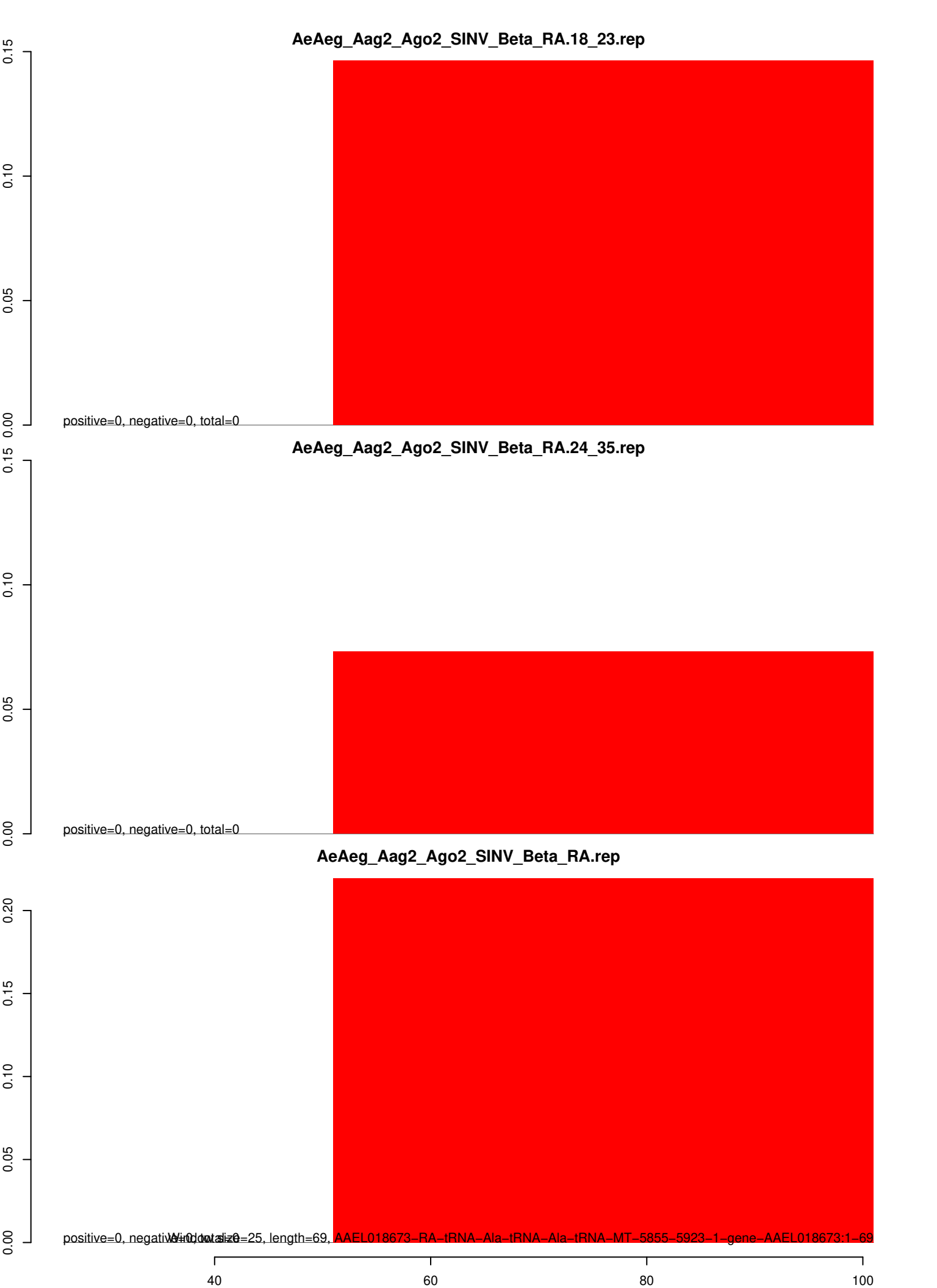


AeAeg_Aag2_Ago2_SINV_Beta_RA.24_35.rep

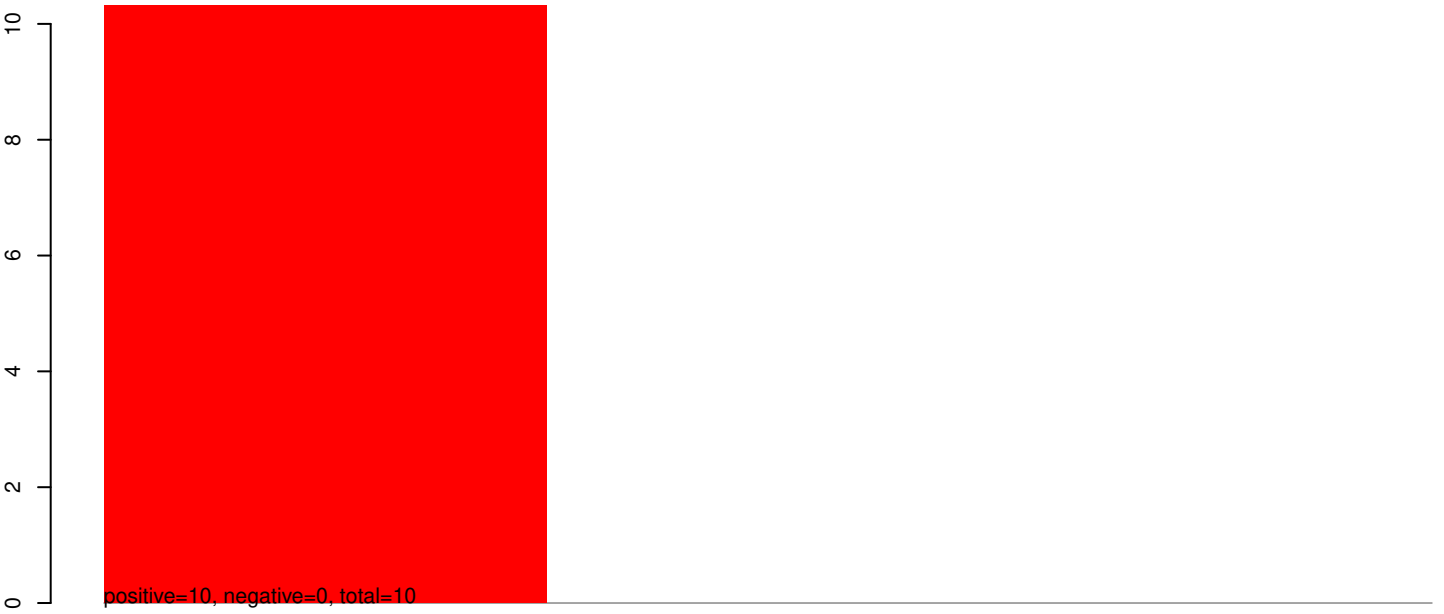


AeAeg_Aag2_Ago2_SINV_Beta_RA.rep

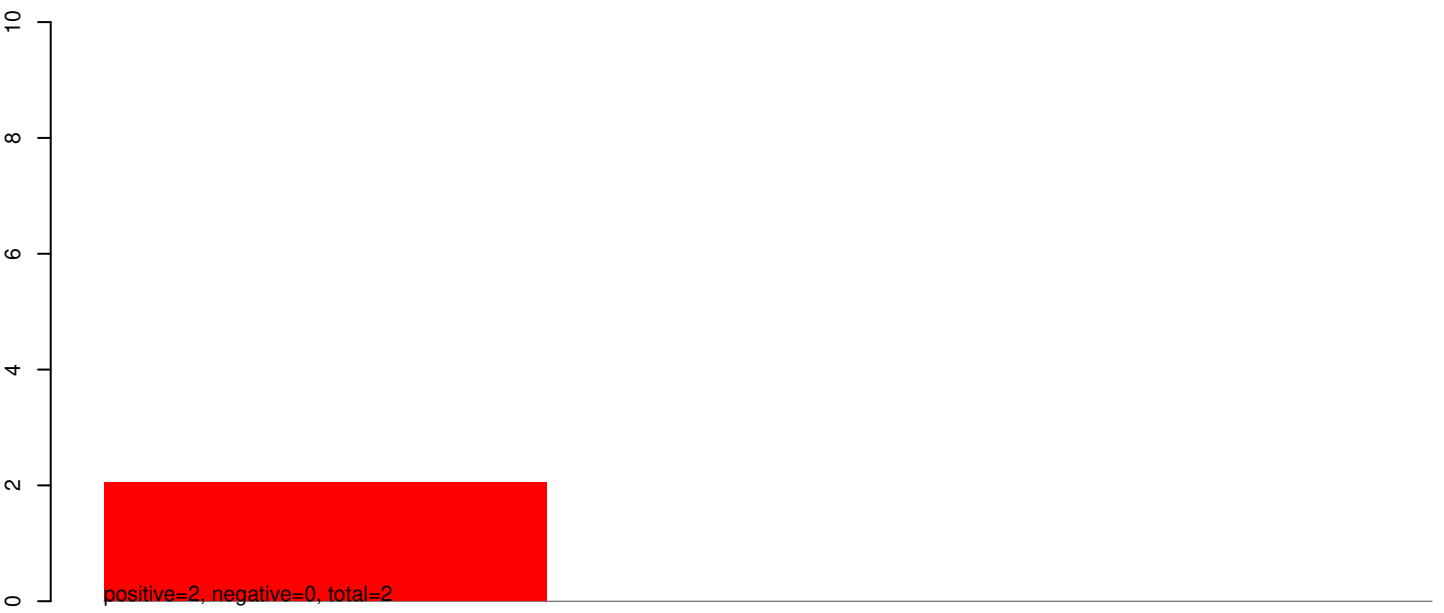




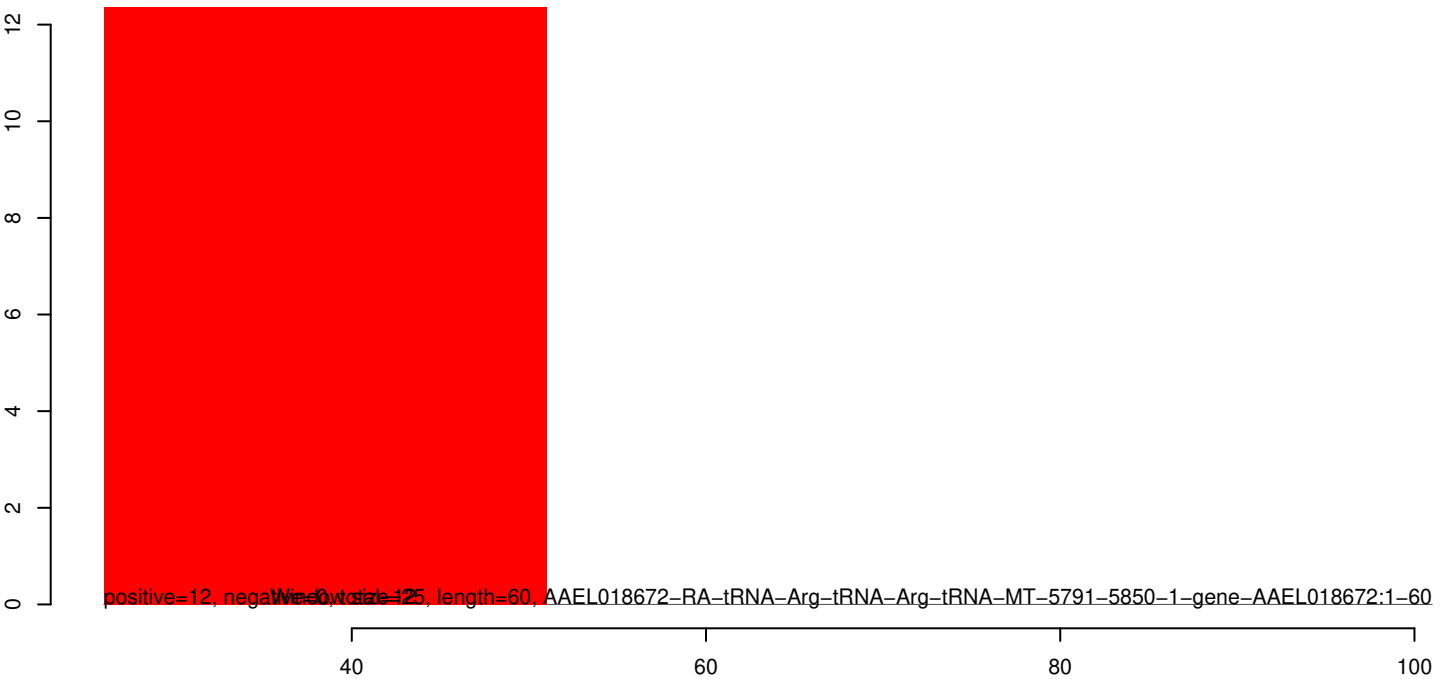
AeAeg_Aag2_Ago2_SINV_Beta_RA.18_23.rep



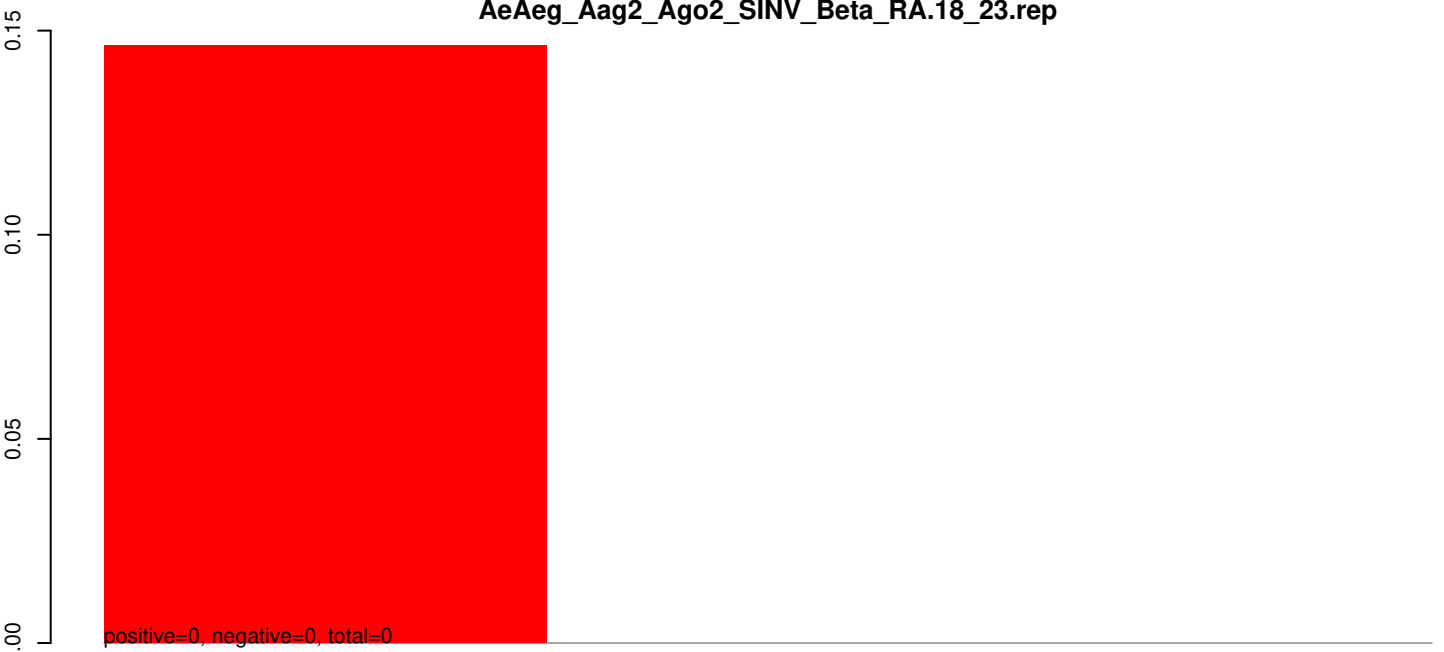
AeAeg_Aag2_Ago2_SINV_Beta_RA.24_35.rep



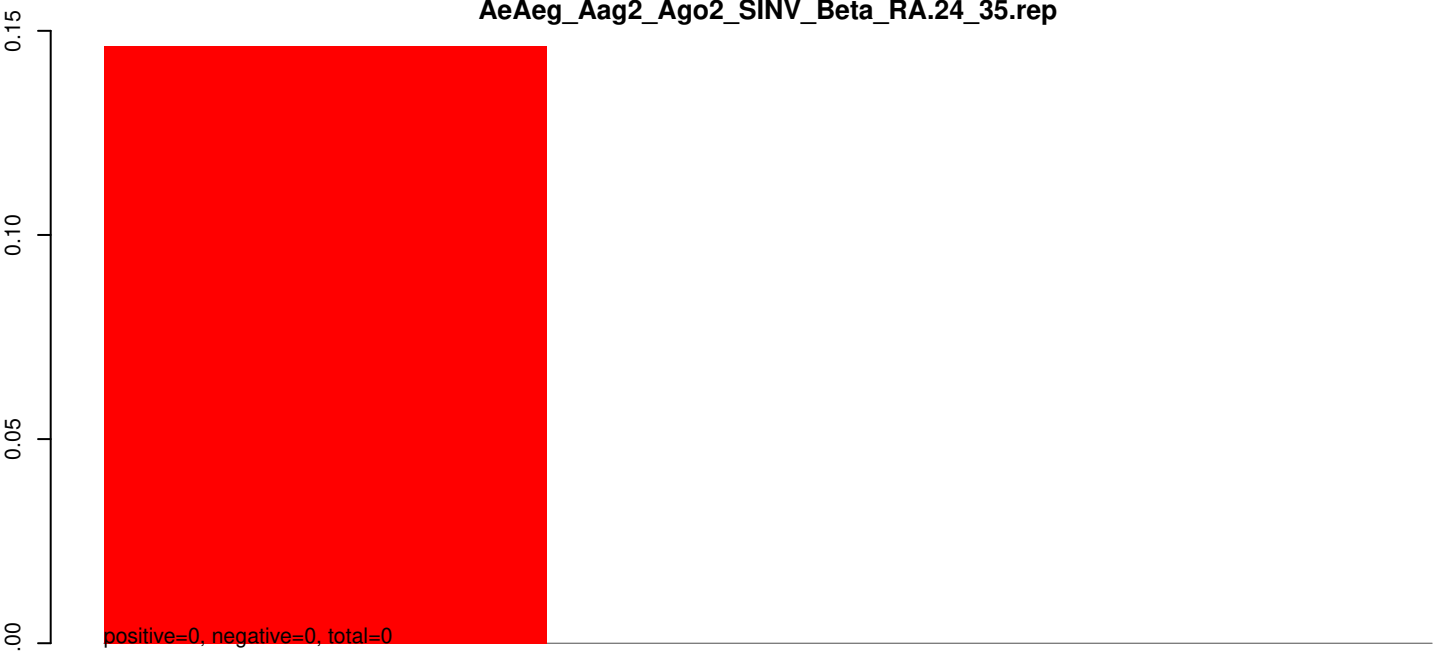
AeAeg_Aag2_Ago2_SINV_Beta_RA.rep



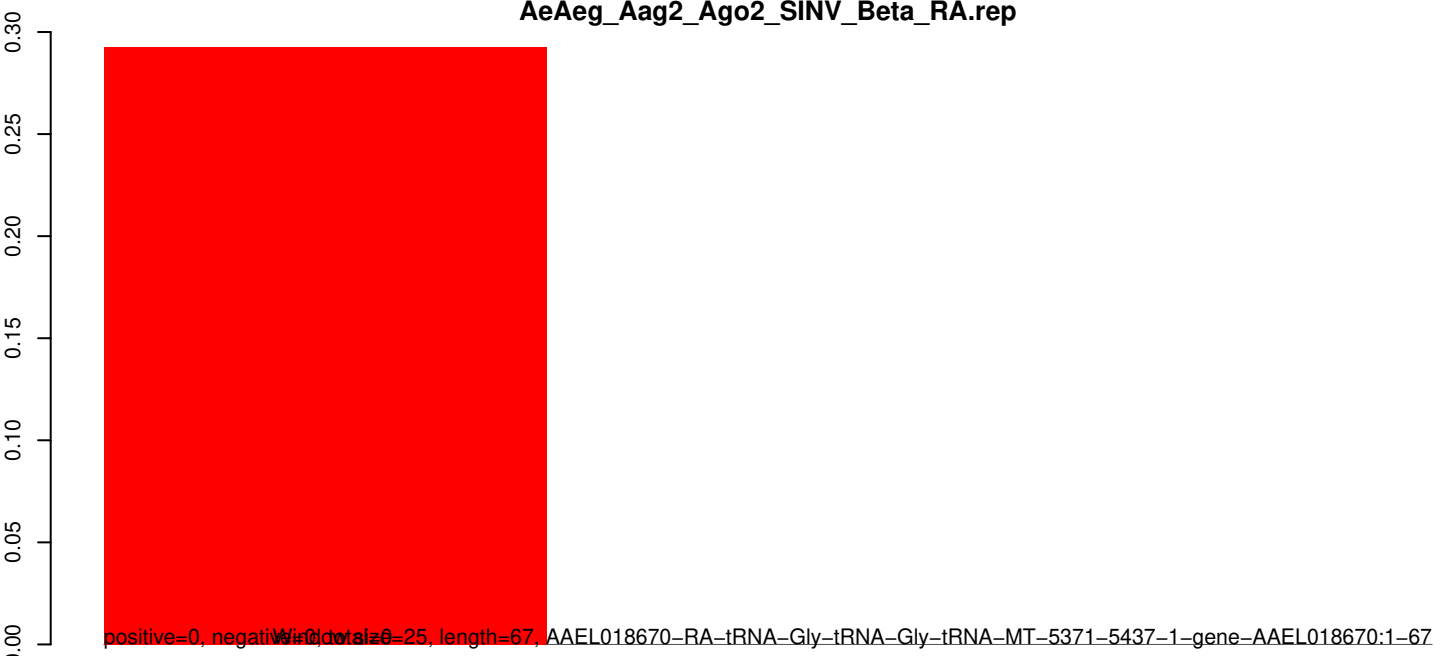
AeAeg_Aag2_Ago2_SINV_Beta_RA.18_23.rep



AeAeg_Aag2_Ago2_SINV_Beta_RA.24_35.rep

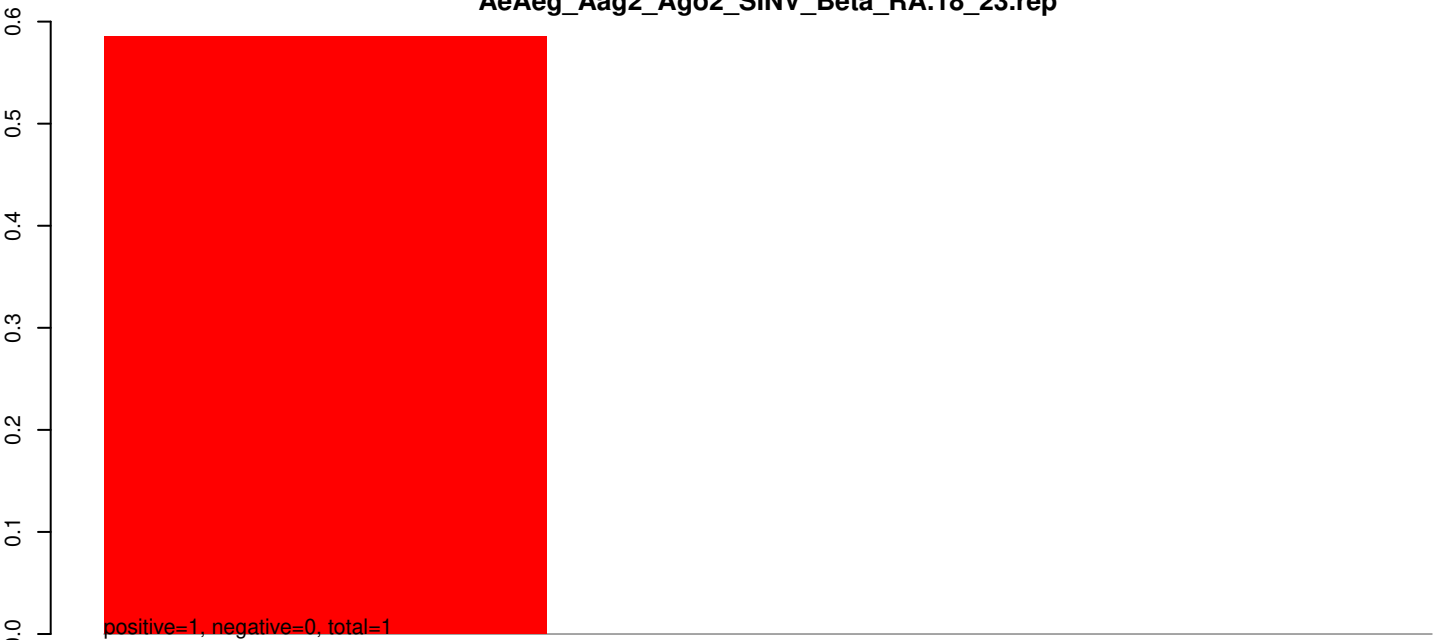


AeAeg_Aag2_Ago2_SINV_Beta_RA.rep

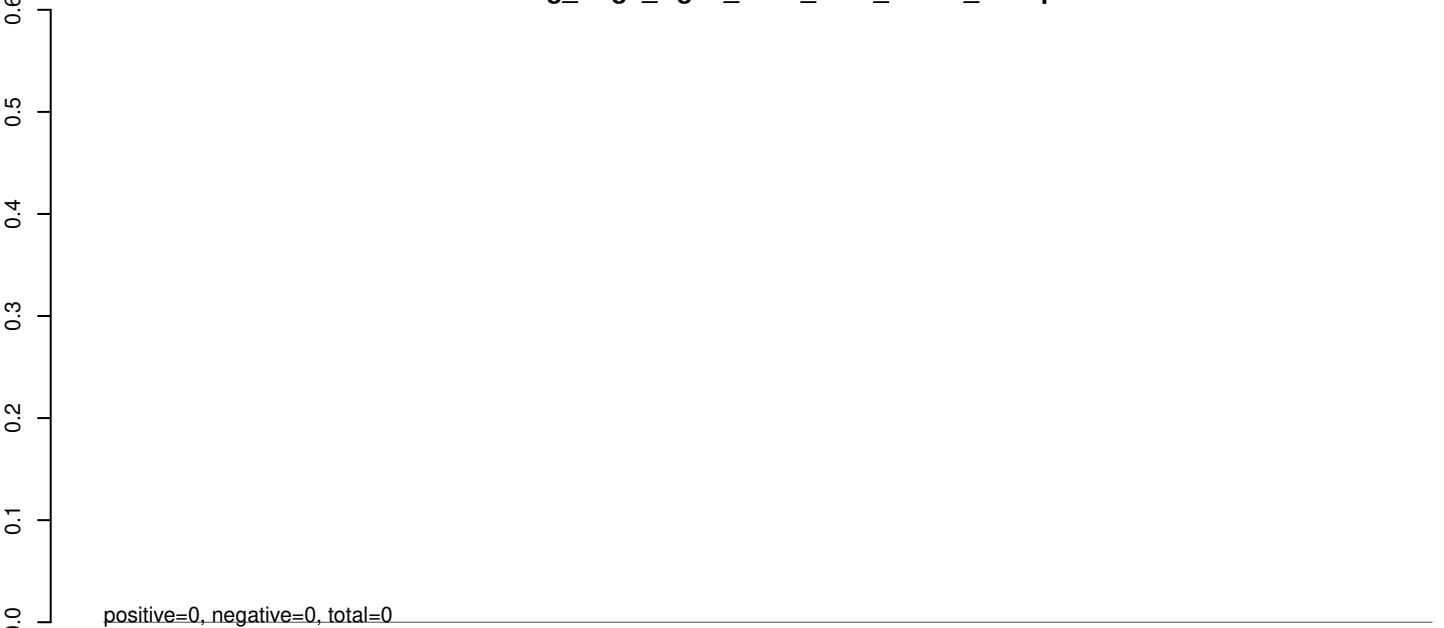


40 60 80 100

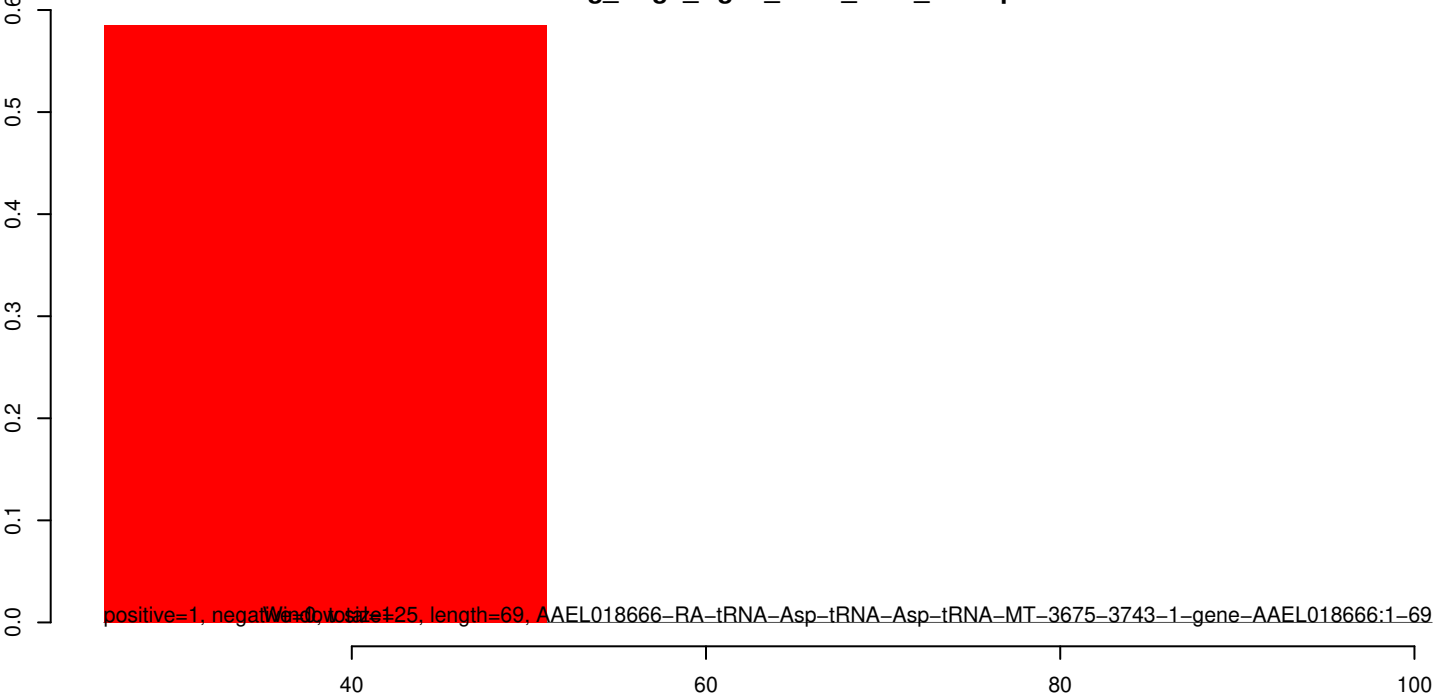
AeAeg_Aag2_Ago2_SINV_Beta_RA.18_23.rep



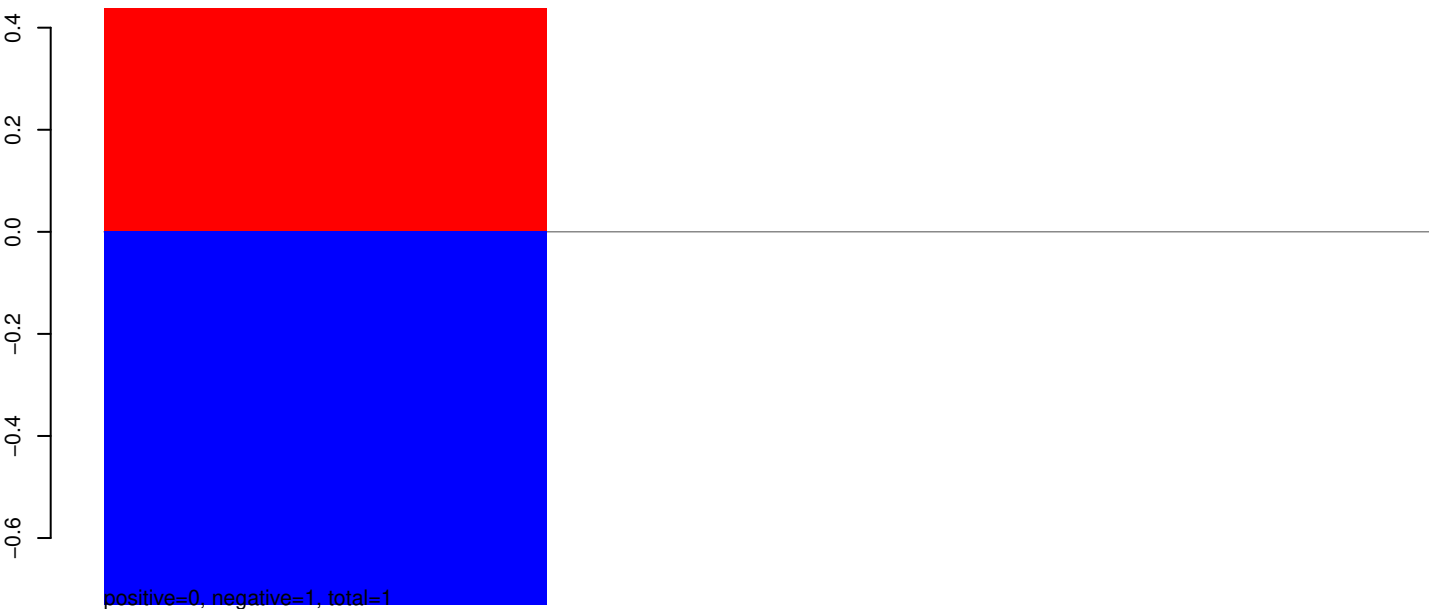
AeAeg_Aag2_Ago2_SINV_Beta_RA.24_35.rep



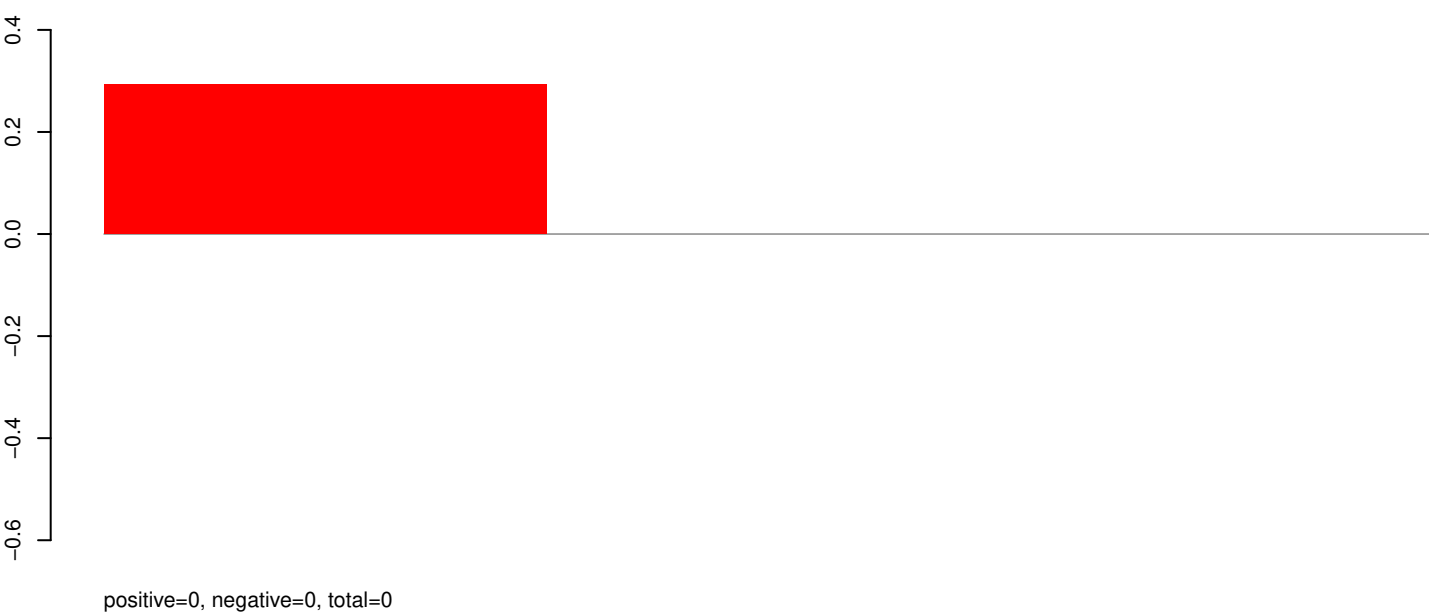
AeAeg_Aag2_Ago2_SINV_Beta_RA.rep



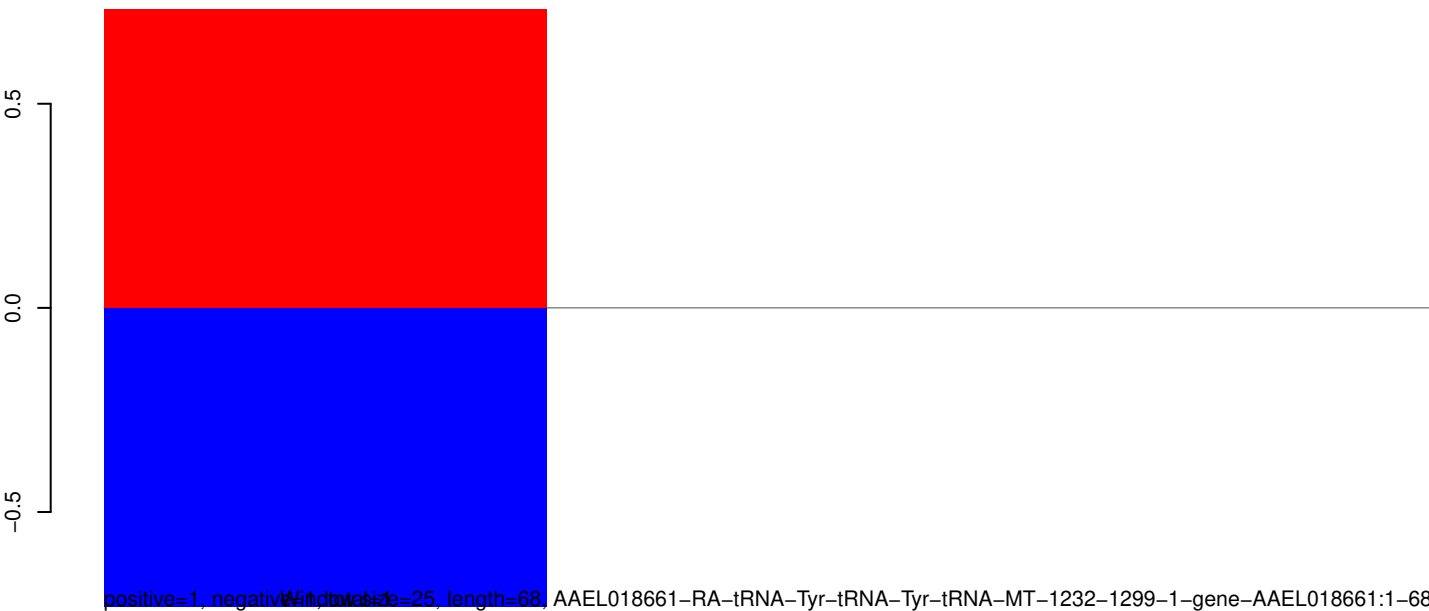
AeAeg_Aag2_Ago2_SINV_Beta_RA.18_23.rep



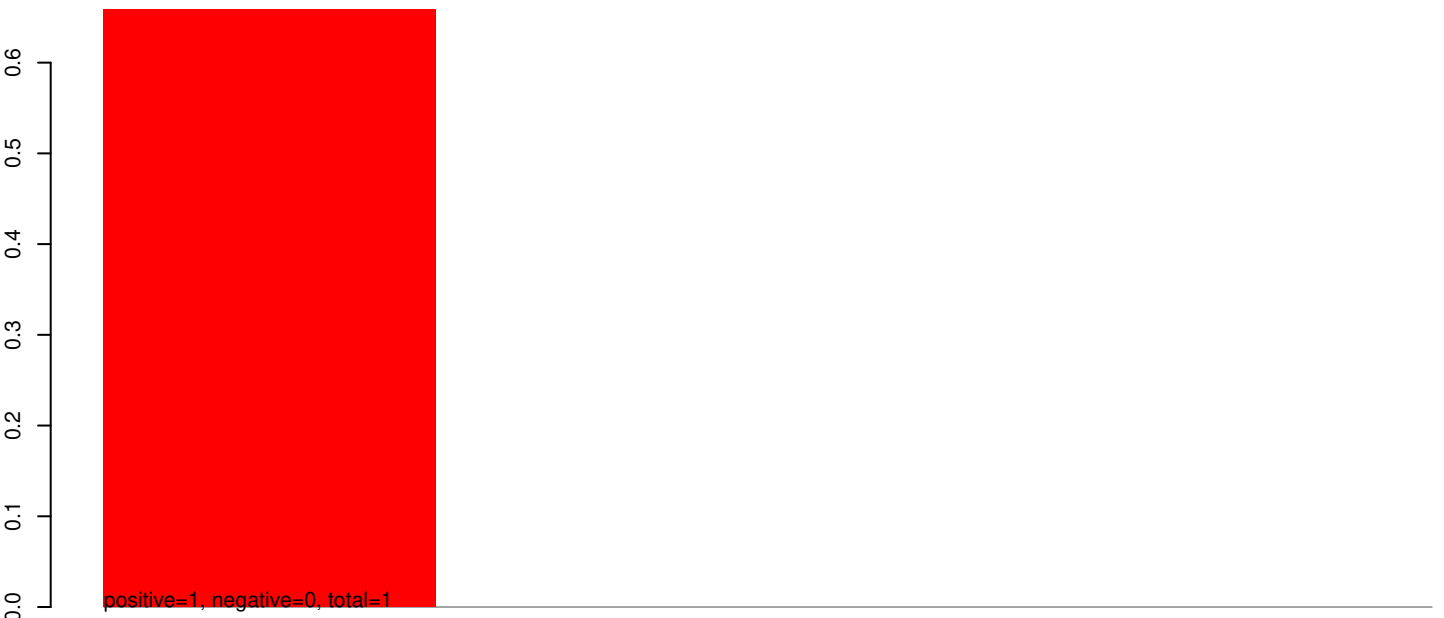
AeAeg_Aag2_Ago2_SINV_Beta_RA.24_35.rep



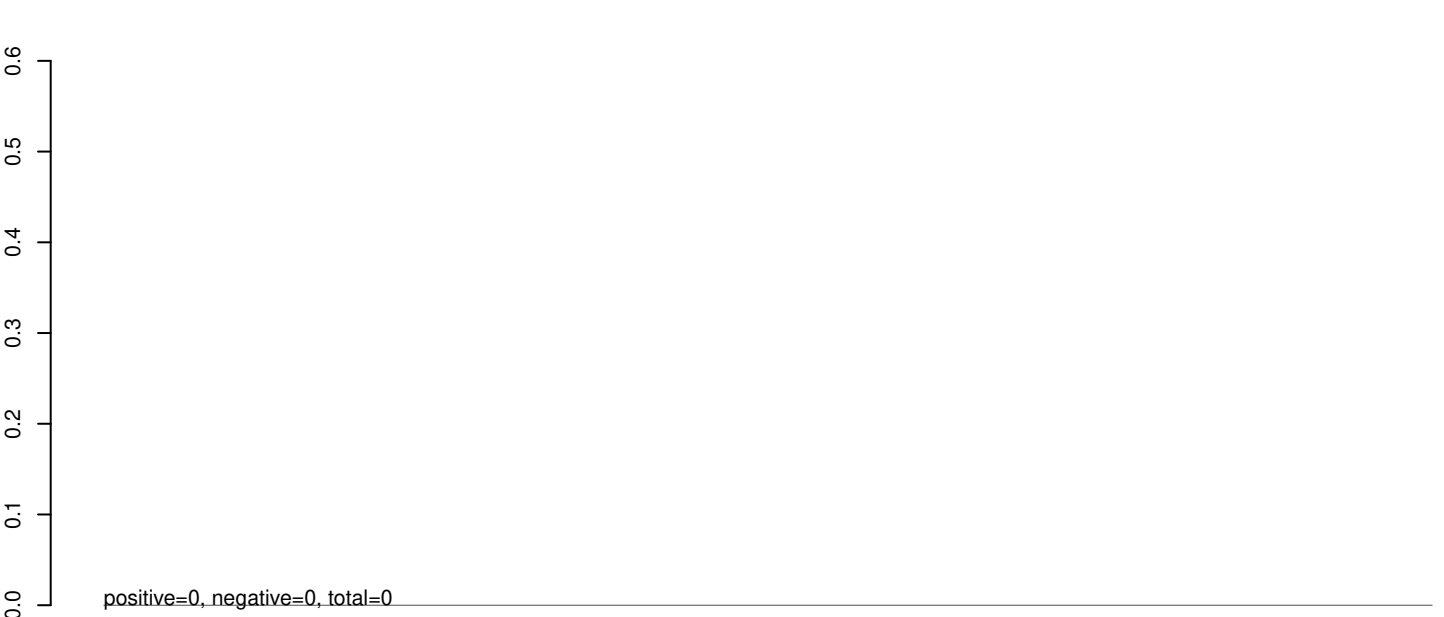
AeAeg_Aag2_Ago2_SINV_Beta_RA.rep



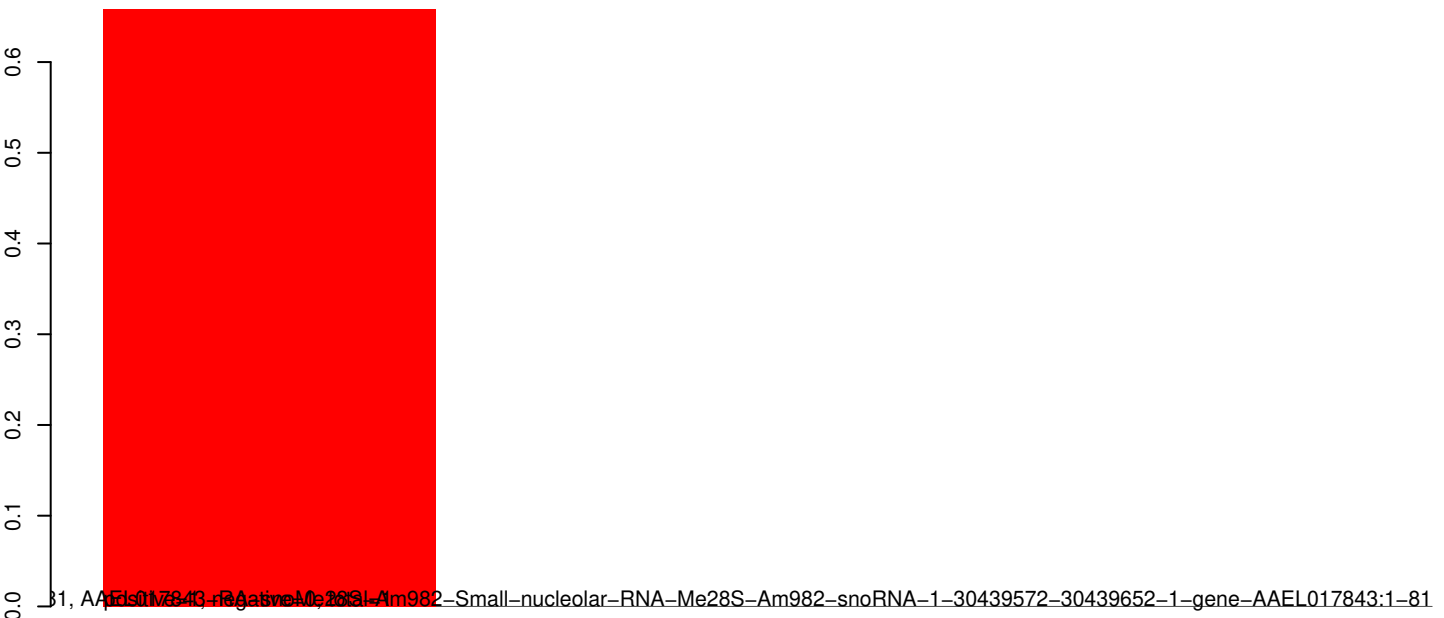
AeAeg_Aag2_Ago2_SINV_Beta_RA.18_23.rep



AeAeg_Aag2_Ago2_SINV_Beta_RA.24_35.rep

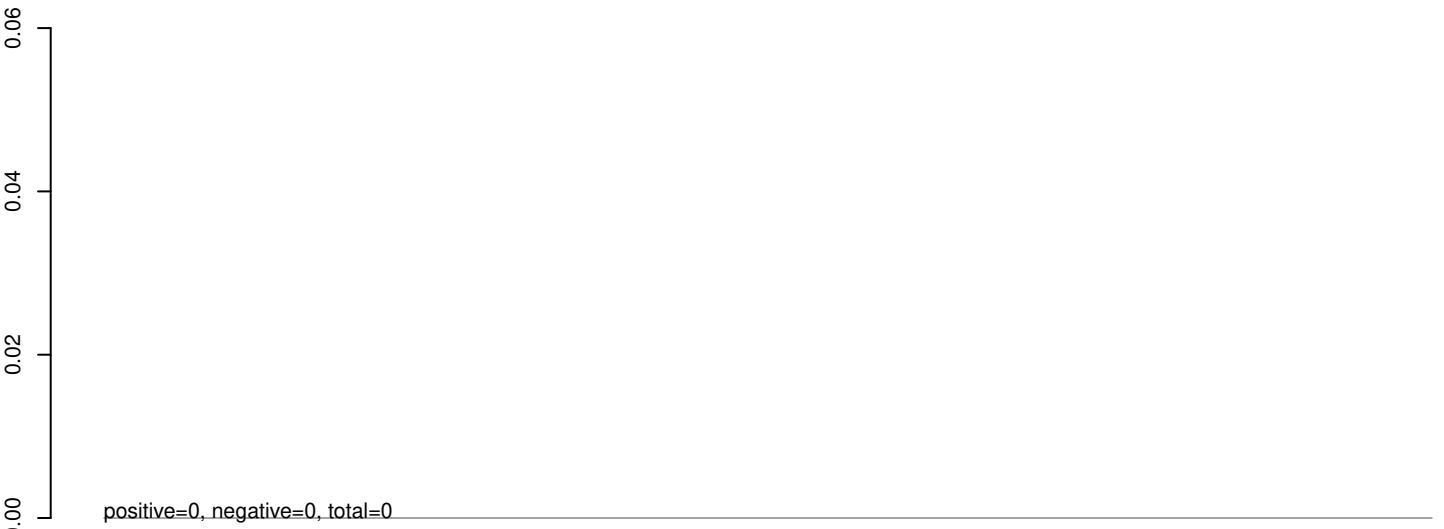


AeAeg_Aag2_Ago2_SINV_Beta_RA.rep

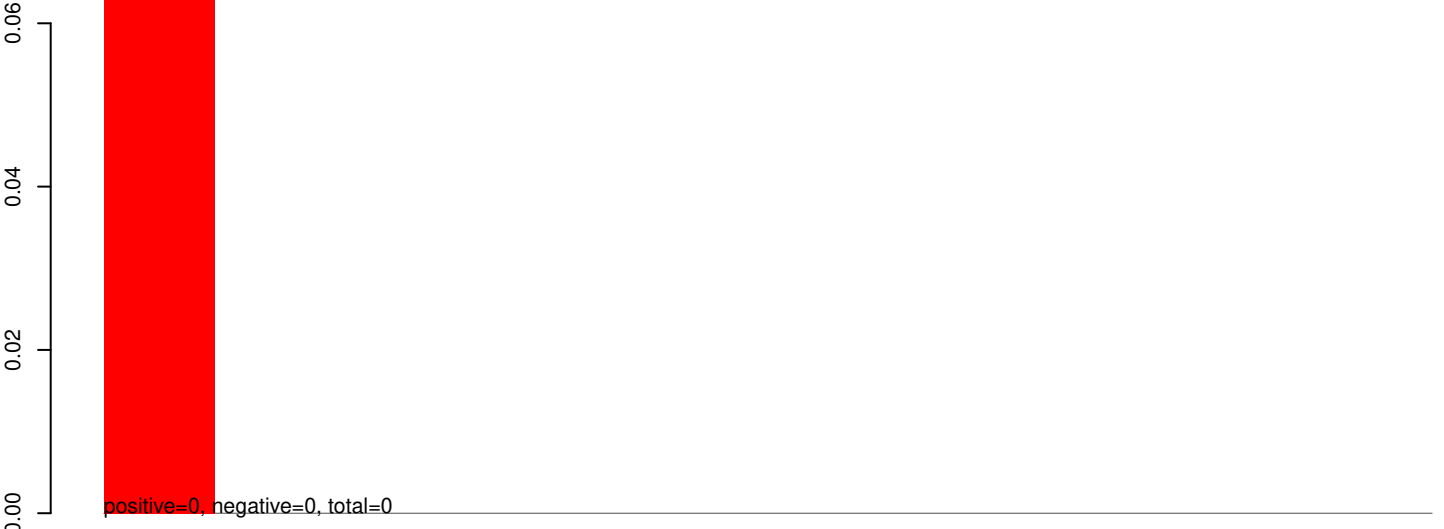


40 60 80 100 120

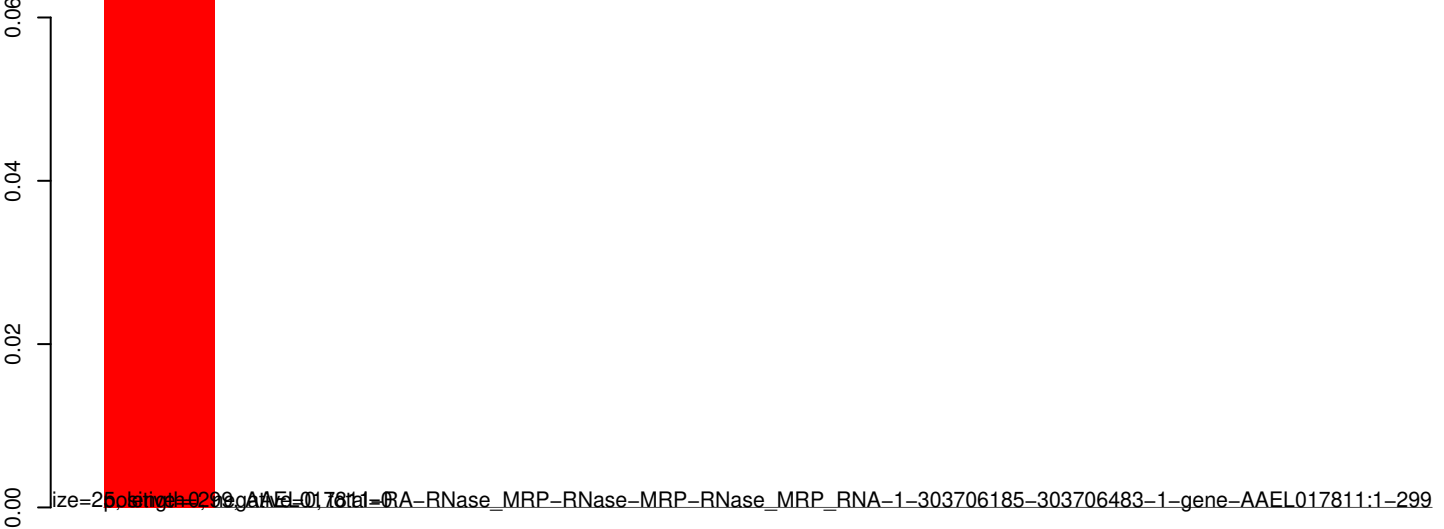
AeAeg_Aag2_Ago2_SINV_Beta_RA.18_23.rep



AeAeg_Aag2_Ago2_SINV_Beta_RA.24_35.rep

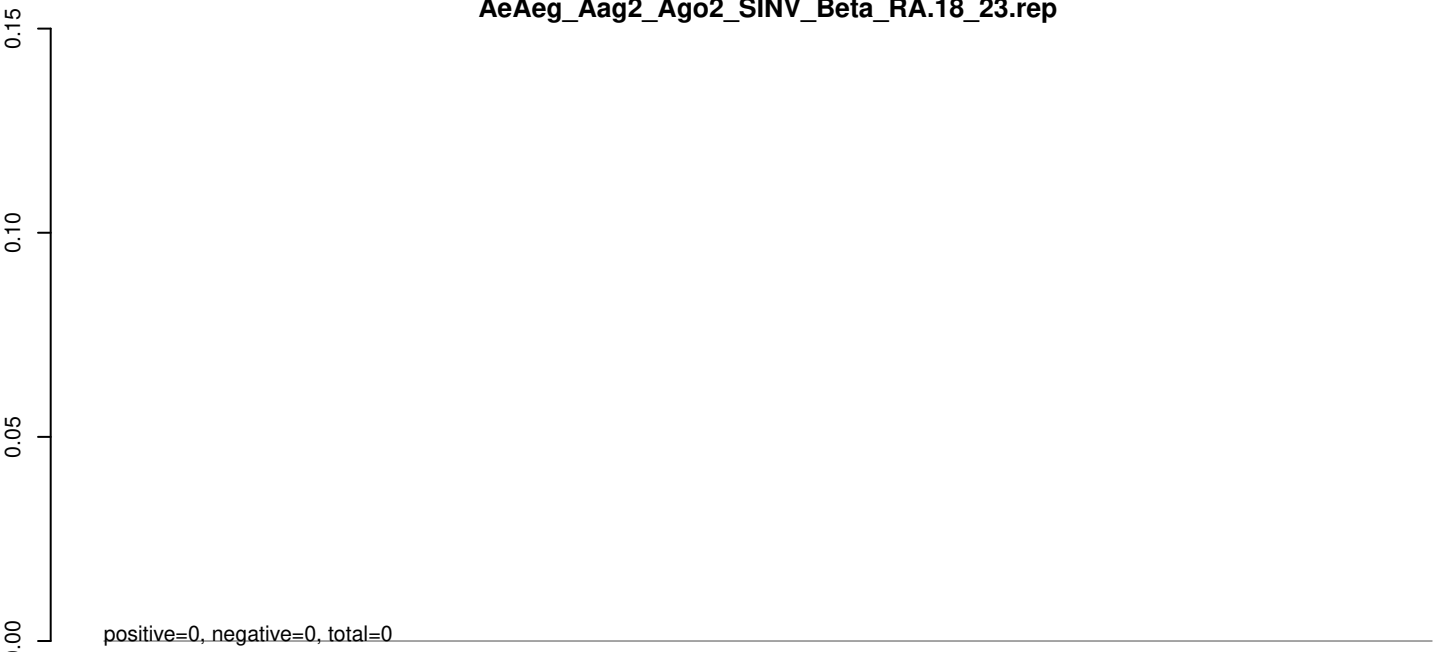


AeAeg_Aag2_Ago2_SINV_Beta_RA.rep



size=25, positive=0, negative=0, total=0

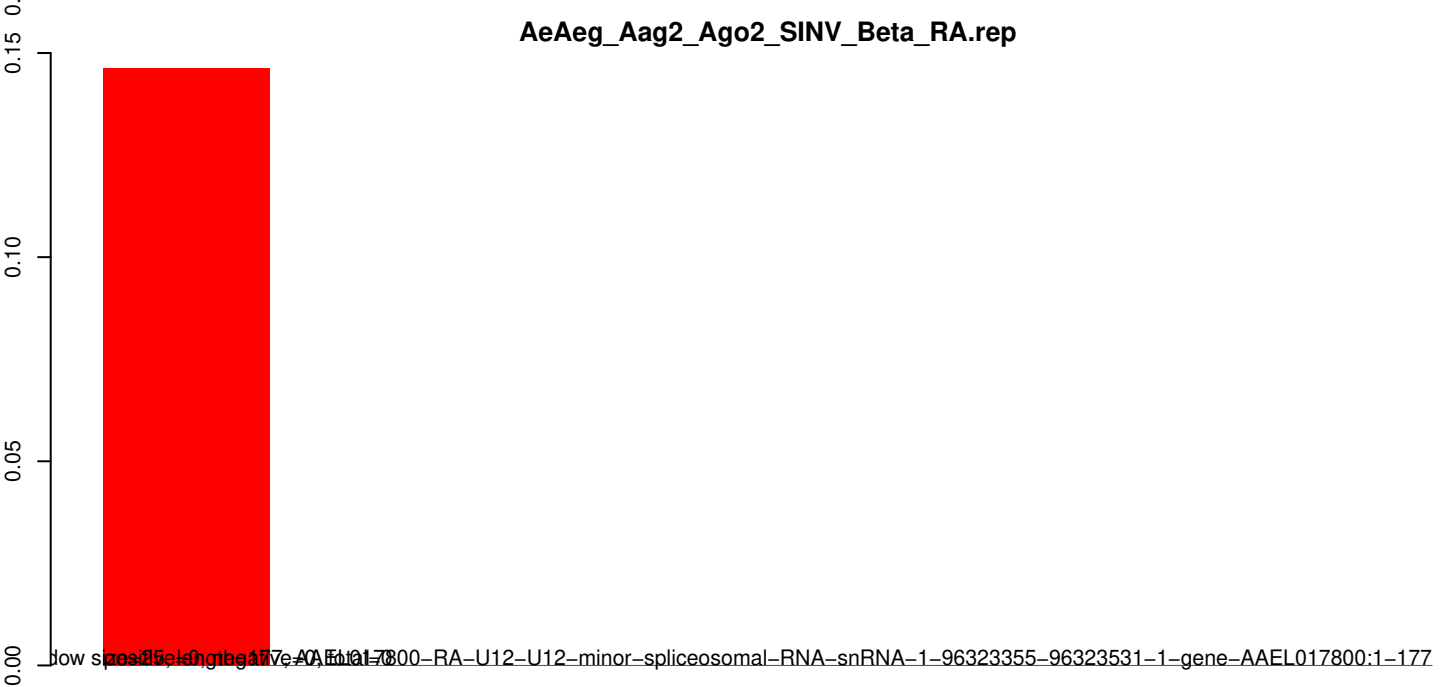
AeAeg_Aag2_Ago2_SINV_Beta_RA.18_23.rep



AeAeg_Aag2_Ago2_SINV_Beta_RA.24_35.rep



AeAeg_Aag2_Ago2_SINV_Beta_RA.rep



low splicing negative-AEEL017800-RA-U12-U12-minor-spliceosomal-RNA-snrRNA-1-96323355-96323531-1-gene-AAEL017800:1-177

50 100 150 200

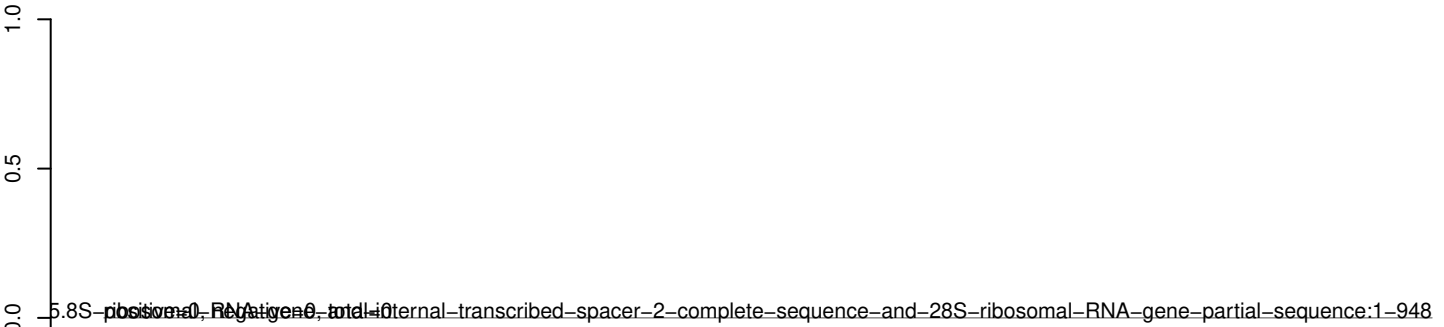
AeAeg_Aag2_Ago2_SINV_Beta_RA.18_23.rep



AeAeg_Aag2_Ago2_SINV_Beta_RA.24_35.rep



AeAeg_Aag2_Ago2_SINV_Beta_RA.rep



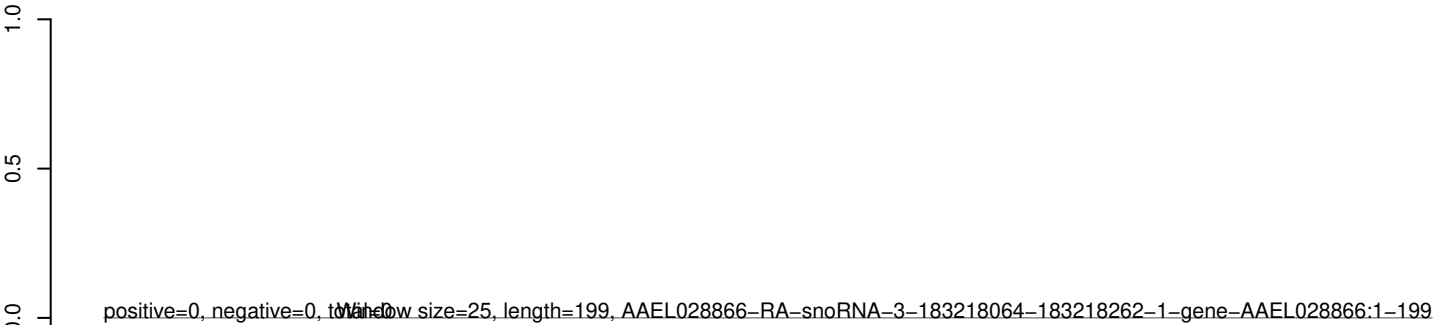
AeAeg_Aag2_Ago2_SINV_Beta_RA.18_23.rep



AeAeg_Aag2_Ago2_SINV_Beta_RA.24_35.rep



AeAeg_Aag2_Ago2_SINV_Beta_RA.rep



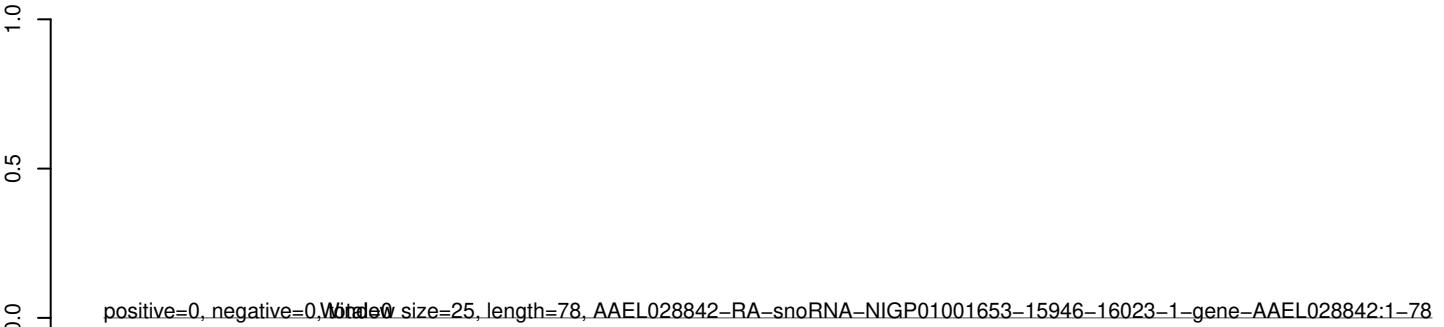
AeAeg_Aag2_Ago2_SINV_Beta_RA.18_23.rep



AeAeg_Aag2_Ago2_SINV_Beta_RA.24_35.rep



AeAeg_Aag2_Ago2_SINV_Beta_RA.rep



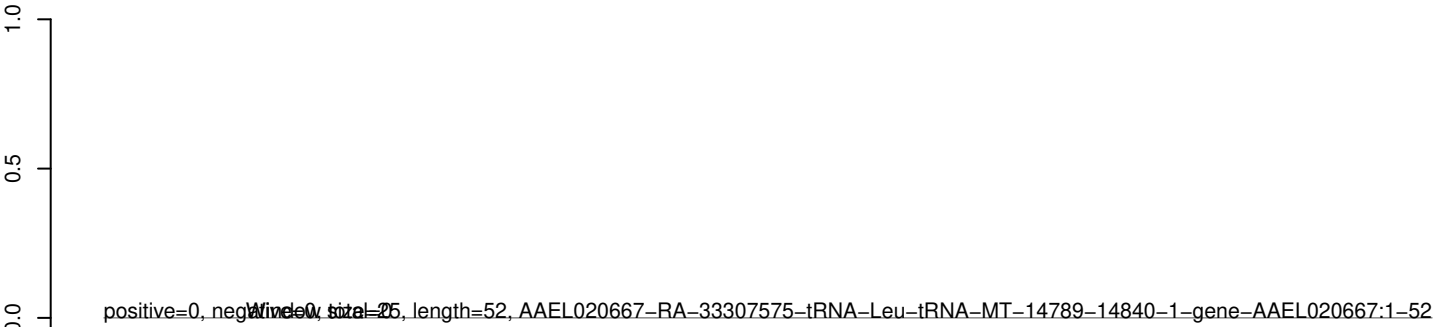
AeAeg_Aag2_Ago2_SINV_Beta_RA.18_23.rep



AeAeg_Aag2_Ago2_SINV_Beta_RA.24_35.rep



AeAeg_Aag2_Ago2_SINV_Beta_RA.rep



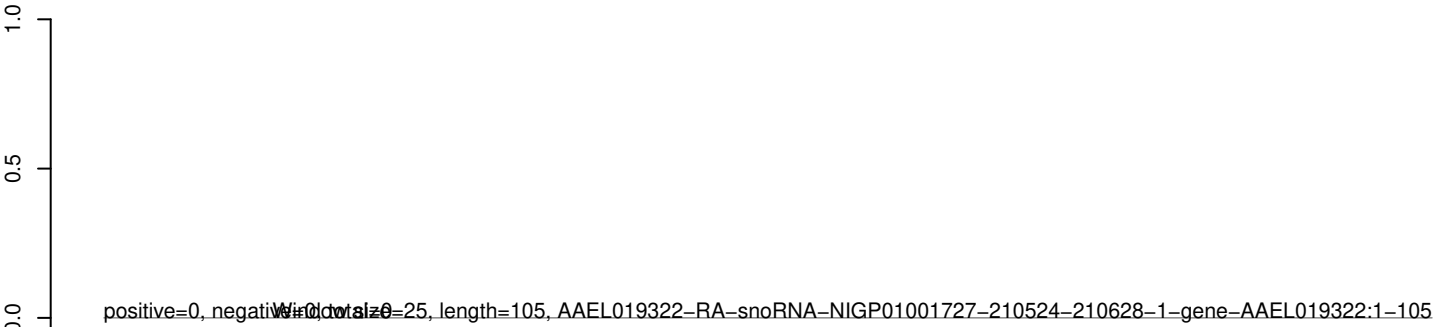
AeAeg_Aag2_Ago2_SINV_Beta_RA.18_23.rep



AeAeg_Aag2_Ago2_SINV_Beta_RA.24_35.rep



AeAeg_Aag2_Ago2_SINV_Beta_RA.rep



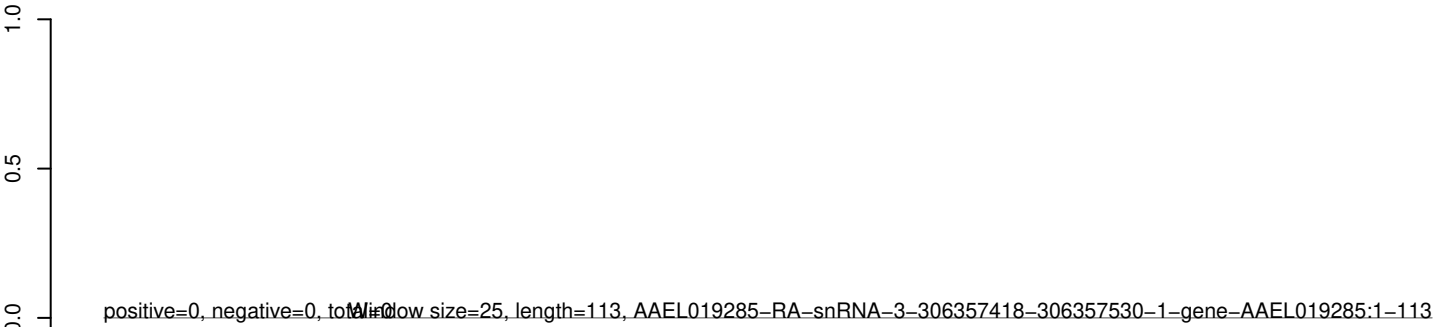
AeAeg_Aag2_Ago2_SINV_Beta_RA.18_23.rep



AeAeg_Aag2_Ago2_SINV_Beta_RA.24_35.rep



AeAeg_Aag2_Ago2_SINV_Beta_RA.rep



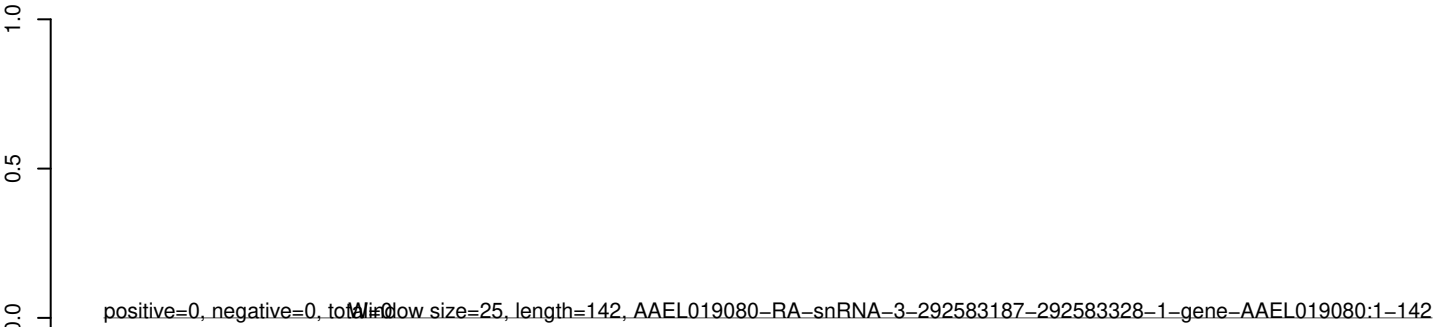
AeAeg_Aag2_Ago2_SINV_Beta_RA.18_23.rep



AeAeg_Aag2_Ago2_SINV_Beta_RA.24_35.rep



AeAeg_Aag2_Ago2_SINV_Beta_RA.rep



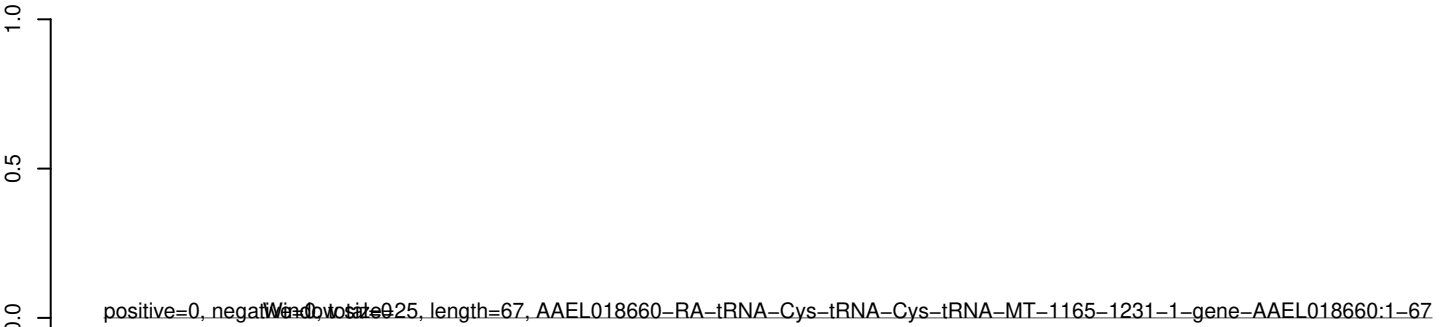
AeAeg_Aag2_Ago2_SINV_Beta_RA.18_23.rep



AeAeg_Aag2_Ago2_SINV_Beta_RA.24_35.rep



AeAeg_Aag2_Ago2_SINV_Beta_RA.rep



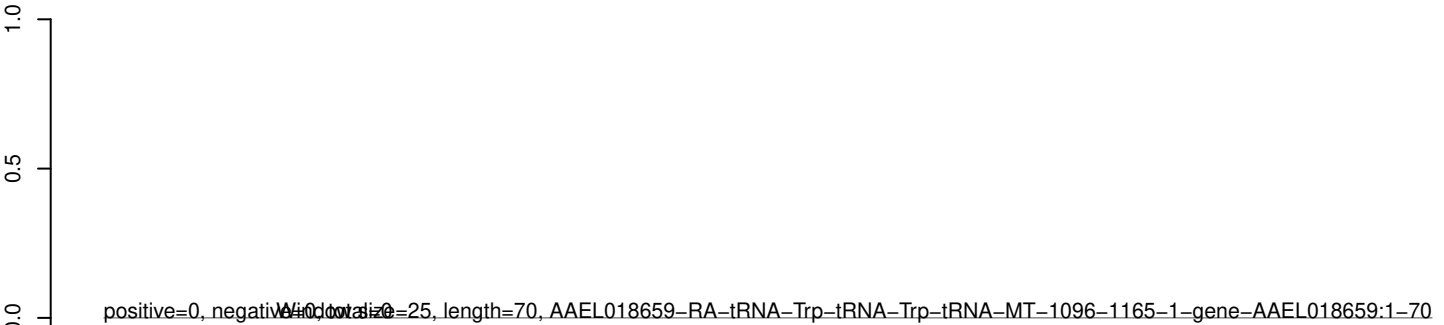
AeAeg_Aag2_Ago2_SINV_Beta_RA.18_23.rep



AeAeg_Aag2_Ago2_SINV_Beta_RA.24_35.rep



AeAeg_Aag2_Ago2_SINV_Beta_RA.rep



AeAeg_Aag2_Ago2_SINV_Beta_RA.18_23.rep



AeAeg_Aag2_Ago2_SINV_Beta_RA.24_35.rep



AeAeg_Aag2_Ago2_SINV_Beta_RA.rep



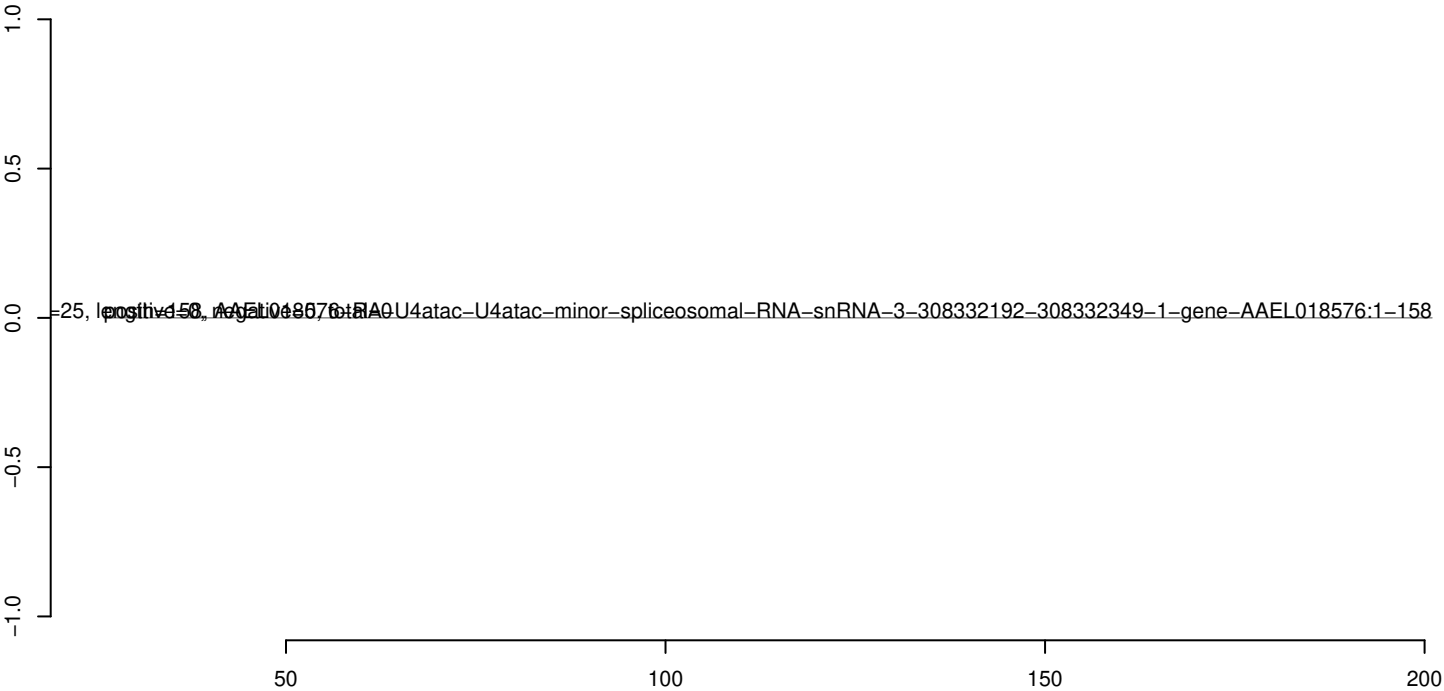
AeAeg_Aag2_Ago2_SINV_Beta_RA.18_23.rep



AeAeg_Aag2_Ago2_SINV_Beta_RA.24_35.rep



AeAeg_Aag2_Ago2_SINV_Beta_RA.rep



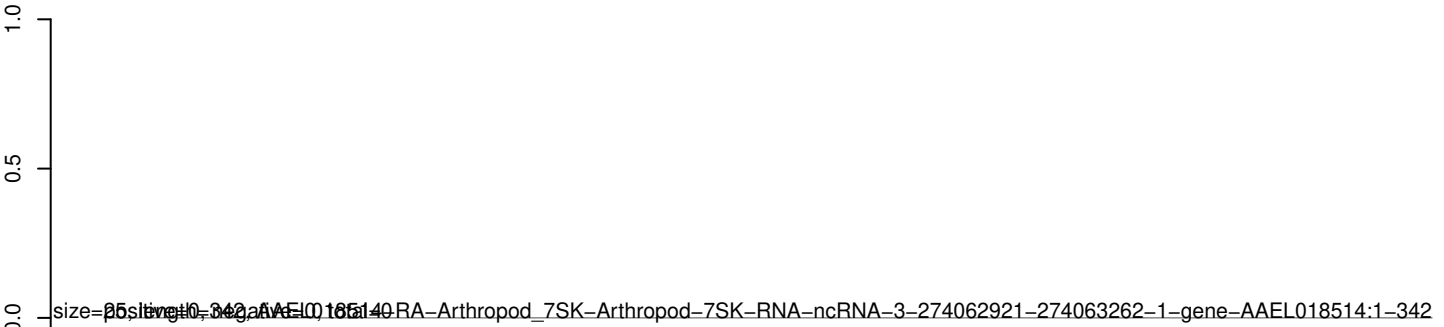
AeAeg_Aag2_Ago2_SINV_Beta_RA.18_23.rep



AeAeg_Aag2_Ago2_SINV_Beta_RA.24_35.rep



AeAeg_Aag2_Ago2_SINV_Beta_RA.rep



50 100 150 200 250 300 350

AeAeg_Aag2_Ago2_SINV_Beta_RA.18_23.rep



AeAeg_Aag2_Ago2_SINV_Beta_RA.24_35.rep



AeAeg_Aag2_Ago2_SINV_Beta_RA.rep



40 60 80 100 120 140

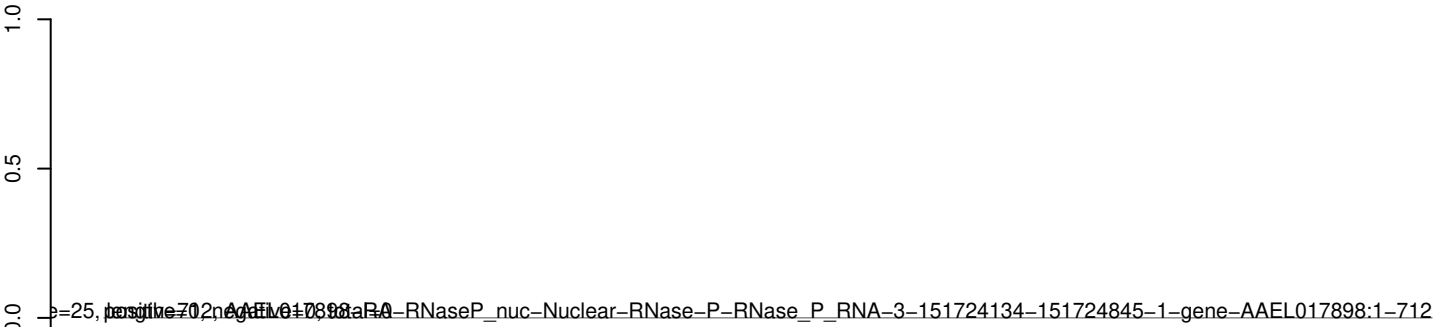
AeAeg_Aag2_Ago2_SINV_Beta_RA.18_23.rep



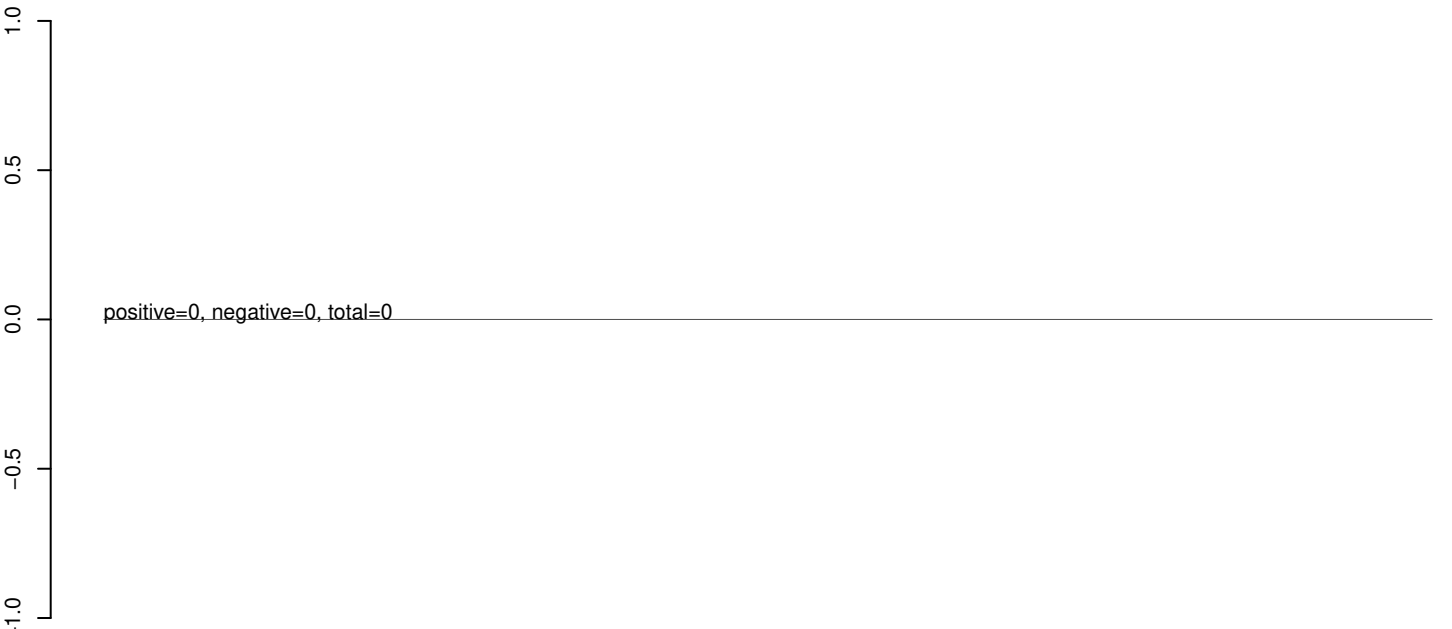
AeAeg_Aag2_Ago2_SINV_Beta_RA.24_35.rep



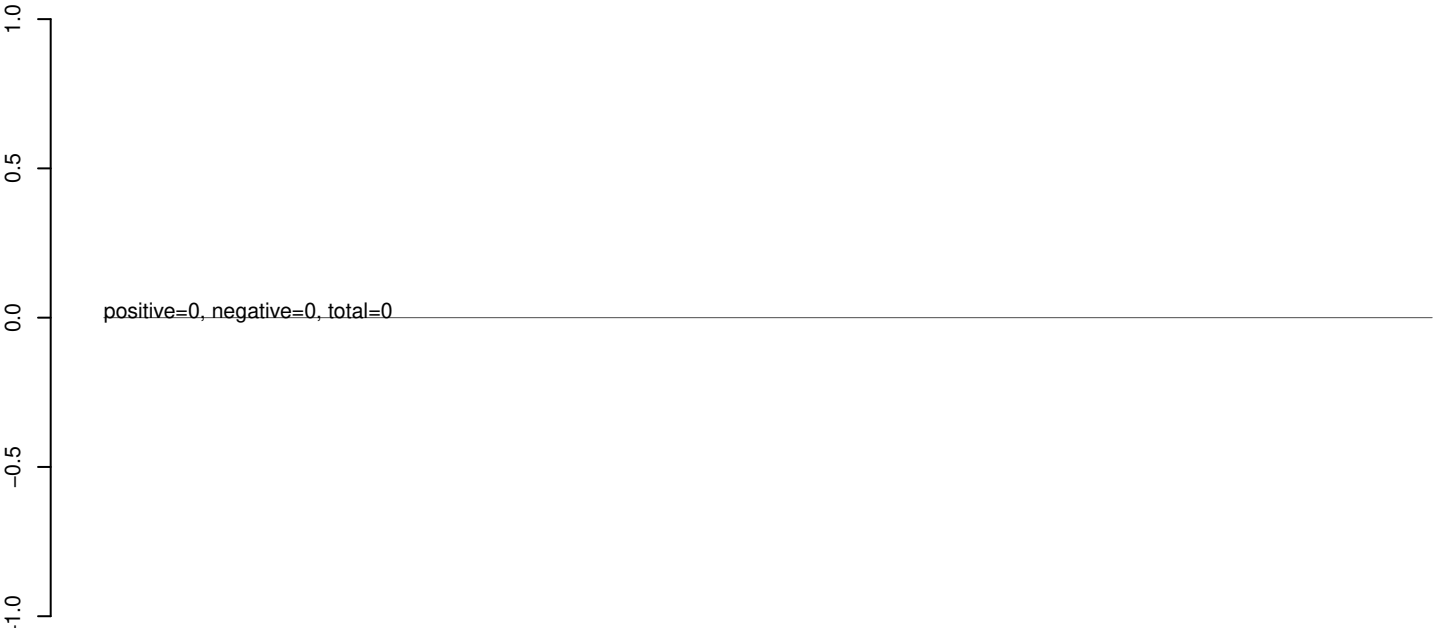
AeAeg_Aag2_Ago2_SINV_Beta_RA.rep



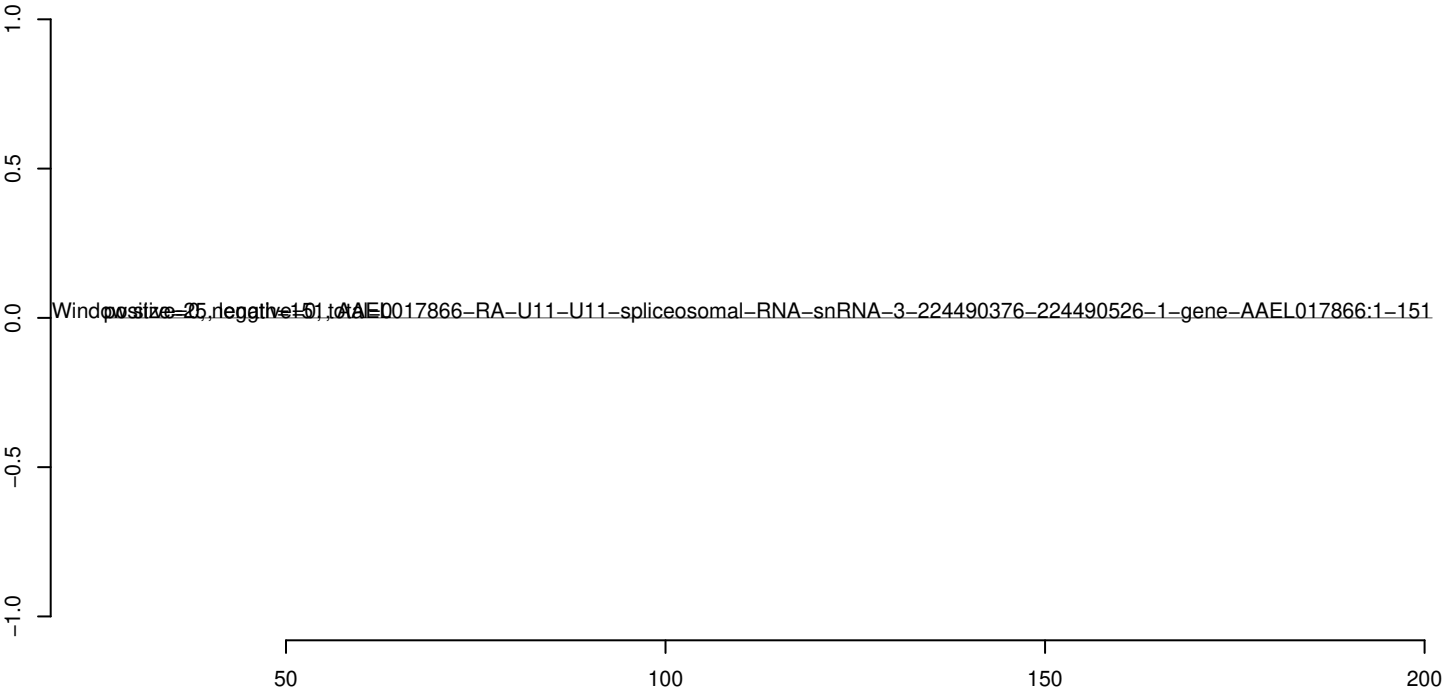
AeAeg_Aag2_Ago2_SINV_Beta_RA.18_23.rep



AeAeg_Aag2_Ago2_SINV_Beta_RA.24_35.rep



AeAeg_Aag2_Ago2_SINV_Beta_RA.rep



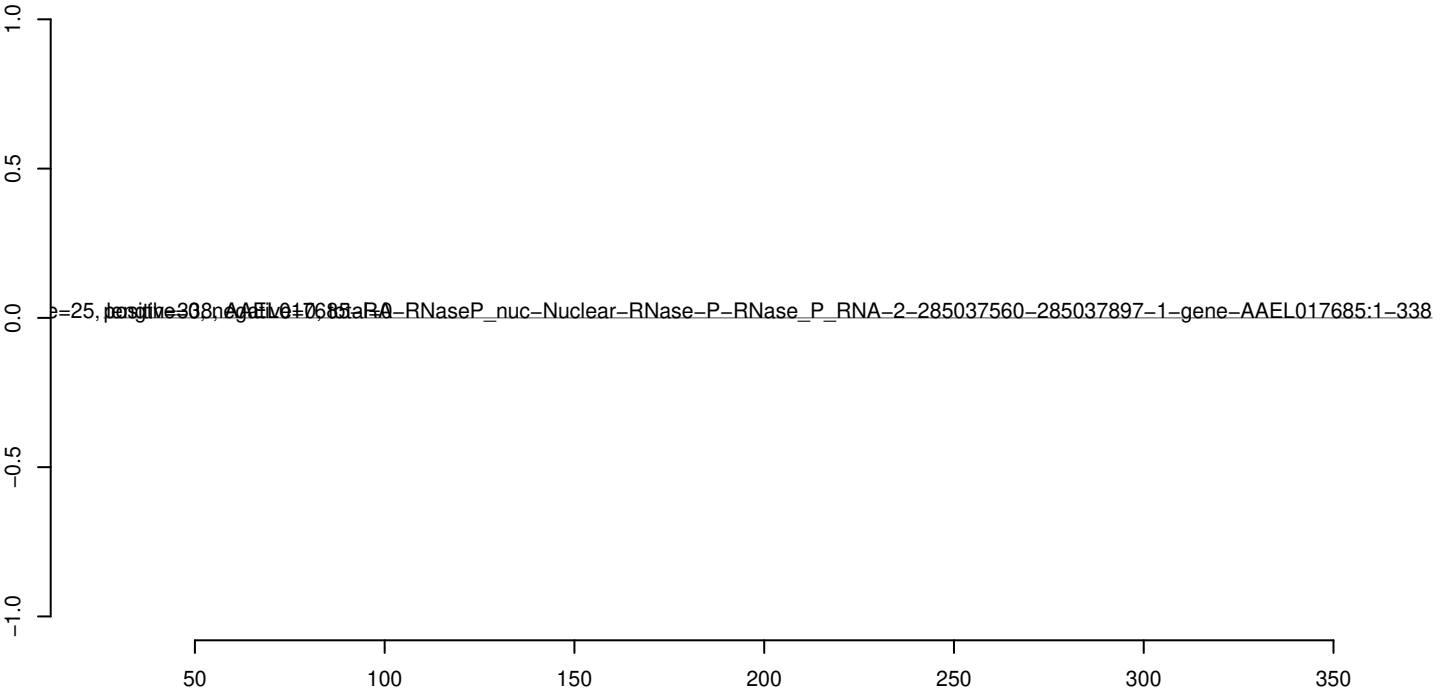
AeAeg_Aag2_Ago2_SINV_Beta_RA.18_23.rep



AeAeg_Aag2_Ago2_SINV_Beta_RA.24_35.rep



AeAeg_Aag2_Ago2_SINV_Beta_RA.rep



AeAeg_Aag2_Ago2_SINV_Beta_RA.18_23.rep



AeAeg_Aag2_Ago2_SINV_Beta_RA.24_35.rep



AeAeg_Aag2_Ago2_SINV_Beta_RA.rep

